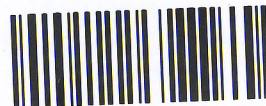


Fabiani

Biblioteka Instytutu Fizyki



1802017053

Wykłady uniwersyteckie.

MECHANIKA

według wykładów
Prof. M. SMOLUCHOWSKIEGO
w Uniwersytecie lwowskim
roku akad. 1911/12



LWÓW
Nakładem KÓŁKA MATEMAT-FIZYCZNEGO.

Wszelkie prawa zastrzeżone.



G-25.313

czyt.

Wstęp.

Historyczne uwagi.

Mechanikę uważa się zwykle na podstawie fizyki teore-
tycznej i od niej się rozszerzają naukę fizyki zaczyna. Istot-
nie we wszystkich dziedzinach fizyki napotykamy pojęcia
mechaniki (np. pojęcie siły, potencjału, energii itd), w ca-
łej fizyce używamy systemu zasadniczego dla mecha-
niki [C g S], z którego możemy wyprowadzić wszystkie
inne. Ogółem prawie całą fizykę można przedstawić
z punktu widzenia mechaniki. Istotnie tedy zdawato-
by się, że mechanika jest podstawą fizyki teoretycznej.
Pogląd taki nazywa się w filozofii materialistycznym.
Wymaga go np. Bruchner w dziele: *Kraft u. Stoff, Fwies-*
sac, że wszystkie wogóle zjawiska przyrody dają się pojąć
jako zjawiska ruchu cząstek materialnych.

1

Dziś jednak pogląd ten porzucony; można wprawdzie zjawiska fizyczne tłumaczyć prawami mechaniki - atoli wytworzony w nowych czasach pogląd tw. elektryczny wyjaśniający zjawiska elektryczne przemawia nam więcej do przekonania. Istnieje jeszcze trzeci system tw. energistyczny mający jeszcze dziś zwolenników zwłaszcza w termodynamice. Z tych trzech poglądów jest obecnie ów elektryczny w modzie.

Skąd pochodzi dominująca rola mechaniki w fizyce? Powody tego są historyczne, które może się dać uzasadnić psychologicznie, bo zjawiska mechaniczne najłatwiej i najprościej niej zdaje się być korelować; nadto porównania zjawisk mechanicznych mamy dwa empyry : wzrokowy i słuchowy, podczas gdy do porównania innych zjawisk np. optycznych jeden tylko : wzrokowy, do porównania zjawisk cieplnych - jeden empyry temperatury, - zjawisk elektrycznych żadnego właściwie.

Już w starożytności mieli filozofowie awianosa greccy, pomimo że rzymscy, pewne wiadomości z dziedziny statyki. Postugiwali się oni wyrażenie prawie kalkulatory w celu porównania zjawisk fizycznych; stąd oczywiście nie mogli wyjść poza statykę. Archimedes miał już wiadomości pomimo systema-

tyczne, obliczał już np. środek ciężkości odcinka paraboli. Co do dynamiki mieli atoli starożytni pojęcia racjonalne i błędne.

Arystoteles dzielił np. ruchy na gwałtowne czyli wbrew naturze - do takich kalibra rzucanie - i na zgodne z naturą - np.

Spadanie ciała. Według niego ciało rzucone leci prostolinijnie, a potem nagle spada na ziemię. Dalej pojęcia co do ciał lekkich i ciężkich są u nich myślarne.

Średnie wieki były stracone dla nauki fizyki.

Dopiero za czasów renesansu znów się jej wzrost zaczyna.

Tak u Leonarda da Vinci ¹⁴⁵²⁻¹⁵¹⁹ w jego traktacie o maszynach spotykamy ciekawe uwagi o mechanice, ośrodkone dopiero przez Galileusza (1564-1642), który w swoim dziele: Discorsi et demonstrationi dochodzi częścią spekulacją, częścią doświadczeniem do praw o współdziałaniu sił i o berwotadności. Właściwym twórcą jednak mechaniki jest Newton (1642-1711) przez owe słynne tres leges motus w dziele Philosophiae naturalis principia math. ^{x)} Jemu zawdzięczamy ujęcie praw mechaniki w równania i zewnętrzny metodę. Współczesnie z Newtonem żyje Huyghens, który w swoim Chronologium oscillatorium zajmuje się wahadłem. Prawami Newtona w zastosowaniu do szeregowych wypadków zaj-

1717 - 1783

myślę się rodząca Bernoullich dalej D'Alembert i inni.

Daleko ogólniejsze ujęcie matematyczne praw mechaniki

dał ^{1736 - 1813} Lagrange w dziele: "Mécanique analytique" w 2

wydaniach 1788 i 1811 r.; wprowadza on zasadę prac przy-
gotowanych i swe słynne równania. Szczęśliwie się on tem,
że w całym dziele obszedł się bez jednej figury geometrycznej.

Jest to wprowadzenie ciekawe, lecz w nowszych czasach uważa-
my, że pojęcia geometryczne ułatwiają nam badania. Metodę
geometryczną postugiwał się równocześnie z Lagrangem
ryjczy Poisson. Dalej Hamilton, Jacobi, Gauss, Hertz
starali się ująć mechanikę w odmienną formę, a zwłaszcza
Hertz w sposób najbliższy pod względem logicznym.

W ostatnich wreszcie latach zjawily się nowe rewolucyjne
myśli, odrywające się od zasad Newtona. Zachodzi wątpli-
wość czy równania Newtona są całkiem słuszne. Podstawę
do tej wątpliwości dają zjawiska elektromagnetyczne. Z tego
nowego punktu widzenia uważamy prawa Newtona za
ogromne przybliżenie tak ogromne, że nigdy prawdopo-
dobnie nie zajdzie wypadek, by się nie spełniły - ale teore-
tycznie uwzględniamy przecież tę okoliczność, że to są
przybliżenia.

Działy mechaniki.

Mechanikę dzielimy ze względu na stopień przybliżenia oraz z powodów dydaktycznych na mechaniczną punktów, mechaniczną ciał sztywnych i mechaniczną ciał sprężystych (odkształcających się). Np. gdy chodzi o ruch planet około słońca, to możemy ten ruch uważać za ruch punktów, o ile nam chodzi o pierwsze przybliżenie; w porównaniu wielkich odległości tych ciał od siebie z ich wielkością i kształtem możemy też ostatnie pominać. Więcej punktów takich wziętych pod uwagę stanowi system punktów. Gdy rozważamy ruch jednej z tych planet np. ziemi, uwzględnimy jej ruch obrotowy, precesję, więc weźmiemy pod uwagę być może o pewnym kształcie, to już będziemy mieli do czynienia z mechaniczną ciał sztywnych. Gdy wreszcie uwzględnimy wpływ odkształceń np. przypływ i odpływ na ruch ziemi itd, to już osiągniemy trzeci stopień dokładności mechanicznej ciał sprężystych.

Również dzieli mechanikę na statykę i dynamikę (Staroświecki podział). Statyka to specjalny wypadek dynamiki, gdy prędkość równa jest zeru. Uważano ją przedtem za część geometrii; wchodzi tam jednak prócz wielkości przestrzennych jeszcze pojęcie masy i siły.

Jeszcze jest inny podział na kinematykę i kinetykę (Dynamikę). Kinematyka dotyczy ruchów ciał bez względu na siłę; operuje więc pojęciami przestrzeni i czasu. W dynamice czyli kinetyce przychodzi jeszcze pojęcie masy lub siły (wychodzi to na jedno). Kinematyka jest zbliżona do geometryi; wchodzi tylko jeszcze pojęcie czasu. Kinetyka zawiera już pojęcie masy, jest więc już nauką empiryczną. Zadania mechaniki rozpadają się zwykle na dwie części: kinematykę i kinetykę. My zaczniemy od mechaniki punktu i kinematyki.

Rachunek wektorowy.

Zanim przystąpimy do właściwego przedmiotu, musimy się zaznajomić z zasadami rachunku wektorowego. Wprawdzie używana jest jeszcze powszechnie w fizyce metoda geometryi analitycznej, jednak niedawno wprowadzony rachunek wektorowy daje się czystokroć bardzo dobrze ze względu na krótkość i jasność stosować do najtrudniejszych nawet zagadnień fizyki. Porozumiemy przez rachunek wektorowy pewien sposób symboliki i operacji ułatwiających rozumowanie nad wielkościami przestrzennymi. Zasady rachunku wektorowego pochodzą od

Grassmaña (1847 „Linealausdehnungslehre“, 2^{te} wyd 1862.)
 Dieta jego nie zwróciła jednak uwagi na się i niecałkowicie tedy
 od Grassmaña wprowadził Hamilton swoje Kwaterniony,
 wielkości zbliżone do wektorów, posiadające atoli 4 jednostek^{*)}
 Definicja kwaternionów jest również bardzo abstrakcyjną,
 lecz rachunek niemi doprowadza z zaskakującą łatwością do
 rozwiązań zagadnień mierzą bardzo zowitych w sposób zwykły
 w geometrii i mechanice. Rachunek ten uprosił Heaviside
 w latach 90 przez odrzucenie jednej z jednostek. Stosowano
 go początkowo przede wszystkim w elektryczności. Jednym z pierw-
 szych wykładających go był pr. Smoluchowski we Wiedniu. Do
 poszerzenia się go przyczyniła się wiele pr. Jöppel, który go też
 wyłożył w wybornym swym dziele „Technische Mechanik“.

Literatura: Laub (polsk.) Zarys rachunku wekt.; Valentiner:
 Vektoranalysis; Bucherer; Jens; Ignatowski; Jahnke;
 Silberstein (o elektr.-magnet).

Wektorem nazywamy wielkość, która ma nie tylko wyznac-
 berwzględny ale także kierunek. Takie wielkości wektorowe
 w fizyce są np: prędkość, siła mechaniczna, elektryczna,
 przyspieszenie itp. W przeciwstawieniu do tego są wielkości,

^{*)} Arztm. teoria kwaternionów przez W. Sierpińskiego. Naciskiem
 Kłosa mat.-fiz. wiedeński.

Które nie mają kierunku w przestrzeni; są to tzw. wielkości skalarne np: masa, gęstość, temperatura, praca, energia, potencjał itp.

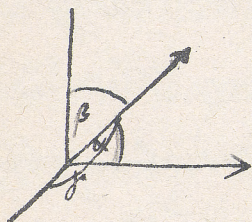


Fig 1.

Do określenia kierunku wektora w przestrzeni potrzeba dwóch kątów albo trzy rzuty wektora na osie układu, do określenia zaś jego orientacji trzeba jeszcze podać strzałkę (Niemcy mają na określenie tego, co my nazywamy orientacją, wyraz: *Sinn des Vektors*, w odróżnieniu do *Richtung d.V.*; w polskim języku jest tu wyraz kierunek w obu tych znaczeniach używany). Wielkość wektora określa liczba dana.

Wielkości wektorowe nazywają się różnymi sposobami; my na ich oznaczenie będziemy używać liter gotyckich:

$$a, b, c, d, \dots$$

w przeciwieństwie do wielkości skalarnych, które nazywać będziemy literami łacińskimi:

$$a, b, c, d, \dots$$

W matematyce wolno nam wprowadzać dowolne symbole; trzeba tylko określić dla nich operacje (konwencje) tak by nie zawodziły sprzeczności. Zauważmy więc takie umowy dla wektorów i określmy dla nich: znak równości, dodawanie, odejmowanie i mnożenie:

I. Dwa wektory a i b są wtedy i wtedy tylko równe, jeśli

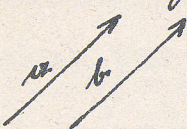
charakterystyczne cechy wektorów są takie same, a więc jeśli jest

 równa długość przesunięć i identyczne kierunki
 oraz strzałki. Innymi słowy powiemy, dwa wektory a i b są równe, jeśli się mogą wzajemnie pokryć przez przesunięcie równoległe. Równość tedy dwa wektory reprezentuje nam trzy równania.

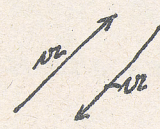
Fig 2

 Jeśli dwa wektory mają tylko długości i kierunki równe, strzałki zaś przeciwnie skierowane, oznaczamy to znakami: $a, -a$.

Fig 3
 II. Sumę dwa wektorów a i b nazywamy trzeci wektor c , który otrzymujemy przez kolejne wykonanie przesunięć wektora a potem w jego końcu wektora b i oznaczamy to:

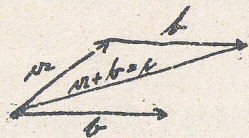


Fig 4

$$a + b = c$$

Innymi słowy: trzeci bok trójkąta jest sumą dwa innych. Dodawanie tak określone, nazywamy je geometrycznym, jest konwencją; powód formalny takiej nazwy jest ten, iż ważne są tu prawa algebry: przemienności

$$a + b = b + a$$

i dla trzech wektorów prawo łączności:

$$(a + b) + c = a + (b + c) = a + b + c$$

jak to łatwo stwierdzić na podstawie definicji. Prawo dodawania można łatwo uogólnić na jakiegokolwiek byle skończoną liczbę wektorów. Dodawanie geometryczne ma zastosowanie w składaniu prędkości, sił, przyspieszeń itd. (Zauważymy jeszcze że porządek spotrzednych nie potrzebuje dla wektora być określony). Wypniemy teraz z definicji dodawania wnioski: Suma n wektorów równych a daje znowu wektor:

$$\underbrace{a + a + \dots + a}_{n \text{ razy}} = n a.$$

Stąd: można każdy wektor uważać za wielokrotność wektora jednostkowego. Możemy to zapisać:

$$a = a N = T a \cdot U_a$$

gdzie N lub U_a oznaczają wektor jednostkowy; podaje on nam kierunek i strzałkę i nazywamy go prosto versorem; a lub $T a$ podaje nam miarę bezwzględną wektora a , i nazywamy te znaki tensorem.

Na szczególną uwagę zasługują wektory jednostkowe w trzech kierunkach przestrzeni. Znaczy my je stale:

$$i, j, k.$$

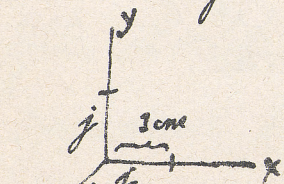


Fig. 5.

Chcąc wyrazić jakikolwiek wektor a przez same trzy wektory jednostkowe, wystarczy ułożyć trzy razy wektory i, j, k na osie układu prostokątnego, oznaczyć wartości bez-

względne x, y, z i zauważyć, że r przedstawia sumę geometryczną swych składowych:

$$r = ix + jy + kz.$$

Wartość bezwzględna takiego wektora r jest, jak łatwo widzieć:

$$r = \sqrt{x^2 + y^2 + z^2}$$

Mając dwa wektory: $a = a_1i + a_2j + a_3k$

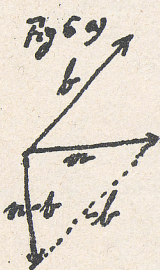
$$b = b_1i + b_2j + b_3k$$

powiemy, że są one równe, jeśli

$$a_1 = b_1 ; a_2 = b_2 , a_3 = b_3$$

Widać stąd, że rachunek wektorowy upraszcza geometrię analityczną zastępując jednym równaniem trzy równania tejże.

III. Definicję odejmowania wyprowadzamy z definicji dodawania kładąc:



$$a) \quad a - b = a + (-b)$$

$$b) \quad b - a = b + (-a)$$

Powysze definicje dodawania i odejmowania pochodzą od Grassmanna. Od dawna atoli znany jest ich szczególny przypadek w przedstawianiu wielkości zespolonych.

Na iloczyn mamy w rachunku wektorowym dwie istotnie różne definicje tj iloczynu skalarnego i wektorowego.

IV. Iloczyn skalarny, czyli, jak go Grassmann nazwał, wewnętrzny określony następującą własnością:

$$a \cdot b = (a \cdot b) = S a b = a b \cos(\angle a b)$$

Należy pamiętać, że jest prawo przemienności (nie jest to już wektor).

$$a \cdot b = a b \cos(\angle a b) = b a \cos(\angle b a) = b \cdot a$$

oraz prawo rozdzielności:

$$a \cdot (b + c) = a \cdot b + a \cdot c$$

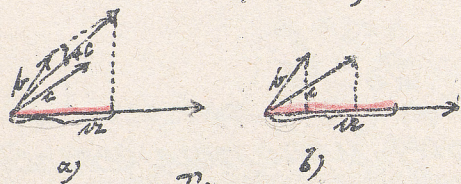


Fig 7.

Lewą stronę równości tej przedstawia Fig 7. a) prawą b).

Należy pamiętać, że prawo łączności iloczynu $a \cdot (b \cdot c)$; tu prawo to nie ma zastosowania.

Jako wniosek określenia mnożenia skalarnego, dostajemy na iloczyn wektorów prostokątnych $a \perp b$:

$$a \cdot b = 0, \text{ bo } \cos \frac{\pi}{2} = 0$$

Równość powyższa jest zarazem kryterium prostokątności dwóch wektorów.

Stosując definicję iloczynu skalarnego do wektorów jednostkowych i, j, k dostajemy:

$(i i) = 1 \cdot 1 \cos 0 = 1$, $(j j) = 1$, $(k k) = 1$
 wogóle $(a a) = a^2 = a^2$, natomiast:

$$(i j) = 1 \cdot 1 \cos 90 = (i k) = (j k) = 0$$

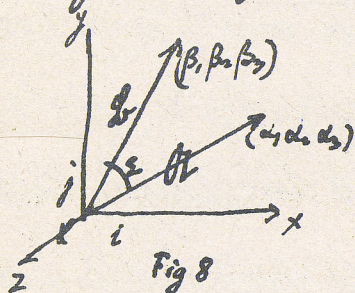
Nobec tego iloczyn skalarny dwu wektorów:

$$a = a_1 i + a_2 j + a_3 k \quad \text{oraz}$$

$$b = b_1 i + b_2 j + b_3 k \quad \text{przedstawia się:}$$

$$(a b) = a_1 b_1 + a_2 b_2 + a_3 b_3.$$

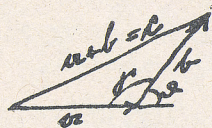
Zastosowując określenie iloczynu skalarnego do dwu dowolnych wektorów jednostkowych M i L zamykających kąt ε dostajemy w prosty sposób wzór znany w geometrii analitycznej:



$$M L = \cos \varepsilon = \cos \alpha_1 \cos \beta_1 + \cos \alpha_2 \cos \beta_2 + \cos \alpha_3 \cos \beta_3,$$

gdzie $(\alpha_1, \alpha_2, \alpha_3)$ $(\beta_1, \beta_2, \beta_3)$ oznaczają kąty, jakie wektory M, L tworzą z osiami układu.

Mozna tu też w sposób całkiem prosty wyprowadzić wzór



Cosinusa:

$$(a+b)^2 = a^2 + 2(a b) + b^2 \quad \text{czyli}$$

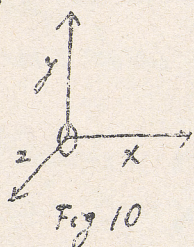
$$c^2 = a^2 + b^2 + 2ab \cos \varepsilon \quad \text{lub}$$

$$c^2 = a^2 + b^2 - 2ab \cos \gamma$$

V. Iloczyn wektorowy czyli jak go Grassmann nazywa zewnętrzny: $[a, b] = V a, b$ określamy w następujący sposób: jest to nowy wektor, którego wielkość bezwzględna wynosi: $a \cdot b \sin(\alpha)$, kierunek zaś jest \perp prostopadły do kierunków wektorów a, b i tworzący z nimi system trójkąt „praworęczny” i piszemy to:

$$[a, b] = a \cdot b \sin(\alpha) C$$

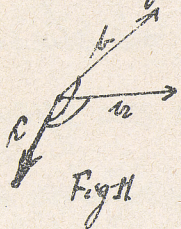
Wyjaśnić należy jeszcze, co rozumiemy przez słowo system „praworęczny”. Wyobraźmy sobie układ np. prostokątny w przestrzeni tak, jak to przedstawia Fig 10., gdzie



narysowane osie są dodatnimi. Przez obrót około punktu O dodatnia os $x^{1^{ta}}$ może przejść w dodatnią os $y^{1^{ta}}$, a następnie w dodatnią os $z^{1^{ta}}$.

Wielki układ trzech wektorów, o dowolnych kierunkach, będziemy nazywali praworęcznym, jeśli w sposób ciągły przez obrót, każdy z wektorów będzie mógł w tym samym sensie, jak w naszym wypadku drzewgótowym, przechodzić kolejno w dwa pozostałe. Dla łatwiejszego pamiętania i oryentowania się podamy jeszcze określenie tego systemu za pomocą ruchu ręki przy wkorkowywaniu kołka łąki praworęcznego (lub śruby prawoskrętnej).

System praworeczny jest to taki układ trzech wektorów, dowolnie do siebie nachylonych, gdy w punkcie ich początkowym umieścimy prawą rękę zwróconą palcami w kierunku strzałki jednego z nich, to przy skróceniu ręki wzywaniem dla wkorkowania karkocięgu praworecznego, pozostały wektor przechodzi ciągłym obrotem w trzeci. System praworeczny jest wzywany w Anglii, stąd zowią go też „angielskim”. Znany on jest również pod nazwą „chmielowego” bo tak wije się chmiel około swej podpórki. Jest jeszcze w wyciągu system „lewareczny”, lub „francuski” lub „winny”. My używać będziemy systemu praworecznego.



Wracając obecnie do definicyi iloczynu wektorowego, dochodzimy na podstawie powyższego określenia systemu praworecznego do wniosku, że np. iloczyn wektorowy wektorów a i b

(Fig 11) będzie wektorem prostopadłym do płaszczyzny przesuniętej przez kierunki a i b będzie strzałką ku nam zwrócony. Iloczyn natomiast wektorowy $[ba]$ przedstawia wektor co do wielkości bezwzględnej równy poprzedniemu, strzałką jednak skierowany wresz przeciwnie. Stąd

$$[ba] = -[ab]$$

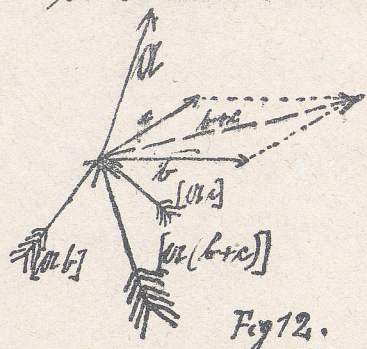
Niemna więc dla iloczynu wektorowego prawa przemienności;
ważne natomiast jest dlań prawo rozdzielności tj:

$$[a(b+c)] = [ab] + [ac]$$

Dowód na to przeprowadza się na mocy definicji. Równość
powyższa jest równoważna z równością:

$$a[M(b+c)] = a[Mb] + a[Mc],$$

gdzie a oznacza tensor zaś M wektor. Co do wartości bez-



względnej jest ta równość oczywista,
co do kierunku zaś strzałki, rozwa-
żajmy z osobna stronę lewą i pra-
wą przypuszczalnej równości i

przekonajmy się, czy kierunki się nakręją, drogą geometryczną.

Wektor $[M(b+c)]$ jest skierowany prostopadle do płaszczyzny
poprowadzonej przez M i $b+c$ od patrzącego na rycinę. (Fig. 12).

Wektor $[Mb]$ prostopadły do płaszczyzny poprowadzonej przez M i b
oraz $[Mc]$ prostopadły do płaszczyzny przechodzącej przez M i c
są również skierowane strzałką od patrzącego na rycinę.

Wektory $[M(b+c)]$, $[Mb]$, $[Mc]$ jako prostopadłe do wektora M
leżą w jednej płaszczyźnie. Wektory $b+c$, b , c leżą też
w jednej płaszczyźnie. Utwórzmy w myśli ich rzuty na płas-
zczyznę wektorów poprzednich. Po obrocie o 90° dadzą te

wektory kierunku wektorów $[M(b+c)]$, $[Mb]$, $[Mc]$. Stąd słuszność naszego powiedzenia.

Jeśli $m \parallel b$ to $[m, b] = 0$, jeśli zaś $m \perp b$ $[m, b] = ab \cdot l$.

Wobec tego: $[i, i] = 0$; $[j, j] = 0$; $[k, k] = 0$

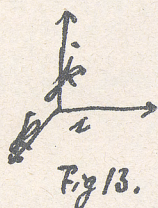


Fig. 13.

$$[i, j] = k \quad [j, i] = -k$$

$$[j, k] = i \quad [k, j] = -i$$

$$[k, i] = j \quad [i, k] = -j$$

Wyrażając wektory przez wektory składowe, dostaniemy

$$[m, b] = [a_1 i + a_2 j + a_3 k][b_1 i + b_2 j + b_3 k] =$$

$$= i(a_2 b_3 - a_3 b_2) + j(a_3 b_1 - a_1 b_3) + k(a_1 b_2 - a_2 b_1) =$$

$$= \begin{vmatrix} i & j & k \\ a_1 & a_2 & a_3 \\ b_1 & b_2 & b_3 \end{vmatrix}$$

Co się tyczy dzielenia, to zauważymy że dzielić można wektory przez wielkości skalarne, uważając tę operację jako odwrotną mnożenia wektora przez wielkość skalarną; natomiast dzielenia przez wektor nie określamy. Rozważymy jeszcze dwa następujące składowania trzech wektorów:

$$([c, m, b]), \quad [c, [m, b]]$$

Pierwsze z tych wyrażeń da się łatwo interpretować geometrycznie:

nie. Zauważymy przede wszystkim, że nie będzie ono już wektorem. $[a, b] = ab \sin(\alpha, b) c$ przedstawia co do wartości bezwzględnej pole równoległoboka przekrutowanego. Zatem $(c[a, b]) =$

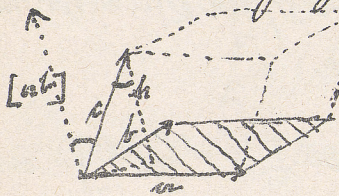


Fig 14.

$= c \cdot ab \sin(\alpha, b) \cos(c, [a, b])$ przedstawia objętość

równoległościanu o wysokości h . Napiszemy więc:

$$(c[a, b]) = \int c \nabla a b = Vol(a, b, c)$$

Do tego samego doszlibyśmy drogą rozpisywania na składowe wektory:

$$[a, b] = \begin{vmatrix} i & j & k \\ a_1 & a_2 & a_3 \\ b_1 & b_2 & b_3 \end{vmatrix} = i(a_2 b_3 - b_2 a_3) + j(a_3 b_1 - b_3 a_1) + k(a_1 b_2 - b_1 a_2)$$

$$(c[a, b]) = c_1(a_2 b_3 - b_2 a_3) + c_2(a_3 b_1 - b_3 a_1) + c_3(a_1 b_2 - b_1 a_2) =$$

$$= \begin{vmatrix} c_1 & c_2 & c_3 \\ a_1 & a_2 & a_3 \\ b_1 & b_2 & b_3 \end{vmatrix}$$

co przypomina nam znany wzór geometrii analitycznej na objętości równoległościanu

$$\begin{vmatrix} x_1 & x_2 & x_3 \\ y_1 & y_2 & y_3 \\ z_1 & z_2 & z_3 \end{vmatrix}$$

którego jeden wierszolatek znajduje się w początku układu prostokątnego zaś, inne zaś określone są współrzędnymi $x_1, y_1, z_1, x_2, y_2, z_2, x_3, y_3, z_3$.

Zakładając w szczególności, że

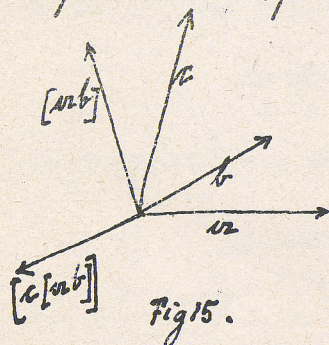
$$(c[ab]) = 0$$

wniosujemy, że przynajmniej jeden z wektorów jest zerem. Gdy ten wypadek, jako nieciekawy odrzucimy, pozostać nam zostanie drugi, że wszystkie trzy wektory leżą w jednej płaszczyźnie czyli są komplanarne. Relacja więc

$$(c[ab]) = 0$$

gdzie c przedstawia wektor zmienny oznacza, że wektor c leży w płaszczyźnie wektorów a i b .

Drugie ze wspomnianych wyrażień $(c[ab])$ rzadziej jest spotykane i niema tak prostego wytłumaczenia geometrycznego. Wyrażenie to będzie już wektorem; postaramy się o niego napisać. Z prostego rozważania wynika, że wektor $(c[ab])$



leży w płaszczyźnie poprowadzonej przez wektory a, b . Można tedy rozłożyć z tych wektorów rozłożyć w składowe w kierunkach dwóch prostopadłych. Można więc

napisać:
$$(c[ab]) = u a + v b$$

gdzie u i v są nazwie nieokreślone. Równanie to zachowa się przez pomnożenie po obu stronach przez jakiegokolwiek wiel.



Kosinus, więc np. przez v . Bezdnie

$$(c[c[ab]]) = u(c a) + v(c b)$$

Leżąc wektor $c \perp [c[ab]]$, zatem $(c[c[ab]]) = \rho c[c[ab]] = 0$, stąd

$$\frac{u}{v} = - \frac{(c b)}{(c a)} \quad \text{czyli}$$

$$u = \alpha(c b) \quad v = -\alpha(c a)$$

gdzie α jeszcze nie określone. Wstawiając wartości u, v wyżej mamy:

$$[c[ab]] = \alpha \{ a(c b) - b(c a) \}$$

Widzimy, że nie zależy od szczególnego nachylenia do siebie wektorów: $c, [ab], a, b$; zatem możemy przyjąć w szczególności: $a = i, b = j, [ab] = k, c = i$. Wobec równości $[i k] = -j$ dostaniemy:

$$-j = \alpha \{ i \cdot 0 - j \cdot 1 \}$$

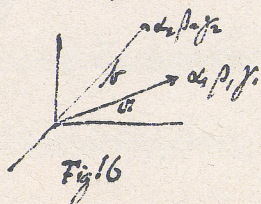
zatem $\alpha = 1$. Stąd zaś dostajemy wzór żądany:

$$[c[ab]] = a(c b) - b(c a).$$

Łączenie iloczynu wektorowego i skalarnego namówia nam jeszcze jedno ciekawe wyrażenie:

$$([a b][a b]) = ([a b])^2 = a^2 b^2 \sin^2(\alpha b)$$

Zakładając $a^2 b^2 = 1$, oraz $\angle(a b) = \angle 2$,



$$a = i \cos \alpha_1 + j \cos \beta_1 + k \cos \gamma_1$$

$$b = i \cos \alpha_2 + j \cos \beta_2 + k \cos \gamma_2$$

dostajemy wzór:

$$(\cos b)^2 = (a_2 b_3 - a_3 b_2)^2 + (a_3 b_1 - b_3 a_1)^2 + (a_1 b_2 - b_1 a_2)^2 \text{ czyli}$$

$$\sin^2 \varepsilon = (\cos \beta_1 \cos \beta_2 - \cos \beta_2 \cos \beta_1)^2 + (\cos \beta_1 \cos \alpha_2 - \cos \beta_2 \cos \alpha_1)^2 + (\cos \alpha_1 \cos \beta_2 - \cos \alpha_2 \cos \beta_1)^2$$

Barzo prostym wzorami przedstawiają się w rachunku wektorowym równania linii prostej, krzywej, płaszczyzny w przestrzeni.

Niech się też pokrótce zajmniemy.

Równanie krzywej wogóle dostaniemy, wyrażając wektor r jako funkcję parametru dowolnego s .



Fig 17

$$r = f(s)$$

Jeśli np. m oznacza nam wektor stały o określonym kierunku, to równanie prostej, przechodzącej przez początek układu O , w tym danym kierunku, będzie

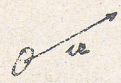


Fig 18.

$$r = x \cdot m$$

gdzie x podaje wielokrotność wektora m . Gdybyśmy chcieli mieć równanie prostej, przechodzącej przez punkt przestrzeni P w kierunku wektora m , wystarczy zauważyć z uwagi, że:

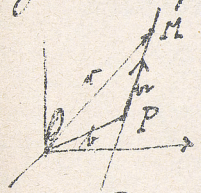


Fig 19.

$$r = b + x m$$

Jest to żądane równanie prostej, m i b oznaczają pewne wektory stałe, zaś x wielkość zmienną uogólną.

Analogicznie dostaniemy na równanie płaszczyzny przechodzącej przez dwa dane wektory a, b , i porządek układu O wzór:

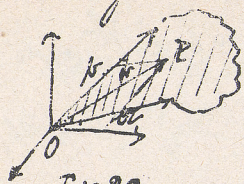


Fig. 20.

$$r = u a + v b,$$

gdzie u i v zmienne dowolne. By dostać zaś równanie płaszczyzny nie przechodzącej przez porządek układu O , leżącej

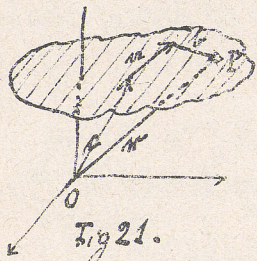


Fig. 21.

zaś na wektorach a i b , wystarczy z wyc. 21, że

z wyc. 21, że

$$r = c + u a + v b.$$

Tem równaniem będzie objęty kowidz punkt

P żądanej płaszczyzny. Jeż wów tych łatwo przejść do równań zwykłych geometrii analitycznej, rozkładając wektory na ich składowe w kierunkach x, y, z : Np. w ostatnim równaniu powyższym: $r = i x + j y + k z = i c_1 + j c_2 + k c_3 + u(i a_1 + j a_2 + k a_3) + v(i b_1 + j b_2 + k b_3).$

Pomnażając według i, j, k dostajemy:

$$x = i c_1 + u a_1 + v b_1,$$

$$y = i c_2 + u a_2 + v b_2$$

$$z = i c_3 + u a_3 + v b_3$$

Rugając stąd $1, u, v$, dostajemy równanie płaszczyzny zwykłe geometrii analitycznej. Ogólny kształt równania płaszczyzny w rachunku wektorowym przedstawia się

$$r = \varphi(u, v)$$

gdzie u, v są dwoma parametrami niezależnymi, bo płaszczyzna jest utworem dwuwymiarowym. Równania w tej formie napisane nazywamy wyrażeniami (explicit Vektorgleichungen), w przeciwstawieniu do równań, gdzie r nie jest wyrażane wyrażenie jako funkcja pozostałych parametrów. Te ostatnie równania nazywamy niewyrażeniami (implicit Vektorgleichung).

Przykłady takich równań mieliśmy już: Powiedzmy, że

$$(m, b) = 0$$

znaczy, że wektor $m \perp b$. Załóżmy, że b jest wektorem zmiennym i naznaczymy go: r . Dostaniemy równanie płaszczyzny

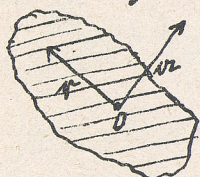


Fig 22

$$(m, r) = 0$$

przechodzącej przez O i prostopadłej do m . Gdybyśmy chcieli dostać równanie płaszczyzny nie przechodzącej przez początek układu O , lecz ogólne, trzeba na miejsce r wstawić $\vec{MP} = b - r$

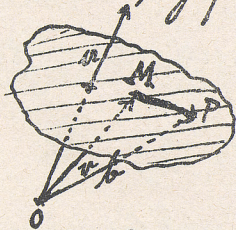


Fig 23

$$(m, (b - r)) = 0$$

Wykonując ów iloczyn skalarny, mamy:

$$(m, b) = (m, r) = m \text{ lubo stała. Zatem}$$

$$(m, r) = m$$

przedstawia najogólniejszą formę równania płaszczyzny. Rozpisując je, mamy:

$$a_1 x + a_2 y + a_3 z = m$$

$$\frac{x}{\left(\frac{m}{a_1}\right)} + \frac{y}{\left(\frac{m}{a_2}\right)} + \frac{z}{\left(\frac{m}{a_3}\right)} = 1$$

równanie odcinkowe płaszczyzny.

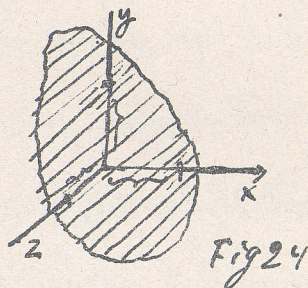


Fig 24

Wiemy również, że:

$$[r, n] = 0$$

oznacza że wektor $r \parallel n$. Jest to zatem równanie prostej przechodzącej przez 0 i równoległej do n .

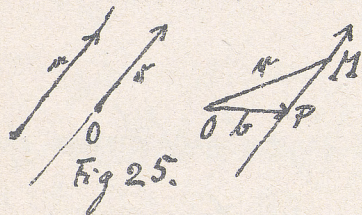


Fig 25.

Równanie prostej ogólne dostaniemy zastępując r przez $r - b = \overline{PM}$.

$$[(r - b), n] = 0$$

Stąd $[r, n] = [b, n]$ lub

$$[r, n] = C$$

ogólne równanie prostej

wiekłane. Da się ono znowa przez rozpisanie sprowadzić do formy Kartezjuszowskiej:

$$[r, n] = \begin{vmatrix} i & j & k \\ x & y & z \\ a_1 & a_2 & a_3 \end{vmatrix} = i c_1 + j c_2 + k c_3$$

Skąd

$$a_3 y - a_2 z = c_1$$

$$a_1 z - a_3 x = c_2$$

$$a_2 x - a_1 y = c_3$$

Skąd przez rugowanie dochodzimy do równania prostej współczesnych punktu x, y, z .

Jeszcze damy przykład zastosowania rachunku wektorowego do krzywych przestrzennych. Krzywa przestrzenna

przedstawi się równaniem:

$$r = \varphi(u)$$

gdzie u jest parametrem zmiennym.

Dla $u + du$ będzie

$$r + dr = \varphi(u + du) \quad , \text{ skąd}$$

$$dr = \varphi(u + du) - \varphi(u)$$

Stąd dostajemy już wprost równanie stycznej do krzywej przestrzennej. Niech dla pewnego u_0 , wektor r staje się r_0 .

Dla takiego punktu krzywej równanie jej stycznej będzie:

$$[(r - r_0) dr] = 0$$

Równanie płaszczyzny normalnej do stycznej, gdy żądamy by $(r - r_0) \perp dr$. Żadając się temu warunkowi równaniem:

$$(r - r_0) dr = 0$$

Jest to więc równanie płaszczyzny normalnej przechodzącej przez pewien punkt krzywej.

Jeżeli przez trzy punkty przestrzeni poprowadzimy płaszczyznę

czyrnej, to to wychodzi na jedno, gdybyśmy powiedzieli, że prowadzimy płaszczyznę przez dwa wektory przechodzące przez owe punkty. Płaszczyznę taką nazywamy ściśleścyczną. Z poprzedniego wiemy, że równość $(c[ab])=0$ oznacza, że wszystkie trzy wektory leżą w jednej płaszczyźnie. Zrobimy z tego zastosowanie. Z równania krzywej $r = \varphi(u)$ i z fig 27. mamy:

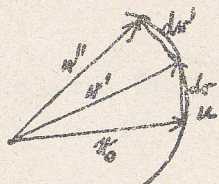


fig 27.

$$r' = r + dr = \varphi(u + du) = r + \varphi'(u) du$$

$$r'' = r' + d^2r = r' + d^2r = r + \varphi''(u) du^2$$

Równanie:

$$(r - r_0)[dr d^2r] = 0$$

oznacza, że wektor $r - r_0$ leży w płaszczyźnie wektorów dr i d^2r czyli równanie to określa nam płaszczyznę ściśleścyczną, przechodzącą więc przez dwa wektory dr, d^2r , czyli przez trzy punkty krzywej.

Prostopadła w punkcie krzywej do płaszczyzny ściśleścycznej (czyli prostopadła do dwu sąsiednich stycznych krzywej) zwie się binormalną. Jeśli oznaczymy, że symbol $U[ab]=0$ oznacza nam wektor prostopadły do obu wektorów a i b , to

$$N = U[dr d^2r]$$

oznaczać nam będzie Kierunek normalnej. Prosta prostopadła w punkcie krzywej do jej stycznej i binormalnej nazywa

się normalną główną. Postępując się tem samem nakowaniem co wyżej, naznaczymy jej kierunek:

$$N_g = U[Ndr] = U[dr[dr d^2\varphi]].$$

Przykład. Jako przykład numeryczny można by uważyć przęt śrubową utworzoną na powierzchni walca przez punkt kota obracającego się około osi przez jego środek przechodzącej, wzdłuż której kota się posuwa. Równanie takiej krzywej będzie:

Fig 28.



$$r = ix + jy + kz$$

w którym, jeśli a oznacza promień kota, a α kąt zawarty między osią k a promieniem tę-

żącym punkt krzywej z punktem osi, jest

$$x = a \cos \alpha, \quad z = a \sin \alpha,$$

Łakadojąc na kąt α zmienną wartość βy , dostaniemy swe równanie w formie:

$$r = i a \cos(\beta y) + jy + k a \sin(\beta y)$$

Ma więc to równanie kształt ogólny $r = \varphi(y)$. Chcąc np. obliczyć równanie stycznej, utworzymy:

$$dr = (-i a \beta \sin(\beta y) + j + k a \beta \cos(\beta y)) dy \text{ i wstawimy}$$

to w równanie ogólne stycznej. Bedzie więc styczna tej krzywej:

$$[(r - r_0)(-i a \beta \sin(\beta y_0) + j + k a \beta \cos(\beta y_0)) dy] = 0$$

Analogicznie wyprowadzilibyśmy wzory na płaszczyznę normalną, ściśle stycznią, binormalną, normalną główną, w co już nie wchodzić. Zauważymy tylko, że o ile wygodnym byłby rachunek wektorowy w ogólnych rozważaniach, to w szeregotowym obliczaniu sprawy nie ułatwiał.

Jeszcze rozważymy wypadek, gdy wektor r jest przedstawiony jako funkcja długości łuku s .

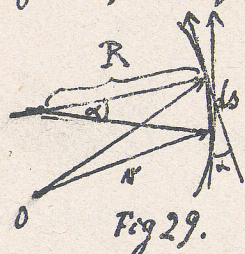


Fig 29.

$$r = f(s) \quad \text{Stąd}$$

$$dr = f'(s) ds$$

$$\frac{dr}{ds} = f'(s) = \tau(s) = \text{wektor jednostkowy w kierunku stycznej}$$

(jest to bowiem stosunek wektora do długości łuku). Wyobraźmy sobie takie dwa kolejne wektory jednostkowe

$$\tau(s), \tau(s+ds).$$

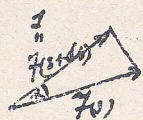


Fig 30.

$$\tau(s+ds) - \tau(s) = d\tau$$

$$\frac{\tau(s+ds) - \tau(s)}{ds} = \frac{d\tau}{ds}$$

Jeśli $|d\tau|$ oznacza nam wartość bezwzględna, R promień krzywizny (Fig 29) to: $|d\tau| : ds = 1 : R$. Stąd krzywizna

$$\frac{1}{R} = \left| \frac{d\tau}{ds} \right| = \left| \frac{d^2 r}{ds^2} \right|$$

(znaczenie 2^{tej} pochodnej). Rozważania te znajdują zastosowanie przy sile odśrodkowej. Na tem kończymy na razie

zajmowań się rachunkiem wektorowym, porównując sobie wzajemnie^{nie} go w zastosowaniach fizycznych w stosownych miejscach później i przystępujemy już do zagadnień mechaniki.

Kinematyka punktu.

Kinematyka zajmuje się, jak już wyżej powiedzieliśmy, rozpatrywaniem ruchu tj. zmiennością położenia punktu w czasie bez względu na siłę (masę ciała). Aby ruch opisać musimy mieć dane położenie punktu w poszczególnych chwilach czasu. Położenie ciała punktu możemy określić tylko przez odniesienie do innych utworów przestrzennych. Np. pytamy tedy zaraz na początku na bardzo ważną kwestję względności, dotyczącą ustalenia układu odniesienia. Jeślibyśmy nie wchodzili w logiczną stronę naszych równań ruchu, to moglibyśmy sobie pomysleć taki układ gdziekolwiek na ziemi lub na jakiej gwiazdzie ustalony. Wobrem laboratoryum mogłyby nawet uzyskane prawa okazać się ważnemi, lecz już dla zjawisk, w które ruchy ziemi lub gwiazdy wchodzi (np. zj. Foucolta) będą równania

nieważne. Starano się przedtem w inny sposób trudność tę usunąć; oto konstruowano sobie układ w przestrzeni tj. eteru i rozpatrywano wtedy ruchy względem eteru, który uwarowano za Lorentzem za nieruchomy. Sądzono, że aberracja światła daje nam ruchy względem eteru. Przekonano się odtąd, że to jest tylko aberracja gwiazd, doświadczenia zaś Michelsona wykazały, że ruchów względem eteru nie można stwierdzić. Długo wreszcie odrzucono zupełnie w fizyce pojęcie eteru, ale na miejsce jego wszedł nowy kłopot: pojęcie czasu. Dawniej tego pojęcia nie analizowano bliżej. Według nowych pojęć człowiek jadący w wagonie ma inny czas, niż stojący np. na stacji. Są to zasady względności opracowane przez Einsteina. Nie będziemy na razie w to wchodzić, pozostaniemy przy dawnym pojęciu czasu, a zaspokoiemy się tem, że owe innowacyjne rozróżnienia wcale są dopiero przy bardzo wielkich prędkościach np. ruchu światła. Wobec tego że układy względem, ziemi, gwiazd, czy też słatego α, nie mają żadnego uzasadnienia, przyjmujemy jako definicję układu, najściślejszą jeszcze definicję Langer'a: Comyślimy sobie w bardzo wielkiej odległości od systemów planetarnych, tak by ich siły grawitacyjne

ne nie wywierały już żadnego wpływu, trzy strzelby prostopadle do siebie ustawione, równocześnie wystrzelone. Drogi pocisków wyznaczają nam trzy osie, a punkt przecięcia się tych dróg porażył układu. Pozycję jakiegokolwiek

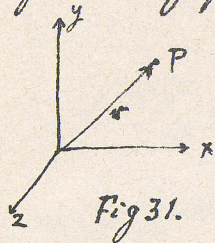


Fig. 31.

punktu P zależnie od czasu t (parametr) będzie określone sposobem geometrii analitycznej równaniami:

$$x = f(t) \quad y = \varphi(t) \quad z = \psi(t)$$

zaś w rachunku wektorowym równaniem:

$$r = P(t) = ix + jy + kz$$

Prędkość. Niech punkt P porusza się w sposób ciągły*) i niech położenie jego będzie w każdej chwili określone. Mając tak dane dwa położenia P_1

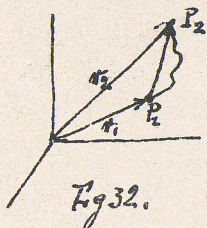


Fig. 32.

i P_2 (następujące po sobie w czasie) przez wektory r_1 i r_2 . Dla chwil t_1 i t_2 , określamy jako prędkość przeciętną wyrażenie:

$$\frac{r_2 - r_1}{t_2 - t_1}$$

gdzie $r_2 - r_1$ oznacza różnicę geometryczną. Przechodząc w tym wyrażeniu do granicy, dostajemy prędkość w danym momencie:

*) Co do pojęcia ciągłości funkcji patrz: Wstęp do teorii funkcji p.p. Sierpińskiego. (Kółko mat.-fiz.)

nej chwili :

$$\lim_{t_2 \rightarrow t_1} \frac{r_2 - r_1}{t_2 - t_1} = v = \frac{dr}{dt}$$

Wyrznięcie to jest wektorem. Można je rozłożyć na wektory składowe :

$$v = \frac{\lim (ix_2 + jy_2 + kz_2) - \lim (ix_1 + jy_1 + kz_1)}{t_2 - t_1} = i \lim \frac{x_2 - x_1}{t_2 - t_1} + j \lim \frac{y_2 - y_1}{t_2 - t_1} + k \lim \frac{z_2 - z_1}{t_2 - t_1}$$

czyli

$$v = i \frac{dx}{dt} + j \frac{dy}{dt} + k \frac{dz}{dt}$$

Jest to najprostszy sposób rozkładania prędkości v na jej prędkości składowe w kierunkach osi układu. Znacząc

$$u = \frac{dx}{dt} \quad v = \frac{dy}{dt} \quad w = \frac{dz}{dt}$$

napiżemy nasz rozkład w formie :

$$v = i u + j v + k w$$

Wartość bezwzględna prędkości będzie :

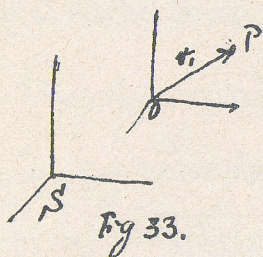
$$\begin{aligned} V &= \sqrt{u^2 + v^2 + w^2} = \\ &= \sqrt{\left(\frac{dx}{dt}\right)^2 + \left(\frac{dy}{dt}\right)^2 + \left(\frac{dz}{dt}\right)^2} \\ &= \frac{\sqrt{(dx)^2 + (dy)^2 + (dz)^2}}{dt} = \frac{ds}{dt} \end{aligned}$$

gdzie ds przedstawia element drogi, s ogólnie łuk drogi.

Słowami określają jeszcze inaczej prędkość: jako zmienność czasową położenia punktu. Definicja ta odnosi się nie tylko do prędkości jednostajnej ale też ciągle zmien-

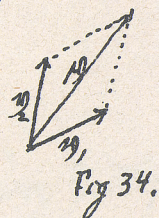
nej.

Składanie prędkości. Niech punkt P ma określone położenie



względem układu O , ten ostatni zaś niech ma określone położenie względem układu S . Przeto ma też punkt P określone położenie względem S . Będzie

ono superpozycją dwu poprzednich położeni. Stąd: zmiany położenia P względem O oraz zmiany układu O względem S superponują, tj zmiana położenia punktu P względem S jest sumą geometryczną dwu zmian poprzednio powie-



nych. Jeśli więc v_1 oznacza prędkość P względem O , zaś v_2 prędkość O względem S , to prędkość wypadkowa:

$$v = v_1 + v_2$$

Liczne są przykłady superpozycji: 1. Choćby owo sławne spadanie kufierka w wagonie poruszającym się.

2. Do obwodu koła wozu jadącego przyczepia się papiererek.



Skutkiem takiego ruchu powstanie cykloida. W ruchu tym pow-

stają punkta zwrotne, gdzie prędkość = 0.

3. Figury Lissajous są złożeniem dwu ruchów harmonic.

nych względem siebie prostopadłych. Kształt tych figur zależy od stosunku okresów. Niech np. ruch tak będzie określony

$$x = a \sin \alpha t, \quad y = b \cos \alpha t$$

Prędkości: $\frac{dx}{dt} = a\alpha \cos \alpha t$ $\frac{dy}{dt} = -b\alpha \sin \alpha t$

Prędkość wypadkowa: $V = \sqrt{(a\alpha \cos \alpha t)^2 + (b\alpha \sin \alpha t)^2}$.

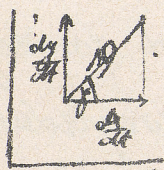


Fig. 36.

Kierunek jej znajdziemy z uwagi, że jej składowe $\frac{dx}{dt}$, $\frac{dy}{dt}$ superponują się geometrycznie.

Będzie zatem: $\tan \varphi = \frac{\frac{dy}{dt}}{\frac{dx}{dt}} = \frac{dy}{dx} = -\frac{b}{a} \tan \alpha t$.

Kształt toru dostaniemy rugując t z równań: $x = \varphi(t)$, $y = \psi(t)$. Tu zatem:

$$\left. \begin{aligned} \sin \alpha t &= \frac{x}{a} \\ \cos \alpha t &= \frac{y}{b} \end{aligned} \right\} \text{stad} \quad 1 = \frac{x^2}{a^2} + \frac{y^2}{b^2}.$$

Jest to równanie elipsy.

Żatem przy składowaniu dwu ruchów harmonicznych, prostopadłych do siebie, o różnych amplitudach a , b , a równych okresach α , dostaniemy ruch eliptyczny.

Dla $t=0$ $x=0$ $y=b$

Przywrócić t , x rośnie, y maleje. Ruch odbywa się w kierunku strzałki.

Dla $t = \frac{\pi}{2\alpha}$ $x=a$ $y=0$

" $t = \frac{\pi}{\alpha}$ $x=0$ $y=b$ znowu ruch się

ten sam na nowo zaczyna. Żatem ruch ten periodyczny.

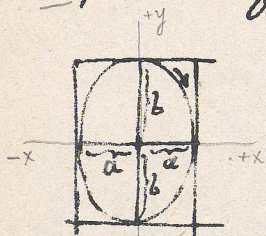


Fig. 37.

Jeżeli byśmy złożyli równania:

$$x = a \sin \omega t; \quad y = b \cos(\omega t + \varepsilon)$$

dostalibyśmy znów ruch po elipsie, atoli elipsa ta pociągana będzie asymetrycznie względem osi x i y . Będzie się ona mogła też degenerować w prostą. Stanie się to wówczas,

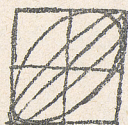


Fig. 38.

gdy $x = a \sin \omega t$

$y = b \sin \omega t$ tj. dla $\varepsilon = \frac{3\pi}{2}$, bo wtedy

$$\cos(\omega t + \frac{3\pi}{2}) = \sin \omega t.$$

Ciekawsze przykłady składania ruchów dają równania:

$$x = a \sin \omega t$$

$$y = b \cos m \omega t \quad (m \text{ nat.})$$

Stawny jest przykład składania i rozkładania ruchów planet, które przypominają ruchy po epicykloidzie. Główna zastrzeżenie N. Kopernika polega właśnie na tem, że on widzi ruchy planet pojęt jako porowne i jako superpozycję ruchów ziemi, oraz obserwowanych planet. W ten sposób uprościł wiele spraw. Uproszczenie to nie musi zaraz opisywać istoty ruchów ciał niebieskich, czyni nam tylko pojmowanie ich daleko prostszym niż to czyniła rozrada Ptolemeusza.

4. Proiz współrzędnych Kartezjuszkowskich lub wielkości pek-
torowych możemy jeszcze używać do opisu ruchu współrzęd-

nych biegunowych. np:

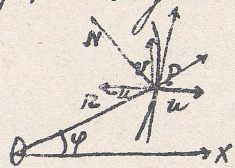


Fig 39.

$$x = r \cos \varphi \quad y = r \sin \varphi$$

gdzie r i φ są wielkościami zmiennymi.

$$u = \frac{dx}{dt} = \frac{dr}{dt} \cos \varphi - r \sin \varphi \frac{d\varphi}{dt}$$

$$v = \frac{dy}{dt} = \frac{dr}{dt} \sin \varphi + r \cos \varphi \frac{d\varphi}{dt}$$

Możemy te prędkości składowe złożyć w wypadkową:

$$V = \sqrt{u^2 + v^2} = \sqrt{\left(\frac{dr}{dt}\right)^2 + r^2 \left(\frac{d\varphi}{dt}\right)^2}.$$

Noboc dowolności składowania i rozkładania możemy, mając prędkość V rozłożyć ją na składowe: w kierunku promienia wodzącego r i w kierunku normalnym do r .

W tym celu uwiaryamy jej składowe pierwsze u i v .

Z u przypadnie w kierunku promienia: $u \cos \varphi$, z v natomiast: $v \sin \varphi$; w kierunku normalnej przypadnie z u wartość: $-u \sin \varphi$, zaś z v przypadnie: $v \cos \varphi$. (patrz Fig 39.)

Superponując teraz to wszystko dostajemy:

$$v_z = u \cos \varphi + v \sin \varphi$$

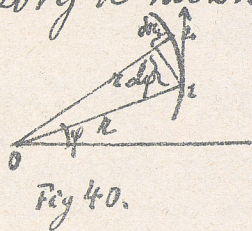
$$v_{\perp} = -u \sin \varphi + v \cos \varphi$$

Wstawiając w te wzory na u i v wartości poprzednio znalezione dostaniemy:

$$v_z = \frac{dr}{dt}$$

$$v_{\perp} = r \frac{d\varphi}{dt}$$

Wzory te można zresztą bezpośrednio wywnioskować. Gdy



punkt poruszy się od 1 do 2, r wzrośnie o Δr; więc stuszny poprzedni wórpierwszy.

Odnosnie do drugiego, powiadamy, że wzrośnie φ o Δφ. Długość odcinka normalnego do r będzie r Δφ, więc znów wzór stuszny.

Przyspieszenie. Podobnie, jak do pojęcia prędkości dochodzimy z pojęcia drogi i czasu, tak też pojęcie przyspieszenia tworzymy na podstawie pojęcia prędkości i czasu. Określamy przyspieszenie: jako zmienność czasową prędkości. Znaczy się to, obserwujemy prędkości w dwu bliskich momentach czasu i tworzymy ich różnicę geometryczną i dzielimy przez czas. Przyspieszenie jest wielkością wektorową. Zauważymy, że wyraz „przyspieszenie” używamy tu w innym sensie niż się go potocznie używa, względnie zakres jego zwiększamy. W tem też znaczeniu mówimy o ruchu przyspieszonym po obwodzie koła, chociaż ruch ten odbywa się tak, że punkt w równych czasach zakresła równe łuki. Inicjuia się jednak tu kierunek. Wnypł słownych określeń znaczymy przyspieszenie:

$$a = \lim_{t_2 \rightarrow t_1} \frac{v_2 - v_1}{t_2 - t_1} = \frac{dv}{dt}$$

Nobec prędkości ułożenia $v = \frac{dx}{dt}$

$$w = \frac{d^2x}{dt^2} = i \frac{d^2x}{dt^2} + j \frac{d^2y}{dt^2} + k \frac{d^2z}{dt^2}.$$

Zatem przyspieszenie w można uważać za superpozycję przyspieszeń w kierunkach osi układu. Co do wartości bezwzględnej wyrazi się ono:

$$W = \sqrt{\left(\frac{d^2x}{dt^2}\right)^2 + \left(\frac{d^2y}{dt^2}\right)^2 + \left(\frac{d^2z}{dt^2}\right)^2}.$$

Prędkość wypadkowa w każdej chwili ma kierunek styczny do toru. Z przyspieszeniem jest zupełnie odmiennie. Przyspieszenie nie jest w ogóle styczne. Analogicznie, jak wogóle wielkości wektorowe, rozkładamy też przyspieszenie. Często rozkładamy się przyspieszenie w kierunku stycznym do toru i normalnym; temu się więc tu zajmujemy. Dla prostoty założymy, że ruch rozpatrywany w tej chwili jest płaski. Prędkość V rozkładamy na u w kierunku osi x ów, i v w kierunku osi y ów: $u = V \cos \gamma$, $v = V \sin \gamma$.

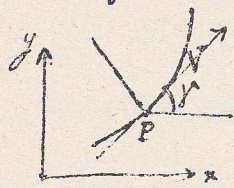


Fig 42

Odpowiednie przyspieszenia są:

$$\frac{d^2x}{dt^2} = \frac{du}{dt} = \frac{dV}{dt} \cos \gamma - V \sin \gamma \frac{d\gamma}{dt}$$

$$\frac{d^2y}{dt^2} = \frac{dv}{dt} = \frac{dV}{dt} \sin \gamma + V \cos \gamma \frac{d\gamma}{dt}$$

Każde z tych przyspieszeń rozkładamy na przyspieszenie w kierunku stycznym i normalnym, a następnie przypadające przyspieszenia w tym samym kierunku superpo-

nujemy. Dostaniemy tak, jak to łatwo z ryciny 42. wywnioskować:

$$w_s = \frac{dx}{dt} \cos \gamma + \frac{dy}{dt} \sin \gamma$$

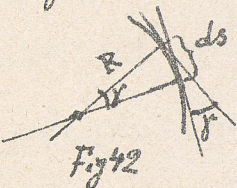
$$w_n = -\frac{dx}{dt} \sin \gamma + \frac{dy}{dt} \cos \gamma$$

Wstawiając w wyrażenia te za $\frac{dx}{dt}$, $\frac{dy}{dt}$ wartości ich poprzedsze, znajdziemy:

$$w_s = \frac{dV}{dt}$$

$$w_n = V \frac{d\gamma}{dt}$$

Wprowadzamy jeszcze tu pojęcie promienia krzywizny: $R = \frac{ds}{d\gamma}$



$$ds = R d\gamma \quad \text{czyli} \quad \frac{d\gamma}{dt} = \frac{1}{R} \frac{ds}{dt} = \frac{1}{R} \cdot V.$$

Niech wypiszemy jeszcze raz owe przyspieszenia, mamy:

$$w_s = \frac{dV}{dt}$$

$$w_n = \frac{V^2}{R}$$

Możnaby ze względu na przyspieszenie klasyfikować ruchy:

- 1). $w_n = 0$, $R = \infty$; $w_s \neq 0$ nie zależy od kształtu drogi tylko od położenia 2 punktów po sobie; w tym razie będzie ruch prostoliniowy coraz szybszy, gdy $w_s > 0$, coraz wolniejszy, gdy $w_s < 0$.
- 2). Gdy $w_n \neq 0$, $w_s \neq 0$, będzie ruch ogólnie krzywoliniowy kształtu zależnego od ułożenia przyspieszenia.

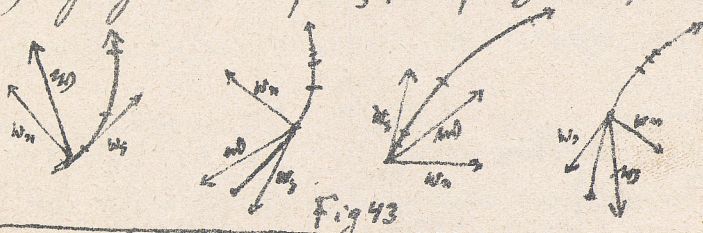


Fig. 43

: $\Delta Q_1 = 2\bar{Q}_1 - 2\bar{M}$. Można $2\bar{Q}_1$ uważać za równe $2\bar{3}$. Stąd zaś

$$\lim \frac{\Delta Q_1}{\Delta t} = \lim \frac{2\bar{3} - 2\bar{M}}{\Delta t} = \frac{dV}{dt}.$$

W kierunku normalnym składowa wynosi $\bar{Q}_1 \bar{3}$. Należy: $\bar{Q}_1 \bar{3} : 2\bar{3} =$

$2\bar{3} : R$ jest $\frac{\bar{Q}_1 \bar{3}}{\Delta t} = \frac{(2\bar{3})^2}{R} = \frac{v^2}{R}.$

Na tem kończymy nasze rozważania dotyczące kinematyki punktu, a przystępujemy do dynamiki punktu.

Dynamika punktu.

Zasady mechaniki.

Już Galileusz przewidział niektóre prawa dynamiki punktu. Kalkulacje swoje w tym względzie sprawdził doświadczaniem. Już bardzo prosta obserwacja poucza nas, że ciału swobodnie poruszające się spada ku ziemi z coraz większą szybkością. Galileusz zapytał się, według jakiego prawa ten ruch następuje; rozumowanie jego moglibyśmy tak wyrazić naszymi słowami: Jeśli $\frac{ds}{dt}$ wzrasta z czasem, to wzrost ten może być proporcjonalny do drogi. Przypuśćmy że tak jest, że zatem

$$\frac{ds}{dt} = as$$

i wyciągniemy stąd konsekwencje. Będzie

$$\frac{ds}{s} = a dt$$

$$\log s = \frac{-42-}{at} + \text{Const}$$

$$s = e^{\text{Const} + at} = A e^{at}$$

Dostaliśmy przy powyższym przybliżeniu taki wzór na drogę. Oczywiście dla $t=0$ musi być $s=0$. Według wzoru możliwe to jedynie, gdy $A=0$. Jeśli zaś tak jest, to wogóle ruch taki jest niemożliwy, bo nigdy nie mógłby się rozpocząć. Zatem supozycja była fałszywa. Wobec tego nasunęła się Galileuszowi inna myśl, że spadochron będzie można ująć w formę:

$$\frac{ds}{dt} = gt$$

Wyciągnijmy z tego konsekwencje.

$$ds = gt dt$$

$$s = \frac{gt^2}{2} + C$$

Zatóż my znówu warunki początkowe, a więc dla $t=0$, musi być $s=0$. Wymaga to by, $C=0$. Warunek ten nie sprzeciwia się wcale doświadczeniom. Albowiem ze wzoru:

$$s = \frac{gt^2}{2}$$

wyobrazamy, że ze wzrostem t wzrasta droga, co jest naturalne.

A więc ujęcie to matematyczne faktu fizycznego może być słuszne. Stwierdzić je atoli trzeba wielką ilością doświadczeń, co też Galileusz estolnie czynił. Używał on w tym celu równi pochyłej, bo wtedy prędkość ciała spadającego = $gt \sin \alpha$

Przy tak urządzonym doświadczeniu rachunek nasz jest ścisły, bo cięto toczy się po równi pochytej, a toczenie się cięta wywiera wpływ na przyspieszenie, jak to zresztą w mechanice ciał sztywnych bliżej rozpatrzyć będziemy mieli sposobem. Stwierdził też Galileusz swe twierdzenia z wieży pochytej w Pizie. Biorąc różne równie pochyte, nachylone pod różnymi kątami, wyciągnął dalej Galileusz wnioski teoretyczne,

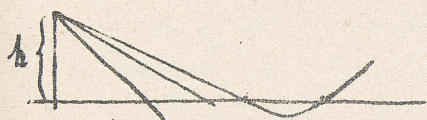


Fig 45.

że prędkość kulej od różnicy poziomu i że we wszystkich punktach tego samego poziomu prędkość jest jedna-

kowa. Gdy więc kulę się cięto poruszać w jednym i tym samym poziomie, to kulę to czynić z prędkością jednostajną. Tak doszedł Galileusz do prawa bezwładności opiewającego, że jeśli na cięto nie działa żadna siła, to zachowuje ono ruch prostoliniowy z prędkością jednostajną. Ze względu na to wiemy, że wobec panujących podówczas jeszcze poglądów Arystotelesa, były to myśli rewolucyjne.

Najbliższą formę osiągnęło Newton w dziele: "Philosophiæ naturalis principia mathematica" w formie definicji wstępnych i praw ruchu (leges motus). W pierwszych określa masę, ilość ruchu i siłę:

Masa - powiada on - jest to ilość materji; określa się ją ilościowym objętości i gęstości, a mierzy się ją ciężarem ciała.

Łość ruchu jest to iloczyn masy i prędkości. *mv*

Łość jest to dożenie do zmiany stanu spoczynku lub ruchu jednortajnego prostoliniowego.

Wzasa dach ruchu powiada:

1) Ciało zachowuje stan spoczynku lub ruch prostoliniowy jednortajny, póki siły zewnętrzne nie oddziaływają na nń.

2) Zmiana ruchu jest proporcjonalna do siły i odbywa się w kierunku siły.

3) Wzajemne działowania ciał na się są równe a odbywają się w przeciwnych kierunkach. (*actio aequat reactioni*)

Mechanika klasyczna winaję do trzech praw Newtona; musi się jednak przyznać, że forma ich wypowiedzenia jest bardzo wadliwa.*)

Według logicznej analizy definiacja masy właściwie nie nń definiuje; nie można mowić „ilość materji”, bo ilości materji nie potrafimy mierzyć, pojecie zresztą materji jest właściwie metafizyczne. Dalej wprowadzając słowo „gęstość” popełniamy *circularis vitiosus*, bo gęstość określa się znówu jako ilość masy w 1 cm^3 . Dalej warzenie ciała polega na zu-

*) Witkowski reformuje jwi w swem dziele ich wypowiedzenie. Franke stawia je jeszcze na czele.

Lex I. Corpus omne perseverare in statu suo quiescendi vel movendi uniformiter in directum, nisi quatenus illud a viribus impressis cogitur statum suum mutare.

Lex II. Mutationem motus proportionalem esse vi motrici impressae, et fieri secundum lineam rectam qua vis illa imprimitur.

Lex III. Actioni contrariam semper et aequalem esse reactionem: sive corporum duorum actiones in se mutuo semper esse aequales et in partes contrarias dirigi.

Lex I.

Copius enim pervenire in statu
non quiescenti vel morandi uniformiter
in directum, nisi quatenus illud a viri-
bus impressis cogitur statum suum
tunc.

Lex II.

Mutatio in motu proportionalem
esse et motu impressae, et fieri
secundum lineam rectam que vi
illa imprimitur.

Lex III.

Actio contraria tempore et
reagere esse reactionem: vi
copiam huius actionis in re
muta tempore esse reagere et
in parte contraria virg.

potnie innych podstawach mianowicie grawitacji. Dalej w prawach ruchu powtarza Newton to samo, co powiecdniał w defini-
cyach; i tak sota jest dwa razy skrócona. Ale nie można
wiedzieć czy leges motus są prawami doświadczalnemi, czy
też definiowanymi.

Krytykę tę wykonał Mach w dziele: Geschichte der Mechanik,
oraz Poincaré.

Koleg Macha na czelo trzeba postawić 3^{ie} prawo Newtona,
(*actio aequat reactioni*), ale tak je wypowiedzieć: Doświad-
czenie uczy nas, że ciała uokielają sobie przyspieszeń w kierun-
ku tacznioty przeciwbieżnych pod pewnymi warunkami, któ-
rych badanie bliższe należy do fizyki doświadczalnej.

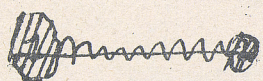


Fig 46.

To uokielanie sobie przeciwbieżnych przyspieszeń
może być skutecznione jwito sprężyna, jwitoz
polega na siłach elektrycznych, magnetycznych, grawitacyjnych itp.

2) Doświadczenie uczy nas, że przyspieszenia między dwoma
ciałami są zawsze w stosunku niezmiennym niezależnie
od wielkości tych przyspieszeń. Odwrotny stosunek przyspie-
szeń nazwamy stosunkiem mas. Wzrostek:

$$w_1 : w_2 = m_2 : m_1$$

może nam być dany. Zależy on od natury ciał, a nie

wielkości przyspieszeń.

3) Doswiadczenie uczy nas, że stosunek mas jest ten sam, czy go znajdziemy bezpośrednio, czy za pośrednictwem ciała trzeciego.

Na podstawie tych praw mamy już sposób mierzenia mas. Jako jednostkę masy bierzemy 1 cm³ wody w warunkach dokładnie określonych. Każdą inną masę wyrażamy jako wielokrotność tej jednostki.

Również definicję siły możemy teraz postawić. Wyrażając



przyspieszenia w formie:

$$w_1 = \frac{d^2 x_1}{dt^2} \quad w_2 = -\frac{d^2 x_2}{dt^2}$$

możemy nasze słowne określenia za-

isać:

$$m_1 \frac{d^2 x_1}{dt^2} = -m_2 \frac{d^2 x_2}{dt^2} = -m_3 \frac{d^2 x_3}{dt^2} \dots$$

Stosunek z masy i przyspieszenia nazywamy siłą. Jest to określenie konwencyonalne, uzasadnione prostotą rachunku.

Prześmy ogólnie siłę $X_i = m_i \frac{d^2 x_i}{dt^2}$

Wobec tych oznaczeń możemy teraz wypowiedzieć prawo:

Ciała działają na się siłami równymi ale przeciwnymi.

$$X_1 = -X_2$$

Z tem baczny się jestore prawo niezależności sił czyli prawo

składania i rozkładania sił. Opiera ono: Doświadczenie uczy nas, że jeśli ciało porusza się pod działaniem różnych sił, to wpływy te superponują się. Należy że sił powodzą przyspieszenie niezależnie od pozostałych (Wielobok sił).

Wspomnieć należy, że prawo to stanowi sił dowiedzieć spekulację. Spekulacje jednak owe były fałszywe, bo prawo to empiryczne.

Na podstawie powyższych definicji i praw doświadczalnych mamy sposób dynamiczny miernienia sił, polegający na pomiaru wielkości przyspieszenia jakiego ciała udziela. W praktyce mierzy się siły sposobem statycznym polegającym na prawie współdziałania sił (równoważenie).

Reasumując teraz to, cośmy o podstawach mechaniki powiedzieli, widzimy, że składa się ona z dat doświadczalnych i konwencyonalnych. Tem właściwie wyzerpaliśmy już mechanikę, a to co dalej przyjdzie będzie zastosowaniem szczególnym.

Ruch prostoliniowy.

Pęd = ilość ruchu. Pędem czyli ilością ruchu czyli jak to niektórzy nazywają momentem ruchu nazywamy iloczyn z masą i prędkości: $m \frac{dx}{dt}$

Jest to definicya dowolna. Moglibyśmy na jej podstawie wyrazić poprzód określoną siłę:

$$X = m \frac{d^2x}{dt^2} = \frac{d}{dt} \left(m \frac{dx}{dt} \right)$$

Tj. siła jest pierwszą pochodną pędu. Warunek tego oznaczenia jest, by funkcya $m \frac{dx}{dt}$, czyli wobec zakładanej mieraowości m , by $\frac{dx}{dt}$ miała pochodną. Zresztą już wiemy wyżej zastrzeżli się, że nasze funkcye wprowadzane do określenia ruchu mają spełniać warunek ciągłości i mają mieć pochodną.

Popęd (impuls). Użyjemy na razie założenie, że ruch odbywa się po linii x -u prostoliniowo. Z poprzedniego określenia pędu mamy:

$$X dt = d \left(m \frac{dx}{dt} \right)$$

rozwinięcie ważne dla t.w. sił chwilowych. Jeśli biorąc kawałek siła trwa w czasie. Gdy mówimy o siłach chwilowych, to wyobrażamy sobie je jako jakies' pchnięcie bardzo szybko po sobie następujące, nostrychmiast. Chcąc mieć powyższe rozwinięcie w pewnych granicach czasu, napiszemy je:

$$\begin{aligned} \int_1^2 X dt &= \int_1^2 d \left(m \frac{dx}{dt} \right) = m \frac{dx}{dt} \Big|_1^2 \\ &= m \left(\frac{dx}{dt} \right)_2 - m \left(\frac{dx}{dt} \right)_1 = m u_2 - m u_1 \end{aligned}$$

i tę całkę ze siły względem czasu nazywamy popędem.
(impulsem)

Praca. Tworząc analogicznie całkę ze siły względem drogi, dostajemy definicję pracy (tu w szczególnym wypadku).

$$\int_1^2 X dx = \int m \frac{dx}{dt} \frac{dx}{dt} dt = \int m \underbrace{\frac{dx}{dt} \frac{dx}{dt}}_{\frac{1}{2} \frac{d}{dt} \left(\frac{dx}{dt} \right)^2} dt =$$

$$= \frac{m}{2} \left(\frac{dx}{dt} \right)^2 \Big|_1^2$$

$$\int_1^2 X dx = \frac{m}{2} u_2^2 - \frac{m}{2} u_1^2$$

Iloczyn z potęgi masy i kwadratu prędkości nazywamy energią kinetyczną. Równanie powyższe wyraża, że praca równa się różnicy energii kinetycznej w dwa chwilach czasu. Równaniem tem mamy też wyrażony specjalny wypadek ogólnego prawa o zachowaniu energii mechanicznej. Z pomocą tak określonego pojęcia pracy możemy wrócić podobnie, jak przy pojęciu pędu, do pojęcia siły; oto jest:

$$X = \frac{d}{dt} \left[\frac{m}{2} \left(\frac{dx}{dt} \right)^2 \right] = \frac{d}{dt} \left[\frac{m}{2} u^2 \right]$$

tj. siła jest pierwszą pochodną z energii kinetycznej. Obie całki: siły względem czasu i siły względem drogi odgrywają wielką rolę w mechanice. My tworzyły się

nawet osobne metody, jedna posługująca się pojęciem pędu (Newton, Descartes), inna zaś energii kinetycznej (Leibnitz, Huygens). D'Alembert potrafił je obie, mówiąc że można się jedną i drugą stosownie do wygody pożytkować.

A. Dynamika punktu swobodnego.

Ładania, jakie napotykamy w mechanice są dwój-
kie, albo mamy opisany ruch, a pytamy się jaka siła
powoduje ten ruch, albo mając daną siłę pytamy
się, jaki ona spowoduje ruch. Pierwszego rodzaju zadanie
nie jest zazwyczaj łatwe. Przypominając sobie wzór na
siłę $X = m \frac{d^2x}{dt^2}$, widzimy że potrzeba funkcję x
dwukrotnie upochodzić względem czasu t i utworzyć
iloczyn masy i drugiej pochodnej. Postępujemy tak
ogólnie, nie tylko zaś w szczególnym wypadku ruchu,
jaki teraz mamy przed oczyma tego ruchu wzdłuż osi
 x . Pojmiej to uogólnimy, na razie zostając przy ruchu
wzdłuż osi x , damy przykład takiego zadania:

1. Niech ruch określony będzie równaniem:

$$x = at + b$$

Mamy: $\frac{dx}{dt} = a$ $\frac{d^2x}{dt^2} = 0$. Stąd $m \frac{d^2x}{dt^2} = 0$ tj. ruch

taki odbywa się bez działania siły.

2. $x = \frac{g}{2} t^2 + at + b$.

Bedzie: $\frac{dx}{dt} = gt + a$, $\frac{d^2x}{dt^2} = g$, $m \frac{d^2x}{dt^2} = mg$ tj. siła jest proporcjonalna do masy. Jest to siła grawitacyjna. Przyspieszenie, jakie ona powoduje jest liczbą stałą, prędkość proporcjonalna do czasu, lecz niezależna od masy. Stąd wszystkie ciała spadają - jak to prawo tu stwierdza - z jednakową prędkością.

3. $x = (at + b)^{\frac{2}{3}}$

Bedzie: $\frac{dx}{dt} = \frac{2}{3} a (at + b)^{-\frac{1}{3}}$, $\frac{d^2x}{dt^2} = -\frac{2}{9} a^2 (at + b)^{-\frac{4}{3}}$, zatem $X = -\frac{2}{9} a^2 (at + b)^{-\frac{4}{3}} m = -\frac{2}{9} \frac{a^2 m}{x^2}$. Bedzie to ruch, który się zaczyna z prędkością daną (dla $t=0$). Potem skutkiem działania siły prędkość jego maleje. Dla $t \rightarrow \infty$, czyli w nieskończoność $x \rightarrow \infty$, prędkość $= 0$.

Trudniejsze są zadania drugiego rodzaju, gdy dane jest rożnienie siły, a pytamy jaki jest ruch przez nią spowodowany, a to z tego powodu że chodzi tu już o całkowanie. Sprawa ta byłaby względnie łatwa, gdyby funkcja wyrażająca siłę była funkcją czasu:

$$m \frac{d^2x}{dt^2} = X = f(t)$$

Wtedy bowiem: $m \frac{dx}{dt} = \int f(t) dt + C = \varphi(t) + C$

$$mx = \int \varphi(t) dt + Ct + a$$

O ile całkowania są wykonalne, to z równania ostatniego wypracujemy współrzędną x punktu i temsamem mamy już ruch opisany. W praktyce jednak nigdzie nie napotykamy siły wyrażonej jako funkcja czasu, jak doświadczanie nas uczy, chyba byśmy sobie sytuację taką sił stworzyli. Zwykle napotykane siły w mechanice zależą od położenia systemu, odległości punktów między sobą i prędkości poruszania się systemu. Do rozwiązywania takich zadań potrzebna już jest znajomość równań różniczkowych. W miarę potrzeby tedy wiadomości z nich będziemy sobie uzupełniać. Przypuśćmy teraz, że siła wyraża się jako funkcja współrzędnej x :

$$m \frac{d^2x}{dt^2} = X = f(x).$$

W celu całkowania tej funkcji, wobec ciągłej zależności prędkości naszych funkcji i ich regularności w uwzględnianym przedziale, dajmy na to (a...b) jest to równanie dowolne*), napiszmy:

$$m \frac{d^2x}{dt^2} \frac{dx}{dt} dt = f(x) dx$$

$$\frac{1}{2} \frac{d}{dt} \left(\frac{dx}{dt} \right)^2$$

*) Warunki prędkości nas podane są aż nadto wystarczające. Bliżej patrz: Zastosowania do teorii mnogości prof. Sierpińskiego, Równania różniczk. p. Sierpińskiego etc.

czyli

$$d\left[\frac{m}{2}\left(\frac{dx}{dt}\right)^2\right] = f(x)dx, \text{ skąd}$$

$$\frac{m}{2}\left(\frac{dx}{dt}\right)^2 = \int f(x)dx + C$$

$$\frac{dx}{dt} = \sqrt{\frac{2}{m}} \sqrt{C + \int f(x)dx}$$

Tak otrzymaliśmy prędkość jako funkcję odległości. Skąd

$$\int \frac{dx}{\sqrt{C + \int f(x)dx}} = \sqrt{\frac{2}{m}} \int dt + a = \frac{\sqrt{2}t}{\sqrt{m}} + a$$

Gdy te całki wyliczymy, dostaniemy x jako funkcję czasu, a przez to zadanie nasze jest już uskutecznione. Na powyższe postępowanie damy przykłady:

1) Sita sprężysta narywamy baka, która jest proporcjonalna do wychYLENIA masy m z pozycji równowagi i stara się tę masę do pozycji równowagi wrócić (przeciwdziała wychYLENIU). Określi się jej tedy równaniem różniczkowym:

$$m \frac{d^2x}{dt^2} = -\alpha x$$

Pytamy się jaki ruch powstanie skutek tej siły. Na mocy powyższych uwag przeprowadzimy tak rachunek:

$$m \frac{d^2x}{dt^2} \frac{dx}{dt} dt = -\alpha x dx$$

$$\frac{m}{2} \left(\frac{dx}{dt}\right)^2 = -\frac{\alpha x^2}{2} + C$$

$$\int \frac{dx}{\sqrt{2C - \alpha x^2}} = \int \frac{dt}{\sqrt{m}} + a = \frac{t}{\sqrt{m}} + a$$

$$\int \frac{dx}{\sqrt{2C - \alpha x^2}} = \frac{1}{\sqrt{2C}} \int \frac{d\left(\frac{\alpha x}{\sqrt{2C}}\right)}{\sqrt{1 - \frac{\alpha x^2}{2C}}}$$

$$\text{Kładąc } x \sqrt{\frac{\alpha}{2C}} = z$$

dośćajemy: $\frac{1}{\sqrt{a}} \int \frac{dz}{\sqrt{1-z^2}} = \frac{1}{\sqrt{a}} \arcsin z = \frac{1}{\sqrt{a}} \arcsin x \sqrt{\frac{a}{2c}}$

Wracając do wzoru poprzedniego, mamy:

$$\frac{1}{\sqrt{a}} \arcsin x \sqrt{\frac{a}{2c}} = \frac{t}{\sqrt{m}} + a$$

$$\arcsin x \sqrt{\frac{a}{2c}} = \sqrt{a} \left(\frac{t}{\sqrt{m}} + a \right) ; \text{znacząc } a\sqrt{a} = \varepsilon$$

mamy: $\sin\left(\frac{\sqrt{a}}{\sqrt{m}} t + \varepsilon\right) = x \sqrt{\frac{a}{2c}}$

$$x = \sqrt{\frac{2c}{a}} \sin\left(t \sqrt{\frac{a}{m}} + \varepsilon\right)$$

Mamy więc x wyrażone jako funkcję t . Wchodząc w to równanie dwie stałe całkowania ε i c . Chodzi o ich określenie. W tym celu zwracamy się do danych doświadczalnych. B. wiademy, że jest nam dane położenie punktu m w pierwszej chwili i prędkość. Określimy je dla krótkości $\sqrt{\frac{2c}{a}} = A$:

$$x = A \sin\left(t \sqrt{\frac{a}{m}} + \varepsilon\right)$$

Nobis więc tego cośmy powiedzieli, niech dla $t=0$, będzie $x=x_0$.
 $\frac{dx}{dt} = \left(\frac{dx}{dt}\right)_0$. Pierwszy warunek można wstawić wprost w nasze równanie. Rozwiązanie:

$$x_0 = A \sin \varepsilon.$$

Aby można skorzystać z drugiego warunku, wystarczy nasze równanie upochołnić względem t :

$$\frac{dx}{dt} = A \sqrt{\frac{a}{m}} \cos\left(t \sqrt{\frac{a}{m}} + \varepsilon\right). \text{ Stąd}$$

$$\left(\frac{dx}{dt}\right)_0 = A \sqrt{\frac{a}{m}} \cos \varepsilon$$

Z obu tych równań przy powyżej wspomnianych warun-

kach zachodzących obliczymy stałe A i ε . Wstawiając $(\frac{dx}{dt})_0 = u_0$ i dzieląc równanie górne przez dolne, mamy na stałą ε , równość:

$$\lg \varepsilon = \frac{x_0}{u_0} \sqrt{\frac{m}{\alpha}}$$

Nobis $\cos 2 = \frac{1}{\sqrt{1+\lg^2 \varepsilon}}$, $u_0 = A \sqrt{\frac{\alpha}{m}} \cdot \frac{1}{\sqrt{1+\lg^2 \varepsilon}}$, dostajemy na stałą A równość:

$$A = u_0 \sqrt{\frac{m}{\alpha}} \cdot \sqrt{1+\lg^2 \varepsilon} \quad (\text{amplituda}).$$

Zwykliśmy jeszcze równania ruchu wypowiedzieć w słowach dla poszczególnych chwil czasu. Rozpatrujemy przez to przebieg ruchu i rozpatrywanie to rowniemy dyskusyą. Np. o ruchu przez nas rozpatrywanym powiemy, że jest on periodycznym, bo taka jest funkcja sin. Jaki jest okres, tj. jaka jest liczba, dla której funkcja z argumentu t otrzymuje wartość tę samą co np. dla $t=0$. Ze znajomości funkcji trygonometrycznych wynika, iż będzie ten warunek spełniony dla takiego $t=T$, iżby

$$T \sqrt{\frac{\alpha}{m}} = 2\pi, \text{ skąd}$$

$$T = 2\pi \sqrt{\frac{m}{\alpha}} \quad \text{czas okresu (okres)}.$$

2). Siła, która przeciwdziała prędkości chwilowej i jest do niej proporcjonalna (ogólnie jest funkcją prędkości), m. zywamy oporem (tarcie). Przykłady takich sił są bardzo częste w mechanice np. kropelka opadająca, lecący pocisk.

Stokesa

itd. Inany jest wóń na opór $X = -6\pi\mu a u$ z którego wynika
 kulka o promieniu a poruszająca się z prędkością u w ośro-
 dku lepkiem, którego współczynnik lepkości jest μ . Wóń taki
 ważny dla prędkości małych tylko, dla ruchów szybkich
 przestaje być ważny. My założymy równanie:

$$m \frac{d^2x}{dt^2} = -\beta \frac{dx}{dt} \quad (\text{więc } \beta = 6\pi\mu a)$$

Kcelu całkowania napiszmy to:

$$m \frac{d^2x}{dt^2} dt = -\beta dx \quad \text{stad}$$

$$m \frac{dx}{dt} = -\beta x + \alpha$$

$$m \int \frac{dx}{\alpha - \beta x} = \int dt$$

$$-\frac{m}{\beta} \log(\alpha - \beta x) = t + c'$$

$$\log(\alpha - \beta x) = -\frac{\beta}{m} t + C$$

gdzie $C = -\frac{c'\beta}{m}$

$$\alpha - \beta x = e^{C - \frac{\beta t}{m}} = B e^{-\frac{\beta t}{m}}$$

$$x = \frac{\alpha}{\beta} - \frac{B}{\beta} e^{-\frac{\beta t}{m}}$$

Do oznaczenia dwu stałych całkowania α i B niech nam
 będą dane dwie dotyż np. dla $t=0$, niech będzie: $\frac{dx}{dt} = c$,
 oraz $x=0$. Stad

$$\alpha - B = 0$$

$\alpha = B$ tj obie stałe są sobie równe.

$$\frac{dx}{dt} = \frac{B}{m} e^{-\frac{\beta t}{m}}; \text{ stad dla } t=0$$

$$C = \frac{B}{m}, \quad B = mC = \alpha$$

Wprowadzając te warunki do równania znalezionego, ukladu, mamy:

$$x = \frac{mc}{\beta} [1 - e^{-\frac{\beta t}{m}}]$$

Ze znalezionego wzoru na prędkość wnioskujemy, że prędkość ta mając początkową wartość c maleje do zera dla $t = \infty$; a natomiast wzrasta zbliżając się asymptotycznie do granicznej wartości $\frac{mc}{\beta}$.

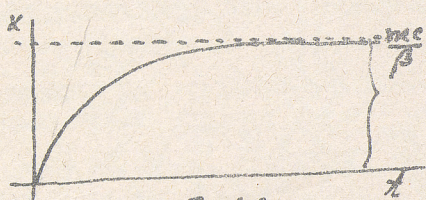


Fig 48.

Możemy unaćwic sobie przebieg ruchu graficznie, kreśląc w układzie prostokątnym dla osi t i x wartości funkcji x dla odpowiednich wartości argumentu t .

3) Inny jeszcze przykład na opór:

$$X = -\beta \left(\frac{dx}{dt} \right)^2$$

Wielu całkowania zrobimy: $\frac{dx}{dt} = u$, wtedy $\frac{d^2x}{dt^2} = \frac{du}{dt}$.

Zatem

$$m \frac{du}{dt} = -\beta u^2$$

$$\frac{m du}{u^2} = -\beta dt \quad \text{Całkując, mamy}$$

$$-\frac{m}{u} = -\beta t + \alpha \quad \text{Stąd}$$

$$u = \frac{m}{\beta t - \alpha} = f(t) = \frac{dx}{dt}$$

$$x = \int f(t) dt + \text{const.}$$

Całkowanie to da się już łatwo dokonać. Podobnie przeprowadzi się rachunki w wypadku, gdy uwzględnimy jeszcze siłę ciężkości np. przy spadaniu kropli mgły. Równa-

nie będzie ówczas takie: $m \frac{d^2x}{dt^2} = mg - \beta \frac{dx}{dt}$. Rozpatrzmy to bliżej w Ćwiczeniach. sta $\frac{dx}{dt} = \frac{mg}{\beta} [1 - e^{-\frac{\beta}{m}t}]$, dla $t = \infty$ $v = \frac{mg}{\beta}$ $\beta v = mg$ $qv = \dots$

Po tych przykładach ruchu po linii prostej możemy rozwiązania nasze uogólnić na ruch w przestrzeni. Podstawę do tego rozszerzenia daje nam prawo niezależności sił, orzekające, jak wiemy, że siły składowe nie przeszkadzają sobie i że siły możemy składować i rozkładać. W równania nasze wprowadzimy trzy siły, działające w kierunkach osi:

$$m \frac{d^2x}{dt^2} = X$$

$$m \frac{d^2y}{dt^2} = Y$$

$$m \frac{d^2z}{dt^2} = Z$$

Jedno przytem czynimy zastrzeżenie, że kierunki sił X , Y , Z są niezmiennne, co zresztą już wynika z przyjęcia stałego układu. Wprowadziliśmy przedtem w odniesieniu do ruchu po linii prostej pojęcia: prędkość, popędu, pracy, energii kinetycznej. Otóż teraz pojęcia te uogólnimy dla ruchu w przestrzeni, wyrażając je rachunkiem wektorowym i sposobami geometryi analitycznej:

Wyraźone dopiero co trzy siły składowe, wyrazimy w rachunku wektorowym:

$$\mathbf{f} = m \frac{d^2\mathbf{r}}{dt^2} = m \frac{d^2}{dt^2} (ix + jy + kz) = iX + jY + kZ$$

Wiemy, że prędkość w rachunku wektorowym wyprowadza się

$$v = \lim_{t' \rightarrow t} \frac{r' - r}{t' - t} = \frac{dr}{dt}$$

przypicie $av = \lim_{t' \rightarrow t} \frac{v' - v}{t' - t} = \frac{dv}{dt} = \frac{d^2 r}{dt^2}$. Stąd siła wyraża się inaczej tu:

$$f = \frac{d}{dt}(m v) = \frac{d}{dt}(m \frac{dr}{dt})$$

To wyrażenie odpowiada wprowadzonemu wyżej wyrażeniu siły przez ped, tylko tam (str. 48.) odnosiliśmy je do ruchu prostoliniowego, tutaj zaś jest ono odniesione do ruchu w przestrzeni. Możemy je rozłożyć na trzy:

$$X = \frac{d}{dt}(m \frac{dx}{dt})$$

$$Y = \frac{d}{dt}(m \frac{dy}{dt})$$

$$Z = \frac{d}{dt}(m \frac{dz}{dt})$$

przez co już jesteśmy na gruncie geometrii analitycznej.

Analogicznie uogólniamy pojęcie popędu, pisząc:

$$\int_1^2 f dt = m v_2 - m v_1 = m(v_2 - v_1)$$

gdzie różnica $m(v_2 - v_1)$ jest rozumiana, jak wogóle w rachunku wektorowym, w sensie geometrycznym. Spr.

po obwodzie koła gdy się ruch odbywa, to nie ma różnicy bezwzględnej prędkości, bo ruch jest jednostajny, tylko jest różnica geometryczna.



Fig 49.

Rozpisując powyższą całkę względem czasu,

dostanemy znów trzy równania:

$$\begin{aligned}\int_1^2 X dt &= m \left(\frac{dx}{dt} \right)_2 - m \left(\frac{dx}{dt} \right)_1, \\ \int_1^2 Y dt &= m \left(\frac{dy}{dt} \right)_2 - m \left(\frac{dy}{dt} \right)_1, \\ \int_1^2 Z dt &= m \left(\frac{dz}{dt} \right)_2 - m \left(\frac{dz}{dt} \right)_1\end{aligned}$$

Teraz uogólnimy jeszcze pojęcie pracy i energii kinetycznej, wychodząc z równań Newtonowskich:

$$\begin{aligned}m \frac{d^2x}{dt^2} &= X \\ m \frac{d^2y}{dt^2} &= Y \\ m \frac{d^2z}{dt^2} &= Z\end{aligned} \quad \left| \begin{array}{l} dx \\ dy \\ dz \end{array} \right.$$

które pomnożymy odpowiednio przez dx , dy , dz , dodamy do siebie i weźmiemy całki w granicach 1...2:

$$\begin{aligned}m \int_1^2 \left(\frac{d^2x}{dt^2} dx + \frac{d^2y}{dt^2} dy + \frac{d^2z}{dt^2} dz \right) &= \int_1^2 (X dx + Y dy + Z dz) \quad \text{czyli} \\ m \int_1^2 \left(\frac{d^2x}{dt^2} \frac{dx}{dt} + \frac{d^2y}{dt^2} \frac{dy}{dt} + \frac{d^2z}{dt^2} \frac{dz}{dt} \right) dt &= \int_1^2 (X dx + Y dy + Z dz), \quad \text{co daje} \\ \frac{m}{2} \left[\left(\frac{dx}{dt} \right)^2 + \left(\frac{dy}{dt} \right)^2 + \left(\frac{dz}{dt} \right)^2 \right]_1^2 &= \int_1^2 (X dx + Y dy + Z dz) \quad \text{czyli} \\ \frac{m}{2} V_2^2 - \frac{m}{2} V_1^2 &= \int_1^2 (X dx + Y dy + Z dz) \quad \text{lub wreszcie} \\ \frac{m}{2} V_2^2 - \frac{m}{2} V_1^2 &= \int_1^2 (X dx + Y dy + Z dz) = P_1^2\end{aligned}$$

Równanie to przedstawia definicję pracy ogólnie przy ruchu krzywoliniowym w przestrzeni. Praca wykonana przy przesunięciu masy z punktu 1 do 2, równa się

różnicy energii kinetycznych w obu tych punktach. Dla uogólnienia ogólności powyższej definicji pracy dodamy jeszcze rysunek. Niech punkt materialny m poruszy się

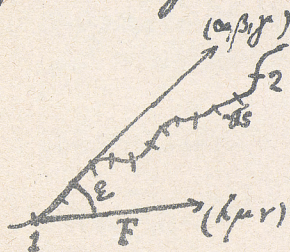


Fig 50.

po łonie krzywoliniowym w przestrzeni od 1 do 2. Siła F działająca nań nie potrzebuje być styczną do krzywej owej, ma ona kierunek oznaczony (h, μ, ν)

Podzielmy tor, po którym punkt się poruszył na elementy o długości ds . Elementami składowemi każdego takiego elementu w kierunkach osi układu prostokątnego będą:

$$dx = \frac{dx}{ds} ds = ds \cos \alpha$$

$$dy = ds \cos \beta$$

$$dz = ds \cos \gamma$$

gdzie α, β, γ oznaczają kąty, jakie kowektorowa stykana z osiami układu zawiera. Analogicznie składowemi siłami siły F będą:

$$X = F \cos \alpha$$

$$Y = F \cos \beta$$

$$Z = F \cos \gamma$$

Według definicji pracy, mamy:

$$P_2^2 = \int_1^2 F (\underbrace{\cos \alpha \cos h + \cos \beta \cos \mu + \cos \gamma \cos \nu}_{\cos \epsilon}) ds$$

Jeśli ϵ oznacza kąt między kierunkiem siły F a styczną do krzy-

woj kawarty, to całka ta w dalszym ciągu

$$= \int_1^2 F \cos \varepsilon ds,$$

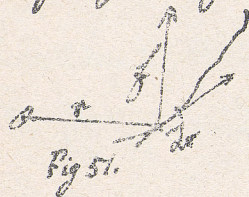
$F \cos \varepsilon$ oznacza składową siły F przypadającą w kierunku stycznej; znacząc ją dla krótkości F_s , napiszemy definicję pracy:

$$P_1^2 = \int_1^2 F_s ds$$

Mówi się często praca równa się iloczynowi siły i drogi; o to rozumie się tu: siłę w kierunku drogi. Moglibysmy teraz też zaleźć między energią kinetyczną, a pracą wykonaną przy przesunięciu punktu materialnego m z punktu 1 do 2, napisać:

$$\frac{m}{2} V_2^2 - \frac{m}{2} V_1^2 = \int_1^2 F_s ds.$$

To ostateczne określenie pracy jest bardzo zbliżone do tego, jakie dajemy w symbolice wektorowej. Oto mech f w symbolice wekt-



rowej oznacza siłę o pewnym kierunku. Jeśli przegram, po której się punkt materialny porusza wyrażony przez wektor r (str 21), to

element toru, to cosinus wyżej znaczyliś, napiszemy teraz dr.

Określenie pracy będzie:

$$P_1^2 = \int (f dr)$$

gdzie $(f dr)$ oznacza iloczyn skalarny. Ten wyrażenie wypisany jest: $f dr = m \frac{dr}{dt} dr = m \frac{dr}{dt} \frac{dr}{dt} dt$, skąd

$$\int_1^2 f dr = \frac{m}{2} \left(\frac{dr}{dt} \right)^2 = \frac{m}{2} v_2^2 - \frac{m}{2} v_1^2$$

identyczne z wyrzuceniem poprzecznym. v_1^2 i v_2^2 są to już wielkości bezwzględne. Pracę elementarną, możemy powiedzieć, wyraża się w symbolice wektorowej iloczynem skalarnym siły i przesunięcia.

Wprowadzimy jeszcze pojęcie potencjału i sił potencjalnych czyli konserwatywnych. Z pojęciami temi zettknijemy się bliżej później. Określamy: jeśli siły składowe można wyrazić jako cząstkowe pochodne jakiejś funkcji $U = f(xyz)$ względem jej argumentów x, y, z ze znakiem $-$, a więc

$$X = -\frac{\partial U}{\partial x}$$

$$Y = -\frac{\partial U}{\partial y}$$

$$Z = -\frac{\partial U}{\partial z},$$

to siły te składowe oraz ich wypadkową nazywamy potencjalnymi, funkcję zaś:

$$U = f(xyz)$$

nazywamy potencjałem.

Utwórzmy całkę, taką jakiejśmy wyżej tworzyli przy definicji pracy:

$$\int_1^2 \left(\frac{\partial U}{\partial x} dx + \frac{\partial U}{\partial y} dy + \frac{\partial U}{\partial z} dz \right) =$$

Funkcja potencjału przedstawia różniczkę zupełną -dU.

Stąd:

$$-\int_1^2 \left(\frac{\partial U}{\partial x} dx + \frac{\partial U}{\partial y} dy + \frac{\partial U}{\partial z} dz \right) = -U \Big|_1^2$$

Wobec wielokrotnie wyżej wypisywanych wzorów mamy stąd:

$$\frac{m}{2} V_2^2 - \frac{m}{2} V_1^2 = U_1 - U_2 = f(x_1, y_1, z_1) - f(x_2, y_2, z_2)$$

czyli:

$$\frac{m}{2} V_1^2 + U_1 = \frac{m}{2} V_2^2 + U_2$$

Gdybyśmy jeszcze raz wypisali powyższą całkę z granicami jednak 1...3, dostalibyśmy:

$$\frac{m}{2} V_1^2 + U_1 = \frac{m}{2} V_3^2 + U_3$$

Postępując tak dowolną ilość razy, mamy ogólnie:

$$\frac{m}{2} V_1^2 + U_1 = \frac{m}{2} V_2^2 + U_2 = \frac{m}{2} V_3^2 + U_3 = \dots = \text{Const.}$$

Znaczący się to, że suma z energii kinetycznej i potencjału lub jak to zwykłe mówimy: suma z energii kinetycznej i potencjalnej jest dla każdorazowego położenia punktu materialnego wielkością stałą przy założeniu, że siły działające są potencjalne. Siły te nazywamy też skutkiem zachowania się w ciągle równej wielkości energii, która w tym razie nazywamy mechaniczną, siłami konserwatywnymi (zachowawczymi). Prawo zaś powyższe nazywamy prawem o zachowaniu energii mechanicznej.

Siłami konserwatywnymi są np. siły grawitacyjne, elektrostatyczne, magnetyczne. Dla siły ciężkości potencjał przedstawia namo $U = mgy$. Istotnie gdy tworzymy cząstkowe pochodne, dostajemy:

$\frac{\partial U}{\partial x} = 0$, $\frac{\partial U}{\partial y} = -mg$, $\frac{\partial U}{\partial z} = 0$, co zgadza się z wzorami na siły składowe działające przy swobodnym spadaniu ciała: $X=0$, $Y=-mg$, $Z=0$.

Jeśli nie istnieje taka funkcja $U = f(x, y, z)$, iżby można przez nią, siły w powyższy sposób wyrazić, natenczas siły nie są konserwatywne i prawo zachowania energii mechanicznej wtedy jest nie ważne. Łatwo sobie takie siły skonstruować np: $X = \alpha xy$, $Y = \beta$, $Z = 0$. Powiadam, że siły te nie są potencjalne. Jak się o tem przekonać? Oto wykazać łatwo, że siły te nie spełniają koniecznych warunków sił potencjalnych. Upochadniając siły potencjalne (Str. 63) dostajemy warunki konieczne:

$$\frac{\partial X}{\partial y} = \frac{\partial Y}{\partial x}$$

$$\frac{\partial X}{\partial z} = \frac{\partial Z}{\partial x}$$

$$\frac{\partial Y}{\partial z} = \frac{\partial Z}{\partial y}$$


Czyniąc to samo dla sił tych dostajemy: $\frac{\partial X}{\partial y} = \alpha x$, $\frac{\partial Y}{\partial x} = 0$; zatem warunki niespełnione. Siły takie nazywamy rozpraszającymi. Takimi są np: tarcie, opór ośrodka itd. U nich energia mechaniczna znika zamieniając się na c-

energii ciepłej. Wogólnym tedy sensie prawo o zachowaniu energii pozostaje warnem. Z siłami potencyalnymi w praktyce prawie nigdy się nie spotykamy; są one tylko ideałami; z siłami rozpraszającymi natomiast na każdym kroku.

Widzieliśmy dotychczas, że jeśli sily są potencyalne to warne jest prawo o zachowaniu energii mechanicznej. Twierdzenie to jest odwracalne; jeśli jest warne prawo o zachowaniu energii mechanicznej, to sily dadzą się wyrazić jako potencyalne. Przyjmijmy więc jako zachodzące prawo zachowania energii mechanicznej:

$$\int_1^2 (Xdx + Ydy + Zdz) = U_1 - U_2$$

gdzie $U_1 = U(x_1, y_1, z_1)$, $U_2 = U(x_2, y_2, z_2)$. Lewa strona powyższego równania przedstawia nam pracę wykonaną przy przesunięciu masy od punktu 1 do 2. Wyobraźmy sobie

 drogę od 1 do 2 i wech się ona przesunie o Δx .

Jaka potrzeba jest do tego praca elementarna?

Będzie to iloczyn ze sily X i elementu drogi Δx .

Do prawej zaś strony będzie równiorka funkcji U . Będzie więc

$$X \Delta x = U(x, y, z) - U(x + \Delta x, y, z)$$

Rozwijając prawą stronę według Taylora, jest to tu dowolone, bo funkcja U ma oznaczone wartości i pochodne, dosta-

niemy po zmniejszeniu się pierwszego wyrazu:

$$X \Delta x = - \Delta x \frac{\partial u}{\partial x} - \frac{\Delta x^2}{2!} \frac{\partial^2 u}{\partial x^2} - \dots$$

Co opuszczeniem wyrazów począwszy od drugiego, dostajemy:

$$X \Delta x = - \Delta x \frac{\partial u}{\partial x}$$

Analogicznie przesunięcie można by sobie pomysleć względem y i z. Dostaniemy: tak samo:

$$Y \Delta y = - \Delta y \frac{\partial u}{\partial y}$$

$$Z \Delta z = - \Delta z \frac{\partial u}{\partial z}$$

Stąd zaś mamy: $X = - \frac{\partial u}{\partial x}$

$$Y = - \frac{\partial u}{\partial y}$$

$$Z = - \frac{\partial u}{\partial z}$$

Co dowodzi słuszności naszego twierdzenia.

Damy teraz pełne przybliżony ruchu odbywającego się w przestrzeni.

1. Ruch ciała ruszonego bez uwzględnienia oporu. Ruch ciała ruszonego pod kątem dowolnym do poziomu α , gdy nie zwracamy uwagi na opór powietrza, odbywa się pod wpływem sił:

$$m \frac{d^2 x}{dt^2} = 0$$

$$m \frac{d^2 y}{dt^2} = - mg$$

Trzeba by właściwie dodać jeszcze jedno równanie. Przewidujemy jednak, że ruch będzie płaski i dlatego trzeciego wymiaru z

nie uwzględniamy: Wobec możliwości składowania i rozkładania sił i wynikającej z niej z tego możliwości składowania i rozkładania prędkości oraz dróg, postępujemy z karidem i danymi nam równaniami, które są równaniami współczesnymi, tak jakby karide z nich samo tylko było. Tu więc wykonując kolejne całkowania dostajemy:

$$\frac{dx}{dt} = b_1 \quad x = a_1 + b_1 t$$

$$\frac{dy}{dt} = -gt + b_2 \quad y = -gt^2/2 + b_2 t + a_2$$

Dostaliśmy tak równania ruchu, w które wchodziły cztery stałe całkowania: a_1, b_1, a_2, b_2 , które określimy z warunków początkowych i prędkości początkowej. Załóżmy teraz, żeśmy tak dobrali układ nasz, iż dla $t=0$, będzie $x=y=0$, prędkości zaś początkowe będą: $(\frac{dx}{dt})_0 = b_1$ $(\frac{dy}{dt})_0 = b_2$. Widzimy wprost z równań, że $a_1 = a_2 = 0$. Równania nasze uprościmy więc do formy:

$$y = -gt^2/2 + (\frac{dy}{dt})_0 t$$

$$x = (\frac{dx}{dt})_0 t$$

Można je jeszcze inaczej napisać, z uwagi, że prędkość wypadkowa $c = \sqrt{(\frac{dx}{dt})^2 + (\frac{dy}{dt})^2}$ jest nachylna do osi x pod kątem α , i że stąd



Fig 53.

$$(\frac{dx}{dt})_0 = c \cos \alpha \quad (\frac{dy}{dt})_0 = c \sin \alpha, \text{ a mianowicie:}$$

$$y = -\frac{gt^2}{2} + ct \sin \alpha$$

$$x = ct \cos \alpha$$

Gdybyśmy z tych dwu równań wyznaczyli ct , dostalibyśmy równanie paraboli. Ruch więc odbywa się po paraboli. Prędkość początkowa jest dana. Ze wzrostem czasu prędkość składowa $\frac{dy}{dt}$ stale maleje. Wartość zero będzie miała, gdy $-gt + c \sin \alpha = 0$, czyli dla $t = \frac{c \sin \alpha}{g}$. Potem będzie już miała wartość ujemną. Wartość jednak c , wobec stałości $\frac{dx}{dt}$ będzie początkowo tylko do czasu $t = \frac{c \sin \alpha}{g}$ maleć, potem zaś będzie wzrastać.

Dla $t = \frac{c \sin \alpha}{g}$ osiągnie funkcja y maximum, tj. będzie to najwyższy (kulminacyjny) punkt, jaki ciato przecone osiągnie. Spadnie zaś na ziemię, czyli $y = 0$, dla czasu $t = \frac{2c \sin \alpha}{g}$. Stąd wnioskujemy, o symetryczności drogi wznoszenia się ciata i opadania i o dalekości rzutu. Wynosić ona będzie:

$$x = \frac{2c^2 \sin \alpha \cos \alpha}{g} = \frac{c^2 \sin 2\alpha}{g}$$
.
 Równaniu zadania przynajmniej dwie wartości na $\sin 2\alpha$, a mianowicie α i $\frac{\pi}{2} - \alpha$. Stąd za pomocą dwu elewacji możemy osiągnąć tę samą odległość; znajduje to zastosowanie w strzelaniu z moździerzy.

Mogłaby dla tego ruchu stwierdzić prawo o zachowaniu energii mechanicznej. Siły tu działające są potencjalne, a potencjał, jakiemu to już na str. 65 zauważyli jest $U = mgy$.

Jeśli ma zachować prawo zachowania energii, to musi zachować równanie: $\frac{m}{2} V^2 + U = \text{Const.}$ Mamy cis dla naszego

ruchu: $V^2 = \left(\frac{dx}{dt}\right)^2 + \left(\frac{dy}{dt}\right)^2 = (c \cos \alpha)^2 + (-gt + c \sin \alpha)^2 =$

$$= c^2 + g^2 t^2 - 2gt c \sin \alpha. \text{ Wstawiając to w powyższe równanie}$$

dostajemy: $(c^2 + g^2 t^2 - 2gt c \sin \alpha) \frac{m}{2} + (-gt^2 + ct \sin \alpha) mg = \frac{m c^2}{2} = \text{Const.}$

2. Rozważmy teraz ruch ciała rzucanego pod pewnym kątem do poziomu i uwzględnijmy opór powietrza. Przyjmijmy, że opór ten jest proporcjonalny do kwadratu prędkości. Założenie to czynimy dla prostoty rachunku, a możemy je czynić i nawet odnosić ^{dla znacznego przybliżenia} rzeczywisty przebieg ruchu, mając eksperymentalnie stwierdzone prawo proporcjonalności oporu do prędkości. Od nas tedy zależy, jakie ciało ma mieć opór w czasie ruchu, bo możemy dostosować prędkości. Wobec tego założymy opór $\Omega = -\beta V$. Przewidyując znowe, że ruch będzie płaski, zbudujemy równania:

$$X = -\beta V \cos \varphi$$

$$Y = -mg - \beta V \sin \varphi$$

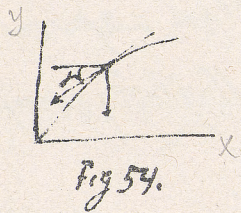


Fig 54.

gdzie φ oznacza kąt zawarty między chwilową styczną do krzywej drogi, a poziomem.

Wobec tego, że $\frac{dx}{dt} = V \cos \varphi$, $\frac{dy}{dt} = V \sin \varphi$, możemy napisać równania nasze w formie odmienniej:

$$m \frac{dx}{dt} = -\beta \frac{dx}{dt}$$

$$m \frac{dy}{dt} = -mg - \beta \frac{dy}{dt}$$

Każde z tych równań wobec nierozdzielności ich wyrazów nie możemy oddzielnie całkować. Pierwsze z tych równań jest takie samo jak w przykładzie 2. str 56. Mając równania różniczkowe takiego kształtu, wiemy z góry, że całka jego będzie funkcją eksponencyjalną z dwoma stałymi całkowania. Zgodujemy, że będzie to

$$x = A e^{-\frac{\beta}{m} t} + B$$

Upochadniając tak znaną całkę dwukrotnie i wstawiając wartości na $\frac{dx}{dt}$ i $\frac{d^2x}{dt^2}$ w równanie różniczkowe, otrzymamy, że się sprawdzi.

W celu rozwiązania drugiego równania różniczkowego, kładziemy:

$$\frac{dy}{dt} = v \quad \text{Stąd}$$

$$m \frac{dv}{dt} = -mg - \beta v$$

$$\frac{m dv}{mg + \beta v} = -dt$$

Co całkując i nakładając wypowiedziany -log mg do stałej dostajemy

$$\log(mg + \beta v) = -\frac{\beta}{m} t + C$$

$$mg + \beta v = e^{C - \frac{\beta}{m} t}$$

$$\frac{dy}{dt} = v = -\frac{mg}{\beta} + \frac{e^{C - \frac{\beta}{m} t}}{\beta}$$

$$y = -\frac{g m t}{\beta} - \frac{C e^{-\frac{\beta}{m} t}}{\frac{\beta}{m}} + D$$

Dostaliśmy tak dwie całki x i y z czterema stałymi całkowania A, B, C, D .

Przystąpimy do oznaczenia tych stałych z warunków początkowych. Ponieważ chcemy znaleźć wyjaśnienie czterech stałych, więc damy sobie cztery warunki początkowe. Niech mianowicie dla $t=0$, będzie $x=0, y=0, \left(\frac{dy}{dt}\right)_0 = c \sin \alpha, \left(\frac{dx}{dt}\right)_0 = c \cos \alpha$. Stąd zaraz mamy: $A = -B; D = C$;

$$\left(\frac{dy}{dt}\right)_0 = -\frac{gm}{\beta} + \frac{Cs}{m} = c \sin \alpha$$



Fig 55

$$C = D = \frac{mc \sin \alpha}{\beta} + \frac{m^2 g}{\beta^2} = \frac{m}{\beta} (c \sin \alpha + \frac{mg}{\beta})$$

$$\left(\frac{dx}{dt}\right)_0 = -\frac{\beta}{m} A e^{t \frac{\beta}{m}} \Big|_{t=0} = -\frac{\beta}{m} A = c \cos \alpha$$

$$A = -B = -\frac{m}{\beta} c \cos \alpha$$

Stądż jeszcze dla krótkości $\frac{\beta}{m} = h$ i wstawiając to wyśtetko w znalezione rozwiązania ruchu, napiszemy je w postaci:

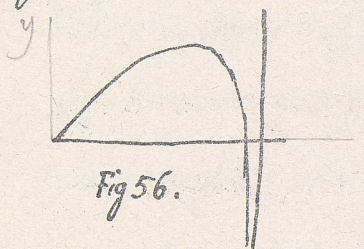
$$x = \frac{c \cos \alpha}{h} (1 - e^{-ht})$$

$$y = -\frac{gt}{h} + \frac{1}{h} (c \sin \alpha + \frac{g}{h}) (1 - e^{-ht})$$

Dyskusja tych równań ruchu jest już nieco trudniejsza, bo wyrażenia są złożone. Zastanówmy się np. najpierw, jaki będzie tor w różnych chwilach czasu. Co do położenia początkowego, to mamy z warunków do oznaczenia stałych całkowania, że $x=0$ i $y=0$.

Odnosząc do równania widzimy, że dla rosnącego t rośnie x , ale tylko do pewnej granicy. Dla $t = \infty$, $x|_{\infty} = \frac{c \cos \alpha}{\lambda}$.

Dla dyskusji rozwiązania na y , zauważymy, że jest to wyrażenie złożone z dwu członów, z których pierwszy jest stale ujemny, drugi stale ujemny, rosnący ze wzrostem t tylko do pewnej górnej granicy asymptotycznie. (Zauważamy, że c , $\sin \alpha$, g , λ są dodatnie). Dla małego t drugi człon ma przewagę, wartości na y są dodatnie, przy pewnym t ma y wartość maksymalną, potem występuje drugi człon prze-



wagę i cięto przeciwnie, jak to już łatwo wi-
dość, stacjonnie się zbliża do pewnej prostej równo-
leżnej do osi y w oddaleniu od początku

układu o $\frac{c \cos \alpha}{2}$. Ruch się więc odbywa po zdeformowa-
nej paraboli. Analogicznie można się pytać o to, jakie pręd-
kości ma cięto w tych warunkach w różnych czasach. Po-
przód napiszemy wielkości prędkości składowych dla $t=0$. By-
ły to mianowicie $(\frac{dx}{dt})_0 = c \cos \alpha$, $(\frac{dy}{dt})_0 = c \sin \alpha$. Zapytamy, ja-
kie będą dla $t = \infty$; sto $(\frac{dx}{dt})_{\infty} = 0$, $(\frac{dy}{dt})_{\infty} = -\frac{g}{\lambda}$. Wnioskujemy
stąd, że po upływie bardzo długiego czasu cięto porusza

są będzie a prędkością prawie jednostajną, bo przeciw $-\frac{g}{2}$ jest siłko stałe. Ciekawy to i może nie porównany romoszek. Można by sobie postawić pytanie, jak się będzie odbywał ruch, gdy założymy, że to w praktyce ma zastosowanie, że opór jest proporcjonalny do kwadratu, sześciangu, czwartej potęgi prędkości. Oczywiście, że są to już uogólnienia trudniejsze, to już trzeba będzie oddzielać od siebie momenty, by można było ciekawie. Zauważymy tu tylko, że opór osłodka odgrywa tu bardzo znaczny wpływ. Widac' to np. Stąd, że doniosłość karabinu wojkowego, z którego pocisk wylatuje z prędkością 600 msek bez oporu powietrza wynosiłoby około 40 km, w praktyce zaś wynosi do 4 km, przyczem zauważyć trzeba, że ewaluacja najwyższa dla osiągnięcia najbliższej dalekości nie wynosi jak w teorii 45° tylko około 36° . W praktyce dochodzi się do dat owych na podstawie eksperymentów.

W celu swobodniejszego opisywania ruchów wprowadzimy niektóre ogólniejsze uwagi co do sposobów rozkładania sił. Podobnie jak przyspieszenia lub prędkości możemy też i siły dość dowolnie rozkładać. Dotąd

rozkładaliśmy je w kierunkach osi układu prostokątnego. Często jest wygodną rzeczą rozkładać siły na siły w kierunku stycznym do toru i normalnym. W symbolice wektorowej przystąpimy do tego rozkładu tak: ektor f wyrazić się

$$f = m \frac{d^2 r}{dt^2} = \frac{d p}{dt},$$

gdzie $p = v \cdot N$ oznacza prędkość o bezwzględnej wartości v , o kierunku zaś N . Tak v , jakoteż wektor jednostkowy N jest zmienny z czasem. Stąd

$$f = m \frac{d}{dt} (v \cdot N) = m N \frac{dv}{dt} + m v \frac{dN}{dt}$$



Fig. 57.

Noboc $\frac{dN}{dt} = \frac{dN}{ds} \cdot \frac{ds}{dt}$, oraz $\frac{ds}{dt} = v$, mamy:

$$\frac{d^2 N}{ds^2} \frac{ds}{dt}$$

$$f = m N \frac{dv}{dt} + m v^2 \frac{dN}{ds}$$

Pierwszy składnik oznacza siłę składową w kierunku N stycznym o wartości bezwzględnej $\frac{dv}{dt}$. Siła ta przyspiesza ruch. Dla oznaczenia wartości składnika drugiego wprowadzimy pojęcie promienia krzywizny

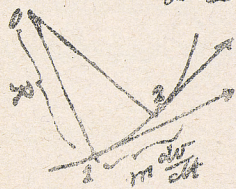


Fig. 58.

R . Zauważymy trójkąt 120. jest on podobny do trójkąta utworzonego przez wektory,

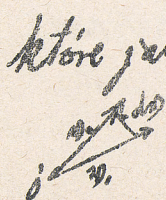


Fig. 59.

które jako takie możemy zaciepować w jednym i tym samym punkcie O ; v , i dv prędkości i trzeci wektor do przyspieszenia. Z podobieństwa tych trójk.

kątów, podobnie jak to zrobiliśmy na str 41 przy rozważaniu rozkładu przyspieszeń w tych samych co tu kierunkach, wnioskujemy:

$$\frac{mv^2}{\left| \frac{ds}{d\theta} \right|} = \frac{mv^2}{R}$$

w czym mamy wyrażoną bezwzględną wartość drugiego składnika. Kierunek tej drugiej siły składowej jest w kierunku promienia krzywizny w punkcie 1. a więc w kierunku normalnym do toru. Siła ta gra rolę siły dośrodkowej lub odśrodkowej tj siły, która powoduje zakrzywienie toru.

Zauważyliśmy (str 36), że do opisu ruchu używać można współrzędnych biegunowych. Dogodnem jest to zwłaszcza wtedy, jeśli mamy do czynienia z siłami wychodzącymi z punktów, (z siłami więc których zależy od odległości od masy).

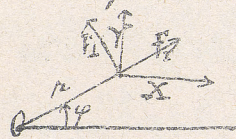


Fig 60.

Ruch za pomocą współrzędnych biegunowych opiszemy podając równania:

$$r = f_r(t)$$

$$\varphi = f_\varphi(t)$$

Id tych równań można w jednej przejść do układu prostokątnego przez wzory:

$$x = r \cos \varphi$$

$$y = r \sin \varphi$$

-77-

Z tych zaś wzorów można przejść do wyrażenia siły przez połów-
ne upochadnienie względem t .

$$\frac{dx}{dt} = \frac{dr}{dt} \cos \varphi - r \sin \varphi \frac{d\varphi}{dt}$$

$$\frac{dy}{dt} = \frac{dr}{dt} \sin \varphi + r \cos \varphi \frac{d\varphi}{dt}$$

$$\frac{d^2x}{dt^2} = \frac{d^2r}{dt^2} \cos \varphi - 2 \frac{dr}{dt} \sin \varphi \frac{d\varphi}{dt} - r \cos \varphi \left(\frac{d\varphi}{dt} \right)^2 - r \sin \varphi \frac{d^2\varphi}{dt^2} \quad \left| \begin{array}{l} m \cos \varphi \\ m \sin \varphi \end{array} \right.$$

$$\frac{d^2y}{dt^2} = \frac{d^2r}{dt^2} \sin \varphi + 2 \frac{dr}{dt} \cos \varphi \frac{d\varphi}{dt} - r \sin \varphi \left(\frac{d\varphi}{dt} \right)^2 + r \cos \varphi \frac{d^2\varphi}{dt^2} \quad \left| \begin{array}{l} m \sin \varphi \\ m \cos \varphi \end{array} \right.$$

Mnożąc ostatnie przyspieszenia przez masę m otrzymamy siły
składowe w kierunkach x i y . Z tych zaś każdą można roztło-
żyć w kierunku promienia wodzącego r i w kierunku nor-
malnym do tegoż promienia. Składając teraz składowe
poprzedniego rozkładu siły przypadające w jeden kierunek
razem tj. sumując je prosto, dostaniemy wzory na:
siłę składową w kierunku promienia: F_2 i w kierunku
normalnym do promienia: F_1 . Rachunkiem robi się to
mnożąc przyspieszenia przez liczby obok wypisane i dodając je
odpowiednio do siebie. Otrzymujemy:

$$F_2 = X \cos \varphi + Y \sin \varphi$$

$$F_1 = -X \sin \varphi + Y \cos \varphi$$

czyli

$$F_2 = m \left[\frac{d^2r}{dt^2} - r \left(\frac{d\varphi}{dt} \right)^2 \right]$$

$$F_1 = m \left[2 \frac{dr}{dt} \frac{d\varphi}{dt} + r \frac{d^2\varphi}{dt^2} \right]$$

Drugie z tych wyrażeń z uwagi, że $\frac{d}{dt}(r^2 \frac{d\varphi}{dt}) = 2r \frac{d\varphi}{dt} + r^2 \frac{d^2\varphi}{dt^2}$ można napisać prościej, i stąd mamy dwa wzory:

$$F_r = m \left[\frac{d^2 r}{dt^2} - r \left(\frac{d\varphi}{dt} \right)^2 \right].$$

$$F_\varphi = \frac{m}{r} \frac{d}{dt} \left(r^2 \frac{d\varphi}{dt} \right).$$

Silę Newtonowską w kierunku dośrodkowym x wyrażamy $m \frac{d^2 r}{dt^2}$; gdy zwrócimy uwagę na pierwszy wzór nasz, widzimy, że dostalibyśmy wyrażenie takie same, gdybyśmy opuścili drugi składnik. Ciemno jednak ten składnik drugi wchodzi w to wyrażenie? Prędkość Newtona kierunek x jest stały; tutaj zaś zmienia się kierunek r zależnie od czasu, i to właśnie jest uwzględnione przez składnik drugi. Gdybyśmy mianowicie założyli, że r jest stałe, a zmienia się tylko φ , to ruch odbywałby się po kole. Ruch ten byłby jak wremy, jednostajny. Przyspieszenie bowiem byłoby tylko ku środkowi, i istniałoby tylko jedna siła (centralna) dośrodkowa wyznaczona na podstawie wzoru str. 76.

$\frac{mv^2}{r} = \frac{m r \left(\frac{d\varphi}{dt} \right)^2}{r}$, a więc właśnie to, co oznaczają nasz drugi składnik. Interpretacja drugiego wzoru byłaby na razie może nie dość jasna. Spotkamy się jednak z nim raz w następnym rozstraszowaniu i tam sobie to wyjaśnimy.

3. Ruch planet dookoła Słońca. Kepler postawił trzy

stawione prawa o ruchu planet około słońca : I. Planety krążą po elipsach dookoła słońca, które znajduje się w jednym z ognisk elipsy. II. Promienie wodzące zakreślające w równych czasach równe pola, co też inaczej wypowiadaemy : prędkość wycinkowa planety jest stała. III. Kwadraty czasów obiegu porostają w stosunku do kwadratów średnich odległości planet od słońca. Nam nie będzie mieć widac' naturalnie elipsy zakreślanych przez planety tylko ruchy względne (względem ziemi). Korzywe oddające te ruchy zawiłe i starano się je dawniej opisać zapomocą cykloidy i epicykloidy. Dopiero Kopernik rozłożył owe ruchy na ruch ziemi i na ruchy własne planet po kole względnie elipsie. My przyjmujemy prawo Keplera stwierdzone empirycznie (Tycho de Brahe) za punkt wyjścia i postaramy się wyciągnąć stąd wnioski. Zwracając się do prawa II. Keplera i ubierając

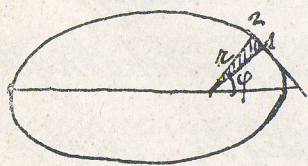


Fig. 61.

go w formułę matematyczną, powiemy: promień wodzący zakreśla w bardzo krótkim czasie trójkąt o podstawie $rd\varphi$, a wysokości r . Powierzchnia tego trójkąta

$dS = \frac{r^2 d\varphi}{2}$. Dzielimy obie strony tej równości przez dt dostajemy to, co nazywamy prędkością wycinkową. Według II prawa

Mechanika Str. XI.

wa zaś: Prędkość wycinkowa:

$$\omega = \frac{d\varphi}{dt} = \frac{r^2}{2} \frac{d\varphi}{dt} = \text{Const.}$$

Stąd $\frac{d}{dt}(r^2 \frac{d\varphi}{dt}) = 0$, a stąd, przypominając sobie wyrażenie na siłę normalną mamy:

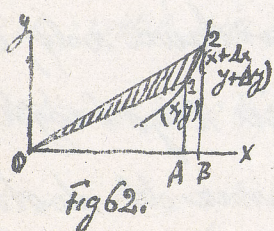
$$F_{\perp} = \frac{m}{2} \frac{d}{dt}(r^2 \frac{d\varphi}{dt}) = 0.$$

Wnosząc stąd, że reszta wypadkowej czynnicy przy ruchu planet, którą myślimy sobie rozłożoną na składowe: normalną i w kierunku promienia wodzącego: F_r czyli centralną [którą jednak należy starannie odróżnić od składowej w kierunku promienia krzywizny], zostaje czynną tylko ta ostatnia. Powoduje ona, jak wiemy, zakrzywienie toru.

Ogólnie powiemy: charakterystyczną cechą sił centralnych jest: to, że $F_{\perp} = 0$. Gdy bowiem założymy ruch centralny, do dostajemy także konsekwencję, a gdy na odwrót założymy $F_{\perp} = 0$, to dostaniemy cechę ruchu centralnego: prędkość wycinkowa $\omega = \text{Const.}$

Gdyby natomiast $F_{\perp} \neq 0$, to ruch już nie byłby centralny.

Do wniosków tych przy wzięciu współrzędnych prostokątnych dojdziemy tak:



Gdy punkt porusza się z pozycji 1 do 2, promień narysował trójkąt 0 1 2. Pole tego trójkąta (cieniowane na rycinie) jest:

$$0 1 2 = OB2 - OA1 - AB21 = \frac{(x+\Delta x)(y+\Delta y)}{2} - \frac{x y}{2} - \frac{(2y+\Delta y) \Delta x}{2} =$$

$= \frac{x \Delta y - y \Delta x}{2}$. Dzielaąc tę powierzchnię trójkąta przez czas Δt i przechodząc do granicy, dostajemy prędkość wycinkową:

$$w = \frac{1}{2} \left(x \frac{dy}{dt} - y \frac{dx}{dt} \right)$$

która według Keplera jest stała. Z tego wzoru można wrócić w jednej chwili do wzoru poprzed wyrowadzonego przy pomocy współrzędnych biegunowych na prędkość wycinkową, zakładając $x = r \cos \varphi$, $y = r \sin \varphi$. Zostaje jednak przy wzorze ostatnim, dostajemy:

$$\frac{dw}{dt} = \frac{dx}{dt} \frac{dy}{dt} - x \frac{d^2 y}{dt^2} - y \frac{d^2 x}{dt^2} - \frac{dy}{dt} \frac{dx}{dt} = 0, \text{ skąd}$$

$$\frac{\frac{d^2 y}{dt^2}}{\frac{d^2 x}{dt^2}} = \frac{y}{x}$$

i na mocy Newtonowskiego określenia sił, mamy też:

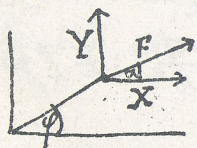


Fig 63.

$$\frac{Y}{X} = \frac{y}{x} = \lg \alpha$$

co podaje nam kierunek siły wypadkowej.

Jeśli przez φ nazwemy kąt, jaki zamyka promień wodzący z osią xów, to kierunkowy kierunek promienia wodzącego nazwamy: $\frac{y}{x} = \lg \varphi$. Stąd wnioskujemy, że $\lg \alpha = \lg \varphi$, czyli $\alpha = \varphi + 2\pi$ ($n=0, \pm 1, \pm 2, \dots$)
Znaczy się to, że siła wypadkowa naszego ruchu ma kierunek promienia wodzącego, mamy zatem do czynienia z siłą centralną. Można by odwrócić tę dowiedź

to cośmy już wyżej dowiedli, że gdy siła jest centralna to prędkość wycinkowa $w = \text{const.}$

Teraz wyciągniemy wnioski z przyjęcia I-go prawa Keplera. Równanie elipsy w współrzędnych biegunowych przedstawia się:

$$r = \frac{p}{1 + \varepsilon \cos \varphi}$$

gdzie parametr $p = \frac{b^2}{a}$, mimośród numeryczny $\varepsilon = \frac{\sqrt{a^2 - b^2}}{a}$.

Gdybyśmy się chcieli np. przekonać, że równanie to przedstawia elipsę, którą w współrzędnych prostokątnych przedstawiamy $\frac{x^2}{a^2} + \frac{y^2}{b^2} = 1$ dość użyć transformacji $x = e + r \cos \varphi$,

$y = r \sin \varphi$. Po wstawieniu tych wzorów w znane równanie elipsy przekonalibyśmy się, że się spełnia tożsamość.

Chcemy wyciągnąć wnioski co do siły $F_r = m \left[\frac{d^2 r}{dt^2} - r \left(\frac{d\varphi}{dt} \right)^2 \right]$.

Z II-go prawa wiemy, że $r^2 \frac{d\varphi}{dt} = C$, skąd $\frac{d\varphi}{dt} = \frac{C}{r^2}$. Z I-go prawa mamy:

$$\frac{dr}{dt} = \frac{e p \sin \varphi \frac{d\varphi}{dt}}{(1 + \varepsilon \cos \varphi)^2} = \frac{p \varepsilon \sin \varphi}{(1 + \varepsilon \cos \varphi)^2} \frac{C}{r^2} = \frac{\varepsilon \sin \varphi C}{p}$$

$$\frac{d^2 r}{dt^2} = \frac{\varepsilon \cos \varphi \cdot C}{p} \frac{d\varphi}{dt} = \frac{\varepsilon C^2 \cos \varphi}{p r^2}$$

Teraz możemy wyrokować już siłę centralną:

$$F_r = m \left[\frac{\varepsilon C^2 \cos \varphi}{p r^2} - r \left(\frac{C}{r^2} \right)^2 \right] = m \frac{C^2}{r^2} \left[\frac{\varepsilon \cos \varphi}{p} - \frac{1}{r} \right]$$

czyli wobec $\frac{1 + \varepsilon \cos \varphi}{p} = \frac{1}{r}$

$$F_r = \frac{m C^2}{p} \cdot \frac{1}{r^2}$$

Czynnik $\frac{mC^2}{p}$ jest wielkością stałą. Mamy więc prawo że siła centralna F_r jest odwrotnie proporcjonalna do kwadratu odległości przy ruchu centralnym. Jest to wniosek Newtona. Siła F_r jest siłą grawitacyjną.

Wyciągniemy jeszcze wnioski z III prawa Keplera. Porównajmy ruchy różnych planet ze sobą i dojdzie się wyrazić

$$\frac{T^2}{a^3} = k \quad (\text{stała})$$

bo według niego $\frac{T_1^2}{a_1^3} = \frac{T_2^2}{a_2^3} = \dots = k$, gdzie T oznacza czas obiegu, a a połowę osi wielkiej elipsy. Wobec tego, że całe pole elipsy równa się $ab\pi$, przekroń zaś wyinknowa jest stała $= \frac{c}{2}$

$$T = \frac{ab\pi}{\frac{c}{2}} = \frac{2ab\pi}{c}$$

Stąd:

$$k = \frac{4a^2b^2\pi^2}{c^2a^3} = \frac{4\pi^2}{c^2} p, \quad \text{stąd} \quad \frac{c^2}{p} = \frac{4\pi^2}{k}$$

Na siłę centralną dostaniemy zatem wzór:

$$F_r = \frac{4\pi^2}{k} \frac{m}{r^2}$$

Widzimy więc, że siła grawitacyjna jest wprost proporcjonalna do masy, a odwrotnie proporcjonalna do kwadratu odległości. Prawo to jest ogólnie ważne dla wszystkich planet. $\frac{4\pi^2}{k}$ jest współczynnikiem stałym.

Zauważymy, że żadne z praw Keplera nie jest spełnione dokładnie, najmniej zaś dokładnie III prawo. Zachodzą

roźne perturbacje, ruch nie odbywa ściśle około środka, tylko około środka masy całego układu naszego planetarnego. Pochodzi to stąd, że masy pozostałych planet wchodzi w grę. Jowisz np. mający $\frac{1}{1000}$ część masy słońca wpływa już na położenie środka masy.

Prawa podane przez Keplera wytłumaczył Newton ^{mo}pojęciem siły grawitacyjnej. Trzeba zauważyć, że dzisiaj unika się od czasu Kirchhoffa słowa tłumaczenie. Kirchhoff powiedziałby, że Newton opisał ruchy planet, a nie wytłumaczył. Za Kirchhoffem poszli inni eliminując pojęcie przyczyny i skutku. Mach powiada, że pojęcia te są antropomorficzne. Gdy mówimy o sile grawitacyjnej, grawitacji, to mamy na myśli tylko to, że stwierdzamy regularność zjawiska, że więc zjawisko regularnie odbywające się opisujemy. Można się na to zgodzić, jeśli się słowo opisywać bierze w tak obszernym zakresie.

Podobnie jak w powyższych przykładach potępiłobyśmy gdybyśmy mieli opisać ruch drgający. W dotychczasowych rozważaniach uwaraliśmy punkt jako swobodny. Na niego działają różne siły i pod ich wpływem punkt wyko-

nywać pewne ruchy. Teraz przystąpimy do mechaniki punktu nieswobodnego.

B. Dynamika punktu nieswobodnego.

W praktyce jest zwykle swoboda ruchu punktu materialnego ograniczona, to znaczy się, że punkt musi zostawać w czasie ruchu albo na jakiejś powierzchni albo na jakiejś krzywej. W przywołańc matematycznym: w stożkowem (Punkt m. umocowany na nitce, utwierdzonej drugim końcem w pewnym punkcie statycznym i spełniającej wszystkie warunki promienia kuli) są dwie swobody ruchu; punkt może się poruszać po powierzchni kuli. W wahadła bifilarnego (= punkt umocowany na dwu takich nitkach utwierdzonych drugim końcem w dwu różnych stojących punktach) jest tylko jedna swoboda ruchu; punkt może się poruszać po obwodzie koła. Prócz ograniczeń ruchu do powierzchni i krzywej mogą być inne np. potrącenia jednostronne: tak np. ciało rucho-
ne na ścieżce nie może doznawać przesunięć ujemnych, bo przekracza temu powierzchnia ścieżki. W te ostatnie jednak ograniczenia na razie nie wchodzić i zajmujemy się tylko poprzednie-
mi. Rozszerzenie kaidorazowe punktu ogranicza się w tych

razach, albo do powierzchni danej równaniem $F(xyz)=0$, albo do krzywej danej przez punkty wspólne dwu równań powierzchni $\Phi(xyz)=0$ i $\Psi(xyz)=0$.

Przy opisywaniu ruchów prolegających powyższym ograniczeniom swobody możemy teraz zgóry przewidzieć sposób postępowania. Gdy op. punkt ma się poruszać po krzywej, to wobec

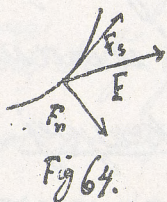


Fig 64.

tego, że siłę F możemy rozłożyć na składową styczną F_s i składową normalną F_n , przyczem ta ostatnia nam nie obchodzi, bo ruch się może odbywać po krzywej, bezdławnie mieć ruch określony przez podanie siły stycznej. Siłę styczną określiliśmy wyżej równaniem:

$$F_s = m \frac{dv}{dt}$$

Mając określone F_s dla każdego punktu krzywej, dostajemy równanie różniczkowe, z którego już wypływać będzie ruch. Metoda ta daje się np. zastosować przy wahadle, gdy ruch ma się odbywać w płaszczyźnie. Uważajmy wahadło wychylone o kąt φ .

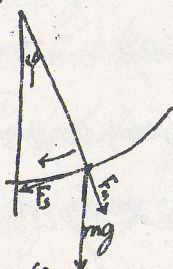


Fig: 65

Na punkt drąta siła mg , którą rozkładamy na siłę normalną F_n , która nam nie obchodzi i siłę styczną: $F_s = -mg \sin \varphi$.

Nobee wzoru na siłę styczną, mamy równanie

$$\frac{dv}{dt} = g \sin \varphi.$$

różniczkowe.

Jeśli s oznacza tuk i jeśli tuk ten leży od pierwszej pozycji wychylenia i prędkość ruchemy w kierunku strzałki, to wobec tego, że przyspieszenie φ maleje, dajemy znak $-$. Wzrzućmy zatem:

$$v = \frac{ds}{dt} = -a \frac{d\varphi}{dt}$$

gdzie a oznacza długość nici. Stąd

$$a \frac{d^2\varphi}{dt^2} = -g \sin \varphi.$$

Dostaliśmy tak równanie mechaniczne określające ruch wahadła. Chodzi o całkowanie. Ta sprawa nieco trudniejsza, bo całka tego równania jest eliptyczną i nie da się w skończonej formie wyrachować. Tylko musimy się uciekać do rozwinięcia w szereg nieskończony. Na razie jednak uprościmy sprawę w ten sposób, że się ograniczymy do wychyleń bardzo małych, takich, że $\sin \varphi$ będziemy mogli zastąpić przez φ . Dostaniemy:

$$a \frac{d^2\varphi}{dt^2} = -g \varphi$$

Teraz jest to już znany nam typ równań różniczkowych. Wiemy że ruch będzie harmoniczny przyspieszony, całka będzie:

$$\varphi = A \sin(\alpha t + \varepsilon)$$

Łatwo się o tem przez podwójne upochodnienie przekonać:

$$\frac{d\varphi}{dt} = A \alpha \cos(\alpha t + \varepsilon)$$

$$\frac{d^2\varphi}{dt^2} = -A \alpha^2 \sin(\alpha t + \varepsilon)$$

Wiekamy, że równanie różniczkowe się spełnia dla $\alpha = \sqrt{\frac{g}{2}}$

Zatem:
$$\varphi = A \sin(t \sqrt{\frac{g}{2}} + \varepsilon)$$

Periód wynosi $T\sqrt{\frac{g}{2}} = 2\pi$, zatem okres ruchu:

$$T = 2\pi \sqrt{\frac{2}{g}}$$

Do określenia ε potrzebne dwie stałe całkowania A i ε . W tym celu weźmy dla $t = t_0 = 0$, będzie $\varphi = \varphi_0$ $\left(\frac{d\varphi}{dt}\right)_0 = 0$. Będzie:

$$\varphi_0 = A \sin \varepsilon$$

$$\left(\frac{d\varphi}{dt}\right)_0 = A \sqrt{\frac{g}{2}} \cos \varepsilon = 0$$

To ostatnie równanie mogłoby zachodzić albo dla $A=0$, albo dla $\cos \varepsilon = 0$, albo dla obu tych wypadków równoczesnych. Atoli $A \neq 0$ z powodu $\varphi_0 \neq 0$. Zatem równanie ostatnie określa nam $\varepsilon = \frac{\pi}{2}, \frac{3}{2}\pi, \dots$. Stąd dostajemy zaraz na określenie A z pierwszego równania: $A = \varphi_0$ amplituda. Wprowadzając to w równanie ruchu, mamy:

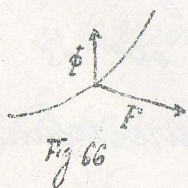
$$\varphi = \varphi_0 \cos(t \sqrt{\frac{g}{2}}).$$

Tak więc mamy już ruch przy powyższych założeniach w zupełności określony. Metoda atoli jakiegось tu wężli nie da się ogólnie stosować. W metodzie tej rozkładaliśmy siłę na styczną i normalną, przytem ta ostatnia nie nas nie obchodziła, a ruch cały był określony przy pomocy siły stycznej. Co jednak będzie, gdy ruch może się odbywać np. po powierzchni?

Jak mamy wtedy siły rozkładać? Metoda poprzednia nie daje nam tu skarówek. Pomysł my bowiem sobie, żeśmy i w tym razie rozłożyli siłę na normalną (na którą więc nie działamy) i na dwie styczne do danej powierzchni. Nasze poprzednie równanie: $m \frac{dv}{dt} = F_s$ odnosi się do siły stycznej w kierunku chwilowego ruchu. Teraz jednak na powierzchni możemy w każdej chwili wykreślić nieskończenie wiele krzywych o różnych kierunkach. Wszystkie te kierunki są równie możliwe. Nie wiemy więc jaki z nich będzie kierunkiem drogi i jak mamy siły rozkładać. Do rozwiązywania takich zadań służy ogólna:

Zasada D'Alemberta.

Różne są sposoby wyprowadzenia tej zasady. Jeden z prostszych jest np. taki: Punkt umieszczony porusza się po pewnej powierzchni lub krzywej możemy uważać na swobodny, gdybyśmy do siły zewnętrznej F działającej na punkt dodali jeszcze siłę Φ , która wywiera na powierzchnię lub krzywą po której się punkt



jest umieszczony poruszać. Siła Φ nie jest naturalnie równoważeniem; powierzchnie i krzywe przyjmujemy jako idealnie gładkie; Gdyby jakie tarcie należało uwzględnić, to wstawamy

je do siły F . Wobec tego możemy dla tego punktu nakładać równania Newtonowskie. Rozkładając tedy siłę F na trzy składowe X, Y, Z , analogicznie zaś siłę Φ na ξ, η, ζ , mamy:

$$\begin{array}{l|l} m \frac{d^2x}{dt^2} = X + \xi & \delta x \\ m \frac{d^2y}{dt^2} = Y + \eta & \delta y \\ m \frac{d^2z}{dt^2} = Z + \zeta & \delta z \end{array}$$

Powiedzmy teraz, że punkt się przesunie o mały kawałek do po swej powierzchni, którego składowe narnacemy $\delta x, \delta y, \delta z$.

Mnożąc powyższe równania przez odpowiednie przesunięcia składowe, dodając je do siebie i porządkując, dostajemy wyrażenie:

$$(X - m \frac{d^2x}{dt^2}) \delta x + (Y - m \frac{d^2y}{dt^2}) \delta y + (Z - m \frac{d^2z}{dt^2}) \delta z = -[\xi \delta x + \eta \delta y + \zeta \delta z]$$

Lewa strona tego wyrażenia przedstawia nam pracę wykonaną przez siłę przymusową Φ przy przesunięciu punktu o element łuku δs . W nawiasie bowiem mamy iloczyn ze sił składowych i elementów drogi. Jeśli przesunięcie owe δs

będzie zgodne z warunkiem ruchu tj. po powierzchni lub krzywej zostanie uskutecznione, czyli jak to krótko mówimy jeśli przesunięcia owe będą przygotowane *), to wobec matości łuku δs będzie ono prostopadłe do siły Φ . Stenoras

*) Niemcy nazywają takie przesunięcia Virtuelle Verschiebungen lub virtuelle Geschwindigkeiten, Francuzi: virtuelles vitesses.

praca jest równa zero i tedy wyrażenie w nawiasie równa się zero. Stąd dostajemy wyrażenie, do któregośmy przyszli:

$$(X - m \frac{d^2x}{dt^2}) \delta x + (Y - m \frac{d^2y}{dt^2}) \delta y + (Z - m \frac{d^2z}{dt^2}) \delta z = 0$$

gdyż, akcentujemy to, δx , δy , δz są dobrane zgodnie z warunkami ruchu tj. uwzględnione jest w nich równanie powierzchni lub krzywej, po której się ruch odbywa.

Historyczny wywód tej zasady opiera się na pojęciu równowagi: Dany punkt, na którym działają siły zostanie w równowadze, jeśli siła wypadkowa $f=0$, lub jeśli praca wykonana przy przesunięciu w jakimś kierunku jest równa zero:

$$(f \cdot dr) = X \delta x + Y \delta y + Z \delta z = 0$$

Warunek ten równowagi wypowiedziany dla punktu swobodnego redukuje się dla punktu X murowanego porożawać na pewnej powierzchni lub krzywej do tego, że praca wykonana w kierunku stycznym do tej powierzchni lub krzywej czyli praca dla przesunięcia przygotowanego ma być równa zero. To co dotąd powiedzieliśmy tu jest ważne dla stanu równowagi. Ze stanu równowagi do ruchu przejść można łatwo zapomnąc zasady D'Alemberta spiewającej: siły, które się nie równoważą, tylko powodują ruch, równo-

ważątyby się, gdybyśmy od sił zewnętrznych odjęli siły im równoważne tj iloczyn e masy i przyspieszenia. Zasada ta okazuje się, bo nie wyraża ona nic innego jak równania Newtonowskie siły napisane w formie:

$$X - m \frac{d^2x}{dt^2} = 0$$

$$Y - m \frac{d^2y}{dt^2} = 0$$

$$Z - m \frac{d^2z}{dt^2} = 0$$

Jeśli przesunięcia przygotowane jest S , którego składowe d_x : S_x, S_y, S_z , to oczywiście zachodzi równość:

$$(X - m \frac{d^2x}{dt^2}) S_x + (Y - m \frac{d^2y}{dt^2}) S_y + (Z - m \frac{d^2z}{dt^2}) S_z = 0$$

do którejśmy doszli.

Nazwijmy wektorowej moglibyśmy zasadę tę wyprawać tak. Punkt umieszczony do poruszania na pewnej powierzchni lub krzywej, na który działa siła f moglibyśmy uważać za swobodny, gdybyśmy do siły f dodali pewną siłę f' wywołaną przez powierzchnię lub krzywą. Można wtedy stosować równania Newtona i napisać

$$f + f' = m \frac{d^2r}{dt^2} \quad \text{czyli}$$

$$f - m \frac{d^2r}{dt^2} = -f'$$

f' jest siłą przymusową. Tracę wyrażamy iloczynem skalarnym siły i przesunięcia. Bezwzględnie więc:

$$(f - m \frac{d^2 r}{dt^2}) dr = - f' dr$$

Przesunięcia, jakie tu są możliwe, są styczne do danej powierzchni czy tej krzywej; f' zaś może mieć kierunek tylko normalny. Powierzchnię bowiem suponujemy jako idealnie gładką. Stąd

$$f' \perp dr$$

Zatem $f' dr = 0$, i stąd

$$(f - m \frac{d^2 r}{dt^2}) dr = 0$$

rownanie ważne dla specjalnych przesunięć dr , a mianowicie dla przesunięć przygotowanych. Rozpisując to równanie dostajemy zasadę ruchu D'Alemberta w formie zwykłej:

$$(X - m \frac{d^2 x}{dt^2}) \delta x + (Y - m \frac{d^2 y}{dt^2}) \delta y + (Z - m \frac{d^2 z}{dt^2}) \delta z = 0$$

Z tego można dostać w jednej chwili specjalny wypadek równanie dla równowagi, zakładając: $\frac{dx}{dt^2} = \frac{dy}{dt^2} = \frac{dz}{dt^2} = 0$

$$X \delta x + Y \delta y + Z \delta z = 0$$

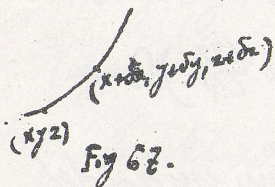
Jest to zasada prac przygotowanych, orzekająca, że równowaga jest wtedy, jeśli praca przygotowana jest równa zero. Przez pracę zaś przygotowaną rozumiemy pracę wykonaną przy przesunięciu przygotowanym. (Principe des virtuelles Verschiebungen, Principe des vitesses virtuelles).

Zastosowanie: Użyteczność zasady D'Alemberta polega na tem, że mając dane a priori siły zewnętrzne X, Y, Z , oraz równanie powierzchni lub linii krzywej, po której się punkt jest zmuszony poruszać, możemy dojść do równań ruchu czysto matematycznemi operacyami.

Wrazie, gdy punkt ma zostawać na powierzchni:

$$\varphi(x, y, z) = 0$$

natenczas owe: $\delta x, \delta y, \delta z$, mając dawać wyraz przesunięciu przygotowanemu muszą wynikać z równania tej powierzchni. Gdy się punkt z pozycji (x, y, z) przesunie do $(x+\delta x, y+\delta y, z+\delta z)$, zostając na powierzchni to zachodzi:



$$\varphi(x+\delta x, y+\delta y, z+\delta z) = 0$$

Rozwijając ostatnie wyrażenie według Taylora, i uprościwszy, co pod warunkiem ciągłości funkcji możemy uczynić, na pierwszym wyrazie rozwinięcia, dostajemy:

$$\varphi(x+\delta x, y+\delta y, z+\delta z) - \varphi(x, y, z) = \frac{\partial \varphi}{\partial x} \delta x + \frac{\partial \varphi}{\partial y} \delta y + \frac{\partial \varphi}{\partial z} \delta z = 0$$

Z tego równania i równania D'Alemberta można teraz wyznaczyć np. δx , zostawiając dowolne $\delta y, \delta z$, ale często się używa metody Lagrange'a czynnika

Moiemy mianowicie pomnożyć równanie poprzednie:

$$\frac{\partial \varphi}{\partial x} \delta x + \frac{\partial \varphi}{\partial y} \delta y + \frac{\partial \varphi}{\partial z} \delta z = 0$$

przez czynnik dowolny Λ i dodać je następnie do równania D'Alemberta. Dostaniemy:

$$(X - m \frac{d^2 x}{dt^2} + \Lambda \frac{\partial \varphi}{\partial x}) \delta x + (Y - m \frac{d^2 y}{dt^2} + \Lambda \frac{\partial \varphi}{\partial y}) \delta y + (Z - m \frac{d^2 z}{dt^2} + \Lambda \frac{\partial \varphi}{\partial z}) \delta z = 0$$

Czynnik dowolny Λ możemy teraz tak dobrać, by np. ostatni wyraz stał się równy zero. Zostaną wtedy dwa inne wyrazy, pomnożone przez calkiem dowolne: δx , δy . Jeśli więc wyrażenie z tych dwa wyrazów ma być przyrównane do zera, to warunkiem tego jest, by same nawiasy były równe zero. Dostajemy tak trzy równania różniczkowe ruchu:

$$X - m \frac{d^2 x}{dt^2} + \Lambda \frac{\partial \varphi}{\partial x} = 0$$

$$Y - m \frac{d^2 y}{dt^2} + \Lambda \frac{\partial \varphi}{\partial y} = 0$$

$$Z - m \frac{d^2 z}{dt^2} + \Lambda \frac{\partial \varphi}{\partial z} = 0$$

Wchodzi w nie czynnik (już teraz nie dowolny, bo poprzednim warunkiem określony) Λ na razie nie znamy. Kwestya operacyi matematycznej jest pozbycie się tego czynnika, reszta moimna go a posteriori obliczyć.

Kiedy gdy punkt materialny jest skazany na zostawanie na pewnej linii określonej:

Mechanika Ark. VIII.

$$\varphi(xyz) = 0 \quad \psi(xyz) = 0$$

notenczas musiałby być analogicznie do poprzedniego dwa następujące wyrażenia:

$$\frac{\partial \varphi}{\partial x} \delta x + \frac{\partial \varphi}{\partial y} \delta y + \frac{\partial \varphi}{\partial z} \delta z = 0$$

$$\frac{\partial \psi}{\partial x} \delta x + \frac{\partial \psi}{\partial y} \delta y + \frac{\partial \psi}{\partial z} \delta z = 0$$

Je pomnożone przez dowolne czynniki λ i μ i dodane do równania D'Alemberta dają:

$$(X - m \frac{d^2 x}{dt^2} + \lambda \frac{\partial \varphi}{\partial x} + \mu \frac{\partial \psi}{\partial x}) \delta x + (Y - m \frac{d^2 y}{dt^2} + \lambda \frac{\partial \varphi}{\partial y} + \mu \frac{\partial \psi}{\partial y}) \delta y + (Z - m \frac{d^2 z}{dt^2} + \lambda \frac{\partial \varphi}{\partial z} + \mu \frac{\partial \psi}{\partial z}) \delta z = 0$$

Jeśli w tem wyrażeniu dobierzemy λ i μ tak, żeby dwa wyrazy stały się równe zero, niech to będą np. dwa ostatnie, to wtedy też pozostały, tu więc pierwszy wyraz, wobec dowolności przesunięcia składowego δx będzie też równy zero. Dostaniemy tak znowu trzy równania różniczkowe ruchu:

$$X - m \frac{d^2 x}{dt^2} + \lambda \frac{\partial \varphi}{\partial x} + \mu \frac{\partial \psi}{\partial x} = 0$$

$$Y - m \frac{d^2 y}{dt^2} + \lambda \frac{\partial \varphi}{\partial y} + \mu \frac{\partial \psi}{\partial y} = 0$$

$$Z - m \frac{d^2 z}{dt^2} + \lambda \frac{\partial \varphi}{\partial z} + \mu \frac{\partial \psi}{\partial z} = 0$$

z których znowu λ i μ na razie nieznane można wygugować albo a posteriori obliczyć.

Damy proste przykłady na zastosowanie metody D'Alemberta

1. Niech punkt ślizga się pod wpływem ciężkości po prostej pochyłej. Dla prostoty przyjmijmy, że prosta ta leży w płaszczyźnie rysunku. Siły działające są:

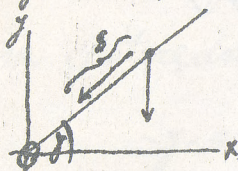


Fig 68.

$$X=0, Y=-mg.$$

Równanie prostej: $y = x \operatorname{tg} p$. Z nie uwzględniamy, bo ruch dwuwymiarowy. $\delta y = \operatorname{tg} p \delta x$.

$$(0 - m \frac{d^2 x}{dt^2} - \lambda \operatorname{tg} p) \delta x + (-mg - m \frac{d^2 y}{dt^2} + \lambda) \delta y = 0$$

Stąd

$$-m \frac{d^2 x}{dt^2} - \lambda \operatorname{tg} p = 0$$

$$-mg - m \frac{d^2 y}{dt^2} + \lambda = 0$$

równanie różniczkowe ruchu. λ można np. wyeliminować. Bez

$$\frac{d^2 x}{dt^2} + \operatorname{tg} p (g + \frac{d^2 y}{dt^2}) = 0$$

x i y jest tu związane. Celem rozdzielenia powrotujemy się na równanie dane, skąd mamy:

$$\frac{d^2 y}{dt^2} = \operatorname{tg} p \cdot \frac{d^2 x}{dt^2}$$

i zatem:

$$\frac{d^2 x}{dt^2} [1 + \operatorname{tg}^2 p] + g \operatorname{tg} p = 0 \quad \text{Stąd}$$

$$\frac{d^2 x}{dt^2} = - \frac{g \operatorname{tg} p}{1 + \operatorname{tg}^2 p} = -g \sin p \cos p$$

$$x = -g \sin p \cos p \frac{t^2}{2} + \alpha t + \beta$$

Dostaliśmy tak równanie ruchu, które jednak jest różne od wz.

przewodzonego na str. 42. Pochodzi to stąd, że tam kręgisny s w kierunku ruchu, tu zaś x jest reutem s . Można jednak w jednej chwili do tamtego kształtu wrócić, z uwagi, że

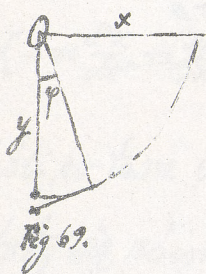
$$ds = - \frac{dx}{\cos \varphi} \quad , \quad \beta = \alpha = 0$$

Dostajemy

$$s = g \sin \varphi \frac{t^2}{2}$$

ważąc ruch ciała poruszającego się po równi pochytej.

2. Włchadło matematyczne. Załóżmy, że ruch włchadła od-
bywa się w płaszczyźnie. Nie trzeba będzie więc
uwzględniać siły składowej Z . Będzie więc:



$$X = 0 \quad , \quad Y = -mg$$

Równanie kola, po którym się punkt porusza:

$$x^2 + y^2 - a^2 = 0 \quad .$$

Stąd :

$$0 = m \frac{d^2 x}{dt^2} + 2 \lambda x = 0$$

$$-mg - m \frac{d^2 y}{dt^2} + 2 \lambda y = 0$$

$$\left| \begin{array}{l} \frac{dx}{dt} \\ \frac{dy}{dt} \end{array} \right.$$

Z równania kola mamy:

$$\lambda x \frac{dx}{dt} + \lambda y \frac{dy}{dt} = 0 \quad . \quad \text{Mnożąc więc poprzednie}$$

równania odpowiednio przez $\frac{dx}{dt}$, $\frac{dy}{dt}$ i dodając osobno do-
my równania od λ :

$$-mg \frac{dy}{dt} - m \left(\frac{dx}{dt} \frac{d^2 x}{dt^2} - \frac{dy}{dt} \frac{d^2 y}{dt^2} \right) = 0$$

$$-g dy = d \frac{[(\frac{dx}{dt})^2 + (\frac{dy}{dt})^2]}{2}$$

$$-gy = \frac{1}{2} \left[\left(\frac{dx}{dt} \right)^2 + \left(\frac{dy}{dt} \right)^2 \right] + \text{Const}$$

Nobec $\left(\frac{dx}{dt}\right)^2 + \left(\frac{dy}{dt}\right)^2 = V^2$

$$-gy = \frac{1}{2} V^2 + \text{Const}$$

Kształt ten jeszcze jest nam niewygodny, wprowadzimy zatem odpowiednie biegunowe.

$-y = a \cos \varphi$, $V = -a \frac{d\varphi}{dt}$ więc

$$ga \cos \varphi = \frac{1}{2} a^2 \left(\frac{d\varphi}{dt}\right)^2 + \text{Const}$$

Ale to równanie miało kształt taki sam jak na str 87 wy-
Haczy je względem t zróżniczkować:

$$a \frac{d^2 \varphi}{dt^2} = -g \sin \varphi$$

Dostaliśmy więc kształt taki sam, ale droga jest stromo-
wa dłuższa. To jest wada metody Lagrange'a, ale zato jest ona
ogólna i oszczędza nam myślenia. Wystarczy dla jej sto-
sowania znać tylko siły działające i kształt tworzący
geometrycznego, na którym ma się punkt poruszać.

Zauważymy, że równanie:

$$ga \cos \varphi = \frac{1}{2} a^2 \left(\frac{d\varphi}{dt}\right)^2 + \text{Const}$$

wyraża po prostu zachowanie energii. Ale to można by też prze-
widzieć bezpośrednio, bo zakładaliśmy, że ruch się odby-
wa pod wpływem siły ciężkości, a więc potencjalnej. Poten-
cyał grawitacyjny jest $U = mgy$.

$$X = -\frac{\partial U}{\partial x} = 0, \quad Y = -\frac{\partial U}{\partial y} = -mg$$

a że suma z energii potencjalnej i kinetycznej dla sił konserwatywnych jest stała, więc:

$$mgy + \frac{m}{2} V^2 = \text{const},$$

a to jest to samo co wyżej. Z zasady zachowania energii wyprowadzamy więc ten ruch najprościej. Ogólnie jeśli na punkt materialny działają siły konserwatywne i gdy jest dana tylko jedna swoboda tj. ruch może się odbywać po linii, to najprościej postępujemy opierając się na ruchu, gdy wyjdziemy z zasady zachowania energii. W wypadkach zawi-tych zasady te nie wystarczą, bo stąd dostajemy jedną tyl-ko relację, a gdy mamy ruch dwuwymiarowy trzeba re-kurrować do dwóch równań.

Jeszcze w trzeci sposób można wyprowadzić równanie ruchu dla wahadła matematycznego. Wobec tego, że punkt masy porusza się po kole: $x^2 + y^2 = a^2$ jest

$$x \delta x + y \delta y = 0,$$

$$\delta y = -\delta x \cdot \frac{x}{y}$$

Uwzględniając to w równaniu ruchu d'Alemberta, mamy:

$$-m \frac{d^2 x}{dt^2} \delta x - (-mg - m \frac{d^2 y}{dt^2}) \delta x \cdot \frac{x}{y} = 0$$

$$\left\{ \frac{d^2 x}{dt^2} + \left(g - \frac{d^2 y}{dt^2} \right) \frac{x}{y} \right\} \delta x = 0$$

To możliwe, gdy nawias = 0.

$$y \frac{d^2 x}{dt^2} - x \frac{d^2 y}{dt^2} + gx = 0$$

Rezultat ten jest taki sam jak gdybyśmy postępując według Lagrange'a uwolnili równania od zrywnika λ . Przedtem postępując tą metodą Lagrange'a doszliśmy do zasady zachowania energii. Teraz przepisując równanie w formie.

$$\frac{d}{dt} \left(x \frac{dy}{dt} - y \frac{dx}{dt} \right) = gx$$

i przypominając sobie z ruchu centralnego, że nawias przedstawia podwójną prędkość wycinkową: $= a^2 \frac{d\varphi}{dt}$ (str. 79, 81)

napiszemy:

$$\frac{d}{dt} \left(a^2 \frac{d\varphi}{dt} \right) = gx$$

$$a^2 \frac{d^2 \varphi}{dt^2} = gx = -ga \sin \varphi$$

$$\frac{d^2 \varphi}{dt^2} = -\frac{g}{a} \sin \varphi$$

Znowu równanie różniczkowe ruchu wahadła. Chodzi tylko o całkowanie tego równania. Już nam nie chodzi o wielką dokładność mówimy sprawę uproszczyć, rozwijając \sin według Taylora:

$$\sin \varphi = \varphi - \frac{\varphi^3}{3!} + \frac{\varphi^5}{5!} - \dots$$

i poprostajmy ora pierwszymi składnikami. Stąd

$$\frac{d^2 \varphi}{dt^2} = -\frac{g}{a} \varphi$$

Rozwiązanie: $\varphi = A \sin(\alpha t + \epsilon)$. Stałe A i ϵ określmy z pozycji początkowej i prędkości. Dostaniemy, jak już to wiemy ze str. 88: $\varphi = \varphi_0 \cos(t\sqrt{\frac{g}{a}})$.

Do tego samego rezultatu można dojść innemi sposobami.

Mozemy napisać:

$$\frac{d\varphi}{dt} \frac{d^2\varphi}{dt^2} dt = -\frac{g}{l} \sin\varphi \cdot d\varphi$$

$$\frac{1}{2} d\left(\frac{d\varphi}{dt}\right)^2 = \frac{g}{l} d(\cos\varphi)$$

$$\frac{1}{2} \left(\frac{d\varphi}{dt}\right)^2 = \frac{g}{l} \cos\varphi + C$$

Stała C można określić, gdy dana jest pozycja początkowa i prędkość tj. dla $t=0$, $\varphi=\varphi_0$, $\left(\frac{d\varphi}{dt}\right)_0=0$

$$0 = \frac{g}{l} \cos\varphi_0 + C \quad \text{stąd}$$

$$\frac{1}{2} \left(\frac{d\varphi}{dt}\right)^2 = \frac{g}{l} (\cos\varphi - \cos\varphi_0)$$

$$\int \frac{d\varphi}{\sqrt{\cos\varphi - \cos\varphi_0}} = \int \sqrt{\frac{2g}{l}} dt$$

Gdy znowu ograniczymy się do małych wychyleń i przedstawimy:

$$\cos\varphi = 1 - \frac{\varphi^2}{2} + \frac{\varphi^4}{24} - \dots$$

$$\cos\varphi_0 = 1 - \frac{\varphi_0^2}{2} + \frac{\varphi_0^4}{24} - \dots$$

dostaniemy:

$$\int \frac{d\varphi}{\sqrt{\varphi_0^2 - \varphi^2}} = \sqrt{\frac{g}{l}} \int dt = \sqrt{\frac{g}{l}} \cdot t + \text{const}$$

lewa strona:

$$\int \frac{d\varphi}{\sqrt{1 - \left(\frac{\varphi}{\varphi_0}\right)^2}} = \arcsin \frac{\varphi}{\varphi_0}$$

$$\arcsin \frac{\varphi}{\varphi_0} = \sqrt{\frac{g}{l}} t + \text{const}$$

$$\varphi = \varphi_0 \sin\left(t\sqrt{\frac{g}{l}} + \text{const}\right),$$

gdzie znowu const oznaczyć można z warunków początkowych.

Postaramy się teraz obliczyć ścisłej całkę równania:

$$\frac{d^2\varphi}{dt^2} = -\frac{g}{a} \sin \varphi.$$

Musimy w tym celu wrócić do równania, w którym jeszcze figuruje \cos *in extenso*:

$$\int \frac{d\varphi}{\sqrt{\cos \varphi - \cos \varphi_0}} =$$

Wobec: $1 - \cos \varphi = 2 \sin^2 \frac{\varphi}{2}$
 $1 - \cos \varphi_0 = 2 \sin^2 \frac{\varphi_0}{2}$ jest $\cos \varphi - \cos \varphi_0 = 2 \left(\sin^2 \frac{\varphi}{2} - \sin^2 \frac{\varphi_0}{2} \right)$

i stąd całka przyjmie kształt:

$$= \frac{1}{\sqrt{2}} \int \frac{d\varphi}{\sqrt{\sin^2 \frac{\varphi}{2} - \sin^2 \frac{\varphi_0}{2}}}$$

Wprowadzając: $\frac{\sin \frac{\varphi}{2}}{\sin \frac{\varphi_0}{2}} = z = \sin \psi$, skąd

$$\frac{\frac{1}{2} \cos \frac{\varphi}{2}}{\sin \frac{\varphi_0}{2}} d\varphi = dz = \cos \psi d\psi \quad \text{oraz}$$

$$d\varphi = \frac{dz \cdot 2 \sin \frac{\varphi_0}{2}}{\cos \frac{\varphi}{2}} = \frac{2 \sin \frac{\varphi_0}{2} dz}{\sqrt{1 - (z \sin \frac{\varphi_0}{2})^2}}.$$

Stąd zaś całka powyższa

$$= \frac{1}{\sqrt{2}} \int \frac{2 \sin \frac{\varphi_0}{2} dz}{\sqrt{1 - (z \sin \frac{\varphi_0}{2})^2} \sqrt{1 - z^2 \sin^2 \frac{\varphi_0}{2}}} \quad \text{i wreszcie}$$

$$\int \frac{dz}{\sqrt{1 - z^2} \sqrt{1 - z^2 \sin^2 \frac{\varphi_0}{2}}} = \sqrt{\frac{2}{a}} t + \text{const}$$

gdzie całka po lewej stronie jest już doprowadzona do kształtu normalnego pierwszego rodzaju całek eliptycznych. Wniosek

Ja się przedstawić taką catkę; stał nadziwiał z jest funkcją e-
liptyczną argumentu $\alpha \cos \psi$. Postępujemy ciż transformacją dru-
gą, mamy: $dz = \cos \psi d\psi$, $\sqrt{1-z^2} = \cos \psi$: Stąd dostajemy:

$$\int \frac{d\psi}{\sqrt{1 - \sin^2 \psi \sin^2 \frac{\varphi_0}{2}}} = \pm \sqrt{\frac{2}{g}} + \text{const}$$

Ponieważ $|\sin \psi| \leq 1$, więc jeśli $|\sin \frac{\varphi_0}{2}| < 1$, to możemy
 $(1 - \sin^2 \psi \sin^2 \frac{\varphi_0}{2})^{-\frac{1}{2}}$ rozwinąć według Newtona na szereg
zbieramy. Lewa strona przedstawi się tedy:

$$\int [1 + \frac{1}{2} \sin^2 \psi \sin^2 \frac{\varphi_0}{2} + \frac{3}{8} \sin^4 \psi \sin^4 \frac{\varphi_0}{2} + \dots] d\psi$$

Catkę tę można już teraz łatwo obliczyć z jaką się chce do-
kładnością. My w to nie dochodzimy, a wolniemy po-
 uwagę wypadek szczególny, mianowicie postaramy się
wyznać okres T . Jeśli $\varphi = \varphi_0$ oznacza największe wychyle-
nie, $\varphi = 0$ oznacza pozycję równowagi, to odpowiednie war-
tości na ψ są: $\psi = \frac{\pi}{2}$ oraz $\psi = 0$. Stąd

$$T = 4 \sqrt{\frac{2}{g}} \int_{\psi=0}^{\frac{\pi}{2}} [1 + \dots] d\psi$$

$$= 4 \sqrt{\frac{2}{g}} \left[\psi + \frac{1}{2} \sin^2 \frac{\varphi_0}{2} \int \sin^2 \psi d\psi + \dots \right]_{\psi=0}^{\psi=\frac{\pi}{2}}$$

$$= 4 \sqrt{\frac{2}{g}} \left[\frac{\pi}{2} + \frac{1}{2} \cdot \frac{\pi}{4} \sin^2 \frac{\varphi_0}{2} + \dots \right] \quad \text{cyli}$$

$$T = 2\pi \sqrt{\frac{g}{a}} \left[1 + \left(\frac{1}{2}\right)^2 \sin^2\left(\frac{\varphi_0}{2}\right) + \left(\frac{1.3}{2.4}\right)^2 \sin^4\left(\frac{\varphi_0}{2}\right) + \dots \right].$$

Jest to dokładny wzór na okres wahania wahadła matematycznego. O ile aż ograniczymy do wychyleń małych, natenczas błąd powstały przez opuszczenie składników szeregu poprawki od drugiego będzie miernocząy tak, że będzie zachodził wzór na okres wahania już poprzedz wyprowadzany:

$$T = 2\pi \sqrt{\frac{g}{a}}$$

Ciekawem jest to, że według tego wzoru okres nie zależy od amplitudy: φ_0 . Nie zależy on też od masy punktu materialnego. Jest natomiast proporcjonalny wprost do pierwiastka przyspieszenia ziemskiego odwrotnie do pierwiastka długości nitki. O ile zatem przyspieszenie ziemskie i długość nitki wahadła zostaje niezmieniona, to okres wahania jest stały. Jest to tw. o izochronizmie wahadła o małych wychyleniach. Poprawkę co do izochronizmu czynnym wyraz drugi szeregu. Np dla $\varphi_0 = 5^\circ$; $\sin \frac{\varphi_0}{2} = 0.0436...$ Stąd poprawka wynosić będzie: $0.0004...$ W praktyce jest ona zatem dla takich amplitud znikomo mała.

Z obserwacji T przy znanem a i φ_0 można oznaczyć przyspieszenie ziemskie dla danego miejsca *). Zauważymy jeszcze, że w równaniach naszych nie uwzględnialiśmy żadnego

*) Według niego wynosi ono około $981 \frac{cm}{sek^2}$.

tarcia; wychodziliśmy bowiem z definicji wahadła matematycznego.

3. Wahadło Stożkowe. W wahadle matematycznym punkt porusza się po łuku koła, w stożkowym nasgiód po czaszy kulistej. Stąd dla ujęcia w równania ruchu wahadła stożkowego metodą Lagrange'a potrzebna jest znajomość równania kuli i sił składowych X, Y, Z . Przyjmując, że środek kuli znajduje się w początku naszego układu, mamy jej równanie:

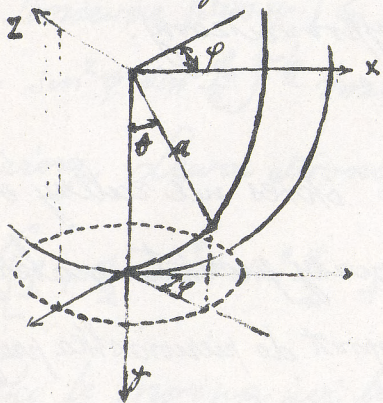


Fig. 70.

jej równanie:

$$\varphi = x^2 + y^2 + z^2 - a^2 = 0$$

i system równań:

$$X - m \frac{d^2 x}{dt^2} + \lambda \frac{\partial \varphi}{\partial x} = 0$$

$$Y - m \frac{d^2 y}{dt^2} + \lambda \frac{\partial \varphi}{\partial y} = 0$$

$$Z - m \frac{d^2 z}{dt^2} + \lambda \frac{\partial \varphi}{\partial z} = 0$$

Nobee: $X=0$, $Z=0$, $Y=+mg$ system ów przejdzie na:

$$m \frac{d^2 x}{dt^2} = 2\lambda x$$

$$m \frac{d^2 y}{dt^2} = +mg + 2\lambda y$$

$$m \frac{d^2 z}{dt^2} = 2\lambda z$$

Zakładając w celu uproszczenia $\frac{2\lambda}{m} = \mu$ dostaniemy:

$$\frac{d^2 x}{dt^2} = \mu x$$

$$\frac{d^2 y}{dt^2} = +g + \mu y$$

$$\frac{d^2 z}{dt^2} = \mu z$$

z	$\frac{dx}{dt}$
	$\frac{dy}{dt}$
x	$\frac{dz}{dt}$

Pomnożymy odpowiednio jedno równanie przez x drugie przez y i odejmiemy. Dostaniemy:

$$x \frac{d^2x}{dt^2} - y \frac{d^2y}{dt^2} = 0 \quad \text{czyli}$$

$$\frac{d}{dt} \left(x \frac{dx}{dt} - y \frac{dy}{dt} \right) = 0 \quad \text{Skąd}$$

$$(a) \quad x \frac{dx}{dt} - y \frac{dy}{dt} = \text{const.}$$

Przy ruchu więc tym prędkość wycinkowa na płaszczyźnie xz jest stała. Znaczy się to, jeśli na płaszczyźnie xz utworzymy ruch punktu wahadła stojkowego, to ruch nitki zakreślać będzie w równych czasach równe pola.

Pomnożymy teraz równanie systemu odpowiednio przez $\frac{dx}{dt}$, $\frac{dy}{dt}$, $\frac{dz}{dt}$ i dodajemy je do siebie.

$$\frac{d^2x}{dt^2} \frac{dx}{dt} + \frac{d^2y}{dt^2} \frac{dy}{dt} + \frac{d^2z}{dt^2} \frac{dz}{dt} = \mu \left(x \frac{dx}{dt} + y \frac{dy}{dt} + z \frac{dz}{dt} \right) - g \frac{dy}{dt}$$

Ponieważ punkt ma zostawać na powierzchni kuli, stąd wyrażenie w nawiasach po prawej stronie musi być równe zero i wyrażenie się uprości. Łatwiej je dostaniemy:

$$(b) \quad \frac{1}{2} \left[\left(\frac{dx}{dt} \right)^2 + \left(\frac{dy}{dt} \right)^2 + \left(\frac{dz}{dt} \right)^2 \right] = +gy + \text{const}$$

Widzimy, że jest to stwierdzenie zachowania energii:

$$\frac{1}{2} m V^2 - mgy = \text{const.}^*)$$

co można było zresztą z góry przewidzieć. Mamy więc 2 równania:

*) Znak - pochodzi stąd, że bierzemy dodatnią oś y ruko na dół.

(a) i (b), z których już wyugłowany jest czynnik mierzony μ , oraz trzecią równanie kuli. Dla łatwiejszego opisu ruchu moglibyśmy wprowadzić układ biegunowy przestrzenny. Wprowadzamy więc dwa kąty φ , odpowiadający długości geograficznej, i θ , będący dopełnieniem szerokości geograficznej. Po międzydownieni trzema współrzędnymi x, y, z , a wprowadzonymi zachodzić będą następujące relacje:

$$x = a \sin \theta \cos \varphi$$

$$y = a \cos \theta$$

$$z = a \sin \theta \sin \varphi$$

gdzie φ i θ są zmiennymi. Zmniejszają się więc ilość promiennych z trzech na dwie. Wychodzi to stąd, że trzecią współrzędną układu biegunowego: promień jest tu w myśl warunków zadania wielkością stałą $= a$. Dostaniemy zatem dwa równania różniczkowe, w których θ i φ będziemy uważać jako funkcje t . Można to osiągnąć przez substitucję powyższą lub bezpośrednio ze znalezienia współrzędnych nowych. Opuścimy to jednak, bo dostalibyśmy znowu funkcje eliptyczne. Wzmiemy tu tylko pod uwagę wypadek specjalny. Założymy mianowicie, że $y = y_0 = \text{const}$ tj. punkt, obciążający nitkę będzie poruszała się

przecięciu się płaszczyzny równoległej do płaszczyzny (xy) i powierzchni kuli, czyli na pewnym kole. Czy to jest możliwe? Wartość g wchodzi tylko w drugie równanie naszego systemu równań. Jeśli g ma spełnić powyższe warunki, to musi

$$tg + \mu g_0 = 0$$

skąd $\mu = -\frac{g}{g_0}$ i system nasz zredukuję się do dwu równań:

$$\frac{d^2x}{dt^2} = -\frac{g}{g_0} x$$

$$\frac{dz}{dt^2} = -\frac{g}{g_0} z$$

od siebie niezależnych. Jeśli więc g_0 będzie spełniało powyższą zależność, to specjalny ów ruch będzie też mógł odbywać. $\frac{g}{g_0} = \alpha$ jest wielkością stałą. Mamy więc znany nam już typ równań różniczkowych:

$$\frac{d^2x}{dt^2} = -\alpha x$$

$$\frac{dz}{dt^2} = -\alpha z$$

Rozwiązaniem ich są:

$$x = A \sin(t\sqrt{\alpha} + \varepsilon)$$

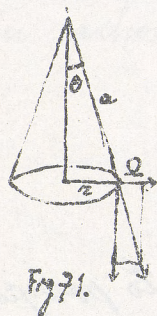
$$z = B \sin(t\sqrt{\alpha} + \varepsilon'),$$

przyczem wobec tego, że ruch odbywa się po kole: $A = B$, bo wychylenia około osi yz są równe. ε i ε' określają początkowe położenia punktu materialnego wahadła. Okres wahanja wahadła

od $\alpha = \frac{\pi}{2}$. Jest mianowicie:

$$T = 2\pi \sqrt{\frac{y_0}{g}}$$

Wzór więc taki sam jak przy wahadle matematycznym, tylko na miejsce długości wahadła a przychodzi rzut nitki na oś y ^{niez}: y_0 . Wzór ten przewidzieć można rozważaniem fizycznym. Ruch punktu materialnego wahadła stożkowego odbywa się



pod współdziałaniem dwu sił: ciężkości i odśrodkowej. Nitka przybiera kierunek wypadkowej. Jeśli siłę odśrodkową nazwiemy Ω , to

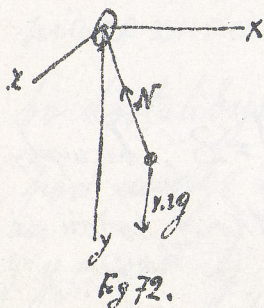
$$\Omega = \frac{mv^2}{r} = m \frac{\left(\frac{2\pi r \sin \theta}{T}\right)^2}{a \sin \theta} = \frac{4\pi^2 m a \sin \theta}{T^2}$$

$$\frac{\Omega}{mg} = \frac{4\pi^2 a \sin \theta}{g T^2} = \tan \theta ; \text{ stąd}$$

$$T^2 = 4\pi^2 \frac{a}{g} \cos \theta$$

$$T = 2\pi \sqrt{\frac{a}{g} \cos \theta}$$

Również można bez odwoływania się do metody Lagrange'a iść sposobem fizycznym do równań ruchu. Powiadać mianowicie:



Na punkt materialny wahadła działa nie tylko siła ciężkości, lecz też napięcie nitki N .

Jeżeli te obie siły wprowadzimy, to punkt można uważać za swobodny i stosować równania

Newtona. Napięcie nitki N rozkładamy w kierunkach osi xyz .

Mamy zatem:

$$m \frac{d^2 x}{dt^2} = N \frac{x}{a}$$

$$m \frac{d^2 y}{dt^2} = mg + N \frac{y}{a}$$

$$m \frac{d^2 z}{dt^2} = N \frac{z}{a}$$

Gdy te równania porównamy ze systemem równań na str. 106, widzimy, że $N = 2h$. Mamy tak określone fizyczne znaczenie czynnika Lagrange'owskiego h : ma on związek z napięciem nitki. Napięcie to nie jest z góry znane, bo zależy ono od ruchu, jaki będzie. Równujemy przeto h . Można doleć równania tak otrzymane całkować. Jeli wyżej wspomnieliśmy, że dostalibyśmy tu funkcje eliptyczne. Wrazie, gdybyśmy chcieli rachunek uprościć, ograniczylibyśmy się do wychyleń bardzo małych i tak dostalibyśmy wyrażenia, w których całkowania dałoby się przeprowadzić bez trudności. W te rzeczy jednak wchodzić nie będziemy i na tem zakończymy ruch punktu nieswobodnego i wogóle dynamikę punktu, a przytemy do systemu punktów.

System punktów.

System punktów tworzą punkty, które ulegają przemieszczeniu.

wo siłom zewnętrznym, częściowo wewnętrznym. Tem jest także ten wypadek objęty, gdzie pewne punkty spełniają warunki ruchu przez to, że zostają na pewnych powierzchniach lub krzywych, gdzie takie powierzchnie można zastąpić z dowolnem przybliżeniem przez cięta sztywne, złożone z punktów materialnych w niezmiennych odległościach (wskutek wewnętrznych sił międzyrobimowych). Definicja ta jest zatem bardzo ogólna i obejmuje także kowide maszyn. Można ją stosownie do potrzeby ograniczyć, zakładając np. że odległości wszystkich punktów systemu między sobą mają przostawać niezmiennione wskutek odpowiednich sił wewnętrznych dostajemy określenie cięta sztywnego, a zatem tej maszyny prostej (pręt sztywny, klin). My w tym rozdziale zajmować się będziemy systemem punktów w sensie ogólnym, gdzie siły pochodzą po części z zewnątrz, po części są to siły działające wewnątrz między punktami, ze z tych część może pochodzić od owych przymusowych warunków ruchu.

Każdy punkt materialny systemu można uważać za swobodny, gdy uwzględnimy wszystkie siły nań działające. Możemy tedy do kowidego stosować równania Newtona. Gdy oznaczymy przez X, Y, Z siły zewnętrzne i wewnętrzne bez sił przymusowych, przez ξ, η, ζ siły wewnętrzne przymusowe tj. działające między punktami o niezmiennych odległości, dostaniemy dla kowidego z punktów systemu równania następujące:

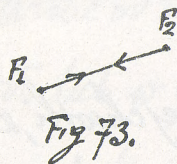
$$\begin{aligned} m_i \frac{d^2 x_i}{dt^2} &= X_i + \xi_i & S_{xx} \\ m_i \frac{d^2 y_i}{dt^2} &= Y_i + \eta_i & S_{yx} \\ m_i \frac{d^2 z_i}{dt^2} &= Z_i + \zeta_i & S_{zx} \end{aligned}$$

($k = 1, 2, \dots, n$) Gdy te równania pomnożymy odpowiednio przez $\delta x_k, \delta y_k, \delta z_k$ dodamy i uporządkujemy według $\delta x_k, \delta y_k, \delta z_k$ będzie:

$$\sum_k \left[\left(X_k - m_k \frac{dx_k}{dt^2} \right) \delta x_k + \left(Y_k - m_k \frac{dy_k}{dt^2} \right) \delta y_k + \left(Z_k - m_k \frac{dz_k}{dt^2} \right) \delta z_k \right] =$$

$$= - \sum_k (\xi_k \delta x_k + \eta_k \delta y_k + \zeta_k \delta z_k).$$

Prawa strona tego równania przedstawia pracę wykonaną przez siły wewnętrzne, przymusowe. Te siły działają tak, że odległości pewnych punktów zostają niezmienione. Weźmy pod uwagę dwa takie punkty np: 1 i 2. Według zasady dynamiki [str 45. 1]) siły tych punktów działają w kierunku łączącym. Praca wykonana przy przesunięciu tych punktów przez te siły będzie:



$$\xi_1 \delta x_1 + \eta_1 \delta y_1 + \zeta_1 \delta z_1 + \xi_2 \delta x_2 + \eta_2 \delta y_2 + \zeta_2 \delta z_2$$

przyczem:

$$\xi_1 = F_2 \frac{x_2 - x_1}{r_{12}}$$

$$\xi_2 = -F_1 \frac{x_2 - x_1}{r_{12}}$$

$$\eta_1 = F_2 \frac{y_2 - y_1}{r_{12}}$$

$$\eta_2 = -F_1 \frac{y_2 - y_1}{r_{12}}$$

$$\zeta_1 = F_2 \frac{z_2 - z_1}{r_{12}}$$

$$\zeta_2 = -F_1 \frac{z_2 - z_1}{r_{12}}$$

gdzie r_{12} oznacza odległość punktów 1 i 2. Restawiając te wyrażenia w wyrażeniu pracy, otrzymujemy jej wartość:

$$\frac{F_1}{r_{12}} \{ (x_2 - x_1)(\delta x_1 - \delta x_2) + (y_2 - y_1)(\delta y_1 - \delta y_2) + (z_2 - z_1)(\delta z_1 - \delta z_2) \}.$$

Leż wobec całości: $r_{12}^2 = (x_2 - x_1)^2 + (y_2 - y_1)^2 + (z_2 - z_1)^2 = \text{const}$

$$d(r_{12}^2) = 2(x_2 - x_1)(\delta x_1 - \delta x_2) + 2(y_2 - y_1)(\delta y_1 - \delta y_2) + 2(z_2 - z_1)(\delta z_1 - \delta z_2) = 0$$

Zatem ta praca owa jest równa zero. Ze zaś to się stosuje do każdej pary punktów systemu, zatem cała prawa strona powyższej równości przedstawiająca pracę wykonaną przez siły, przymusowe jest równa zero. Równanie się zatem upraszcza:

$$\sum_k \left[(X_k - m_k \frac{d^2 x_k}{dt^2}) \delta x_k + (Y_k - m_k \frac{d^2 y_k}{dt^2}) \delta y_k + (Z_k - m_k \frac{d^2 z_k}{dt^2}) \delta z_k \right] = 0$$

Jest ono zatem warian pod założeniem, że $\delta x_k, \delta y_k, \delta z_k$ są składowe przesunięcia przygotowanego tj. zgodnego z warunkiem przymusowym. X_k, Y_k, Z_k są to siły całkowite z wyłączeniem sił, przymusowych. Siły reprezentujących nam warunki przymusowe a więc f_x, f_y, f_z w tem równaniu nie ma, bo wpływ ich jest identycznie zero.

Z tego równania ruchu dostajemy w jednej chwili, zaktualizując: $\frac{d^2 x_k}{dt^2} = \frac{d^2 y_k}{dt^2} = \frac{d^2 z_k}{dt^2} = 0$: warunek równowagi:

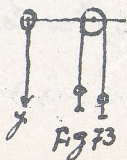
$$\sum_k (X_k \delta x_k + Y_k \delta y_k + Z_k \delta z_k) = 0$$

Tj. praca przygotowana jest równa zero (Hosowalność np. klin, blok, śruba). Wzrostu wektorowym zapiszemy wyrażenie pierosze w formie:

$$\sum_k (f_k - m_k \frac{d^2 r_k}{dt^2}) \delta r_k = 0$$

Drugie $\sum_k f_k \delta r_k = 0$.

Zastosowanie: Ruch po spadkowemu Atwooda: Ruch nastąpi przez na-



łożenie na szalki różnych mas m_1 i m_2 . Masy kota i kierunku pomijamy. Siły działające są: $Y_1 = m_1 g, Y_2 = m_2 g$,

$$X_1 = X_2 = Z_1 = Z_2 = 0.$$

Stąd:

$$(Y_1 - m_1 \frac{dy_1}{dt^2}) \delta y_1 + (Y_2 - m_2 \frac{dy_2}{dt^2}) \delta y_2 = 0$$

gdzie $\delta y_1, \delta y_2$ są przesunięciami przygotowanymi. Zakładamy, że sznurek nierozciągliwy: $y_1 + y_2 = \text{const}$; stąd: $\delta y_1 = -\delta y_2$ oraz

$$\frac{d^2 y_1}{dt^2} = -\frac{d^2 y_2}{dt^2}. \text{ Stąd:}$$

$$m_1(g - \frac{d^2 y_1}{dt^2}) - m_2(g + \frac{d^2 y_1}{dt^2}) = 0$$

Zatem zostajemy następujące równanie różniczkowe ruchu:

$$\frac{d^2 y_1}{dt^2} = \frac{m_2 - m_1}{m_1 + m_2} g$$

Zależnie od wielkości m_1 i m_2 przyspieszenie będzie skierowane w dół lub w górę. Widzimy, że ruch będzie jednostajnie przyspieszony, ale inny niż gdyby każde z ciąż m_1 i m_2 niezależnie się poruszało.

2. Ruch wahadła atomowego. Pręt obciążony masami m_1 i m_2 idealizujemy matematycznie przez założenie, że masę pręta można pominąć. Siły działające będą: $X_1 = Z_1 = 0, X_2 = Z_2 = 0$

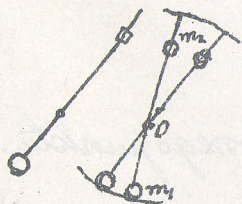


Fig 77.

$$Y_1 = m_1 g \quad Y_2 = m_2 g$$

Ruch masy m_1 odbywa się po kole o promieniu a_1 , masy m_2 po kole o promieniu a_2 około O . Pręt sztywny. Jeśli pręt zmieni położenie, przesunięcia podobne tylko do przeciętych kierunków

kach. Stąd :

$$\delta x_1 : \delta x_2 = -a_1 : a_2$$

$$\delta y_1 : \delta y_2 = -a_1 : a_2$$

$$\delta x_2 = -\delta x_1 \frac{a_2}{a_1}$$

$$\delta y_2 = -\delta y_1 \frac{a_2}{a_1}$$

$$\frac{d^2 x_2}{dt^2} = -\frac{d^2 x_1}{dt^2} \frac{a_2}{a_1}$$

$$\frac{d^2 y_2}{dt^2} = -\frac{d^2 y_1}{dt^2} \frac{a_2}{a_1}$$

Uwzględniając, że m, porusza się po obwodzie koła, mamy:

$$x_1^2 + y_1^2 = a_1^2.$$

Powrotując się na wyrażenie naszej ogólnej masy:

$$(0 - m_1 \frac{d^2 x_1}{dt^2}) \delta x_1 - (0 + m_2 \frac{d^2 x_1}{dt^2} \frac{a_2}{a_1}) \delta x_1 \frac{a_2}{a_1} +$$

$$(m_1 g - m_1 \frac{d^2 y_1}{dt^2}) \delta y_1 - (m_2 g + m_2 \frac{d^2 y_1}{dt^2} \frac{a_2}{a_1}) \delta y_1 \frac{a_2}{a_1} = 0 \quad \text{czyli równanie}$$

równowagowe punktu będzie:

$$-\delta x_1 \frac{d^2 x_1}{dt^2} \left\{ 1 + \frac{m_2}{m_1} \left(\frac{a_2}{a_1} \right)^2 + \right. \\ \left. + \delta y_1 \left\{ g \left(1 - \frac{a_2 m_2}{a_1 m_1} \right) - \left(1 - \left(\frac{a_2}{a_1} \right)^2 \frac{m_2}{m_1} \right) \frac{d^2 y_1}{dt^2} \right\} \right\} = 0$$

Tu określony jest ruch przez zmienne x_1, y_1 pierwszego punktu.

Trzeba by tu jeszcze uwzględnić równanie koła, po którym się ruch odbywa, albo wprowadzić odpowiednie biegunowe, co by było najwygodniej. Rezultat końcowy dostać jednak można o wiele prościej powracając się na zasadę zachowania energii. Dlatego

rachunku nie kończymy tutaj, bo wrócimy do tego zadania później. Tu mieliśmy tylko na celu skazać metodę.

Dla systemu punktów mamy trzy ogólne zasady: zachowania energii, ruchu środka masy, momentów wycinkowych. Do ich wyprowadzenia przystępujemy:

Zasada zachowania energii mechanicznej. Inaczej przez X_i, Y_i, Z_i składowe sił zewnętrznych i wewnętrznych działających między punktami (gravitacja, nitka), mamy:

$$m_1 \frac{d^2 x_1}{dt^2} = X_1 \quad dx_1$$

$$m_2 \frac{d^2 x_2}{dt^2} = X_2 \quad dx_2$$

$$m_1 \frac{d^2 y_1}{dt^2} = Y_1 \quad dy_1$$

$$m_2 \frac{d^2 y_2}{dt^2} = Y_2 \quad dy_2$$

$$m_1 \frac{d^2 z_1}{dt^2} = Z_1 \quad dz_1$$

$$m_2 \frac{d^2 z_2}{dt^2} = Z_2 \quad dz_2$$

Mnożąc te równania odpowiednio przez dx_i, dy_i, dz_i ($i=1, 2, \dots, n$), dodając je i porządkując, dostajemy:

$$m_1 \left(\frac{d^2 x_1}{dt^2} dx_1 + \frac{d^2 y_1}{dt^2} dy_1 + \frac{d^2 z_1}{dt^2} dz_1 \right) + m_2 (\dots) + \dots =$$

$$= (X_1 dx_1 + Y_1 dy_1 + Z_1 dz_1) + (X_2 dx_2 + \dots) + \dots$$

Teraz możemy całkować. Po lewej stronie dostajemy energię kinetyczną, po prawej pracę. Całkując w granicach od pozycji początkowej p do końcowej k , i zauważając, że:

$$\frac{m_i}{2} \left[\left(\frac{dx_i}{dt} \right)^2 + \left(\frac{dy_i}{dt} \right)^2 + \left(\frac{dz_i}{dt} \right)^2 \right] = m_i \frac{V_i^2}{2} \quad (i=1, 2, \dots, n).$$

napiżemy:

$$m_1 \frac{V_1^2}{2} + m_2 \frac{V_2^2}{2} + \dots \Big|_p^k = \int_p^k [X_1 dx_1 + Y_1 dy_1 + Z_1 dz_1] + [X_2 dx_2 + \dots] + \dots$$

$X_i dx_i, Y_i dy_i, Z_i dz_i$ to pracy elementarne. Z nich \int_p^k to praca całkowita. Krótko więc rezultat ostatni pisząc, mamy:

$$L_k - L_p = P_p^k.$$

W przyrodzie zdarza się, że siły działające są potencjalne, tzn. że możemy je wyrazić jako ujemną pochodną cząstkową pewnej funkcji argumentów pozycji:

$$X_1 = -\frac{\partial U}{\partial x_1}, \quad X_2 = -\frac{\partial U}{\partial x_2}, \quad \dots$$

$$Y_1 = -\frac{\partial U}{\partial y_1}, \quad Y_2 = -\frac{\partial U}{\partial y_2}, \quad \dots$$

$$Z_1 = -\frac{\partial U}{\partial z_1}, \quad Z_2 = -\frac{\partial U}{\partial z_2}, \quad \dots$$

gdzie $U = f(x_1, x_2, \dots, y_1, y_2, \dots, z_1, z_2, \dots)$.

Jeśli tak się rzecz ma, to prawa strona powyższej równości

napi'sze się:

$$P_k = - \int \left[\frac{\partial U}{\partial x_1} dx_1 + \frac{\partial U}{\partial y_1} dy_1 + \frac{\partial U}{\partial z_1} dz_1 + \left[\frac{\partial U}{\partial x_2} dx_2 + \dots \right] \right]$$

gdzie nawias { } przedstawia całkowitą różniczkę funkcji U . Zatem

$$L_k - L_p = -U_k + U_p \quad \text{czyli}$$

$$L_k + U_k = L_p + U_p = \text{Const.}$$

tj. suma energii kinetycznej i potencyalnej dla systemu punktów w każdej chwili jest stała. Jeśli siły nie są potencyalne tj. nie ma funkcji U o wspomnianych własnościach, zasada ta nie jest prawdziwa. Warunki konieczne aby dany system sił przedstawiał siły potencyalne, jest jak to z definicji tych sił wynika, by zachodziło $\frac{3n(3n-1)}{2}$ równości postatki:

$$\frac{\partial X_i}{\partial x_k} = \frac{\partial X_k}{\partial x_i}, \quad \frac{\partial Y_i}{\partial y_k} = \frac{\partial Y_k}{\partial y_i}, \quad \frac{\partial Z_i}{\partial z_k} = \frac{\partial Z_k}{\partial z_i} \quad i \neq k$$

$$\frac{\partial X_i}{\partial y_k} = \frac{\partial Y_k}{\partial x_i}, \quad \frac{\partial X_i}{\partial z_k} = \frac{\partial Z_k}{\partial x_i}, \quad \frac{\partial Y_i}{\partial z_k} = \frac{\partial Z_k}{\partial y_i} \quad i \neq k$$

Siły potencyalne nazywamy z powodu zachodzenia dla nich zasady zachowania energii mechanicznej zachowawczymi.

Przykład: $U = \frac{m_1 m_2}{r_{12}} + \frac{m_2 m_3}{r_{23}} + \frac{m_1 m_3}{r_{13}}$

gdzie r_{12}, r_{13}, r_{23} oznaczają odległości mas: $r_{12} = \sqrt{(x_1 - x_2)^2 + (y_1 - y_2)^2 + (z_1 - z_2)^2}$.

$$\frac{\partial U}{\partial x_1} = - \frac{m_1 m_2}{r_{12}^2} \cdot \frac{x_1 - x_2}{r_{12}} - \frac{m_1 m_3}{r_{13}^2} \cdot \frac{x_1 - x_3}{r_{13}} = X_1$$

Analogiczne wzory będą na $X_2, X_3, Y_1, Y_2, \dots$, gdzie $\frac{x_1 - x_2}{r_{12}} = \cos \alpha_{12}$, $\frac{x_1 - x_3}{r_{13}} = \cos \alpha_{13}, \dots$. Będą to zatem siły w oddziaływanach grawitacyjnych; w liczniku bowiem jest iloczyn mas, w mianowniku kwadrat odległości.

Ruch środka masy. Środkiem masy nazywamy punkt, określony przez współrzędne:

$$\xi = \frac{\sum m_k x_k}{\sum m_k}$$

$$\eta = \frac{\sum m_k y_k}{\sum m_k}$$

$$\zeta = \frac{\sum m_k z_k}{\sum m_k}$$

W symbolice wektorowej możemy tę definicję napisać tak:

$$\textcircled{r} = i\xi + j\eta + k\zeta$$

lub wstawiając wartości:

$$\textcircled{r} = \frac{\sum m_k (ix_k + jy_k + kz_k)}{\sum m_k} = \frac{\sum m_k \textcircled{r}_k}{\sum m_k}$$

Jeżeli uwzględnimy wszystkie siły działające na którykolwiek punkt systemu, możemy dlań stosować równanie

ruchu swobodnego:

$$m_k \frac{d^2 r_k}{dt^2} = f_k$$

Równań tych będzie tyle, ile punktów systemu. Sumując je mamy:

$$\sum m_k \frac{d^2 r_k}{dt^2} = \sum f_k$$

Wobec tego, że masy z czasem są niezmiennicze (rezultat to eksperymentalny), możemy równość powyższą napisać też:

$$\frac{d^2}{dt^2} \sum m_k r_k = \sum f_k$$

czyli według definicji środka masy:

$$\frac{d^2}{dt^2} \left[\textcircled{r} \sum m_k \right] = \sum f_k.$$

Łub znając dla krótkości: $\sum m_k = M$, $\sum f_k = \textcircled{0}$, mamy pożądaną równość:

$$M \frac{d^2 \textcircled{r}}{dt^2} = \textcircled{0},$$

oznaczając, że przyspieszenie środka masy jest takie, jakby tam wszystkie masy były skoncentrowane i jakby nań działała suma wszystkich sił.

Nadci tu bezpośrednio, że siły wewnętrzne nie wpływają wcale na ruch środka masy, bo tworzą one działanie i oddziaływanie. Znoszą się tedy wzajemnie. O ile zatem na system działają tylko siły zewnętrzne, to przyspiesze-

nie środka masy $= 0$. Łatem środek masy poddziałaniem li tylko sił wewnętrznych porusza się z prędkością jednostajną. Jest to ważne przybliżenie dla naszego systemu planetarnego. Na tem polega cofanie się armaty w czasie strzału, funkcjonowanie Braunnenga, mitralerzy Maxima, wiostowanie itd. Na porót ruch łodzi polega na popychaniu, w istocie na zasadzie środka masy. Wiosłując nadajemy wodzie pewną prędkość, łódź otrzymuje ją w kierunku przeciwnym. O warinności środka masy przekonac się można przy wykakiwaniu z łodzi. Bardzo wiele zjawisk na tem polega. Podskoczenie np. w górę związane jest z odprężeniem ziemi na obł.

Zasada zachowania pól lub ściślej zasada zachowania momentów wycinkowych. Z temsamem co przy każdym z obu poprzednich zasad założeniem możemy napisać:

$$m_k \frac{d^2 r_k}{dt^2} = f_k$$

Przypominając sobie własności iloczynu wektorowego, możemy napisać:

$$m_k \left[r_k \frac{d^2 r_k}{dt^2} \right] = [r_k f_k]$$

Lewą stronę tej równości możemy inaczej napisać. Za-

uważamy mianowicie, że

$$\frac{d}{dt} \left[r_k \frac{dr_k}{dt} \right] = \underbrace{\left[\frac{dr_k}{dt} \frac{dr_k}{dt} \right]}_0 + \left[r_k \frac{d^2 r_k}{dt^2} \right]$$

stąd powyższą równość napisać się:

$$m_k \frac{d}{dt} \left[r_k \frac{dr_k}{dt} \right] = [r_k f_k]$$

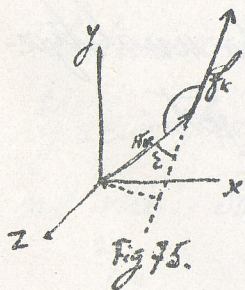
Rozciągając tę równość ważną dla każdego punktu, na system cały razem, dostajemy wyrażenie porządane:

$$\frac{d}{dt} \sum_k m_k \left[r_k \frac{dr_k}{dt} \right] = \sum_k [r_k f_k] = \mathcal{M}$$

Rozważmy jego znaczenie fizyczne. Jest to przede wszystkim wektor, więc wielkość kierunkowa. Wsumie środkowej jest $[r_k f_k]$. Wartość bezwzględna tego iloczynu jest $r_k F_k \sin(\widehat{r_k F_k})$.

$$\sin(\widehat{r_k F_k}) = \sin \varepsilon$$

$F_k \cdot r_k \sin \varepsilon$ jest to iloczyn z siły i jej ramienia. Jest to zatem moment siły. Kierunek tego momentu jest prostopadły do płaszczyzny r_k, f_k ze strzałką skierowaną według umów



str 14. $\sum [r_k f_k]$ jest momentem wypadkowym i oznaczamy dlatego \mathcal{M} . Wsumie lewej $\frac{dr_k}{dt}$ oznacza prędkość. Zatem $\left[r_k \frac{dr_k}{dt} \right] = [r_k v_k]$. Bezwzględna wartość

tego iloczynu przedstawia pole podwójne trójkąta którego

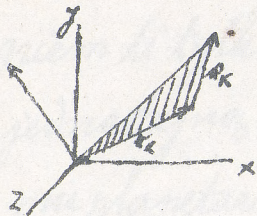


Fig 76.

bokami są x_k i y_k . Zatem $[r_k \frac{dr_k}{dt}]$ oznacza prędkość wycinkową w sensie wektorowym. Jaki przedtem przychodziło nam prędkość wycinkowa, ale chodziło nam, tam

tylko o wielkość pola, tu uwzględniamy jeszcze kierunek według umów. $m_k [r_k \frac{dr_k}{dt}]$ nazywamy momentem wycinkowym. $\sum m_k [r_k \frac{dr_k}{dt}]$ to wypadkowy moment wycinkowy. Do tych rozważań znaczenie powyższego wyrażenia wypowiemy tak: Pochodna czasowa wypadkowego momentu wycinkowego jest równa wypadkowemu momentowi sił.

Z wyrażen' wektorowych możemy przejść do analitycznych przez proste rozpisanie. Według str 17. jest:

$$[r_k \frac{dr_k}{dt}] = \begin{vmatrix} i & j & k \\ x_k & y_k & z_k \\ \frac{dx_k}{dt} & \frac{dy_k}{dt} & \frac{dz_k}{dt} \end{vmatrix}, \quad [r_k f_k] = \begin{vmatrix} i & j & k \\ x_k & y_k & z_k \\ X_k & Y_k & Z_k \end{vmatrix}$$

Stąd wyrażenie wypowiedzianej dopiero co zasady rozpadnie się na trzy wyrażenia:

$$\frac{d}{dt} \sum m_k (y_k \frac{dz_k}{dt} - z_k \frac{dy_k}{dt}) = \sum (y_k Z_k - z_k Y_k)$$

$$\frac{d}{dt} \sum m_k (z_k \frac{dx_k}{dt} - x_k \frac{dz_k}{dt}) = \sum (z_k X_k - x_k Z_k)$$

$$\frac{d}{dt} \sum m_k (x_k \frac{dy_k}{dt} - y_k \frac{dx_k}{dt}) = \sum (x_k Y_k - y_k X_k)$$

Do wzorów tych dochodzi się bezpośrednio wychodząc pod
znanemi założeniami z równań:

$$m_k \frac{d^2 x_k}{dt^2} = X_k$$

$$m_k \frac{d^2 y_k}{dt^2} = Y_k$$

$$\therefore z_k$$

$$m_k \frac{d^2 z_k}{dt^2} = Z_k$$

$$\therefore y_k$$

Mnożąc np. odpowiednie przez. $-z_k$, y_k drugie i trzecie
równanie systemu, i sumując dostajemy:

$$\sum m_k (\frac{d^2 x_k}{dt^2} y_k - \frac{d^2 y_k}{dt^2} z_k) = \sum (Z_k y_k - Y_k z_k)$$

identyczne z pierwowzorem z poprzednich wyrażeń. Analogo-
nie dostaniemy następujące.

Łatwo z wyrażenia wektorowego dowieść że jedynie si-
ły zewnętrzne wpływają na moment wycinkowy, wewnętrz-
ne nie. Siły punktów 1 i 2 działają w kierunku przeciwnym:

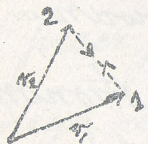


Fig. 77.

$$f_1 = -f_2$$

Uważajmy sumę ich momentów:

$$[r_1 f_1] + [r_2 f_2]$$

$r_2 = r_1 + x f_1$ jak to wynika z trójkąta. Stąd:

$$[r_1 f_1] + [r_2 f_2] = [r_2 f_1] - [r_1 f_1] - x [f_1 f_1] = 0 \quad \text{c. b. d. o. Stąd}$$

wypadkowy moment zostaje niezmienny pod względem wielkości i kierunku, jeśli tylko działają siły wewnętrzne.

Przykład na to daje następujące doświadczenie. Na sznurku

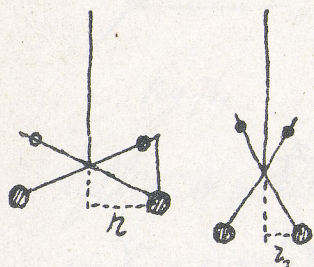


Fig 78.

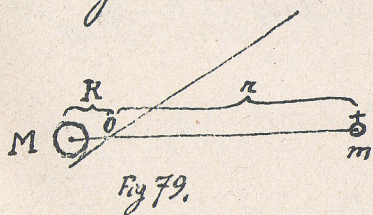
kręży się prętki obciążone masami. Prętki te na końcach otęśnione są innym sznurkiem, który w razie ruchu przecina my lub przepalamy. Skutkiem tego prętki się składają, ale całość szybciej wiruje.

Im szybsze wirowanie tłumaczy się tem, że w systemie o siłach tylko wewnętrznych moment wypadkowy ma zostać niezmienny. Moment wypadkowy, gdy jeszcze prętki są rozłożone jest: $r_1 \frac{d\omega}{dt} m$, gdy złożone $r_2 \frac{d\omega_1}{dt} m$. Wobec równości tych dwu wielkości a nierówności promieni $r_1 > r_2$, musi zachodzić nierówność prędkości kątowej: $\frac{d\omega}{dt} < \frac{d\omega_1}{dt}$. Prędkość wzrośnie w stosunku kwadratowym. Stądż, momentu wypadkowego tłumoczący też niezmienną, szybkość obrotu ziemi. O zachowaniu niezmienną szybkości obrotu świadczą rachunki astronomiczne, według których zgadzają się np. zaćmienia Słońca z obserwacjami bardzo odległymi. O ile atoli zachodziłby jakiś dywergencyj, to jeszcze trudno orzec czy powoduje ją zmiana długości dnia czy też zmiana prędkości ruchu ziemi koło

Słońca czy też jointly i drugie razem. Kiermieweć długości dnia jest jeszcze kwestyą otwartą, bo niektórzy twierdzą, iż długość dnia uległa zmianie. Jest teoria, iż ziemia kurczy się. Sta-
wisko nu zawiera zachowania momentów wycinkowych, po-
winna się szybciej obracać. Z drugiej jednak strony hamu-
je ten obrót księżyc wskutek przyptywu i odpływu morza.
Nie wiadomo jednak w jakim stosunku te dwa wpływy pozost-
ają do siebie.

Wyłożone uprzednio trzy ogólne twierdzenia: o zachowa-
niu energii mechanicznej, zachowaniu ruchu środka
masy i o zachowaniu momentów wycinkowych ułatwiają
nam rozwiązywanie zagadnień. Gdy jest dana np. jedna
tylko swoboda ruchu, to wystarczy do rozwiązania zagadnie-
nia zasada zachowania energii.

Jako przykład rozważmy ruch planet przyciąganych
nie przez jakiś punkt niezmienny lecz słońce, które samo
podlega ruchowi. Siły środkowe nie wpływają, jak wiemy, na
ruch środka masy tak, że on zostaje
w spoczynku lub porusza się z prędkością
jednostajną. Jeśli się środek masy po-
rusza to możemy przyjąć, że układ odniesienia porusza się



w tym samym kierunku z tą samą prędkością, tzn. $\dot{x}_1 = \dot{x}_2$.
 Jeżeli dwa ciała, będącymi mogły uwarzać środek masy za
 nieruchomym względem na stałe ułożenie odniesienia. Ośrodek
 ten jest punktem ciężkości. Jeżeli my też pod uwagę w szczegól-
 ności tylko siłowe o masie M , a oddaleniu od środka masy R
 i ziemię o masie m , a oddaleniu od środka masy r . Z definicji
 środka masy wynika, że:

$$R \cdot r = m \cdot M$$

Jeżeli punkty M i m znajdują się na prostej, wy-
 kład prostej można obrać, powołując się na uogólnioną definicję
 środka masy, że os. sp. x i y . Prostele współrzędne $y = z = 0$ kład.

Stąd: $\xi = \frac{Mx_1 + mx_2}{M+m}$ $\eta = \zeta = 0$ Zatem środek masy musi
 znajdować się na bierzącej obu punktów. Wkładając więc $\xi = 0$, $x_1 = -R$, $x_2 = r$,
 możemy powyższą proporcję. Tak wykorzystaliśmy zasadę
 zachowania ruchu środka masy. Teraz wrócimy do
 zasady trzeciej o zachowaniu momentów wyinkowych:

Moment wyinkowy ziemi jest $m r^2 \frac{d\phi}{dt}$, środka $M R^2 \frac{d\phi}{dt}$ jest

zatem:

$$m r^2 \frac{d\phi}{dt} + M R^2 \frac{d\phi}{dt} = \text{const} = C$$

$$r^2 \frac{d\phi}{dt} \left(m + \frac{MR^2}{r^2} \right) = C$$

Wobec: $R^2 \cdot r^2 = m \cdot M$ jest $r^2 \frac{d\phi}{dt} \left(m + \frac{M \cdot m}{M} \right) = C$

czyli

$$r^2 \frac{dp}{dt} = \frac{CM}{m(m+1)} = \alpha \quad (\text{stałe})$$

tj. prędkość wycinkowa ziemi jest wielkością stałą. Powtarzając to samo dla R doszlibyśmy do wniosku, że również prędkość wycinkowa Słońca jest stała.

Zwróćmy się jeszcze do twierdzenia pierwszego o zachowaniu energii mechanicznej. Energia kinetyczna ziemi jest $\frac{m}{2} \left[\left(\frac{dr}{dt} \right)^2 + r^2 \left(\frac{dp}{dt} \right)^2 \right]$, Słońca $\frac{M}{2} \left[\left(\frac{dR}{dt} \right)^2 + R^2 \left(\frac{dP}{dt} \right)^2 \right]$. Siła przyciągania według Newtona: $-\frac{\kappa mM}{(r+R)^2}$. Potencjał zatem $U = -\frac{\kappa mM}{r+R}$. Zatem zasada zachowania energii napiszemy:

$$\frac{m}{2} \left[\left(\frac{dr}{dt} \right)^2 + r^2 \left(\frac{dp}{dt} \right)^2 \right] + \frac{M}{2} \left[\left(\frac{dR}{dt} \right)^2 + R^2 \left(\frac{dP}{dt} \right)^2 \right] - \frac{\kappa mM}{r+R} = \text{Const}$$

czyli

$$\frac{m}{2} \left(\frac{dr}{dt} \right)^2 \left[1 + \frac{m}{M} \right] + \frac{m}{2} r^2 \left(\frac{dp}{dt} \right)^2 \left[1 + \frac{m}{M} \right] - \frac{mM\kappa}{r(1+\frac{m}{M})} = \text{Const}$$

Stąd:
$$\left(\frac{dr}{dt} \right)^2 + r^2 \left(\frac{dp}{dt} \right)^2 - \frac{2M\kappa}{r(1+\frac{m}{M})} = \text{Const}$$

Wprowadzając skrócenia na wielkości stałe:

$$\frac{2M\kappa}{(1+\frac{m}{M})} = \beta \quad \text{Const} = \frac{E+U}{\frac{m}{2}(1+\frac{m}{M})} = \gamma \quad \text{i przypomni}$$

najbardziej, że $r^2 \frac{dp}{dt} = \alpha$, skutkiem czego: $\frac{dr}{dt} = \left(\frac{dr}{dt} \cdot \frac{1}{r^2} \right) = \left(\frac{dr}{dt} \cdot \frac{\alpha}{r^2} \right)$, możemy napisać:

$$\left(\frac{dr}{dt} \right)^2 \frac{\alpha^2}{r^4} + \frac{\alpha^2}{r^2} - \frac{\beta}{2} = \gamma \quad \text{Stąd zaś}$$

$$\int \frac{\alpha dz}{z^2 \sqrt{\gamma + \frac{\beta}{2} - \frac{\alpha^2}{z^2}}} = \int d\varphi \quad \text{czyli}$$

$$\int \frac{dz}{z^2 \sqrt{\frac{\beta}{2} + \frac{\beta^2}{4\alpha^2} - \left(\frac{\beta}{2\alpha^2} - \frac{1}{z}\right)^2}} = \int d\varphi$$

Wprowadzając skrótienia $\frac{\beta}{\alpha^2} + \frac{\beta^2}{4\alpha^4} = A^2$, $\frac{\beta}{2\alpha^2} - \frac{1}{z} = u$,
mamy $\frac{dz}{z^2} = du$ oraz całka po lewej stronie przybiera kształt:

$$\int \frac{du}{\sqrt{A^2 - u^2}} = \varphi + \text{Const}$$

$$\int \frac{d\left(\frac{1}{z}\right)}{\sqrt{1 - \left(\frac{z}{A}\right)^2}} = -\arccos \frac{z}{A} = \varphi + \text{Const}$$

$$\frac{z}{A} = \cos(-\varphi + \text{Const})$$

Kładąc $\text{Const} = 0$, co przez dobór położenia z można zawsze
uskutecznić, mamy w dalszym ciągu:

$$z = A \cos \varphi = \frac{\beta}{2\alpha^2} - \frac{1}{z}$$

$$z = \frac{1}{\frac{\beta}{2\alpha^2} - A \cos \varphi} \quad \text{czyli}$$

$$z = \frac{\frac{2\alpha^2}{\beta}}{1 - \frac{2A\alpha^2}{\beta} \cos \varphi}$$

Kładąc $\frac{2\alpha^2}{\beta} = p$, $-\frac{2A\alpha^2}{\beta} = \varepsilon$ mamy równanie przecię-
cia stożkowego:

$$z = \frac{p}{1 + \varepsilon \cos \varphi}$$

Wiemy, że zależnie od tego, czy $\varepsilon \leq 1$, równanie to

przedstawia elipsę, parabolę lub hiperbolę. Zależnie więc od
tego ε ruch planety odbywać się będzie po jednej z tych
krzywych. Lecz

$$\varepsilon = -\frac{2A\alpha^2}{\beta} = \pm \frac{2\alpha^2}{\beta} \sqrt{\frac{\gamma}{\alpha^2} + \frac{\beta^2}{4\alpha^2}} \quad \text{Biorąc}$$

$$\text{znak + mamy: } \varepsilon = \frac{2\alpha}{\beta} \sqrt{\gamma + \frac{\beta^2}{4\alpha^2}} = \sqrt{\frac{4\alpha^2\gamma}{\beta^2} + 1}$$

$$\varepsilon \leq 1, \quad \text{gdy } \gamma \leq 0$$

Lecz $\gamma = \frac{E+U}{\frac{m}{2}(1+\frac{m}{M})}$. Zależnie więc, przy danych masach,

od wielkości energii ruch będzie się odbywał po elipsie, paraboli lub hiperboli. Zauważymy, że nie wchodzi tutaj w grę kierunek, w jakim się ruch odbywa. Zależy on tylko od energii kinetycznej w pewnej chwili; dalszy ruch zależy już od pewnego stosunku energii i mas. W szczególności dla Ziemi z obserwacji wiemy, że porusza się po elipsie...

Wyciągniemy jeszcze wnioski odnośnie do trzeciego prawa Keplera. Zapytamy się, ile wynosi $\frac{T^2}{a^3}$? Jeśli droga odbywa się po elipsie, której powierzchnia jest $ab\pi$, a średnica wycinkowa wynosi $\frac{\alpha}{2}$, to czas obiegu $T = \frac{ab\pi}{\frac{\alpha}{2}} = \frac{2ab\pi}{\alpha}$. Zatem: $\frac{T^2}{a^3} = \frac{4a^2b^2\pi^2}{a^2a^3} = \frac{4\pi^2}{a^2} \cdot \frac{b^2}{a} = \frac{4\pi^2}{a^2} \rho =$

$$= \frac{4\pi^2}{a^2} \cdot \frac{2\alpha^2}{\beta} = \frac{8\pi^2}{2M_K} \left(1 + \frac{m}{M}\right)^{-2} = \frac{4\pi^2}{M_K} \left(1 + \frac{m}{M}\right)^{-2} = k. \quad \text{Gdy bierzemy}$$

my brać pod uwagę różne planety, o różnych masach m , to i będzie stałe tj. prawo Keplera będzie ściśle warne o tyle, o ile stosunek $\frac{m}{M}$ jest wielkością znikomą małą. Dla wielkich planet naszego systemu: Jowisza (1000 masy Słońca), Saturna, Neptuna są oczywiście znowe odstępstwa. Gdybyśmy jednak wyobrażili sobie system planetarny taki, iż masy m wszystkich planet są równe, albo też znikomą małą w porównaniu do masy Słońca, to dla takiego systemu będzie prawo Keplera byłoby ściśle warne.

Ciała Sztuczne.

Rozważania kinetyczne. Rozpatrzmy najprzód ruch ciała sztucznego pod względem czysto geometrycznym. Pozycja bryły jest określona przez pozycję trzech jej punktów, bo każdy inny punkt jej ma już z powodu stałych odległości położenie określone względem tych trzech. Ciało sztuczne można z pozycji I przeprowadzić do dowolnej pozycji II zawsze zapomocą dwóch procesów: 1° wykonywujemy przesunięcie posuwiste (trans-



Fig 80.

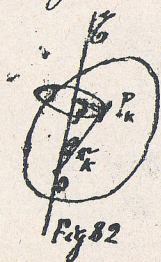
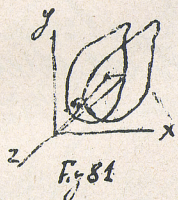
(historyczne) tak by np. punkt A przeszedł w położenie A',
2° skrecaamy to ciało tak, by punkt B przeszedł w B',
zaś C w C'. Jeśli zmiany te są skończone, to ruchy nasze
są zawiłe. Jeśli jednak przesunięcia są nieskończone
małe, sprawa upraszcza się. Ograniczamy się zatem do
rozpatrywania tych ostatnich.

Gdy ciało wykona przesunięcie posuwiste, nieskończenie
małe, to wszystkie jego punkty doznają, prze-
sunieć równoległych i równo-wielkich. Jeśli
więc porzucy punktu poszczególnego okręśło
na jest wektorem r_k , to zmiana tego wektora przy tem prze-
sunieciu oznaczy się dr_k . Że zaś zmiany wszystkich punkt.
tów są jednakowe, zatem:

$$dr_k = dr_0 \quad (\text{przesunięcie wspólne}).$$

i dr_0 można uważać jako przesunięcie początku układu.

Gdy ciało wykona nieskończenie mały obrót około
jakiejs' osi przechodzącej np. przez początek ukła-
du, to każdy punkt P_k poruszy się po
łuczku odpowiadającym kątowi nie-
skończone małemu φ prostopadle do



osi obrotu i promienia π_k . Wielkość bezwzględna tego przesunięcia jest: $r_k \sin \theta. \varphi$. Przedstawia to bezwzględną wielkość iloczynu wektorowego:

$$[d\gamma. \pi_k]$$

jeśli przez γ narysujemy kierunekosi, a $d\gamma$ wielkość obrotu, którą sobie na tej osi odcinamy. Również kierunek ruchu punktu zgadza się z kierunkiem iloczynu $[d\gamma. \pi_k]$. Zatem iloczyn ów wektorowy przedstawia powyższe przesunięcie punktu P_k przy obrocie ciała. Jest on dla różnych punktów różny.

Ogólne przesunięcie nieskończone maleńkiego punkta będzie sumą ^{geometryczną} ówch składowych: Narysujemy je:

$$(a) \quad d\pi_k = d\pi_0 + [d\gamma. \pi_k].$$

Z takiego przedstawienia rzeczy można wyciągnąć całą szereg wniosków. Widzimy np. szereg obrotów nieskończenie małych dać się przedstawić sumą. Wykreślmy sobie wektory odpowiednich obrotów. Można je geometrycznie dodawać:



Fig 83.

$$[d\gamma_1. \pi] + [d\gamma_2. \pi] = [(d\gamma_1 + d\gamma_2) \pi]$$

Powyższą własność zastosować można np. przy rozważaniu

obrotów nieskończenie małych koło osi układu prostokątnego x, y, z . Niech $\delta_x, \delta_y, \delta_z$ przedstawiają odpowiednio wielkości obrotów koło osi x, y, z , to rezultat

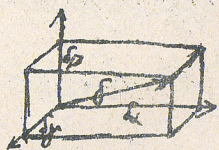


Fig. 84.

tych obrotów przedstawi nam wektor δ który jest przekątną prostopadłościanu

zbudowanego na wektorach składowych. Podobnie, oczywiście jak większą ilość obrotów możemy zastąpić przez jeden wypadkowy, tak też możemy obrót wypadkowy rozłożyć na składowe. Porządek składania dowolny; zatem prawo przemienności ważne. Jednym słowem obroty nieskończenie małe są takie same wielkości, jak prędkości, przyspieszenia, siły.

Przez podzielenie równości (a) przez dt przechodzimy do prędkości:

$$(b) \quad v_k = v_0 + [\dot{u}_0 \cdot r_k]$$

Jest prędkość, jaką ma punkt ciała sztywnego przy przesunięciu ogólnem nieskończenie małym składającym się z prędkości postępowej: v_0 i prędkości obrotowej: $[\dot{u}_0 \cdot r_k]$. Przyczem zauważymy, że wielkości opatrzone indeksem: 0 są wspólne wszystkim punktom ciała

natomiaś owe ośkoźniki: k są indywidualne.

Równania (a) i (b) wyrażone w formie wektorowej rozpadają się przy przejściu do form analitycznych przez rozpisanie według wektorów jednostkowych i, j, k każde na trzy; przyczem prawe strony każdego rozpadną się na sześć składników. Wszystkie te: sześć składników, określają ruch ciała sztywnego. Owiadcmy stąd, że ciało sztywne posiada sześć stopni swobody ruchu.

Możnaby się na ruch ciała sztywnego rozpatrywać z innego nieco punktu. Tak czyni np. Ball w swem dwutomowym dziele traktującym o teoryi śrub. Przez ruch śrubowy rozumie on ruch ciała sztywnego złożony z ruchu postępowego i obrotowego. Ruch ten jest uogólnieniem ruchu śruby normalnej; w tej ostatniej ruch postępowy występujący przy skręceniu odbywa się w kierunku osi obrotu; wypadek więc specjalny.

Równania ruchu ciała sztywnego. wobec tego, że ciało sztywne stanowi szerególny wypadek systemu punktów, dla którego równanie ruchu już wyprowadziliśmy (str 114), więc dla ciała sztywnego będzie ono również ważne; wysta-

czy tedy powprowadzić w równanie owo wyrażenia jakieśmy tu przyjęli. Równanie owo w formie analitycznej byto:

$$\sum_k (X_k - m_k \frac{dx_k}{dt^2}) \delta x_k + (Y_k - m_k \frac{dy_k}{dt^2}) \delta y_k + (Z_k - m_k \frac{dz_k}{dt^2}) \delta z_k = 0$$

$\delta x_k, \delta y_k, \delta z_k$ wyrażają przesunięcia przygotowane. Tutaj przesunięcia przygotowane wyrażone są przez δx_k , bo te oznaczają "drogę" warunkową ruchu ciała sztywnego. Trzeba je rozłożyć i wstawić: jest:

$$\delta x_k = i dx_k + j dy_k + k dz_k$$

$$\delta x_0 = i dx_0 + j dy_0 + k dz_0$$

$$d\gamma_0 = i d\alpha + j d\beta + k d\gamma$$

$$r_k = i x_k + j y_k + k z_k$$

$$\delta r_k = \delta r_0 + [d\gamma_0 r_k]$$

Zatem

$$i dx_k + j dy_k + k dz_k = i dx_0 + j dy_0 + k dz_0 + \begin{vmatrix} i & j & k \\ d\alpha & d\beta & d\gamma \\ x_k & y_k & z_k \end{vmatrix}, \text{ czyli}$$

$$\delta x_k = \delta x_0 + z_k \delta \beta - y_k \delta \gamma$$

$$\delta y_k = \delta y_0 + x_k \delta \gamma - z_k \delta \alpha$$

$$\delta z_k = \delta z_0 + y_k \delta \alpha - x_k \delta \beta,$$

przez co konuwarzymy, że przesunięcia dla dowolnego punktu

ciata indywidualne mają indeks: κ , zaś przesunięcia wspólne dla całego ciata indeksu tego nie mają. Teraz trzeba by te wyrażenia wstawić w napisane równanie ruchu. Sprawa przedstawia się jednak prościej, gdy użyjemy symboliki wektorowej. Wyjdziemy więc z równania ruchu (str 114).

$$\sum_{\kappa} \left(f_{\kappa} - m_{\kappa} \frac{d^2 r_{\kappa}}{dt^2} \right) \delta r_{\kappa} = 0$$

Wobec: $\delta r_{\kappa} = \delta r_0 + [\delta \zeta_0, r_{\kappa}]$, równanie to napiszemy:

$$\sum_{\kappa} \left(f_{\kappa} - m_{\kappa} \frac{d^2 r_{\kappa}}{dt^2} \right) \delta r_0 + \sum_{\kappa} \left(f_{\kappa} - m_{\kappa} \frac{d^2 r_{\kappa}}{dt^2} \right) [\delta \zeta_0, r_{\kappa}] = 0$$

Wskładniku pierwszym tego wyrażenia można δr_0 jako niezależne od sumowania względem κ wyjąć przed znak sumy.

Wskładniku drugim wobec oczywistej prawie własności iloczynu skalarnego: $(a, [b, c]) = (b, [a, c]) = (c, [b, a])$, i niezależności $\delta \zeta_0$ od zmiennej κ , można $\delta \zeta_0$ wyciągnąć przed znak sumy i całe wyrażenie napisać:

$$\delta r_0 \sum_{\kappa} \left(f_{\kappa} - m_{\kappa} \frac{d^2 r_{\kappa}}{dt^2} \right) + \delta \zeta_0 \sum_{\kappa} [r_{\kappa} \left(f_{\kappa} - m_{\kappa} \frac{d^2 r_{\kappa}}{dt^2} \right)] = 0$$

Teraz zaś wobec zupełnej dowolności czynników δr_0 i $\delta \zeta_0$, byle były one nieskończenie małe, powiemy: powyższe równanie może zachodzić tylko w tym razie, gdy z osobna każdą dodyjnik jest równy zero. Otrzymujemy stąd

dwa równania określające ruch ciała sztywnego:

$$\sum_k \mathbf{f}_k = \sum_k m_k \frac{d^2 \mathbf{r}_k}{dt^2}, \quad \sum_k [\mathbf{r}_k \mathbf{f}_k] = \sum_k m_k \left[\mathbf{r}_k \frac{d^2 \mathbf{r}_k}{dt^2} \right]$$

Skoro z tych dwu równań można zrobić w znany sposób noi trzy, przez co dojdziemy do wygwień analitycznych ruchu, co bezpośrednio byłobyśmy wyskaki wykonyjąc wspomniane podstawienia w analityczną formę d'Alemberta. str 137. Równania te będą:

$$\sum_k X_k = \sum_k m_k \frac{d^2 x_k}{dt^2}, \quad \sum_k (y_k Z_k - z_k Y_k) = \sum_k m_k (y_k \frac{d^2 z_k}{dt^2} - z_k \frac{d^2 y_k}{dt^2})$$

$$\sum_k Y_k = \sum_k m_k \frac{d^2 y_k}{dt^2}, \quad \sum_k (z_k X_k - x_k Z_k) = \sum_k m_k (z_k \frac{d^2 x_k}{dt^2} - x_k \frac{d^2 z_k}{dt^2})$$

$$\sum_k Z_k = \sum_k m_k \frac{d^2 z_k}{dt^2}, \quad \sum_k (x_k Y_k - y_k X_k) = \sum_k m_k (x_k \frac{d^2 y_k}{dt^2} - y_k \frac{d^2 x_k}{dt^2}).$$

Z owych równań ruchu można w jednej chwili dojść do warunków równowagi ciała sztywnego, zakładając, że wszystkie przyspieszenia są równe zeru. Tak dostaniemy w symbolice wektorowej jako warunki równowagi:

$$\sum_k \mathbf{f}_k = 0, \quad \sum_k [\mathbf{r}_k \mathbf{f}_k] = 0$$

te warunki równowagi ciała sztywnego są: 1° wypadkowa wszystkich sił działających na to ciało ma być równa zeru.

2° wypadkowy moment wszystkich sił działających musi być równy zero. (Określenie wypadkowego momentu s. 8 str 123).

Przy wzięciu równań analitycznych warunki te wyrażają się:

$$\sum_k X_k = 0, \quad \sum_k (y_k Z_k - z_k Y_k) = 0.$$

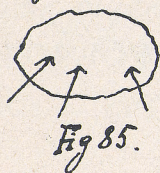
$$\sum_k Y_k = 0, \quad \sum_k (z_k X_k - x_k Z_k) = 0$$

$$\sum_k Z_k = 0, \quad \sum_k (x_k Y_k - y_k X_k) = 0$$

tj. wszystkie siły muszą być równe zero i momenty się również.

Rozważania syntetyczne. Do powyższych równań ruchu i równowagi ciała sztywnego doszliśmy drogą argumentacji rachunkowej. Można jednak do tych samych wniosków dojść przez argumentację myślową syntetyczną:

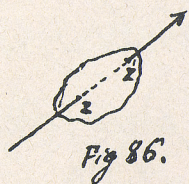
Wyobraźmy sobie bryłę, na którą działają różne siły.



Pytamy się, jakie są warunki równowagi, w razie jeśli ona zachodzi, a jeśli nie zachodzi równowaga, to jaki nastąpi ruch?

By na te pytania odpowiedzieć, rozważymy różne sposoby składania sił. Tu jest jedna ogólna zasada: jeśli na ciało sztywne działa jakaś siła, to skutki jej działania

nia będą zawsze takie same byle siła było takasama i kierunek taki sam. Punkt zaczepienia siły jest obojętny



o ile jest tylko przesunięty w kierunku siły. Jedni zresztą tę chca udowodnić z warunków symetrii inni powiadaaja, że

to fakt doświadczalny. Fakt jest, że wnioski wyprowadzone z tej zasady zgadzaja się z doświadczeniem. My więc przyjmujemy zasadę tę jako pewnik.



Jeśli siły dwie działaja na ten sam punkt, to wypadkowa ich będzie przedstawiona przez przekątne równoległoboku sił. Jeśli punkty, na które siły działaja, są różne, natomiast przytłaczamy kierunki sił, aż do punktu przecięcia się i pomyslimy sobie, że tam owe siły zaczepiaja, przez co ten wypadek mamy sprowadzony na poprzedni.



Fig 87

Kierunki sił mogą się jednak nie przeciąć choć są dowolnie przybliżone w razie, gdy są równoległe albo wchrowate.

Wracie gdy P i Q są równoległe, pomyslimy sobie siły wręcz przeciwe f , których działanie więc znosi się. Przy pomocy sił

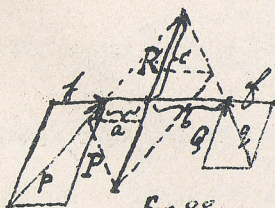


Fig 88

zadana siła wypadkowa.

W razie drugim nieprzecinania się się \vec{P} i \vec{Q} w razie ich wicher-
watości dość jest poprowadzić przez punkty zaczepienia \vec{P} i \vec{Q}

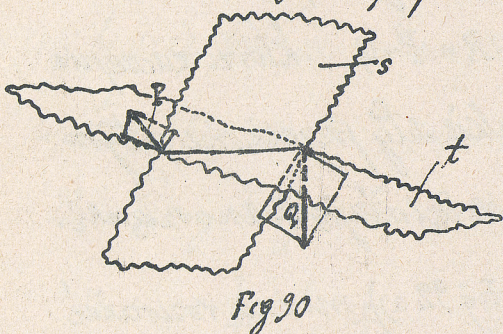


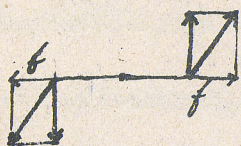
Fig 30

dwie dowolne płaszczyzny s i t i
siły P i Q rozłożyć na składowe
według równoległoboków, których po-
dwa boki leżą na owych płaszczyznach.

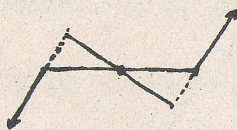
Skutek tego spowodujemy ten wypa-

dek do wypadku, gdy siły leżą w jednej płaszczyźnie, co jużesmy
przedtem rozważyli.

Mozemy teraz zająć się parą \vec{P} i \vec{Q} . Para \vec{P} i \vec{Q} powoduje ock-
wiście obrót systemu około jakiejś osi. Os' ta, gdy uwzględniamy
tylko dwa punkty systemu stywnego, prowadzić
jest w środku między temi oboma punktami. Można ogólny
wypadek, gdzie siły są dowolnie do łącznicy obu punktów nachy-



a)



b)

Fig 31

lone zredukować do wy-
padka szczególnego, gdzie
siły są prostopadłe do owej
łącznicy a to albo przez

wprowadzenie odpowiednich \vec{P} i \vec{Q} pomocniczych Fig 31 a), albo
przez skrócenie łącznicy o pewien kąt Fig 31 b).

Takie pary sił równowarzą się, jeśli momenty sił są jednakowe,

tj. jeśli : $P.a = Q.b$.



Fig 92 a)

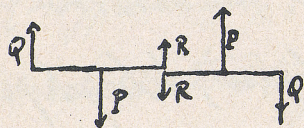


Fig 92 b)

Dla słowa wystarczy wprowadzić siłę pomocniczą $R = P - Q$, która łączyła w środku. Dwie takie siły przeciwne w tym samym punkcie działające unoszą się.

System taki sił (Fig 92 a)) można rozważać jako z dwu części złożony (Fig 92 b)). Każda z tych części jest w równowadze, bo siła $P = R + Q$ przy założeniu, że $P:Q = b:a$, łatwo to widzieć z uwagi na Fig. 88.

Powyższe rozważania równowagi pary sił przeprowadziliśmy przy założeniu, że ramiona sił mają jednakowe kierunki. Równowaga będzie miała zachodzić także wtedy, gdy je będziemy przesuwali. Wykażemy w tym celu równowagę działania

pary sił przy przesuwaniu jej. Równowaga ta zachodzi 1° gdy parę sił około tej samej osi skrócimy. Pomysł my sobie bierzemy z pomocnicze pary sił wzajemnie przeciwne dodane do pierwotnej pary sił (Fig 93 b)).

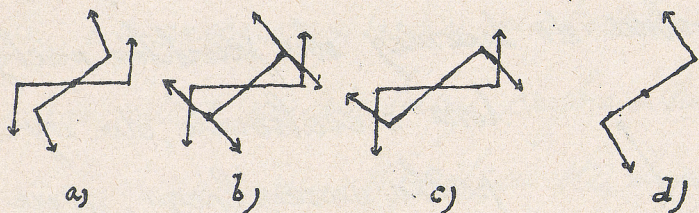


Fig 93

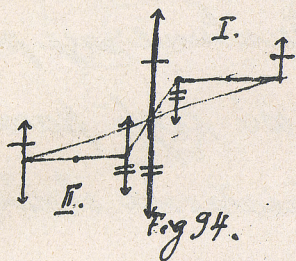
parę sił przy przesuwaniu jej. Równowaga ta zachodzi 1°

gdy parę sił około tej

samej osi skrócimy. Pomysł my sobie bierzemy z pomocnicze pary sił wzajemnie przeciwne dodane do pierwotnej pary sił (Fig 93 b)).

Dodanie takich dwu par sił warunków równowagi wcale nie zmienia. Mają one dowolny kierunek i wielkość. Te ostatnią pomysłmy sobie tak dobraną, że jest ona równa wielkości pierwotnej pary sił. Skutek będzie ten, że jedna z pomysłanych par sił zmiesze się z pierwotną (Fig. 93 c) i porostanie stała druga dodana para sił.

2°. Pomysłmy sobie parę sił przesuniętą w płaszczyźnie własnej równoległe (Fig. 94). Znowa zachodzić będzie równowaganość działania pary sił w tej nowej pozycji z parą sił pierwotną.



By to wykazać, powieźmy, że do pary sił dodajemy system dwu par sił pomocniczych, których działanie się znosi. Łącząc teraz odpowiednio punkty, jak to wskazuje Fig. 94, możemy rozdzielić dwa systemy sił równoległych i równych jednokrotnie i dwukrotnie poprzekreślanych. System ten oczywiście zostaje w równowadze, a porostaje tylko para sił nieprzekreślonych jako skutek operacji nie zmieniającej warunków równowagi.

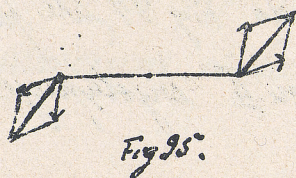
Może też para sił występować z płaszczyzną własnej. Aby się o tem przekonać wystarczy zwrócić się do Fig. 94, ale przedstawic' teraz sobie rzecz tak, że dodany system II występuje

Może też para sił występować z płaszczyzną własnej. Aby się o tem przekonać wystarczy zwrócić się do Fig. 94, ale przedstawic' teraz sobie rzecz tak, że dodany system II występuje

a przesuwamy pary sił I. Argumentacja wreszcie ~~dalej~~ dalej jest
takosama.

Widzimy więc z tych rozważań, że możemy parę sił dowolnie
przesuwać nie zmieniając przez to skutków jej działania, przy
zatożeniu: że momenty sił, czyli wprowadzając pojęcie mo-
mentu pary sił tj iloczyn z siły i oddalenia obu sił, że mo-
ment pary sił i oś zostają jednakowe. Działanie więc pary
sił zależy tylko od momentu i kierunku osi czyli para
sił jest wektorem. Ważne są więc dla niej działania określone
dla tychże.

Dla przykładu podamy np. jak się dodaje dwie pary sił.
Dla ogólności niech uważane pary sił mają różną oś i róż-
ne momenty. Powołując się na poprzednie wywody, że można
pary sił dowolnie przesuwac byle oś zachował swój kierunek,
pomysłmy, żeśmy jedną z danych paru par sił tak operowali,
że wreszcie ramiona sił dokładnie się nakryły z ramionami
drugiej pary sił. Oś oczywiście i momenty sił pozostały nie-
zmienione ze względu na kierunek i wielkość. Zostanie teraz



tych dwóch par sił redukując się do skła-
dania sił. Łatwo to uogólnić na więcej
par sił.

Na podstawie powyższych wyników łatwo już jest rozwarzyć ogólny wypadek, gdzie siły jak bądź rozłożone działają na ciało sztywne. Oto każdą siłę F zastąpimy przez

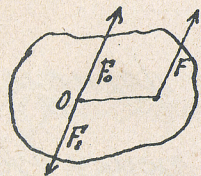


Fig 96

siłę F_0 , która zaczepia w punkcie O wraz z parą sił F, F_0 . Wszystkie siły F_0 składowy w wypadkową i tak samo wszystkie pary sił zastąpimy przez wypadkową parę sił. Węc ostatecznie ruch jakoter równowaga ciała sztywnego zależy będzie od owej siły wypadkowej i pary sił wypadkowej.

Jeśli czynniki owe nie są równe zero to jest ruch, jeśli natomiast równają się zero, to jest równowaga. Ależ właśnie powiększenia owe są równoważne równaniom ruchu i równowagi, jakieśmy wyprowadzili na str 139 i 140; trzeba by je tylko ująć w formę matematyczną.

Rozwiazania równań ruchu. Dla wygody zwróćmy się do równań ruchu w formie wektorowej:

$$\sum_k \mathcal{F}_k = \sum_k m_k \frac{d^2 \mathbf{r}_k}{dt^2} \quad , \quad \sum_k [\mathbf{r}_k \mathcal{F}_k] = \sum_k m_k \left[\mathbf{r}_k \frac{d^2 \mathbf{r}_k}{dt^2} \right]$$

Powinno te można przy wprowadzeniu określenia środka masy: $\textcircled{M} = \frac{\sum m_k r_k}{\sum m_k} = \frac{\sum m_k r_k}{M}$ wyrazić prościej:

Pierwsze:

$$\sum f_k = \sum m_k \frac{d^2 r_k}{dt^2} = \frac{d^2}{dt^2} \sum m_k r_k = \frac{d^2}{dt^2} M \textcircled{M} \text{ czyli}$$

$$(a) \quad \sum_k f_k = M \frac{d^2 \textcircled{M}}{dt^2}$$

Powiada ono, że środek masy ciała sztywnego doznaje takiego przyspieszenia, jakoby w nim wszystkie masy były skoncentrowane i jakoby w nim zaczęła to wypadkowa wszystkich sił. Jest to tylko powtórzenie odnośnego prawa, jakieśmy kiedyś wyprowadzili dla systemu punktów.

Króćcież drugie równanie, wypiszmy je jeszcze w formie:

$$\sum_k [r_k f_k] = \frac{d}{dt} \sum_k m_k [r_k \frac{dr_k}{dt}]$$

nie powiada nam nic nowego na to, coś my się już przy systemie punktów dowiedzieli tj. że moment wypadkowy sił równa się czasowej pochodnej momentu wycinkowego wypadkowego. Wprowadźmy jeszcze w to wyrażenie

określenie środka masy. Niech S będzie środkiem masy. Weź transformacyjny



Fig 97.

bedzie: $r_k = \textcircled{M} + r_s$ ($r_s = r_k$ kroćko r_s)

gdy π_s oznacza wektor położenia punktu ciała sztywnego względem środka masy S . Równanie drugie przyjmie kształt:

$$\sum [\Theta] \ddot{x}_k + \sum [\pi_s \ddot{x}_k] = \sum m_k [\Theta] \frac{d^2 \Theta}{dt^2} + \sum m_k [\pi] \frac{d^2 \pi_s}{dt^2} + \sum m_k [\pi_s] \frac{d^2 \pi}{dt^2} + \sum m_k [\pi_s] \frac{d^2 \pi_s}{dt^2}$$

Wyrażenie to uprości się:

$$\sum [\Theta] \ddot{x}_k = [\Theta] \sum \ddot{x}_k = M [\Theta] \frac{d^2 \Theta}{dt^2}$$

$\sum m_k [\pi] \frac{d^2 \pi}{dt^2} = M [\pi] \frac{d^2 \pi}{dt^2}$. Zatem pierwszy wyraz po lewej i pierwszy po prawej stronie zniósą się.

Nobei definicji środka masy $\Theta = \frac{\sum m_k \pi_k}{\sum m_k} = \frac{\sum m_k \pi_k}{M}$

$$\sum m_k \pi_k = \Theta M = \sum m_k \Theta + \sum m_k \pi_s = \Theta M + \sum m_k \pi_s$$

Zatem $\sum m_k \pi_s = 0$ oraz $\sum m_k \frac{d^2 \pi_s}{dt^2} = 0$, a stąd

$$\sum m_k [\pi] \frac{d^2 \pi}{dt^2} = 0 \quad \sum m_k [\pi_s] \frac{d^2 \pi}{dt^2} = 0$$

Ostatecz nie wiemy, gdy dla jednostajności znakowania podajemy przy wszystkich wielkościach podległych umowianiu znaków: s , przez co pozyskacie żadnych istotnych zmian nie wprowadzimy, dostaniemy drugie równanie ruchu odniesione do środka masy:

$$(b) \quad \begin{aligned} \sum [\pi_s \ddot{x}_k] &= \sum m_s [\pi_s] \frac{d^2 \pi_s}{dt^2} \\ &= \frac{d}{dt} \sum m_s [\pi_s] \frac{d \pi_s}{dt} \end{aligned}$$

Równanie to zupełnie jest takie same jak poprzednie odniesione do jakiegobądź punktu jako początku układu. Wypadkowy moment się nie zależy od wyboru początku układu.

Reasumując to, cośmy o ruchu ciała sztywnego rozważali, powiemy: Ruch ciała sztywnego składa się z dwu części: z ruchu postępowego środka masy i ruchu obrotowego koło środka masy; pierwszy ruch określony jest równaniem (a) str 148, drugi równaniem (b) str 149. Obie ruchy są niezależne od siebie.

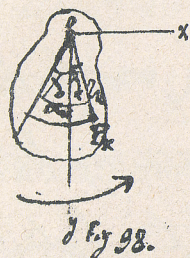
Do wniosków tych można dojść naturalnie tą drogą analityczną, albo wypisać można równania odnośne po prostu przez rozpisanie równań (a) i (b). Będzie:

$$\begin{aligned}\sum X_k &= M \frac{d^2 \xi}{dt^2}, \quad \sum (\eta_k Z_k - \zeta_k Y_k) = \sum m_k (\eta_k \frac{d^2 \xi_k}{dt^2} - \zeta_k \frac{d^2 \eta_k}{dt^2}) \\ \sum Y_k &= M \frac{d^2 \eta}{dt^2}, \quad \sum (\zeta_k X_k - \xi_k Z_k) = \sum m_k (\zeta_k \frac{d^2 \xi_k}{dt^2} - \xi_k \frac{d^2 \zeta_k}{dt^2}) \\ \sum Z_k &= M \frac{d^2 \zeta}{dt^2}, \quad \sum (\xi_k Y_k - \eta_k X_k) = \sum m_k (\xi_k \frac{d^2 \eta_k}{dt^2} - \eta_k \frac{d^2 \xi_k}{dt^2}),\end{aligned}$$

gdzie ξ, η, ζ oznaczają współrzędne środka masy, ξ_k, η_k, ζ_k współrzędne punktu względem środka masy jako początku układu.

Ruch postępowy rozważaliśmy już w dynamice punktu. Wystarczy tedy zająć się tutaj ruchem obrotowym ciała sztywnego.

nego. Uważajmy więc jakiegoś ciała sztywnego obracającego się koło osi stałe w przestrzeni praktycznej w kierunku oznaczonym strzałką. Dla prostoty przyjmijmy, że oś obrotu pokazywa się np. z osią z .



Na rysunku pomysłowym w płaszczyźnie xy redukuje się ona do punktu o .
Równanie ruchu obrotowego ważne tu, gdy się powróćmy choćby np. na str. 139, będzie:

$$R = \frac{1}{2t} \sum m_k (x_k \frac{dy_k}{dt} - y_k \frac{dx_k}{dt})$$

tj. moment sił obracających ciało bitywne koło osi z , czyli składowy moment sił względem z , równa się czasowej pochodnej momentu wycinkowego względem osi z .

Nadmienimy tu, że momenty sił względem osi: x, y, z znakować będziemy literami: P, Q, R . Nazywamy je nieraz składowymi a względem na moment wypadkowy: $\Sigma [x_k f_k]$. Jeśli chodzić będzie o oznaczenie kątów przy obrocie względem osi x, y, z , to oznakować je będziemy: φ, ψ, χ .

Postaramy się teraz przekształcić prawą stronę owego równania ruchu przez wprowadzenie współrzędnych biegunowych. Uważajmy punkt P_k i kąt, jaki promień r_k zamy-

ka, z osią y , w górę zachowana, $\therefore \chi_k$. Podwójna prędkość wy-
cenkowa, która w równaniu ruchu jest objęta nawiasem, wy-
razi się: $r_k^2 \frac{d\chi_k}{dt}$. Po wstawieniu będzie:

$$R = \frac{d}{dt} \sum_k m_k r_k^2 \frac{d\chi_k}{dt}$$

Poprowadźmy teraz w ciele sztywnym dowolną prostą, któ-
rą się o ciałem jednakowo obracało i naznaczymy kąt,
jaki ta prosta zamyka z x_k literą α_k . Kąt ten będzie
oczywiście stały. Będzie:

$$\chi_k = \alpha_k - \chi_0$$

$$\frac{d\chi_k}{dt} = \frac{d\alpha_k}{dt} - \frac{d\chi_0}{dt} \quad \text{czyli wobec } \frac{d\alpha_k}{dt} = 0$$

$$\frac{d\chi_k}{dt} = \frac{d\chi_0}{dt} \quad \text{i stąd}$$

$$R = \frac{d}{dt} \sum_k m_k r_k^2 \frac{d\chi_0}{dt}$$

Wyznając $\frac{d\chi_0}{dt}$ jako niezależne od współrzędnych sumowa-
nia przełoż znak sumy i oznaczając: $\sum_k m_k r_k^2 = \sum_k m_k (x_k^2 + y_k^2) =$
 $= K_2$, dostajemy:

$$R = K_2 \frac{d^2\chi_0}{dt^2}$$

Lub opuszczając współczynnik 0, bo objętna jest rzecz, któ-
rą prostą obrzemy za początek dostajemy:

$$R = K_2 \frac{d^2\chi}{dt^2}$$

K_z , którego definicyę mamy podaną powyższemi równaniami nazywamy momentem bezwładności. Równanie ostateczne powiada nam, że moment siły równa się iloczynowi z momentu bezwładności i przyspieszenia kątowego. Jest to powiedzenie analogiczne do określenia Newtonowskiego siły. W analogii tej: siła odpowiada moment siły, masie odpowiada moment bezwładności, przyspieszenie odpowiada przyspieszenie kątowe. Zauważyć jednak trzeba, że moment bezwładności nie jest wielkością stałą, podobnie jak masa ciała, ale zmienia się na ogół ze zmianą osi obrotu.

Skutkiem analogii w określeniu momentu siły i siły są też zadania analogiczne. Dla przykładu rozwiążemy tu kilka.

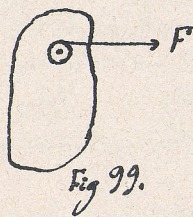
1. Na ciału sztywnym działa moment siły równy zero. Jaki ruch nastąpi? Jest oczywiście $\frac{d^2\theta}{dt^2} = 0$ stąd

$$\theta = ct + \text{const}$$

tzn. ciało to wiruje koto osi ze stałą prędkością wycinkową.

2. Do ciała sztywnego przymocowany jest stały krępek

w sposób jak wskazuje Fig 99. Na krańek nawinięta jest nitka,



za której statcznem ciągnięciem wprowadzimy ciało w ruch obrotowy. Jeśli promień kółka oznaczymy przez a , siłę zaś działającą przez F , to będzie:

$$R = Fa = K \frac{dy}{dt}$$

$$x = \frac{Fa}{K} \frac{t^2}{2} + \alpha t + \beta$$

ten. obrót ciała sztywnego będzie się odbywać ruchem jednostajnie przyspieszonym.

3. Analogiczne zadanie jest, gdy zamiast siły wprowadzającej ciało w ruch działą siła hamująca. Pomyślmy sobie do powyższego kółka przyłożony hamulec. Siła tarcia, przyjmijmy, równa się iloczynowi z nacisku p i współczynnika tarcia z . Ponieważ wpływ tarcia jest hamujący, zatem równanie różniczkowe ruchu będzie:

$$z.p.a = -K \frac{dy}{dt}$$

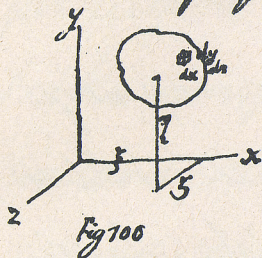
$$x = - \frac{zpa}{K} \frac{t^2}{2} + \alpha t + \beta$$

ten. ruch będzie jednostajnie opóźniony.

Obliczanie środka masy i momentu bezwładności. Za-
tem przystąpimy do dalszej teorii ciała sztywnego, zba-

my sobie sprawę ze sposobów obliczania środka masy i momentu bezwładności pojęć ważnych w dynamice ciał sztywnych..

Co się tyczy środka masy, to wychodzimy z definicji jego:



$$\xi = \frac{\sum mx}{\sum m}$$

$$\eta = \frac{\sum my}{\sum m}$$

$$\zeta = \frac{\sum mz}{\sum m}$$

Jeśli substancja wypełnia w sposób ciągły pewną objętość i jednorodnie tj jeśli gęstość ρ jest wszędzie jednakowa, to element masy:

$$dm = \rho \, dx \, dy \, dz$$

Sumowanie skończone możemy zastąpić przez całkowanie i dostaniemy przeto:

$$\xi = \frac{\iiint x \rho \, dx \, dy \, dz}{\iiint \rho \, dx \, dy \, dz}$$

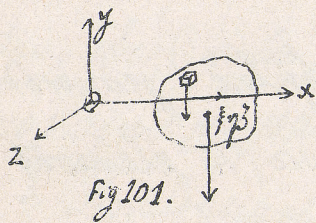
$$\eta = \frac{\iiint y \rho \, dx \, dy \, dz}{\iiint \rho \, dx \, dy \, dz}$$

$$\zeta = \frac{\iiint z \rho \, dx \, dy \, dz}{\iiint \rho \, dx \, dy \, dz}$$

ρ jako stałe unoszące. Wykonanie całek jest proste, jeśli kształt geometryczny byłby prosty. Postępując Stow:

nie możemy obliczyć środka masy pewnych linii, powierzchni, brył, wyobrażając sobie, że są one obłożone pewnymi masami elementarnymi w wszystkich swych punktach.

Jeżeli ciało znajduje się w polu grawitacyjnym np. na powierzchni ziemi, to środek masy nakrywa się ze środkiem ciężkości. Na każdy element masy ciała działa siła ciężkości proporcjonalna do masy tego elementu. Każda taka siła stara się obrócić



ciało około osi z , mają one bowiem wszystkie

jednakowy kierunek tj. pionowy. Moment pojedynczej siły tj. iloczyn x siły i ramienia jest: $g p dx dy dz \cdot x$. Wypadkowy zatem moment:

$$R = \sum g p dx dy dz \cdot x$$

$$= g \sum m x$$

czyli wobec definicji środka masy $\xi = \frac{\sum m x}{\sum m}$

$$R = \xi \cdot g \sum m$$

czyli

$$R = \xi \cdot G$$

tj. siła wypadkowa ciężkości G zaczepia w punkcie, którego spótwiedna jest ξ . Analogicznie powiemy, że każda siła elementarna stara się obrócić ciało około osi x . Dostanie-

my stał:

$$P = \int G$$

Mamy więc określony rzut środka ciężkości na płaszczyznę xz , odpowiadający zupełnie definicyi środka masy. A ponieważ punkt przyłączenia można dowolnie przesunąć wzdłuż kierunku siły, więc można jako punkt zaczepienia obrać sam środek masy $\{ \S 75 \}$. Łatem istotnie środek masy nakrywa się z środkiem ciężkości, jeśli ciało znajduje się w polu grawitacyjnem przy założeniu, że siły są równoległe i mają jednakowy kierunek. Oczywiście nie będzie to zachodzić dla ciała na powierzchni ziemi, jeśli uwzględnimy zmienność kierunku i natężenia ciężkości.

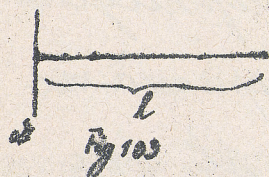
Co się tyczy momentu bezwładności, to wychodząc z definicyi wyżej podanej i zastępując całkowanie skończone przez całki dostaniemy:

$$K_z = \int \int \int (x^2 + y^2) da dy dz$$

$$K_x = \int \int \int (y^2 + z^2) da dy dz$$

$$K_y = \int \int \int (x^2 + z^2) da dy dz$$

Przykłady: 1. Obliczyć moment bezwładności masy liniowo rozmieszczonej względem osi prostopadłej przez koniec przelazionej. ($\rho=1$). Będzie:



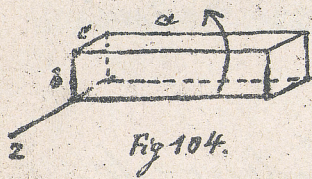
$$K = \int_0^l x^2 dx = \frac{x^3}{3} \Big|_0^l = \frac{l^3}{3}$$

2. Tak samo, gdy oś przez środek odcinka przechodzi:

$$K = 2 \int_0^{\frac{l}{2}} x^2 dx = 2 \frac{x^3}{3} \Big|_0^{\frac{l}{2}} = \frac{l^3}{12}$$

Zatem teraz moment bezwładności jest czwartą częścią poprzedniego.

3. Obliczyć moment bezwładności równoległoscianu względem osi z przez krawędź przechodzącą.



$$K_2 = \iiint_0^a \int_0^b \int_0^c (x^2 + y^2) dx dy dz = \\ = \iiint x^2 dx dy dz + \iiint y^2 dx dy dz$$

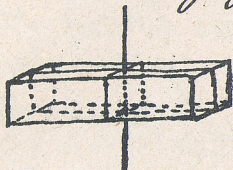
Całkowania te są niezależne od siebie, zatem całka potrójna będzie iloczynem trzech całek.

$$K_2 = \frac{a^3}{3} bc + a \frac{b^3}{3} c = \frac{abc}{3} (a^2 + b^2) = \frac{M}{3} (a^2 + b^2),$$

gdzie M oznacza masę całego równoległoscianu ($\rho=1$), $a^2 + b^2$ przekątne. Zatem moment bezwładności taki, jak

by trzecia część masy była skoncentrowana na końcu przekątnej.

4. Tak samo, gdy oś przez środek przechodzący.



$$K_o = 4 \frac{\frac{M}{4} \left(\frac{a^2}{4} + \frac{b^2}{4} \right)}{3} = \frac{M}{12} (a^2 + b^2)$$

Fig 105.

Znowu więc moment jest sztyry raxy mniejszy niż poprzód.

5. Obliczyć moment bezwładności krążka względem osi przechodzącej prostopadle do płaszczyzny przez środek.

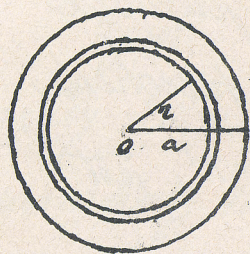


Fig 106

Das elementarny ma masę: $2\pi r dr$.

Zatem:

$$K = \int_0^a 2\pi r dr \cdot r^2 = \frac{2\pi a^4}{4} = \frac{\pi a^4}{2} = \frac{M}{2} a^2$$

Podobnie obliczy się moment bezwładności krążka, gdy oś obrotu jest przelozona przez jego płaszczyznę, dalej kuli, walców itd.

Twierdzenie Steinera. Jeśli rozważamy momenty bezwładności danego ciała względem różnych osi, przelozonych równolegle przez to ciało sytuwane, to dla każdej z nich moment bezwładności jest wogóle różny

Oznaczmy przez K_0 moment bezwładności względem osi y przechodzącej przez środek masy.

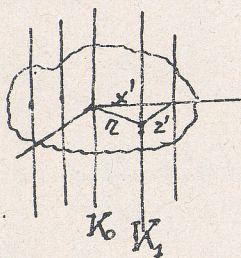


Fig 107.

$$K_0 = \sum m (x^2 + z^2)$$

Jeśli x' i z' określają nam inną os' równoległą do pierwszej, to moment bezwładności względem niej jest:

$$K_1 = \sum m [(x-x')^2 + (z-z')^2] =$$

$$= \sum m (x^2 + z^2) + \sum m (x'^2 + z'^2) - 2 \sum m x x' - 2 \sum m z z'.$$

$$= \sum m (x^2 + z^2) + (x'^2 + z'^2) \sum m - 2x' \sum m x - 2z' \sum m z$$

Lecz $\sum m x = \sum m z = 0$, bo powiedzieliśmy, że pierwsza os' obrotu, ze względu na którą x i z są brane, przechodzi przez środek masy. Z uwagi nadto, że $x'^2 + z'^2 = r^2$, jest

$$K_1 = K_0 + r^2 M$$

i to jest właśnie tw. Steiner'a o momentach bezwładności. Powiada ono, że najmniejszy moment bezwładności ciała, setynego jest dla osi przechodzącej przez środek masy. Każdy inny z powodu, że $r > 0$ i $M > 0$ jest od niego większy.

Stosując tw. Steiner'a np. do przykładu 4. wyżej, mamy:

$$K = K_0 + M \frac{a^2 + b^2}{4}$$

Leż $K_0 = \frac{M}{12}(a^2 + b^2)$. Zatem $K = M(a^2 + b^2)\{\frac{1}{12} + \frac{1}{4}\} =$
 $= \frac{M}{3}(a^2 + b^2)$, co istotnie, jak wyżej widzieliśmy, zachodzi.

Jako przykład powyższych rozważań nad momentami bezwładności i środkiem masy rozpatrzmy:

Wahadło fizyczne. Nierówny tak dowolną być obracającą się koło osi, którą tu dla prostoty nazwijmy z. Po-

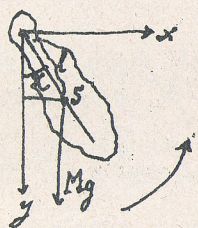


Fig 108.

prowadźmy w tem wahadle prostą, ze względu na którą będziemy rachowali wychylenia od pionu. Najprościej będzie jeśli ta prosta będzie przechodzić przez środek

masy S. To więc założmy. Za kierunek dodatni wychyleń uważamy ten, który jest oznaczony strzałką. Jaki ruch? W środku ciężkości zaociepia siła Mg . Ramię tej siły jest: $l \sin x$. Zatem równanie różniczkowe ruchu jest:

$$K \frac{d^2 x}{dt^2} = -Mg l \sin x$$

$$\frac{d^2 x}{dt^2} = - \frac{Mg l}{K} \sin x$$

Obie wychylenia małe upraszczają to równanie do:

$$\frac{d^2 x}{dt^2} = - \frac{Mg l}{K} x$$

Kształt taki sam, jak już mieliśmy przy wahadle matema-

tycznem spotykaliśmy. Zatem rozwiązanie jest:

$$\chi = \chi_0 \sin(\alpha t + \varepsilon)$$

Sprawdzając, dostajemy:

$$\frac{d^2\chi}{dt^2} = -\chi_0 \alpha^2 \sin(\alpha t + \varepsilon)$$

Zatem: $\alpha = \sqrt{\frac{Mgl}{K}}$. Stąd dostajemy okres wzniesień.

Pozostaje $\alpha T = 2\pi$, to $T = \frac{2\pi}{\alpha}$ czyli

$$T = 2\pi \sqrt{\frac{K}{Mgl}}$$

Według tw. Steinera: $K = K_0 + l^2 M$, jeśli K_0 oznacza moment bezwładności wahadła względem osi z przechodzącej przez środek ciężkości zaś l oznacza odległość osi równoległej od tej z_0 . Stąd

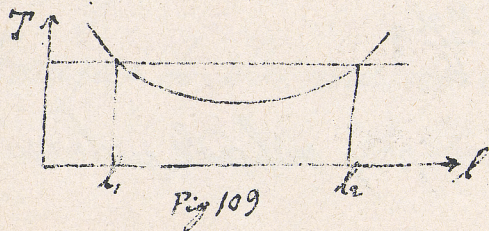
$$T = 2\pi \sqrt{\frac{K_0 + l^2 M}{Mgl}}$$

l można zmieniać nie zmieniając K_0 i M . Stąd okres T zależy od l .

$$T = 2\pi \sqrt{\frac{K_0}{Mgl} + \frac{l}{g}}$$

Dla $l > 0$
 $l = \infty$ } okres T staje się nieskończenie duży

Gdybyśmy wzięli przedstawienia graficzne oferując na osie układu: T i l , dostalibyśmy krzywą tego rodzaju jak przedstawia Fig 107. Każdej wartości T odpowiada



dwie wartości na l . Wynika to bezpośrednio stąd, że równanie na T jest drugiego stopnia względem l . Mamy:

$$g\left(\frac{T}{2\pi}\right)^2 = \frac{K_0}{Ml} + l$$

$$l^2 - l g\left(\frac{T}{2\pi}\right)^2 = -\frac{K_0}{M}$$

$$l = \frac{g}{2}\left(\frac{T}{2\pi}\right)^2 \pm \sqrt{\left[\frac{g}{2}\left(\frac{T}{2\pi}\right)^2\right]^2 - \frac{K_0}{M}}$$

Jeśli wartość na l ma być rzeczywista, to wyrażenie pod pierwiastkiem musi być nieujemne. Przyjmując, że jest dodatnie, dostaniemy dwie wartości na l :

$$l_1 = \frac{g}{2}\left(\frac{T}{2\pi}\right)^2 + \sqrt{\dots}$$

$$l_2 = \frac{g}{2}\left(\frac{T}{2\pi}\right)^2 - \sqrt{\dots}$$

$$l_1 + l_2 = g\left(\frac{T}{2\pi}\right)^2$$

$$T = 2\pi \sqrt{\frac{l_1 + l_2}{g}}$$

Dostaliśmy więc na okres wahadła fizycznego wzór taki sam, jaki mamy na okres wahadła matematycznego o długości $l_1 + l_2$.

Zorazem widzimy tu, że aby obliczyć okres T wahadła fizycznego, nie trzeba znać K i M , wystarczy znać tylko l_1 i l_2 .

Przez to sprawa się ogromnie upraszcza, bo drogą rachunku obliczanie K nie może być dość dokładne, ponieważ wstawiając fizyczne wahadła nie muszą być równe takowe do ujęcia

rachunkowego i rawsze przeciek kształt byty nie będzie do-
kładnie rachunkiem oddany. Natomiast l_1 i l_2 drogą em-
piryczną, daleko łatwiej znaleźć. Na tem polega wahadło rewer-
syjne wynalezione przez kapitana angielskiego Katera. Dla
danego okresu T znajdują się dwie wartości l_1 i l_2 takie, iż

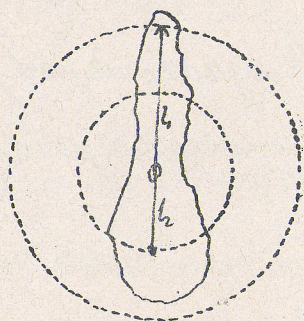


Fig. 110.

wahadło w nich zawieszone będzie mia-
ło właśnie ten okres. Może naturalnie
się zdarzyć, że dla pewnego okresu nie
znajdą się w danej byle takie punkty,
szby wahadło w nich zawieszone, dawa-
ło zadany okres. Wystarczy wtedy dotrzeć do takiego wahadła

jakieś potężniejsza sztywność i przeto można już osiągnąć ów okres.

Skąd wahadło, jak wiadomo, do mierzenia czasu, oraz do
określenia przyspieszenia ziemskiego g . Dla różnych miejsc
na ziemi jest ono przyspieszenie różne. Dla szerokości geograficz-
nej φ , zredukowane do poziomu morza:

$$g = 978.103 [1 + 0.0051177 \sin^2 \varphi] \frac{\text{cm}}{\text{sek}^2}$$

(wartość empiryczna). Największe jest g na biegunie ziemskim, bo
odstęp od środka ziemi najkrótszy i nie działa siła odśrodkowa.

Dla $\varphi = 45^\circ$, $g = 980.606$, długość wahadła sekundowego wynosi

dwusekundowego wynosi $l = 99.356 \text{ m}$. Zauważymy tu, że właściwie niekiedy wrywa się na okres wahu $T = \pi \sqrt{\frac{l}{g}}$ zamiast $T = 2\pi \sqrt{\frac{l}{g}}$. Należy zatem zawsze się upewnić, gdy się mówi o wahadle sekundowym, czy ma się na myśli wódt pierwszy czy drugi. Wielkości g istnieją lokalne odchylenia nie tylko z powodu szerokości geograficznej i wysokości nad poziom morza w różnych miejscach, ale też z tego powodu, że mamy wewnątrz ziemi są rozłożone nieregularnie. Wykonał w tym względzie systematyczne badania major austriacki Sternecker. Wyniki są bardzo ciekawe. Ciężkość jest wielkością bardzo nieregularną. Przy porównaniu redukuje się ją do poziomu morza, co jest łatwe, przeką na podstawie teorii potencjału. Okazuje się, że w górach g jest mniejsze niż w dolinach. Powód tego nie jest jeszcze zadowalniająco wyjaśniony. Wzieważka ma to być z przyczyną, poglądu, że góry są cięższymi częściami ziemi podobnie jak lód na wodzie.

Rachunki powyższe ważne są pod zastrzeżeniem, że kąt χ jest mały. Poprawkę uskutecznia się tak samo, jak przy wahadle matematycznym.

Gdyby się umieściło wahadło na osi pionowej, to oczywiście

wahnień nie będzie żadnych, gdy się jednak oś nieco nachyli, słodniemy wahadło, dla którego okres wahań oznaczy się tak samo jak poprzed. Wahadło takie nazywamy poziomowem. Zastosowanie ma ono w konstrukcyi seismografu.



Fig 111.

Można by jeszcze inne przykłady podać na zastosowanie momentu bezwładności K. np.: ruch torsyjny, w którym belka powieszona poziomo na nitce pionowej wykonuje wahnięcia.

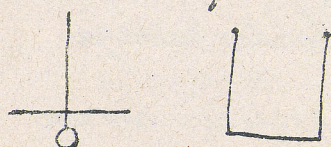


Fig 112.

Sila sprężystości nitki równa jest tu sile torsyjnej; dalej zawieszenia bifilarne itd. Do rozwiązywania tego rodzaju zadań służy najlepiej zasada zachowania energii.

Energia ciała sztywnego obracającego się.

Energję kinetyczną punktu poruszającego się ruchem postępowym z prędkością v , określamy jak wiadomo iloczynem $\frac{mv^2}{2}$, systemu punktów, a więc i ciała

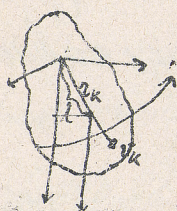


Fig 112

sztywnego sumą iloczynów $\sum_k \frac{m_k v_k^2}{2}$. Analogicznie energję kinetyczną punktu obracającego z prędkością $v = r \frac{d\varphi}{dt}$,

określamy iloczynem: $\frac{mv^2}{2} = \frac{m}{2} r^2 \left(\frac{d\varphi}{dt}\right)^2$, zaś energię kinetyczną ciała sztywnego obracającego się określamy sumą iloczynów: $L = \frac{1}{2} \sum m_k r_k^2 \left(\frac{d\varphi}{dt}\right)^2$. Kłóć się z tym, że prędkość kątowna $\frac{d\varphi}{dt}$ jest dla wszystkich punktów jednakoowa, możemy ją więc wyjąć przed znak sumy. Stąd

$$L = \frac{1}{2} \left(\frac{d\varphi}{dt}\right)^2 \sum_k m_k r_k^2 \quad \text{czyli}$$

$$L = \frac{1}{2} \omega^2 K,$$

gdzie ω oznacza prędkość kątową wspólną dla wszystkich punktów ciała sztywnego, K moment bezwładności względem uważanej osi obrotu i różnicy naturalnie dla równych osi na ogół.

Dla systemu punktów wyprowadziliśmy przy założeniu, że siły są potencjalne (str 119) zasadę zachowania energii mechanicznej:

$$L + U = \text{Const.}$$

Zasada ta będzie oczywiście przy tem danem założeniu i tutaj dla ciała sztywnego ważna. Gdy ciało obraca się pod wpływem ciężkości koło osi poziomej, to energię pro-

Mechanika Ark XL

kinetyczną oznacza się, tak jakby wszystkie dety były skoncentrowane w środku ciężkości:

$$U = -Mgl \cos \chi \quad (\text{analog: } U = -mgy).$$

Stosując zatem zasadę zachowania energii, mamy

$$\frac{1}{2} K \left(\frac{d\chi}{dt} \right)^2 - Mgl \cos \chi = \text{Const}$$

równanie takie same jak przy wahadle matematycznym; gdy zróbinerkujemy, dostaniemy:

$$K \frac{d^2\chi}{dt^2} + Mgl \sin \chi \frac{d\chi}{dt} = 0 \quad \text{czyli}$$

$$\frac{d^2\chi}{dt^2} = - \frac{Mgl}{K} \sin \chi$$

Widzimy zarazem, że jest to najprostszą drogą do uzyskania równania robinnickowego ruchu, gdy jest dawa jedna tylko swoboda ruchu (tu po kole).

Elipsoida bezwładności. Mieliliśmy wyżej tożsamość wyrażającą zależność momentu bezwładności od pozycji różnych osi równoległych. Teraz zateżymy, że os obrotu ma stale przechodzić przez pewien punkt*) a może zmieniać tylko kierunek i zapytamy się o zależność momentu bezwładności od tak określonych pozycji osi. W tym celu wypisujemy 3 wyrażenia na

*) Np. środek masy.

energie kinetyczną ciała sztywnego obracającego się koło dowolnej osi w przestrzeni:

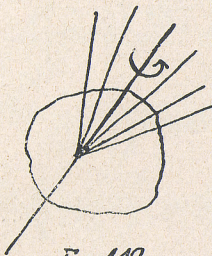


Fig 113.

$$L = \frac{1}{2} K \omega^2 \quad \text{czyli}$$

$$L = \frac{1}{2} \sum m v_k^2$$

Rozpiszemy wyrażenie to. Weźmy (str 135), że prędkość wirowania:

$$v_k = [v_k] = \begin{vmatrix} i & j & k \\ \frac{dx}{dt} & \frac{dy}{dt} & \frac{dz}{dt} \\ x_k & y_k & z_k \end{vmatrix} =$$

$$= i \left(x_k \frac{dz}{dt} - z_k \frac{dx}{dt} \right) + j \left(x_k \frac{dy}{dt} - y_k \frac{dx}{dt} \right) + k \left(y_k \frac{dz}{dt} - z_k \frac{dy}{dt} \right),$$

przez co prędkość kątową ω oraz jej składowe $\frac{dx}{dt}$, $\frac{dy}{dt}$, $\frac{dz}{dt}$ są dla wszystkich punktów ciała sztywnego wspólne.

$$L = \frac{1}{2} \sum m_k \left[x_k \frac{dz}{dt} - z_k \frac{dx}{dt} \right]^2 + \left[x_k \frac{dy}{dt} - y_k \frac{dx}{dt} \right]^2 + \left[y_k \frac{dz}{dt} - z_k \frac{dy}{dt} \right]^2 \Bigg\} =$$

$$= \frac{1}{2} \left(\frac{dz}{dt} \right)^2 \sum m_k (y_k^2 + z_k^2) + \frac{1}{2} \left(\frac{dy}{dt} \right)^2 \sum m_k (x_k^2 + z_k^2) + \frac{1}{2} \left(\frac{dx}{dt} \right)^2 \sum m_k (x_k^2 + y_k^2) -$$

$$- \frac{dz}{dt} \frac{dy}{dt} \sum m_k x_k y_k - \frac{dy}{dt} \frac{dx}{dt} \sum m_k y_k z_k - \frac{dx}{dt} \frac{dz}{dt} \sum m_k z_k x_k.$$

Wprowadzając skrócenia:

$$\sum m_k (y_k^2 + z_k^2) = K_x$$

$$\sum m_k x_k y_k = D_{xy}$$

$$\sum m_k (x_k^2 + z_k^2) = K_y$$

$$\sum m_k y_k z_k = D_{yz}$$

$$\sum m_k (x_k^2 + y_k^2) = K_z$$

$$\sum m_k z_k x_k = D_{zx}$$

mamy:

$$L = \frac{1}{2} \left\{ \left(\frac{dx}{dt} \right)^2 K_x + \left(\frac{dy}{dt} \right)^2 K_y + \left(\frac{dz}{dt} \right)^2 K_z - \right. \\ \left. - 2 \frac{dy}{dt} \frac{dz}{dt} D_{xy} - 2 \frac{dz}{dt} \frac{dx}{dt} D_{yz} - 2 \frac{dx}{dt} \frac{dy}{dt} D_{zx} \right\}.$$

K_x, K_y, K_z są to, jak wiemy, momenty bezwładności

ze względu na osie x, y, z ; D_{xy}, D_{yz}, D_{zx} nazywamy współwzrostów, które później podamy, momentami dwiacyjnymi.

Obracajmy ciało około różnych osi przez ten sam punkt przechodzących i nakreślmy na każdej z nich wektor prędkości: \vec{v} z jaką się ciało około każdej z tych osi, przy założeniu że energia $L_0 = \text{const}$ jest stale jednakowa, obraca. Wyobraźmy sobie jedną z takich osi o kierunku: $\cos \lambda, \cos \mu, \cos \nu$. Prędkość, z jaką ciało około tej osi wiruje, oznaczmy $\omega = |\vec{\omega}|$. Prędkości: $\frac{dx}{dt}, \frac{dy}{dt}, \frac{dz}{dt}$ będą jej składowymi:

$$\frac{dx}{dt} = \omega \cos \lambda$$

$$\frac{dy}{dt} = \omega \cos \mu$$

$$\frac{dz}{dt} = \omega \cos \nu$$

Będzie zatem:

$$L_0 = \frac{\omega^2}{2} \left\{ K_x \cos^2 \lambda + K_y \cos^2 \mu + K_z \cos^2 \nu - \right. \\ \left. - 2 D_{xy} \cos \lambda \cos \mu - 2 D_{yz} \cos \mu \cos \nu - 2 D_{zx} \cos \nu \cos \lambda \right\}$$

czyli wprowadzając skrócenia: $\omega \cos i = \xi$, $\omega \sin i \cos \mu = \eta$, $\omega \sin i \sin \nu = \zeta$ mamy

$$L_0 = \frac{1}{2} \{ K_x \xi^2 + K_y \eta^2 + K_z \zeta^2 - 2 D_{xy} \xi \eta - 2 D_{yz} \eta \zeta - 2 D_{zx} \zeta \xi \}.$$

Analogiczne równanie dostaniemy dla każdej innej osi obrotu, przy czym $K_x, K_y, \dots, D_{zx}, L_0$ są stałe, a dobieramy tylko ξ, η, ζ tj. owe prędkości ω . Dostaliśmy tak równanie

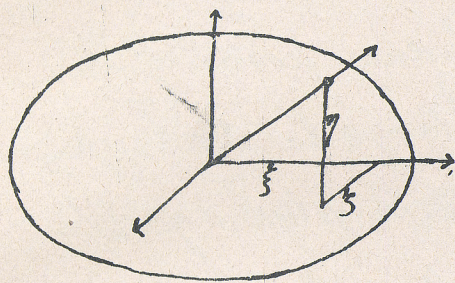


Fig. 114.

stopnia drugiego o zmiennych ξ, η, ζ . Punkty więc końcowe naszych wektorów prędkości nie będą leżeć na powierzchni stopnia drugiego. Lecz ξ, η, ζ nigdy

nie mogą się stać nieskończonością, bo to jest wielkość skończona, zatem powierzchnia nośna jest elipsoidą ze środkiem w punkcie tym, przez który wszystkie osie obrotu przechodzą. Jest to elipsoida bezwładności. Wiedomo z geometrii analitycznej, że elipsoida posiada trzy osie symetrii prostopadłe do siebie i że równanie jej do tych osi sprowadzone upraszcza się. Znacząc momenty bezwładności: A, B, C i współrzędne ze względu na osie główne: p, q, r dostajemy uproszczone równanie elipsoidy bezwładności (odniesione do osi głównych):

$$Ap^2 + Bq^2 + Cr^2 = \text{Const.}$$

Winnę formę można napisać to równanie:

$$\left(\frac{p}{a}\right)^2 + \left(\frac{q}{b}\right)^2 + \left(\frac{r}{c}\right)^2 = 1$$

gdzie: a, b, c oznaczają półosi główne. Stąd

$$a \sim \frac{1}{\sqrt{A}}, \quad b \sim \frac{1}{\sqrt{B}}, \quad c \sim \frac{1}{\sqrt{C}}$$

Bez względu na wartość ω odbranej jednostki. Wi-
drimy już stąd, że można wprost drogą konstrukcyjną
oznaczyć moment bezwładności ciała sztywnego dla
danej osi. Mając bowiem elipsoidę bezwładności wykre-
szyć w danym kierunku nakreślić promień ze środ-
ka jej osi do przecięcia się z powierzchnią elipsoidy.
Będzie to predkość ω . Ponieważ zachodzi oczywiście
proporcja: np.

$$\frac{K}{B} = \frac{b^2}{\omega^2}$$

zatem przy znanych: B, b, ω mamy też oznaczony
moment bezwładności K ze względu na powyższą os'
obrotu.

Mozna też moment bezwładności K wyrachować za-
pomocą: ξ, η, ζ , gdy znane są momenty K_x, K_y, K_z i D_{xy}, D_{yz}, D_{zx} ,
lub za pomocą p, q, r , gdy znane są A, B, C .

Dostaliśmy do elipsoidy bezwładności postępując z energią kinetyczną. Można też dojść do tego samego bezpośrednio wychodząc z określenia momentu bezwładności dla jakiegoś osi np_1 o kierunku l, μ, ν :

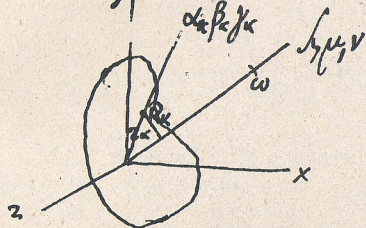


Fig 115.

$$K = \sum m_k R_k^2$$

Skorzystajmy z tego, że $R_k = r_k \sin \varepsilon_k$, zatem

$$K = \sum m_k r_k^2 (1 - \cos^2 \varepsilon_k),$$

gdzie $\cos \varepsilon_k = \cos \alpha \cos \alpha_k + \cos \mu \alpha \beta_k + \cos \nu \alpha \gamma_k$.

czyli z uwagi, że: $r_k \cos \varepsilon_k = x_k \cos \alpha + y_k \cos \mu + z_k \cos \nu$,

$$K = \sum m_k \left[(x_k^2 + y_k^2 + z_k^2) - (x_k^2 \cos^2 \alpha + y_k^2 \cos^2 \mu + z_k^2 \cos^2 \nu + 2x_k y_k \cos \alpha \cos \mu + 2x_k z_k \cos \alpha \cos \nu + 2y_k z_k \cos \mu \cos \nu) \right]$$

Pierwszy składnik nawiasu [] pomnożymy przez: $\cos^2 \alpha + \cos^2 \mu + \cos^2 \nu = 1$ i uporządkujemy. Będzie:

$$K = \cos^2 \alpha \sum m_k (y_k^2 + z_k^2) + \cos^2 \mu \sum m_k (z_k^2 + x_k^2) + \cos^2 \nu \sum m_k (x_k^2 + y_k^2) - 2 \cos \alpha \cos \mu \sum m_k x_k y_k - 2 \cos \alpha \cos \nu \sum m_k x_k z_k - 2 \cos \mu \cos \nu \sum m_k y_k z_k,$$

czyli wprowadzając skrócenia, mamy:

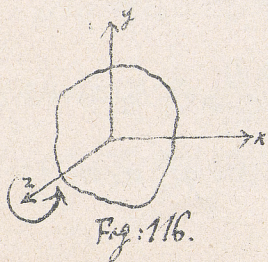
$$K = K_x \cos^2 \alpha + K_y \cos^2 \mu + K_z \cos^2 \nu - 2 D_{xy} \cos \alpha \cos \mu - 2 D_{yz} \cos \mu \cos \nu - 2 D_{zx} \cos \nu \cos \alpha.$$

Dostaliśmy więc wzór na moment bezwładności względem osi

o kierunku $\cos \alpha, \cos \beta, \cos \gamma$. Postępując dalej tak samo jak poprzednio, a więc odcinając na krzywej α takich ośi przez punkt obrotu przechodzącej przelotność wirowania $\omega = \frac{\text{Const}}{\sqrt{K}}$, dostajemy znowu elipsoidę bezwładności.

W szczególności elipsoida bezwładności przechodzi w kulę. Wtedy krzywa moment bezwładności wskutek symetrii ciała jest jednakowa. Dzieje się to np. dla kostki, kuli, wirującej około ośi przechodzącej przez jej środek. Może też elipsoida bezwładności być obrotowa t.j. o dwóch ośiach głównych jednakowych; trzecia może być dowolna. Zachodzi to np. dla walca, graniastostupa kwadrato-, sześciokątnego. W ogólności jednak dla ciał sztywnych niesymetrycznie względem uwazanego punktu ośi obrotu ułożonych wszystkie trzy ośie elipsoidy bezwładności są różne.

Momenty dwiacyjne. Aby określić znaczenie momentów dwiacyjnych: D_{xy}, D_{yz}, D_{zx} , uważymy ciało sztywne obracające się np. około ośi z w kierunku strzałki. Momenty sił względem ośi x, y wyrażają



się, jak wiemy:

$$R = \sum (xY - yX) = \sum m_k (x_k \frac{dy_k}{dt} - y_k \frac{dx_k}{dt})$$

$$= \frac{d}{dt} \sum m_k (x_k \frac{dy_k}{dt} - y_k \frac{dx_k}{dt})$$

$$P = \frac{d}{dt} \sum m_k (y_k \frac{dz_k}{dt} - z_k \frac{dy_k}{dt})$$

$$Q = \frac{d}{dt} \sum m_k (z_k \frac{dx_k}{dt} - x_k \frac{dz_k}{dt})$$

Wrażenia te w uważanym wypadku uproszczą się, gdy zważymy co przedstawiają $\frac{dx_k}{dt}$, $\frac{dy_k}{dt}$, $\frac{dz_k}{dt}$. Prędkości wirowania w ogólnym wypadku jest:

$$\omega_k = [\dot{x}_k \dot{y}_k] = \begin{vmatrix} i & j & k \\ \frac{dy}{dt} & \frac{dx}{dt} & \frac{dz}{dt} \\ x_k & y_k & z_k \end{vmatrix}$$

Składowe jej zatem:

$$\frac{d\omega_x}{dt} = \cancel{x_k \frac{dy_k}{dt}} - y_k \frac{dx_k}{dt}$$

$$\frac{d\omega_y}{dt} = x_k \frac{dz_k}{dt} - \cancel{z_k \frac{dy_k}{dt}}$$

$$\frac{d\omega_z}{dt} = \cancel{y_k \frac{dx_k}{dt}} - \cancel{x_k \frac{dy_k}{dt}}$$

Ponieważ jednak ciało, jak zakładamy, wiruje koło osi z, zatem $\frac{dy_k}{dt} = \frac{dx_k}{dt} = 0$, i stąd zostają w wyrażeniach tylko składniki nieprzekreślone i stąd momenty się będą:

$$R = \frac{d}{dt} \sum m_k (x_k^2 + y_k^2) \frac{dz_k}{dt}$$

$$P = - \frac{d}{dt} \sum m_k x_k z_k \frac{dy_k}{dt}$$

$$Q = - \frac{d}{dt} \sum m_k y_k z_k \frac{dx_k}{dt}$$

Znowu do tego samego można dojść bezpośrednio. Z rycin

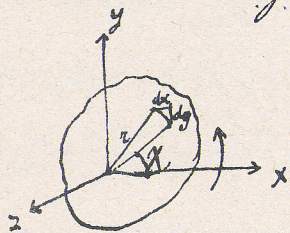


Fig 117.

wprost widać, że

$$\frac{dy_k}{dt} = r_k \frac{d\alpha}{dt} \cos \varphi = x_k \frac{d\alpha}{dt}, \text{ a więc}$$

$$P = -\frac{d}{dt} \sum m_k x_k z_k \frac{d\alpha}{dt} \text{ itd.}$$

$$\text{Lecia } \frac{d}{dt} (x_k z_k \frac{d\alpha}{dt}) = \frac{dx_k}{dt} z_k \frac{d\alpha}{dt} + x_k z_k \frac{d^2\alpha}{dt^2} =$$

$$= -y_k z_k \left(\frac{d\alpha}{dt} \right)^2 + x_k z_k \frac{d^2\alpha}{dt^2}$$

$$\frac{d}{dt} (y_k z_k \frac{d\alpha}{dt}) = \frac{dy_k}{dt} z_k \frac{d\alpha}{dt} + y_k z_k \frac{d^2\alpha}{dt^2} = x_k z_k \left(\frac{d\alpha}{dt} \right)^2 + y_k z_k \frac{d^2\alpha}{dt^2}$$

Wstawiając te wartości, dostajemy:

$$R = K_z \frac{d^2\alpha}{dt^2}$$

$$P = + \left(\frac{d\alpha}{dt} \right)^2 D_{yz} - \frac{d^2\alpha}{dt^2} D_{xz}$$

$$Q = - \left(\frac{d\alpha}{dt} \right)^2 D_{xz} - \frac{d^2\alpha}{dt^2} D_{yz}$$

Widzimy stąd, że aby utrzymać oś obrotu z w kierunku niezmiennym trzeba wywierać pewne momenty (siły). Wielkość tych momentów zależy właśnie od momentów dwiacyjnych. Te ostatnie mają związek z asymetrią

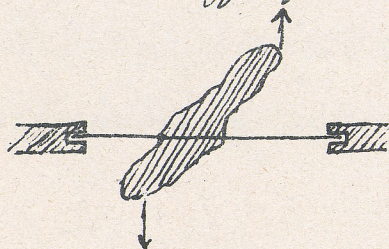


Fig 118.

nością ciała względem osi wirowania. W czasie ruchu bowiem powstają siły odśrodkowe, które starają się oś wychylić. Jeżeli ciało jest symetrycznie rozłożone względem osi obrotu, (oś

to jest symetrycznie rozłożone względem osi obrotu, (oś

wirowania musi wtedy przechodzić przez środek masy, to elipsoida bezwładności jest wtedy obrotowa i momenty dewiacyjne znikają. Rozumiemy więc stąd związek, jaki zachodzi między permanencyą wirowania ciała sztywnego a osią, około której ciało się obraca bez wywierania osobnych w tym celu sił. Zachodzi tu pewna analogia ze stanem równowagi statycznej.

Jeszczeby nam zostawała sprawa obliczania momentów dewiacyjnych. Muszą się one obliczyć z momentów bezwładności tj. muszą się dać wyrazić przez współczynniki elipsoidy, bo gdy tę ostatnią sprowadzimy do osi głównych, to one znikają. Można to jednak uskutecznić bezpośrednio z definicji. Weźmy np. że:

$$D_{xy} = \sum m_k x_k y_k$$

Stosując znany wzór transformacyjny:

$$x = \xi \cos(\xi x) + \eta \cos(\eta x) + \zeta \cos(\zeta x)$$

$$y = \xi \cos(\xi y) + \eta \cos(\eta y) + \zeta \cos(\zeta y)$$

mamy:

$$D_{xy} = \cos \xi x \cos \xi y \sum \xi^2 m + \cos \eta x \cos \eta y \sum m \eta^2 + \cos \xi x \cos \zeta y \sum m \xi \zeta + \\ + (\cos \xi x \cos \eta y + \cos \eta x \cos \xi y) \sum m \xi \eta + (\cos \eta x \cos \zeta y + \cos \eta y \cos \zeta x) \sum m \eta \zeta +$$

$$+(\cos \xi x \cos \xi y + \cos \xi y \cos \eta x) \sum m \xi \zeta.$$

Zauważymy tu natychmiast, że w myśl określenia:

$\sum m \xi \eta = D_{\xi \eta} = 0$, $\sum m \eta \zeta = D_{\eta \zeta} = 0$, $\sum m \xi \zeta = D_{\xi \zeta} = 0$,
bo momenty dewiacyjne dla elipsoidy bezwładności
o osiach głównych znikają. Z uwagi, że $\xi^2 + \eta^2 + \zeta^2 = \rho^2$, możemy to co zostaje napisać tak:

$$\begin{aligned} D_{xy} &= \cos \xi x \cos \xi y \sum m [\rho^2 - (\eta^2 + \zeta^2)] + \cos \eta x \cos \eta y \sum m [\rho^2 - (\xi^2 + \zeta^2)] \\ &\quad + \cos \xi x \cos \xi y \sum m [\rho^2 - (\xi^2 + \eta^2)] \\ &= (\cos \xi x \cos \xi y + \cos \eta x \cos \eta y + \cos \xi x \cos \xi y) \sum m \rho^2 - \\ &\quad - \cos \xi x \cos \xi y \sum m (\eta^2 + \zeta^2) - \cos \eta x \cos \eta y \sum m (\xi^2 + \zeta^2) - \\ &\quad - \cos \xi x \cos \xi y \sum m (\xi^2 + \eta^2). \end{aligned}$$

Lecz współczynniki przy $\sum m \rho^2$ znika, bo oznacza on $\cos(x y) = 0$. Inne sumy oznaczają nam znowu momenty bezwładności ze względu na osie główne elipsoidy. Jest więc istotnie:

$$-D_{xy} = A \cos \xi x \cos \xi y + B \cos \eta x \cos \eta y + C \cos \xi x \cos \xi y$$

czyli moment dewiacyjny wyraża się przez współczynniki elipsoidy bezwładności. Oczywiście tak samo

wyrabi się: $-D_{yz}, -D_{zx}$

Strona mechaniczna ruchów obrotowych. Wogólnym wypadku, gdy jakieś ciało wiruje koło jakiejś osi, to moment siły P wyrabi się:

$$P = \sum (yZ - zY) = \frac{d}{dt} \sum m(y \frac{dz}{dt} - z \frac{dy}{dt}) = \frac{d}{dt} \sum m r^2 \frac{d\varphi}{dt} \\ = \frac{d}{dt} \sum m (y^2 + z^2) \frac{d\varphi}{dt} = \frac{d}{dt} (K_x \frac{d\varphi}{dt}).$$

Analogicznie wywrabi się momenty Q i R . Zatem

$$P = \frac{d}{dt} (K_x \frac{d\varphi}{dt})$$

$$Q = \frac{d}{dt} (K_y \frac{d\psi}{dt})$$

$$R = \frac{d}{dt} (K_z \frac{d\chi}{dt}),$$

gdzie więc P, Q, R oznaczają momenty sił składowe w kierunku osi układu prostokątnego x, y, z ; $\frac{d\varphi}{dt}, \frac{d\psi}{dt}, \frac{d\chi}{dt}$ składowe prędkości wirowania koło tychże osi; K_x, K_y, K_z składowe momenty bezwładności. Zauważymy, że należy ściśle odróżniać te uwarżane momenty od momentów, takienisi samemsi kształtali-
terami oznaczanych, o których mówiliśmy przy elipsoidzie bezwładności; które tam występują jako współczynniki stałe, bo tam układ x, y, z był umocowany w ciele, a uwarżaliśmy różne kierunki osi wirowania. Uwarżane tu momenty bez-

właściwości są na ogół z czasem zmiennie, ponieważ oryentalne ciała względem układu xyz się zmienia.

Najprostszą postać przyjmują te równania w wypadku, gdy elipsoida bezwładności jest kulą, bo wtedy $K_x = K_y = K_z = K$, a więc:

$$\frac{d}{dt}(K \frac{d\varphi}{dt}) = P$$

$$\frac{d}{dt}(K \frac{d\psi}{dt}) = Q$$

$$\frac{d}{dt}(K \frac{d\chi}{dt}) = R$$

[Specjalne zastosowania tych równań, a nawet poprzednich ogólniejszych, mieliśmy już nieraz przedtem. Łatwo dałoby tam z reguły, że ciało wiruje np. tylko koło osi z . Wtedy oczywiście moment bezwładności był K_z niezmienny w czasie, $\frac{d\varphi}{dt} = \frac{d\psi}{dt} = 0$ i równanie było:

$$K_z \frac{d^2\chi}{dt^2} = R$$

(analogon do $m \frac{d^2x}{dt^2} = X$).

Dla naszych celów zauważmy, że elipsoida bezwładności jest kulą i że ciało wiruje początkowo koło osi

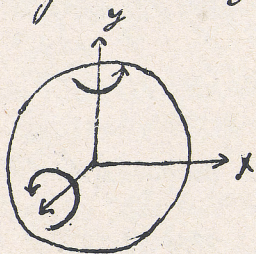


Fig 119.

y z prędkością $\frac{d\psi}{dt} = \omega$ w kierunku strzałki; natomiast $\frac{d\varphi}{dt} = \frac{d\chi}{dt} = 0$.

Nie powstaną tu żadne momenty

dewiacyjne i przeto os' obrotu bedzie pozostawać w tych warunkach niezmienną, przechodząc przez środek masy ciała. Środek ten, ponieważ chcemy brać tylko pod uwagę ruchy wirowe, możemy przedstawić sobie w jakowyś sposób w przestrzeni utwierdzonej. Ten stan pocrathowy ciała bedzie scharakteryzowany równaniami:

$$K \frac{d^2\varphi}{dt^2} = P = 0$$

$$K \frac{d^2\psi}{dt^2} = Q = 0$$

$$K \frac{d^2\chi}{dt^2} = R = 0$$

Natomiast ciało tak wirujące wywierzmy pewien moment przez krótki czas τ , tak by ciało wirowało np. koło osi z . Drugi ten stan scharakteryzowany bedzie równaniami:

$$K \frac{d^2\varphi}{dt^2} = P = 0$$

$$K \frac{d^2\psi}{dt^2} = Q = 0$$

$$K \frac{d^2\chi}{dt^2} = R$$

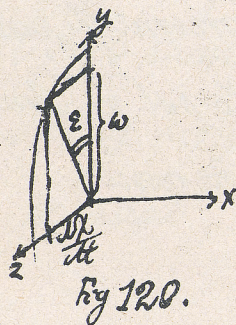
Zapytamy się, jaka jest końcowa wartość tej operacji. Cioło nabierze pewnej prędkości wirowania koło osi z . Mamy

$$K \frac{d\chi}{dt} = \int R dt = R\tau$$

Stąd zatem: $\frac{d\chi}{dt} = \frac{R\tau}{K}$. Inne prędkości zostają niezmiennione, a więc: $\frac{d\varphi}{dt} = 0$, $\frac{d\psi}{dt} = 0$.

Gdy weźmiemy pod uwagę jakiś element tego ciała, to ruch jaki on wykonuje jest taki: porusza się on naprzód np. wzdłuż osi x , a potem zwróci się on nagle w kierunku innym zbliżając się np. ku osi z .

W pierwszym stadium ruchu os' nie zmieniała swego kierunku. Skoro jednak wywarliśmy nacisk, to ponieważ nie jest ona umocowana, kierunek jej się zmieni. Można z łatwością oznaczyć kąt, jaki ta os' zamyka ze swym kierunkiem poprzednim. Odetniemy



na osi y prędkość ω , na osi z prędkość $\frac{dx}{dt} = \frac{R\tau}{K}$. Ponieważ $\frac{dy}{dt} = 0$, więc os' w tem nowem położeniu będzie leżała na płaszczyźnie yz . Jasną więc jest rzecz, że będzie:

$$\tan \varepsilon = \frac{\frac{dx}{dt}}{\omega} = \frac{\frac{R\tau}{K}}{\omega}$$

Chcieliśmy naszym naciskiem os' niejako odprchnąć a ona tymczasem zbliżyła się ku nam. Z ostatniego rozumowania wynika też natychmiast, że im szybciej ciało wiruje koło osi y , tem mniej się wychyli przy wywarciu nacisku. Znane jest to popularnie pod nazwą:

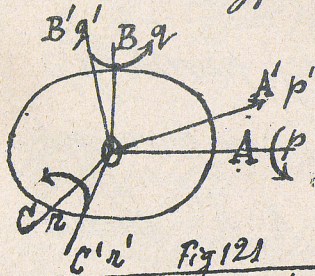
Mechanika

zachowania osi wirowania. Jakiś przy tym samym nacisku na ciało a dobranej prędkości ω , też może się stać dowolnie mały.

To cośmy powiedzieli dla elipsoidy bezwładności zdegenerowanej w kulę można zastosować ogólnie dla elipsoidy trójosiowej tylko tu trzeba rozważyć trzy momenty. Jeszcze do tego wrócimy przy teorii Poincaré'a i tam sobie bliżej z tego zdamy sprawę.

Równania Eulera. Dotychczas zdawaliśmy sobie sprawę z ruchu ciała sztywnego około stałego punktu na podstawie elipsoidy bezwładności. W sposób geometryczny możemy na podstawie tego oznaczyć wielkość momentu bezwładności dla ułożonej osi, ale przebiegu prędkości stąd wywnioskować nie można. Do tego służą równania Eulera.

W celu wyprowadzenia tych równań ułożymy elipsoidę bezwładności o momentach głównych A, B, C , a prędkościach wirowania około osi



głównych $p = \frac{dp}{dt}$, $q = \frac{dq}{dt}$, $r = \frac{dr}{dt}$. Po upływie bardzo krótkiego czasu t' niech moment A zmieni kierunek w A' (wielkość bezwzględna A zostaje taka sama). Moment wycinkowy dla tej nowej pozycji będzie $A p'$. Na osi zatem dawnej przypadnie z niego $A p' \cos \angle A'OA$.

Kierunek osi B przejdzie w tym samym czasie na B' , a stąd na osi uwzględnionej pierwotnej przypadnie moment wycinkowy $B q' \cos \angle B'OA$.

Analogicznie stanie się z momentem C i na uwzględnionej osi przypadnie $C r' \cos \angle C'OA$.

Stąd dostajemy na przyrost momentu wycinkowego w tym krótkim czasie t' w kierunku osi A :

$$A p' \cos \angle A'OA + B q' \cos \angle B'OA + C r' \cos \angle C'OA - A p = P_a dt$$

Aby otrzymać równanie Eulera wystarczy ten wyraz jeszcze nieco przekształcić. W tym celu założymy koło punktu O kulę o promieniu $= 1$ i oznaczymy na niej punkty, w których osie kolejno przecinają jej powierzchnię, A, A' . Łuk

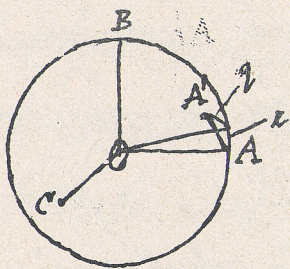


Fig. 122.

AA' zakreślony w tym krótkim czasie t oznaczac' będzie prędkość, której składowe są r i q . Stąd $\angle A'OA = dt \cdot \sqrt{q^2 + r^2}$. Łatem przy założeniu, że kąty są bardzo małe, dostaniemy:

$$\cos A'OA = 1 - \frac{q^2 + r^2}{2} dt^2.$$

Kąt BOA wynoszący $\frac{\pi}{2}$ przeszedł w tym krótkim czasie na kąt $B'OA$. Wzrost on skutkiem obrotu koła ośi z o łuk elementarny $r dt$. Łatem

$$\cos B'OA = \cos\left(\frac{\pi}{2} + r dt\right) = -\sin(r dt) = -r dt$$

Analogicznie $\angle COA$ przeszedł w tym krótkim czasie na $\angle C'OA$. Zmniejszył się on, ale to tylko skutkiem obrotu o koło ośi y . Łatem

$$\cos C'OA = \cos\left(\frac{\pi}{2} - q dt\right) = \sin(q dt) = q dt.$$

Prędkości p, q, r przeszły w tymże czasie na $p' = p + dp$, $q' = q + dq$, $r' = r + dr$. Wzór tedy poprzedni powstawa wieniu tych wartości przejdzie na:

$$A\left(p + \frac{dp}{dt} dt\right)\left(1 - \frac{q^2 + r^2}{2} dt^2\right) - B\left(q + \frac{dq}{dt} dt\right)r dt + C\left(r + \frac{dr}{dt} dt\right)q dt - Ap = P_2 dt.$$

Wykonując naznaczone tu mnożenia i opuszczając wielkości wyższego rzędu w porównaniu z pierwszym

dostajemy równanie wypadkowe:

$$A \frac{dp}{dt} + (C-B) qz = P_a$$

Gdyby w tem równaniu składnik drugi po lewej stronie odpadł, to nie mielibyśmy w nim nic innego, jak już nieraz używane przez nas równanie

$$K_x \frac{d^2 \varphi}{dt^2} = P$$

zachodzące dla ruchu obrotowego wyłączenie koła osi x . Ponieważ jednak przez nas obecnie rozpatrywany ruch obrotowy nie odbywa się koło jednej specjalnej osi, lecz koło osi zmiennej takiej, żeby momenty bezwładności A, B, C zmieniały swe kierunki, a zachowały tylko wielkość bezwzględna taką samą, więc to jest uwzględnione przez składnik drugi.

Przez prostą zmianę znaków dostajemy dalsze równania:

$$B \frac{dq}{dt} + (A-C) zp = Q_b$$

$$C \frac{dz}{dt} + (B-A) pq = R_c$$

System ten równań jest 1^o rzędu ze względu na prędkości wirowania p, q, z i stąd dogodny do cał-

kowania. Aby dostać ruch, trzeba wprowadzić jeszcze raz całkować, ale owe całkowania są przynajmniej rozdzielone na dwa etapy.

Zastosowanie równań Eulera. Zastosować możemy równania dopiero co wyprowadzone do zdania sobie sprawy z tego, jak się będzie zachowywać ciało, samo sobie porzucone, gdy na nie nie będą działać żadne siły zewnętrzne. Równania Eulera upraszczają się w tym razie, bo $P_a = Q_b = R_c = 0$. Będzie więc:

$$\begin{array}{l|l|l} A \frac{dp}{dt} + (C-B)qr = 0 & p & A_p \\ B \frac{dq}{dt} + (A-C)rp = 0 & q & B_q \\ C \frac{dr}{dt} + (B-A)pq = 0 & r & C_r \end{array}$$

Mnożąc ten system równań przez: p, q, r dostajemy:

$$Ap \frac{dp}{dt} + Bq \frac{dq}{dt} + Cr \frac{dr}{dt} = 0,$$

którego całka jest

$$Ap^2 + Bq^2 + Cr^2 = \text{const.}$$

Równanie to można było z góry przewidzieć; wyraża ono bowiem zachowanie energii kinetycznej. Już dawniej widzieliśmy, że energia kinetyczna ciała sztywnego wi-

rującego, o momencie bezwładności ze względu na daną os' K a o prędkości kątowej w wyraża się: $L = \frac{1}{2} K \omega^2$. Oż lewa strona wyraża właśnie podwójną energię kinetyczną i napiszemy zatem:

$$A p^2 + B q^2 + C r^2 = 2E$$

Pomnożymy teraz system równań Eulera przez Ap , Bq , Cr i dodajmy te równania znnowu, to dostaniemy:

$$A^2 p \frac{dp}{dt} + B^2 q \frac{dq}{dt} + C^2 r \frac{dr}{dt} = 0$$

Znnowu całką tego równania, jak widziemy bezpośrednio, jest:

$$A^2 p^2 + B^2 q^2 + C^2 r^2 = G^2 \text{ (stała)}$$

Co to równanie oznacza? Stoczmy Ap , Bq , Cr są momentami wycinkowymi. Równanie więc to powiada, że wypadkowy moment wycinkowy jest stały, co do swej wartości bezwzględnej. Z tego, że równanie to jest równoważne następującemu:

$$(iAp + jBq + kCr)^2 = (G)^2$$

gdzie już wchodzą wektory, wnosimy, że również co do kierunku zostaje moment wycinkowy wypadkowy

niezmienny w czasie. Umyślając to geometrycznie powiećlibysmy: suma wszystkich rantów pól na jakas płaszczyznę, jakie zakreslają wektory wszystkich punktów ciała, poprowadzone z dowolnego punktu jako początku (np. ze środka masy) jest wielkością niezmienną, o ile na ciało nie działają siły zewnętrzne; również wektor \mathbf{N} przedstawiający moment wypadkowy wypadkowy niezmienną się w czasie. Również więc i wnioski z drugiego równania wyprowadzane były z góry do przewidzenia.

W dalszych już rozważaniach wyprowadzimy teoremy Poinsota. Zauważymy, że oba rozważone wyżej równania:

$$A p^2 + B q^2 + C r^2 = 2E$$

$$A^2 p^2 + B^2 q^2 + C^2 r^2 = G^2$$

przedstawiają elipsoidy o wspólnym środku. Pierwsze z nich przedstawia elipsoidę bezwładności. Chcąc ją sprowadzić do formy:

$$A \xi^2 + B \eta^2 + C \zeta^2 = 1$$

wystarczy całe tamto równanie podzielić przez $2E$, skąd

wyniknie: $\xi = \frac{p}{\sqrt{2E}}$, ... czyli $p = \xi \sqrt{2E}$, $q = \eta \sqrt{2E}$, $z = \zeta \sqrt{2E}$.

Wypadkowa prędkość wirowania $\omega = p \sqrt{2E}$.

Obie uwazane elipsocidy spełnione są równocześnie przez te same współrzędne p, q, z , a że mają różne wymiary więc muszą się przecinać. Liniowa wspólnego środka obu elipsoid z punktami kra-

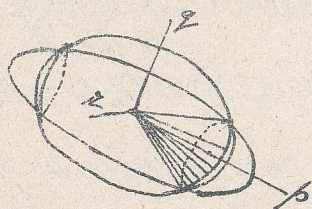


Fig. 123

wej przecięcia zakreślać będzie stożek, na którego pobocznicę pozostawać będzie stała oś wirowania ciała swobodna.

Aby sprawę jeszcze jaśniej przedstawić podzielimy równanie elipsoidy bezwładności przez tanto drugie wyciągając zeń drugi pierwiastek. Będzie

$$p \cdot \frac{Ap}{\sqrt{A^2 p^2 + B^2 q^2 + C^2 z^2}} + q \frac{Bq}{\sqrt{A^2 p^2 + B^2 q^2 + C^2 z^2}} + z \frac{Cz}{\sqrt{A^2 p^2 + B^2 q^2 + C^2 z^2}} = \frac{2E}{g}$$

Jak można to równanie interpretować? Spółczynniki

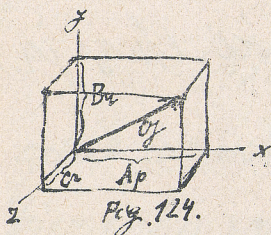


Fig. 124.

przy p, q, z mają kształt cosinusów nachylenia. Jeśli bowiem na oś układu odetniemy sobie momenty

wycinkowe Ap, Bq, Cz i adozymy je w wypadkowy

moment wycinkowy η , to mamy:

$$\frac{Ap}{\sqrt{A^2p^2 + B^2q^2 + C^2r^2}} = \frac{Ap}{\eta} = \cos(p\hat{\eta}), \quad \frac{Bq}{\sqrt{A^2p^2 + B^2q^2 + C^2r^2}} = \cos(q\hat{\eta}), \quad \frac{Cr}{\sqrt{A^2p^2 + B^2q^2 + C^2r^2}} = \cos(r\hat{\eta}).$$

Jeśli jednak w oznaczamy wypadkową prędkość wirowania, to mamy też równości:

$$p = \omega \cos(\omega\hat{p}), \quad q = \omega \cos(\omega\hat{q}), \quad r = \omega \cos(\omega\hat{r})$$

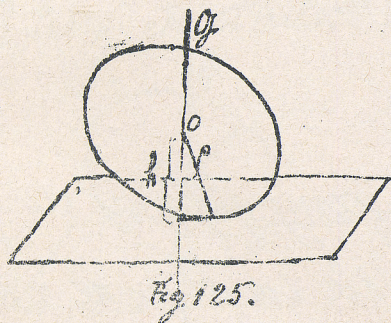
Wstawiając te oznaczenia w nasze równanie, doprowadzimy je do formy:

$$\omega \underbrace{\{ \cos(\omega\hat{p}) \cos(p\hat{\eta}) + \cos(\omega\hat{q}) \cos(q\hat{\eta}) + \cos(\omega\hat{r}) \cos(r\hat{\eta}) \}}_{\cos(\omega\hat{\eta})} = \text{const}$$

czyli

$$\omega \cos(\omega\hat{\eta}) = \text{const.}$$

Prędkość wirowania ω wyraża się, jak wiemy w elipsoidzie bezwładności, $\omega = \rho \sqrt{2E}$ (gdzie $\rho = \sqrt{\xi^2 + \eta^2 + \zeta^2}$).



zatem

$$\rho \cos(\omega\hat{\eta}) = \frac{\text{const}}{\sqrt{2E}} = \text{const.}$$

Je zaś kierunek η jest niezmienny w czasie, więc to równanie

powiada, że rzut odcinka ρ na kierunek η , mierzimy ten rzut h , jest wielkością stałą: $h = \text{const.}$

ρ może zmieniać swoje wartości, ale zmienia je zawsze tak, iż punkt jego końcowy leży zawsze na płaszczyźnie, normalnej do U w niezmiennym odstepie h od środka O się znajdującą. Równanie takiej płaszczyzny jest:

$$x \cos \alpha + y \cos \beta + z \cos \gamma - h = 0$$

gdzie h ma znaczenie powyższe, zaś α, β, γ oznaczają kąty zawarte między osiami a kierunkiem h . Lecz osie mają u nas kierunki osi głównych elipsoidy, zatem równanie tej płaszczyzny jest:

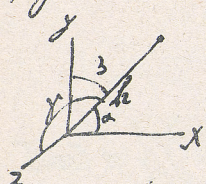


Fig 126.

$$x \frac{Ap}{\sqrt{Ap^2 + Bq^2 + Cz^2}} + y \frac{Bq}{\sqrt{Ap^2 + Bq^2 + Cz^2}} + z \frac{Cz}{\sqrt{Ap^2 + Bq^2 + Cz^2}} - h = 0$$

Powiadamy, że równanie to jest zároveň równaniem stycznej płaszczyzny do elipsoidy bezwładności. Jak się o tem przekonać? Oto każemy, że zachodzi równanie elipsoidy:

$$Ap^2 + Bq^2 + Cz^2 = 2E$$

i znajdziemy równanie płaszczyzny stycznej do tej elipsoidy. Jeśli to równanie będzie identyczne z równaniem płaszczyzny poprzedniej, to twierdzenie nasze będzie udowodnione. Lecz równanie stycznej płaszczyzny do elipsoidy z punktem styczności p, q, z

przeobstawi się:

$$Apx + Bqy + Cz z = 2E,$$

gdzie x, y, z oznaczają współrzędne bieżące. Dzielic to równanie obustronnie przez $G = \sqrt{A^2 p^2 + B^2 q^2 + C^2 z^2}$, dostajemy:

$$x \frac{Ap}{\sqrt{A^2 p^2 + B^2 q^2 + C^2 z^2}} + y \frac{Bq}{\sqrt{A^2 p^2 + B^2 q^2 + C^2 z^2}} + z \frac{Cz}{\sqrt{A^2 p^2 + B^2 q^2 + C^2 z^2}} = \frac{2E}{G}.$$

Równanie identyczne z poprzednim. Zatem istotnie elipsoida bezwzględności dotyka się swej niezmiennej płaszczyzny w przestrzeni. Ponieważ p. tj. owa styczniowa środka elipsoidy z punktem styczności jest co chwila inna, więc elipsoida toczy się po płaszczyźnie niezmiennej (nie ślizga się). Prędkość więc w takim ruchu w kierunku styczonym równa się zero. Skutkiem owego toczenia się elipsoidy zakreśla

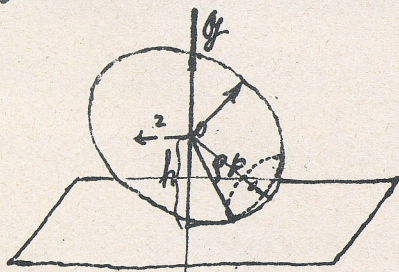


Fig. 127.

ją kolejne punkty styczności drogi: na elipsoidzie, którą nazywamy polhodyą, i na płaszczyźnie stycznej, którą

znowu nazywamy bez-(ser-)polhodyą. Cały tedy ruch ciała sobie samemu porostawionego bez dwu-

łania się zewnętrznych odbywa się tak, że stożek polhodyowy odwołuje się na stożku herpolhodyowym.

Na podstawie tego można już sobie zdać sprawę ze stałości osi obrotu. Można tu rozróżnić trzy wypadki, zależnie od tego czy ruch ciała przed poruszeniem swobodnem odbywał się koło osi w bliskości osi największej, najmniejszej, średniej pomiędzy brzo-
ma osiami głównymi elipsoidy bezwładności. Już same rysunki sprawę wyjaśniają. Trzeba zwrócić tylko na

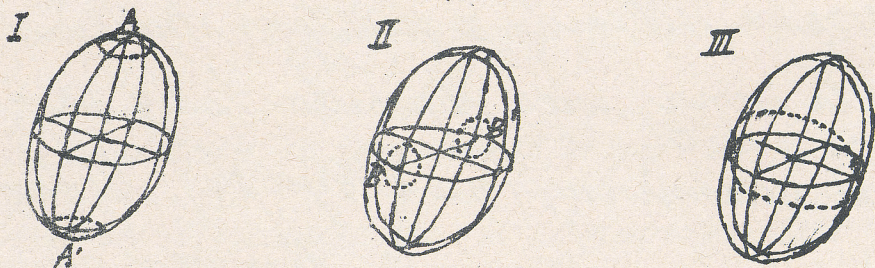


Fig 128.

to uwagę, że karolazarowa oś chwilowa przechodzi przez punkty styczności płaszczyzny, która stale od środka elipsoidy zostaje w odległości h . Gdy więc oś chwilowa ma przechodzić w bliskości osi największej (I.), to odległość h będzie utrzymana tylko przez to że elipsoida toczy się będzie po płaszczyźnie stycznej swoimi punktami blisko $A, (A')$ znajdującymi się. Każdy

punkt dalej się znajdujący na elipsoidzie od A , (A'), niż punkt przez który przechodziła oś wirowania w pierwszej chwili. powodowałby zmianę owego h . Tak samo każdy bliżej. Łato więc będzie tak wirować, że kąt, jaki korydorzowa oś zamykać będzie z kierunkiem N będzie mały. Polhodya tworzyć będzie krzywą zamkniętą o niernacznej długości, a również łez polhodya nie będzie zataczać wielkich kęgów na płaszczyźnie styecznej. Podobnie się rzecz będzie mieć, gdy oś chwilowa znajduje się w bliskości osi najmniejszej (II). Inaczej atoli już będzie, gdy oś chwilowa zamyka mały kąt w pierwszej chwili z osią Średnią (III). Pomysłmy bowiem sobie cały pech płaszczyzn przechodzących przez oś najwęższą. Utworzą one z powierzchnią elipsoidy przekroje. Na korydorym z nich można znaleźć punkt, iż płaszczyzna styeczna przezeń przechodząc będzie o h odległa od środka elipsoidy i wszystkie te punkty tworzą linię ciągłą. Otóż teraz będzie polhodya otaczać całą elipsoidę i oś będzie już teraz znownie odchyłać się. Jeśli postępuj-

my się analogią, do przypadków równowagi, to powie-
my, że dwa pierwsze wypadki zachowania się chwilo-
wej osi obrotu odpowiadają równowadze stałej, zaś
trzeci równowadze niestałej.

Porostaje nam jeszcze zdać sobie sprawę z zależ-
ności unazianego ruchu drotowego (koła osi swo-
bodnej) od czasu. Do tego służą równania Eulera.
W wypadku jednak całkiem ogólnym dostalibyśmy
całki eliptyczne; ograniczymy się tedy do wypadku
mniej ogólnego, ważnego jednak w praktyce, przyjmu-
jąc symetrię obrotową tj. założymy, że momenty bez-
władności ze względu na dwie osie główne są sobie równe:

$$B = C$$

Pod tym warunkiem i tym przyjęściu, który wca-
łem rozważaniem tego ustępu czynimy, że na ciało
wirujące nie działają momenty zewnętrzne, równania
Eulera przyjmą postać:

$$A \frac{dp}{dt} = 0$$

$$B \frac{dq}{dt} + (A-B)pz = 0 \quad \left| \frac{d}{dt} \right.$$

$$B \frac{dr}{dt} + (B-A)qz = 0$$

Stąd $p = \text{const}$ tj. prędkość wirowania koła osi, różni-
cej się od dwu pozostałych (sobie równych) jest niezmien-
na w czasie.

Uppochadniając drugie równanie względem czasu
dostajemy:

$$B \frac{d^2 q}{dt^2} + (A - B) \frac{d^2 r}{dt^2} = 0$$

α wyrażając $\frac{dr}{dt}$ z równania trzeciego, otrzymu-
jemy:

$$B \frac{d^2 q}{dt^2} = \frac{(B-A)^2}{B} p^2 q$$

Równanie różniczkowe drugiego rzędu, podobne całkiem
do tego, jakie już niejednokrotnie wyprowadziliśmy
dla wahadła. Wiemy stąd już natychmiast rozwią-
zanie: q wyrazi się jako funkcja periodyczna, cza-
su:

$$q = q_0 \sin \alpha t$$

spełniające się pod warunkiem, że $\alpha^2 = \frac{(B-A)^2}{B} p^2$. Okres
zmienności prędkości q wyrazi się: $T = \frac{2\pi}{\alpha} = \frac{2\pi}{p} \cdot \frac{B}{B-A}$.

Tak samo będzie dla prędkości r . Znowu wyrazi się
ona jako funkcja periodyczna czasu i będzie posia-
dać oczywiście okres taki sam.

Powiemy więc, jeśli elipsoid bezwładności jest obrotową spłaszczoną np., (wtedy bowiem będzie zachodzić właśnie wypadek $B=C$; $A \neq B$), to ruch obrotowy tak się będzie odbywał, że wystąpią pewne ruchy peryo-
dyczne, a mianowicie chwilowa oś wypadkowa zakreślać będzie stożek kołowy. Polhoda będzie kołem. Okres tego ruchu :

$$T = \frac{2\pi}{p} \frac{B}{B-A}$$

będzie tem dłuższy im stała prędkość obrotowa p jest mniejsza i im różnica momentów bezwładności: $B-A$ jest mniejsza.

Przeprowadzając odpowiednie rachunki dla ziemi, dostajemy na stałą prędkość obrotową: $p = \frac{2\pi}{24.60.60}$ (iloraz drogi i czasu). Momenty bezwładności A i B , dają się też bez większych trudności obliczyć. Ten drogą dostał Euler: $T = 303$ dni. że oś chwilowa
obrotu ziemi zmienia swoje położenie z czasem to stwierdzono przez obserwacje. Zmiany położenia chwilowej osi

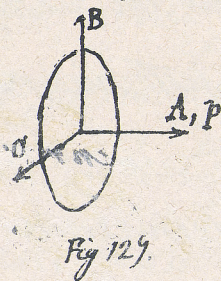


Fig 129.



Fig 129.

obrotu obserwuje się najpewniej przez równoczesne pomiary szerokości astronomicznej a polaris z dwu przeciwnych miejsc na ziemi. Można potem kolejno porządzić osi chwilowej graficznie zanotować tworząc sobie odpowiednią mapę okolic polbiegunowych i dostać się w ten sposób do odpowiedzi. Z tych pomiarów przekonano się jednak, że T tj. okres perturbacji Eulerowskich nie wynosi 303 dni ale 420 dni. (Newcomb, Rudaki). Różnica ta pochodzi stąd, że rachunek Eulera był przeprowadzony dla ciała sztywnego, trzeba więc uwzględnić, że ziemia nie jest jednolitą i nie posiada pewnej sprężystości. Co do wielkości wychyleń to są one bardzo małe około $0.15''$ tj. odstępy na ziemi wynoszą kilka metrów tak, że dopiero precyzyjne pomiary zostały je wychwycić. Z tych pomiarów otrzymano nie jest kółem ani wogóle jakąś krzywą regularną. Jest to krzywa dziwaczenie poplątana. (Z większej liczby obserwacji może da się zauważyć, że krzywa ta skłania się do kształtu obwodu koła). Przyczyny tego nie są na razie dość wyjaśnione, bo badania są utrudnione. Zachodzą tu zadania

Mechanika strk XXVI.

je się rozpręży atmosferyczne. Pokrycie np. Syberyi warstwą śniegu spowodowałoby już dosyć znaczne wychylenie.

Powyzsze rozważania dotyczyły ruchu obrotowego ciała sztywnego nie podlegającego momentom sił. Siły translatoryczne mogą istnieć. Nie wpływają one, jak wiemy na ruch obrotowy. Teraz przejdziemy do rozpatrzenia ruchu obrotowego w którym atoli momenty sił zewnętrznych działają.

Ruch kraźnika. Ruch ciała sztywnego jest określony, jak wiemy, w zupełności sześcioma równaniami analitycznymi niezależnymi. Powiadamy stąd, że ciało posiada sześć stopni swobody ruchu. Te ilości możemy w dowolny sposób ograniczać. Jeśli utworzymy tak warunki, że ciało sztywne musi pozostać na jakiejś powierzchni, to posiadać ono będzie już tylko pięć stopni swobody ruchu. Jeśli ciało musi się poruszać po pewnej linii, to posiada ono już tylko

crtery, a jeśli ma pozostać w pełnem miejscu, to już tylko trzy stopnie swobody ruchu tj. może się dowolnie jeszcze obracać. Te ogólne uwagi możemy stosować do



Fig. 130.

krażka. Gdy kraziek puścimy wolno na stół np. to damy mu pięć stopni swobody ruchu, gdy zmusimy go do poruszania się wzdłuż jakiejś nitki lub krawędki

to będzie on miał cztery stopnie swobody ruchu, gdy wreszcie włożymy go jednym końcem do łożyska pewnego to zostanie mu tylko trzy stopnie swobody ruchu tj. będzie mógł się kręcić około osi swobodnej.

Poprzednie ruchy posuwiste, rozpatrywane bliżej przy ruchu punktu materialnego, nie interesują nas tu.

Natomiast zwrócimy uwagę na ruchy obrotowe, jakie kraziek odbywa pod wpływem siły ciężkości. By można rzecz łatwiej ująć matematycznie, idealizujemy nasz kraziek tak, że ma on budowę zupełnie symetryczną i pomijamy wszelkie tarcie o łożysko, opór ośrołka i t.p. co by sprawę mogło komplikować. Jednem słowem: kraziek nasz jest sztywny, jednym

swoim punktem stale utwierdzonego w torysku, w czasie obrotu skłata nań tylko siła ciężkości. Elipsoida bezwładności będzie obrotową i założymy, że równe momenty bezwładności są A i B , trzeci C jest różny od tych dwu. Odpowiednie prędkości naznaczymy p, q, r .

Aby badać teraz ruch kątka, możnaby się powołać na równanie Eulera, które teraz przyjmą postać taką:

$$A \frac{dp}{dt} + (C-A)qr = P$$

$$A \frac{dq}{dt} + (A-C)pr = Q$$

$$C \frac{dr}{dt} = R$$

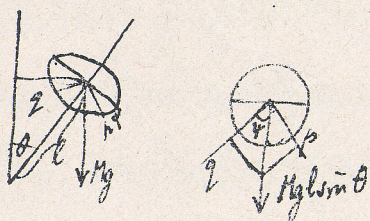


Fig 136

Przyjem momenty siły P, Q, R łatwo wyznaczyć jako składowe momentu wypadkowego:

$$Mgl \sin \theta.$$

Od momentu tego (ciężkości) jest prostopadła do osi kątka. Skąd mamy natychmiast:

$$P = Mgl \sin \theta \sin \varphi, \quad Q = Mgl \sin \theta \cos \varphi, \quad R = Mgl \sin \theta \cos \frac{\pi}{2} = 0$$

Zatem $\frac{dr}{dt} = 0$ czyli prędkość $r = \text{const.}$ Prędkości są p i q

~~nie zmieniają~~ się one stale. Składają się one wszystkie razem według prawa dodawania wektorów.

Wielkości p, q, r dające nam wyobrażenie o ruchu krawki są odniesione do elipsoidy bezwładności tegoż krawki nie określają nam jednak orientacji krawki w przestrzeni. Jeśli więc nam chodzi o ruch krawki w przestrzeni, musimy p, q, r wyrazić jako funkcje pewnych współrzędnych przestrzennych.

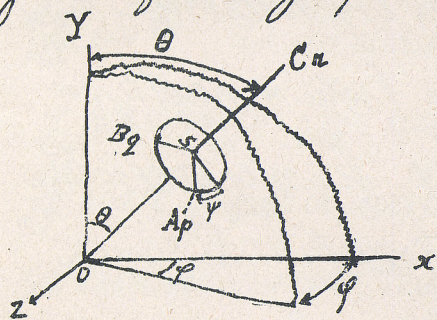


Fig. 131.

W tym celu wyobraźmy sobie, że koniec osi krawki umieszczony jest w początku układu, a przez oś krawki i oś y prowadzimy płaszczyznę. Kąt,

jaki ta płaszczyzna zamyka z płaszczyzną (xy) nazwamy literą φ , kąt jaki oś wirowania krawki tworzy z osią y literą θ , wreszcie kąt jaki tworzy oś A (siła oś względem której moment bezwładności jest A) z płaszczyzną poprowadzoną przez oś wirowania krawki literą ψ .

Aby teraz wyrazić:

$$\left. \begin{matrix} p \\ q \\ r \end{matrix} \right\} \text{ jako } f_c \left(\frac{d\theta}{dt}, \frac{d\varphi}{dt}, \frac{d\psi}{dt} \right)$$

wystarczy zauważyć że można uważać p, q, r jako wektory wypadkowe składowych części wektorów $\frac{dx}{dt}, \frac{dy}{dt}, \frac{dz}{dt}$ w odpowiednich kierunkach. Treba tedy $\frac{dx}{dt}, \frac{dy}{dt}, \frac{dz}{dt}$ porządkować w pewne kierunki i tak otrzymane wektory składowe potem w odpowiednie kierunki p, q, r .

W myśl tych ogólnych uwag dla wyznaczenia r będziemy tak rozmawiać: Zmiana kąta φ nastąpić może tylko skutkiem obrotu koła osi y . Na niej więc odetniemy wektor prędkości $\frac{dy}{dt}$; z prędkości tej w kierunku prędkości r przypadnie $\frac{dy}{dt} \cos \theta$.

Zmiana kąta θ nastąpić może tylko skutkiem obrotu koła osi z , ruchomej, stale prostopadłej do płaszczyzny przechodzącej przez oś wirowania krążka. Na tej więc osi z odetniemy prędkość $\frac{dz}{dt}$; w kierunku r przypadnie z niej wielkość $\frac{dz}{dt} \cos \frac{\pi}{2} = 0$, ponieważ $\cos \frac{\pi}{2} = 0$.

Nreszcie ze zmian kąta ψ przypadnie w kierunku

z uzyskaniem prędkości: $\frac{dy}{dt} \cos \theta$. Utworzywszy sumę wszystkich tych wielkości, jakie w kierunku z przypadają, dostajemy pierwszy wzór:

$$(1) \quad z = \frac{dy}{dt} \cos \theta + \frac{dy}{dt}$$

W celu wyrażenia p rozumujemy w sposób podobny. Z prędkości: $\frac{dy}{dt}$, którą wyobrażamy sobie jako odcinek na osi wirowania, przypadnie w kierunku z wielkość $\frac{dy}{dt} \cos \frac{\pi}{2}$, bo kierunek p jest prostopadły do osi wirowania.

Z prędkości $\frac{dy}{dt}$ przypadnie w kierunku p wielkość: $\frac{dy}{dt} \cos \alpha$, gdzie atoli kąt $\alpha = \angle p y$ trzeba jeszcze na podstawie wzorów trygonometrii sferycznej przez znane wielkości wyrazić. W tym celu pomysłmy sobie os' y przesuniętą równolegle do swej pierwotnej pozycji do punktu S, i pomysłmy sobie kulę zatoczoną promieniem 1 koła S jako środka. Kąt

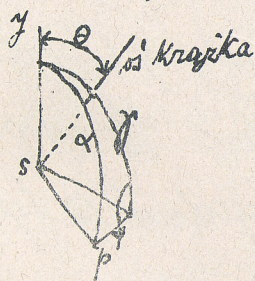


Fig 132

α jest wyrażony przez iuk α koła wielkiego poprowadzonego przez kierunki p i y. Dostajemy więc trójkąt sferyczny o bokach α, γ, ψ , prostokąt

wielkiego poprowadzonego przez kierunki p i y. Dostajemy więc trójkąt sferyczny o bokach α, γ, ψ , prostokąt

ny, bo płaszczyzna poprowadzona przez oś krawka jest prostopadła do samego krawka. Znany jest wzór w trygonometrii sferycznej: $\cos \alpha = \cos \varphi \cos \psi$. Leżąc widocznie $\varphi = \frac{\pi}{2} + \theta$, zatem $\cos \alpha = -\sin \theta \cos \psi$. Na kierunek więc p przypadnie z $\frac{d\varphi}{dt}$ wielkość: $-\frac{d\varphi}{dt} \sin \theta \cos \psi$.

Z prędkości: $\frac{d\theta}{dt}$, odczytej na osi z przypadnie w kierunku p, jak to natychmiast widać, skoro tylko pomyślimy sobie oś z przesuniętą do płaszczyzny krawka, wartość: $\frac{d\theta}{dt} \sin \psi$. Utworzywszy sumę

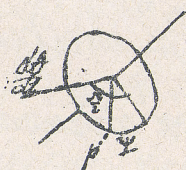


Fig. 133.

wszystkich prędkości, które w kierunku p przypadają dostajemy drugi wzór:

$$(2) \quad p = \frac{d\theta}{dt} \sin \psi - \frac{d\varphi}{dt} \sin \theta \cos \psi$$

Jeszcze pozostało nam do wyrachowania q: Z prędkości $\frac{d\varphi}{dt}$ przypadnie w kierunku q, wartość $\frac{d\varphi}{dt} \cos \psi$.

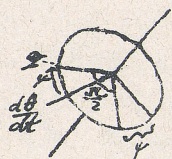


Fig. 134.

Z prędkości $\frac{d\psi}{dt}$ przypadnie w tymże kierunku: $\frac{d\psi}{dt} \cos \frac{\pi}{2} = 0$

Z prędkości $\frac{d\theta}{dt}$, odczytej więc na osi z przypadnie w tymże kierunku wielkość $\frac{d\theta}{dt} \cos \beta$, gdzie $\cos \beta = \cos \theta$ (z q) wyznaczamy

znowu ze wzorów trygonometrii sferycznej, biorąc pod uwagę trójkąt prostokątny, zamknięty łukami wielkich kół: β , $\frac{\pi}{2} + \theta$, $\frac{\pi}{2} + \psi$. Bedzie:

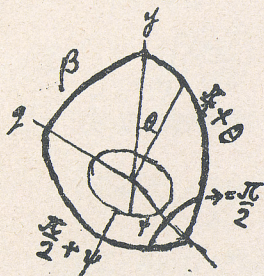


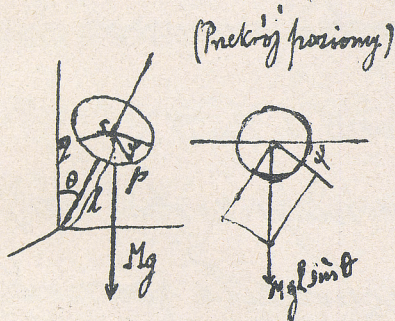
Fig 135

$$\cos \beta = \sin \theta \sin \psi,$$

czyli w kierunku q przypadnie $\frac{dq}{dt}$ wielkość: $\frac{dq}{dt} \sin \theta \sin \psi$. Sumując znowu wynalezione trzy prędkości w kierunku q dostajemy trzeci wzór:

$$(3) \quad q = \frac{d\theta}{dt} \cos \psi + \frac{d\psi}{dt} \sin \theta \sin \psi.$$

Wzory (1), (2), (3) są to wzory Eulera. Mając owe wzory transformacyjnie i wyrażając momenty sił P i Q :



(Prękoj' poziomy)

$$P = Mgl \sin \theta \sin \psi$$

$$Q = Mgl \sin \theta \cos \psi$$

możemy to wszystko wstawić w równania Eulera i wykonać całkowanie. Prostszym jest

sposób opierać się na znanych nam dwu zasadach, obowiązujących dla ciała sztywnego, zasadzie zachowania energii mechanicznej i zasadzie zachowania mo-

mentów wycinkowych. Zasady te przy założeniach, pod którymś ruch kątka rozpatrujemy, są oczywiście ważne.

Zasada zachowania energii daje nam równanie:

$$E + Mgl \cos \theta = \text{const}$$

gdzie energia kinetyczna $= E = \frac{Ap^2 + Bq^2 + Cz^2}{2} = \frac{A(p^2 + q^2)}{2} + \frac{Cz^2}{2}$, gdzie z_0 oznacza, jak to powiedzieliśmy, stałą prędkość wirowania. Stąd

$$A(p^2 + q^2) + Cz_0^2 + 2Mgl \cos \theta = \text{const}$$

Według wzorów transformacyjnych jest:

$$p^2 + q^2 = \left(\frac{d\theta}{dt}\right)^2 + \left(\frac{d\varphi}{dt}\right)^2 \sin^2 \theta$$

a więc równanie poprzednie przechodzi na inne:

$$A \left[\left(\frac{d\theta}{dt}\right)^2 + \left(\frac{d\varphi}{dt}\right)^2 \sin^2 \theta \right] + Cz_0^2 + 2Mgl \cos \theta = \text{const.}$$

Kąt θ jest zmienny i możemy co do niego zrobić taką założenie, aby dla pewnego $\theta = \theta_0$, zachodziła równość:

$$\left(\frac{d\theta}{dt}\right)^2 + \left(\frac{d\varphi}{dt}\right)^2 \sin^2 \theta = 0 \quad \left[\text{to znaczy } \frac{d\theta}{dt} = 0 \quad \frac{d\varphi}{dt} = 0 \right].$$

stąd:

$$Cz_0^2 + 2Mgl \cos \theta_0 = \text{const}$$

Równość taka definiuje nam właśnie θ_0 . Odejmyjmy

te równość ostatnią od równania poprzedniego, dostajemy równanie zachowania energii w formie:

$$(I) \quad A\left[\left(\frac{d\theta}{dt}\right)^2 + \left(\frac{d\varphi}{dt}\right)^2 \sin^2 \theta\right] + 2Mgl(\cos \theta - \cos \theta_0) = 0$$

Teraz wyciągniemy jeszcze wnioski z zasady zachowania momentów wycinkowych. Koło osi y nie działa, zoidne momenty sił, zatem moment wycinkowy równy na płaszczyźnie poziomej (xz) jest, w myśl ogólnych twierdzeń, wielkością stałą. Momenty składowe wycinkowe są, jak wiemy, A_p , B_q , C_z . Według więc poprzedniego twierdzenia suma rzutów:

$$A_p \cos \alpha + B_q \cos \beta + C_z \cos \theta = \text{Const},$$

gdzie $\cos \alpha$, $\cos \beta$ mają znaczenia poprzednio wyrachowane; wstawiając takowe i zważając, że $A=B$, mamy:

$$A[-p \sin \theta \cos \varphi + q \sin \theta \sin \varphi] + C_z \cos \theta = \text{Const}$$

Zwracając się teraz do wzorów transformacyjnych na p i q i wstawiając te wartości, dostajemy:

$$(II) \quad A \cdot \frac{d\varphi}{dt} \cdot \sin^2 \theta + C_z \cos \theta = \text{Const}$$

Dla oznaczenia stałej $Const$ zauważymy, że jak przedtem,
dla kąta θ_0 mamy $\frac{d\theta}{dt} = 0$, $\frac{dp}{dt} = 0$ więc

$$C_2 \cos \theta_0 = Const;$$

Odejmyż teraz to równanie od (II), dostaniemy postaci
nieco wygodniejszą:

$$(II^*) \quad A \frac{d\theta}{dt} \sin^2 \theta + C_2 (\cos \theta - \cos \theta_0) = 0$$

Czyniąc teraz założenie, że nachylenie osi krążka mało
się różni od wartości θ_0 , to znaczy że $\theta - \theta_0 = \alpha$ wielkoś-
ci bardzo małej, mamy:

$$\frac{d\theta}{dt} = \frac{d\alpha}{dt}.$$

$$\cos \theta - \cos \theta_0 = -2 \sin \frac{\theta + \theta_0}{2} \sin \frac{\theta - \theta_0}{2} = -2 \alpha \sin \theta_0.$$

Stąd to uproszczenia jakie się zwykło czynić, gdy wielkoś-
ci jakiegś różnią się od siebie mniej niż tego dokładność
naszego rachunku wymaga.

Wstawiając wartości na $\frac{d\theta}{dt}$ i $\cos \theta - \cos \theta_0$ do
równań (I) i (II*) i zastępując w pozostałych skład-
nikach równań (I) i (II*) kąt θ przez θ_0 bardzo

mało się różniący od 0, dostaniemy uproszczone równania:

$$\text{III.} \begin{cases} a) A \left[\left(\frac{d\alpha}{dt} \right)^2 + \left(\frac{d\varphi}{dt} \right)^2 \sin^2 \theta_0 \right] - 4Mgl\alpha \sin \theta_0 = 0 \\ b) A \frac{d\varphi}{dt} \sin^2 \theta_0 - 2Cr_0 \alpha \sin \theta_0 = 0 \end{cases}$$

Rugując z tych dwu równań $\frac{d\varphi}{dt}$, dostaniemy równanie różniczkowe ze względu na zmienną α :

$$\left(\frac{d\alpha}{dt} \right)^2 + \frac{4C^2 r_0^2}{A^2} \alpha^2 - \frac{4Mgl \sin \theta_0}{A} \alpha = 0$$

To równanie da się scałkować. Sprowadzamy je do formy:

$$\frac{d\alpha}{\sqrt{\frac{4Mgl \sin \theta_0}{A} \alpha - \frac{4C^2 r_0^2}{A^2} \alpha^2}} = dt$$

Łz do formuzy
$$\frac{d\alpha}{\sqrt{m\alpha - n\alpha^2}} = dt$$

Lewa strona tego równania da się przedstawić tak:

$$\begin{aligned} \frac{d\alpha}{\sqrt{m\alpha - n\alpha^2}} &= \frac{1}{\sqrt{n}} \frac{d\alpha}{\sqrt{\frac{m}{n}\alpha - \alpha^2}} = \frac{1}{\sqrt{n}} \frac{d\alpha}{\sqrt{\frac{m^2}{4n^2} - \left(\frac{m}{2n} - \alpha \right)^2}} \\ &= \frac{1}{\sqrt{n}} \frac{dz}{\sqrt{\frac{m^2}{4n^2} - z^2}} = \frac{2\sqrt{n}}{m} \frac{dz}{\sqrt{1 - \frac{4n^2}{m^2} z^2}} = \frac{1}{\sqrt{n}} \frac{d\left(\frac{2nz}{m}\right)}{\sqrt{1 - \left(\frac{2nz}{m}\right)^2}} \end{aligned}$$

$$\int \frac{dx}{\sqrt{ma - nx^2}} = \mp \frac{1}{\sqrt{n}} \int \frac{d\left(\frac{2nx}{m}\right)}{\sqrt{1 - \left(\frac{2nx}{m}\right)^2}} = \mp \frac{1}{\sqrt{n}} \arcsin \frac{2n}{m} x =$$

$$= \mp \frac{1}{\sqrt{n}} \arcsin \frac{2n}{m} \left[\pm \left(\frac{m}{2n} - \alpha \right) \right] = \mp \frac{1}{\sqrt{n}} \arcsin \left[\pm \left(1 - \frac{2n\alpha}{m} \right) \right] = t + \text{const.}$$

Przywracając m i n ich znaczenia mamy:

$$\frac{A}{2Cz_0} \arcsin \left(1 - \frac{2Cz_0^2}{AMgl \sin \theta_0} \alpha \right) = t + \text{const}$$

$$\arcsin \left(1 - \frac{2Cz_0^2}{AMgl \sin \theta_0} \alpha \right) = \frac{2Cz_0}{A} t + \varepsilon$$

$$1 - \frac{2Cz_0^2}{AMgl \sin \theta_0} \alpha = \sin \left(\frac{2Cz_0}{A} t + \varepsilon \right)$$

Stąd wreszcie

$$\alpha = \theta - \theta_0 = \left[1 - \sin \left(\frac{2Cz_0}{A} t + \varepsilon \right) \right] \frac{AMgl \sin \theta_0}{2Cz_0^2}$$

czyli

$$\theta = \underbrace{\theta_0 + \frac{AMgl \sin \theta_0}{2Cz_0^2}}_{\text{stała}} - \underbrace{\frac{AMgl \sin \theta_0}{2Cz_0^2} \sin \left(\frac{2Cz_0}{A} t + \varepsilon \right)}_{\text{funkcja okresowa}}$$

Widzimy, że prawa strona tej równości składa się z dwóch części: pierwsza jest wielkością stałą, nazwijmy ją literą Θ_0 , druga natomiast zawiera funkcję periodyczną \sin zależną od czasu. Krótko zapiszemy ten rezultat:

$$\theta = \theta_0 - \frac{AMgl \sin \theta_0}{2C_{r_0}^2} \sin\left(\frac{2C_{r_0}}{A}t + \varepsilon\right).$$

Wstawiając teraz wartość wyrażoną na α w drugie równanie, z których wyszliśmy (III b.), dostaniemy

$$\frac{d\varphi}{dt} = \frac{2C_{r_0}}{A \sin \theta_0} \cdot \frac{AMgl \sin \theta_0}{2C_{r_0}^2} \left[1 - \sin\left(\frac{2C_{r_0}}{A}t + \varepsilon\right)\right]$$

$$\frac{d\varphi}{dt} = \frac{Mgl}{C_{r_0}} \left[1 - \sin\left(\frac{2C_{r_0}}{A}t + \varepsilon\right)\right]$$

skąd:

$$\varphi = \text{Const} + \frac{Mgl}{C_{r_0}} \left[t + \frac{A}{2C_{r_0}} \cos\left(\frac{2C_{r_0}}{A}t + \varepsilon\right)\right]$$

$$\varphi = \text{Const} + \frac{Mgl}{C_{r_0}} t + \frac{AMgl}{2C_{r_0}^2} \cos\left(\frac{2C_{r_0}}{A}t + \varepsilon\right)$$

Znowu rezultat ten krócej zapiszemy:

$$\varphi = \Phi_0 + \frac{AMgl}{2C_{r_0}^2} \cos\left(\frac{2C_{r_0}}{A}t + \varepsilon\right),$$

gdzie Φ_0 jest funkcją liniową argumentu t , drugi składnik natomiast zawiera peryodyczną funkcję \cos . Wprowadźmy jeszcze skrócenia na wielkości stałe: $\frac{AMgl \sin \theta_0}{2C_{r_0}^2} = \mathcal{I}_0$, $\frac{AMgl}{2C_{r_0}^2} = \mathcal{I}_0$,

$\frac{2C_{r_0}}{A} = h$, to ruch krasika pod powyższymi za-

Łożemianu przedstawimy dwa równaniami:

$$\varphi = \Phi + \varphi_0 \cos(ht + \varepsilon)$$

$$\theta = \Theta - \vartheta_0 \sin(ht + \varepsilon).$$

Prawe strony tych równań rozpadają się na dwie części. Składowiki Φ i Θ_0 określają ruch jednostajny; według nich oś krążka zakresła stożek. Ruch ten nazywamy precessją. Kąt Φ rośnie proporcjonalnie do czasu. Kąt Θ_0 ruchu precesyjnego superponowany jest drugi ruch, okresowy. Nazywamy go nutacją. Dobierając za początek liczenia ten chwile, dla której $\varepsilon = 0$, otrzymujemy na okres nutacji: $T_n = \frac{2\pi}{h}$, czyli

$$T_n = \frac{\pi A}{C r_0}$$

Okres precesji warunkowany jest równością $\frac{M g l}{C r_0} T_p = 2\pi$. Stąd okres precesji:

$$T_p = \frac{2\pi C r_0}{M g l}$$

Ruch wirującego krążka można łatwo interpretować geometrycznie. W tym celu wykreślimy płaszczyznę

czytane normalną do osi krążka [w pozycji Φ, Θ_0],
w końcu tej osi i oznaczmy
odchylenie φ, θ od punktu
 Φ, Θ_0 za pomocą współrzęd-
nych ξ, η , tak że:

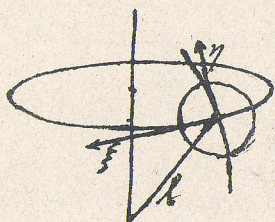


Fig.

$$\eta = l(\theta - \Theta_0)$$

$$\xi = l \sin \Theta_0 (\varphi - \Phi)$$

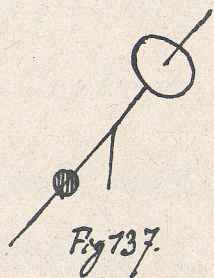
Wtedy z owych równań wynika, że

$$\xi^2 + \eta^2 = [l_0 l]^2 = \left[\frac{A M g l \sin \varphi_0}{2 C^2 r^2} \right]^2.$$

Zatem os' krążka zakresła koło naoko bieguna poru-
szającego się [Φ, Θ_0]. Koło to będzie miało tem większe
rozmiary im φ_0 jest większe. Zwracając się do oznaczenia
 φ_0 , widzimy, że ono tem większe im prędkość wirowania po-
czątkowa r jest mniejsza. Stąd pochodzi znane zjawisko,
że gdy puścimy bączka na stół, to z początku nutacji
prawie niema. Dopiero w miarę, jak skutkiem tarcia
zmniejsza się prędkość wirowania r , staje się nutacja
coraz widoczniejsza. Wzór na φ_0 daje nam też

praktyczną wskazówkę, jak można nutację zmniejszyć (niezależnie od prędkości wirowania ω). O to wystarczy uczynić moment bezwładności ze względu na oś kręśka wirującego C jak największym. Uskutecznią się to zaś przez nagromadzenie możliwie wielkiej masy na obwodzie kręśka.

Doświadczalnie można ruchy te studjować na krążku Bohnenbergera w zawieszeniu Cardanowskim.



Zapomocą ciężarka przesuwalnego można dobierać różne momenty, któreby pod wpływem siły ciężkości działały lub też, by na krążek wirujący żaden moment nie działał.

Zjawisko precesyj i nutacji zachodzi na wielką skalę w ruchu ziemi. Oś ziemi jest nachylona nieco do ekliptyki, że zaś największej masy ziemi jest na równiku, więc w pewnych pozycjach w czasie swego obiegu koło Słońca ustawia się ziemia niesymetrycznie do płaszczyzny, którą byśmy sobie pomysłeli prze-

chodzącą przez środek ziemi prostopadle do Ekwidory
Środków ziemi i Słońca. Porządek ten powtarza się trzy-
krotnie najwybitniej dwa razy w roku (w lecie i
w zimie). Prócz tej niesymetryczności ustawienia
się ziemi do Słońca dochodzi jeszcze druga niesy-
metryczność ustawienia się ziemi względem Księży-
ca. Ta ostatnia ma nawet skutkiem bliskości zie-
mi i Księżyca większy wpływ na wspomniane
zjawiska. Otóż skutkiem tych niesymetryczności
powstaje na mocy prawa grawitacji moment siły
starający się ustawić oś ziemi prostopadle do eklipty-
ki. Następstwem tego jest ruch precessji i nutacji zie-
mi.

Według obserwacji z czasów historycznych, przesu-
nięcie się ziemi ze znaku barana do znaku ryb, obli-
czono jako okres precessji $T_p = 25800$ lat; z nachylenia
osi ziemskiej 23.5° do ekliptyki obliczono jako okres
nutacji ziemskiej $T_n = 18.6$ lat. Amplituda nutacji
wynosi $9.24''$. Jest to wielkość dająca się obecnie łatwo
zaobserwować,

Zjawisko precessji i nutacji ma toż znaczenie dla geofizyków. Na mocy tych zjawisk starał się Hopkinson dowieść, że ziemia zachowuje się jak ciało sztywne.

Wprowody te uważa się obecnie za błędne. Były to atoli pierwsze próby w celu przekroczenia konstrukcji ziemi. Obecnie dowodzi się sztywności ziemi przypliwami i odpływami morza; badaniami seismograficznymi.

My przez rozpatrywanie ruchu krojka mieliśmy sposobność zastosować równania Eulera. Rozpatrywaliśmy mianowicie wypadek, gdy zachodzi dla ciała wirującego symetria obrotowa. Rozpatrywanie ogólnego wypadku, gdy wszystkie trzy momenty główne bezwładności są różne jest już rzeczą daleko trudniejszą. Nie można wtedy równań różniczkowych ruchu całkować, tylko w pewnych specjalnych wypadkach. Jeden z takich wypadków podał P. Zofia Towalewska. Teorię krojka przedstawił w obszernym dziele Klein i Sommerfeld.*)

Na tem zakończymy mechanikę ciał sztywnych, a w dalszym ciągu będziemy się zajmować ogólnie mi zasadami, a więc wyprowadzimy równania

*) Theorie des Kreisels (Teubner).

Lagrange'a i zasady Hamiltona.

Równania Lagrange'a.

Widzieliśmy, że mechanikę ciał sztywnych można ująć w dwa twierdzenia: o zachowaniu środka masy i momentów wycinkowych. Pierwsza zasada daje trzy równania na ruch postępowy, druga znowu trzy równania na ruch obrotowy. Ponieważ ciało sztywne ma sześć stopni swobody ruchu, więc istotnie obie zasady wystarczają do opisu jego ruchu.

Jeśli mamy do czynienia ze systemem nieswobodnym, gdzie zachodzi kilka stopni swobody, wtedy najlepiej jest użyć zasady d'Alemberta:

$$\sum_k \left[\left(m_k \frac{d^2 x_k}{dt^2} - X_k \right) \delta x_k + \left(m_k \frac{d^2 y_k}{dt^2} - Y_k \right) \delta y_k + \left(m_k \frac{d^2 z_k}{dt^2} - Z_k \right) \delta z_k \right] = 0$$

gdzie $\delta x_k, \delta y_k, \delta z_k$ oznaczają przesunięcia przybliżone, a więc zgodne z warunkami ruchu. Teżo przesunięciami wyraża się zależność jednych części

składowych od drugich. Zasada d'Alemberta daje bezpośrednio równania ruchu.

Prócz zasady d'Alemberta można postać inne. Najpraktyczniej okazuje się używać równań Lagrange'a w ogólnych współrzędnych (nie tylko prostokątnych jak w zasadzie d'Alemberta).

Do równań Lagrange'a można dojść ze zasady d'Alemberta, wyrażając współrzędne: $x, x_2, \dots, y, y_2, \dots, z, z_2, \dots$ jako funkcje nowych zmiennych: p, q, r, \dots

$$(a) \left\{ \begin{array}{lll} x_1 = f_1(p, q, r, \dots) & y_1 = \varphi_1(p, q, r, \dots) & z_1 = \psi_1(p, q, r, \dots) \\ x_2 = f_2(p, q, r, \dots) & y_2 = \varphi_2(p, q, r, \dots) & \vdots \\ \vdots & \vdots & \vdots \end{array} \right.$$

gdzie p, q, r, \dots są zmienne niezależne. Pod tem rozumiemy, że całkiem dowolnie (w pewnych granicach) przyjęcie p, q, r, \dots daje nam możliwą tj. zgodną z warunkami geometrycznymi pozycję systemu. Są to zatem zmienne pozostałe po wyłączeniu innych za pomocą warunków połączenia geometr.: $\varphi(x, y, z, \dots) = 0$; $\psi(x, y, \dots) = 0$ etc. Okazuje się naodwrot:

$$(b) \left\{ \begin{array}{l} p = F_1(x_1, x_2, \dots, y_1, y_2, \dots, z_1, z_2, \dots) \\ q = F_2(x_1, x_2, \dots, y_1, y_2, \dots, z_1, z_2, \dots) \\ \vdots \end{array} \right.$$

Zmienne niezależne p, q, z, \dots mogą wyrażać jakieś wielkości a więc: długości, kąty, objętości itd. Warunek jedyny, jaki na nie nakładamy jest ten, aby związki (a) i (b) wyrażały się za pomocą równań zwykłych (nie różniczkowych). Mówimy, że współrzędne te mają być funkcjami holonomicznymi. Istnieją przykłady, że warunki ruchu dają się wyrazić przez współrzędne, które są przedstawione przez równania różniczkowe niecałkowalne. Oci te wypadki z naszych rozważań wykluczamy.

Po tych umowach pozostaje nam tylko przeprowadzić odpowiednie transformacje.

Zauważymy przedewszystkiem, że składowe przesunięcia przygotowanego wyrażają się:

$$\delta x_k = \frac{\partial x_k}{\partial p} \delta p + \frac{\partial x_k}{\partial q} \delta q + \frac{\partial x_k}{\partial z} \delta z + \dots$$

Dla $k = 1, 2, 3, \dots, n$, gdzie n oznacza liczbę punktów systemu. Analogicznie wyrazi się $\delta y_k, \delta z_k$. Analogij tych odbywistych tu i w dalszym ciągu wypisywać nie będziemy i tylko się na końcu na nie

powołamy.

Jeżeliśmy wartości noś δx_k ... wstawili w równanie d'Alemberta zostalibyśmy:

$$m_k \frac{d^2 x_k}{dt^2} \frac{\partial x_k}{\partial p} \delta p \dots \dots \dots - X_k \frac{\partial x_k}{\partial p} \delta p \dots \dots \dots$$

Otoż chodzi najpierw o wyrażenie: $m_k \frac{d^2 x_k}{dt^2} \frac{\partial x_k}{\partial p} \delta p$. Tu używamy symboli skrótowych: $\frac{dx_k}{dt} = \dot{x}_k$

$$\frac{d^2 x_k}{dt^2} = \frac{d \dot{x}_k}{dt} = \ddot{x}_k \quad (\text{to}).$$

Otoż wyrażenie, o które chodzi, napiszemy tak:

$$m_k \left(\frac{d \dot{x}_k}{dt} \frac{\partial x_k}{\partial p} \right) \delta p = m_k \cdot \delta p \left[\frac{d}{dt} \left(\dot{x}_k \frac{\partial x_k}{\partial p} \right) - \dot{x}_k \frac{d}{dt} \left(\frac{\partial x_k}{\partial p} \right) \right].$$

Zauważymy, że:

$$\dot{x}_k = \frac{\partial x_k}{\partial p} \dot{p} + \frac{\partial x_k}{\partial q} \dot{q} + \frac{\partial x_k}{\partial z} \dot{z} + \dots \dots \dots ;$$

$$\text{oraz} \quad \frac{\partial \dot{x}_k}{\partial p} = \frac{\partial x_k}{\partial p} ; \quad \text{analogicznie} \quad \frac{\partial \dot{x}_k}{\partial q} = \frac{\partial x_k}{\partial q} ; \quad \text{itd}$$

Wprowadzając to wyżej dostaniemy:

$$\begin{aligned} m_k \left(\frac{d \dot{x}_k}{dt} \frac{\partial x_k}{\partial p} \right) \delta p &= m_k \left[\frac{d}{dt} \left(\dot{x}_k \frac{\partial x_k}{\partial p} \right) - \dot{x}_k \frac{\partial \dot{x}_k}{\partial p} \right] \delta p = \\ &= \frac{m_k}{2} \left[\frac{d}{dt} \left(\frac{\partial \dot{x}_k^2}{\partial p} \right) - \frac{\partial}{\partial p} \left(\dot{x}_k^2 \right) \right] \delta p. \end{aligned}$$

To jest jeden z członów, z których trzeba całą sumę

utworzyć. Przyjdą jeszcze człony, zawierające w podobny sposób y_k, z_k . Względności całe wyrażenie mające za czynnik δp będzie:

$$\frac{d}{dt} \left[\frac{\partial}{\partial p} \frac{m_k}{2} (\dot{x}_k^2 + \dot{y}_k^2 + \dot{z}_k^2) \right] \cdot \delta p - \frac{\partial}{\partial p} \left[\frac{m_k}{2} (\dot{x}_k^2 + \dot{y}_k^2 + \dot{z}_k^2) \right] \cdot \delta p.$$

Analogiczne zupełnie przyjdą wyniki przy $\delta q, \delta r, \dots$ a wszystko to razem ma być pod znakiem sumy względem $k=1, 2, \dots, n$.

Zauważymy dalej, że $\dot{x}_k^2 + \dot{y}_k^2 + \dot{z}_k^2 = v_k^2$ i stąd

$$\frac{m_k}{2} (\dot{x}_k^2 + \dot{y}_k^2 + \dot{z}_k^2) = \frac{m_k v_k^2}{2}.$$

Wprowadzając teraz to wszystko istotnie w równanie D'Alemberta, porządkując według $\delta p, \delta q, \delta r, \dots$ będziemy mieli

$$\begin{aligned} & \sum_k \left\{ \frac{d}{dt} \left[\frac{\partial}{\partial p} \left(\frac{m_k v_k^2}{2} \right) \right] - \frac{\partial}{\partial p} \left(\frac{m_k v_k^2}{2} \right) - \left[X_k \frac{\partial x_k}{\partial p} + Y_k \frac{\partial y_k}{\partial p} + \dots \right] \right\} \delta p + \\ & \sum_k \left\{ \frac{d}{dt} \left[\frac{\partial}{\partial q} \left(\frac{m_k v_k^2}{2} \right) \right] - \frac{\partial}{\partial q} \left(\frac{m_k v_k^2}{2} \right) - \left[X_k \frac{\partial x_k}{\partial q} + Y_k \frac{\partial y_k}{\partial q} + \dots \right] \right\} \delta q + \\ & + \dots = 0 \end{aligned}$$

Zauważymy, że $\delta p, \delta q, \delta r, \dots$ są dowolnymi. Równanie
Mechanika Ark XXIX.

tedy ta może zachodzić tylko pod tym warunkiem, że
korzysta z wypisanych sum po lewej stronie równości jest
równa zero. Wprowadzając na oznaczenie całkowitej
tej energii kinetycznej systemu literę L , dostaniemy
w myśl powyższej uwagi równania:

$$(c) \left\{ \begin{aligned} \frac{d}{dt} \left(\frac{\partial L}{\partial \dot{p}} \right) - \frac{\partial L}{\partial p} &= \sum_k [X_k \frac{\partial x_k}{\partial p} + Y_k \frac{\partial y_k}{\partial p} + \dots] \\ \frac{d}{dt} \left(\frac{\partial L}{\partial \dot{q}} \right) - \frac{\partial L}{\partial q} &= \sum_k [X_k \frac{\partial x_k}{\partial q} + Y_k \frac{\partial y_k}{\partial q} + \dots] \end{aligned} \right.$$

Są to właśnie równania Lagrange'a. Upraszają się one jeszcze w wypadku, gdy mamy do czynienia z siłami konserwatywnymi. W tym bowiem razie prawa strona równania pierwszego przechodzi na:

$$-\sum \left(\frac{\partial u}{\partial x_k} \frac{\partial x_k}{\partial p} + \frac{\partial u}{\partial y_k} \frac{\partial y_k}{\partial p} + \dots \right) = -\frac{\partial u}{\partial p}$$

i analogicznymi równaniami następnymi. Stąd wynika:

$$(d) \left\{ \begin{aligned} \frac{d}{dt} \left(\frac{\partial L}{\partial \dot{p}} \right) - \frac{\partial L}{\partial p} &= -\frac{\partial u}{\partial p} \\ \frac{d}{dt} \left(\frac{\partial L}{\partial \dot{q}} \right) - \frac{\partial L}{\partial q} &= -\frac{\partial u}{\partial q} \\ \vdots & \quad \quad \quad \vdots \end{aligned} \right.$$

W równaniach tych więc p, q, r, \dots oznaczają zmienne niezależne.

Równania Lagrange'a okazują się wygodne nie w zastosowaniu do wypadków więcej zawiłych z tego głównie względu, że nie potrzeba przeprowadzać wiele transformacji, bo te już w trakcie wyprowadzenia tych równań do współrzędnych najogólniejszych uskutecznilismy.

Nieraz pisze się równania Lagrange'a w formie krótszej, wprowadzając potencjał kinetyczny,

$$H = L - U.$$

$\frac{\partial H}{\partial p} = \frac{\partial L}{\partial p} - \frac{\partial U}{\partial p} = \frac{\partial L}{\partial p}$, bo $\frac{\partial U}{\partial p} = 0$, ponieważ potencjał, jak wiemy jest funkcją współrzędnych, które tutaj są p, q, r, \dots a nie zawiera explicite prędkości. Równania poprzedniej formy przejdą teraz na inną:

$$(e) \left\{ \begin{array}{l} \frac{d}{dt} \left(\frac{\partial H}{\partial p} \right) - \frac{\partial H}{\partial q} = 0 \\ \frac{d}{dt} \left(\frac{\partial H}{\partial q} \right) - \frac{\partial H}{\partial p} = 0 \\ \dots \dots \dots \end{array} \right.$$

Zastosowanie równań Lagrange'a. 1.) Uważajmy

punkt swobodny o masie m i trzech stopniach swobody ruchu. Postępując dłużej równania Lagrange'a zauważymy że współrzędne p, q, r , są tutaj współrzędne prostokątne x, y, z . Energia kinetyczna tego punktu

$$L = \frac{m}{2} (\dot{x}^2 + \dot{y}^2 + \dot{z}^2)$$

$$\frac{d}{dt} \left(\frac{\partial L}{\partial \dot{x}} \right) - \frac{\partial L}{\partial x} = - \frac{\partial U}{\partial x}$$

Tutaj $\frac{\partial L}{\partial \dot{x}} = m\dot{x}$; $\frac{\partial L}{\partial x} = 0$. Zatem równanie Lagrange'a przyjmie postać:

$$\frac{d}{dt} (m\dot{x}) - 0 = - \frac{\partial U}{\partial x}$$

czyli w myśl używanych znakowań

$$m \frac{d^2 x}{dt^2} = X$$

Analogicznie otrzymamy dostaniemy:

$$m \frac{d^2 y}{dt^2} = Y$$

$$m \frac{d^2 z}{dt^2} = Z.$$

Są to równania Newtona, znane nam już od dawna. Oczywiście, że nic nowego dostać nie mogliśmy.

2) Ruch obrotowy ciała koło osi stałej. Ruch taki

posiada jeden tylko stopień swobody. Do określenia zatem pozycji ciała wystarczy podanie kąta φ . Zatem w równaniu Lagrange'a p zastąpimy przez φ .



Fig 138.

$$L = K \frac{\omega^2}{2} = \frac{K}{2} \left(\frac{d\varphi}{dt} \right)^2 = \frac{K}{2} \dot{\varphi}^2$$

$$\frac{\partial L}{\partial \varphi} = K \dot{\varphi} \quad \frac{\partial L}{\partial p} = 0$$

Stąd równanie Lagrange'a będzie:

$$\frac{d}{dt} (K \dot{\varphi}) = - \frac{\partial U}{\partial \varphi}$$

$-\frac{\partial U}{\partial \varphi}$ oznacza tu moment siły powodującej obrót. Zamiast $\frac{\partial U}{\partial \varphi}$ można tu pisać $\frac{dU}{d\varphi}$; dU oznacza pracę przy pewnym przemieszczeniu; zatem $-dU = P d\varphi$. Stąd znane równanie:

$$K \frac{d^2 \varphi}{dt^2} = P.$$

3) Należy do matematycznych uchył. Użyjemy spódnym prostokątnych:

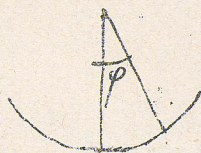


Fig 139.

$$L = \frac{m}{2} (\dot{x}^2 + \dot{y}^2) \quad U = -mgy$$

$$\frac{\partial L}{\partial \dot{y}} = m \dot{y} \quad \frac{\partial L}{\partial y} = 0 \quad \frac{\partial U}{\partial y} = -mg$$

Stąd równanie Lagrange'a przyjmie

postać:

$$\frac{d}{dt} (m \dot{y}) = mg$$

$$\frac{d^2 y}{dt^2} = g$$

Dostaliśmy więc równanie na ruch wahadła. Lecz równanie to jest oczywiście fałszywe. Wzorem leży błąd? Oto w tem, że równanie Lagrange'a jest ważne dla współzależnych niezależnych, natomiast współzależne x i y nie są niezależne; zachodzi bowiem związek między nimi:

$$x^2 + y^2 = a^2 \quad (\text{koło}).$$

Jeśli się tedy chce postąpić racjonalnie, trzeba wyznaczyć L przez zmienne niezależne, do czego krocząc postawimy nam właśnie związek między x i y . Mamy:

$$x \dot{x} + y \dot{y} = 0$$

$$\dot{x} = -y \frac{\dot{y}}{x}$$

Krocząc $L = \frac{m}{2} \dot{y}^2 \left[1 + \frac{y^2}{x^2} \right] = \frac{m}{2} \dot{y}^2 \frac{a^2}{a^2 - y^2}$

Tutej już jest istotnie energia kinetyczna wyrażona przez jedną zmienną y , a więc warunek niezależności spełniony. Zatem:

$$\frac{\partial L}{\partial \dot{y}} = m \dot{y} \frac{a^2}{a^2 - y^2} ; \quad \frac{\partial L}{\partial y} = m \dot{y}^2 \frac{a^2 y}{(a^2 - y^2)^2}$$

Wstawiając te wyrażenia w równanie Lagrange'a

$$\frac{d}{dt} \left(\frac{\partial L}{\partial \dot{y}} \right) - \frac{\partial L}{\partial y} = - \frac{\partial u}{\partial y}$$

dostaniemy równanie następujące:

$$m\ddot{y} \frac{a^2}{a^2-y^2} + 2m\dot{y}^2 \frac{a\dot{y}}{(a^2-y^2)^2} - m\dot{y}^2 \frac{a\ddot{y}}{(a^2-y^2)^2} = mg \quad \text{czyli}$$

$$\ddot{y} \frac{a^2}{a^2-y^2} + \dot{y}^2 \frac{a\ddot{y}}{(a^2-y^2)^2} = g.$$

Równanie to da się sprowadzić do zwykłej formy, jaką już spotykaliśmy dla wahadła matematycznego, gdy wprowadzimy współrzędne biegunowe.

Sprawa przedstawia się prościej, gdy od razu użyjemy współrzędnych biegunowych. Jako zmiennej niezależnej użyjemy kąta φ . Oczywiście mamy:

$$ds = a d\varphi$$

$$v = \frac{ds}{dt} = a \frac{d\varphi}{dt}$$

$$L = \frac{m}{2} a^2 \left(\frac{d\varphi}{dt} \right)^2 - \frac{m a^2}{2} \varphi^2; \quad U = -mgy = -mga \cos \varphi.$$

$$\frac{\partial L}{\partial \varphi} = -ma^2 \varphi; \quad \frac{\partial L}{\partial \dot{\varphi}} = 0; \quad \frac{\partial U}{\partial \varphi} = mga \sin \varphi.$$

Zatem równanie Lagrange'a będzie:

$$ma^2 \frac{d^2 \varphi}{dt^2} = -mga \sin \varphi$$

$$a \frac{d^2 \varphi}{dt^2} = -g \sin \varphi$$

znana forma równania dla wahadła.

4) Wahadło stożkowe. Punkt materialny porusza się tu po powierzchni kuli, zatem mamy dwa stopnie swobody ruchu. Pozycja punktu określona będzie dwi-

ma kątami θ i φ . To będą współrzędne niezależne i będzie wtedy można dla nich stosować równanie Lagrange'a.

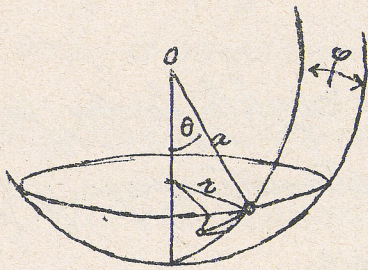


Fig 140.

Ruch chwilowy styczny do kuli można rozłożyć na równoległe do prędkownika i równoleżnikowa. Stąd

$$v^2 = \left(a \frac{d\theta}{dt}\right)^2 + \left(a \sin \theta \frac{d\varphi}{dt}\right)^2$$

$$L = \frac{m}{2} a^2 [\dot{\theta}^2 + \sin^2 \theta \dot{\varphi}^2]$$

$$U = -mga \cos \theta.$$

$$\frac{\partial L}{\partial \theta} = ma^2 \dot{\theta} \quad ; \quad \frac{\partial L}{\partial \varphi} = ma^2 \dot{\varphi}^2 \sin \theta \cos \theta; \quad \frac{\partial U}{\partial \theta} = mga \sin \theta$$

$$\frac{\partial L}{\partial \dot{\varphi}} = ma^2 \sin^2 \theta \dot{\varphi} \quad \frac{\partial L}{\partial \dot{\theta}} = 0 \quad ; \quad \frac{\partial U}{\partial \dot{\varphi}} = 0$$

Wstawiając to w równania Lagrange'a dostajemy równania ruchu dla wchońców stożkowego:

$$\begin{cases} ma^2 \frac{d^2 \theta}{dt^2} - ma^2 \sin \theta \cos \theta \left(\frac{d\varphi}{dt}\right)^2 = -mga \sin \theta \\ ma^2 \frac{d}{dt} (\sin^2 \theta \dot{\varphi}) = 0 \end{cases}$$

czyli:

$$\begin{cases} \frac{d^2 \theta}{dt^2} - \sin \theta \cos \theta \left(\frac{d\varphi}{dt}\right)^2 = -\frac{g}{a} \sin \theta \\ a^2 \sin^2 \theta \cdot \left(\frac{d\varphi}{dt}\right) = \text{Const} = c \end{cases}$$

Równanie drugie z uwagi, że $r = a \sin \theta$, daje

$$r^2 \frac{d\varphi}{dt} = \text{const.}$$

Znaczenie tego równania znany już w rozważań nad ruchem planet. Wnacza ono, że ~~prędkość~~ ^{prędkość} wycinkowa jest wielkością stałą. Gdy mamy $\frac{d\varphi}{dt} = \frac{c}{r^2}$, co podstawiając w równanie pierwsze, dostajemy:

$$\frac{d^2\theta}{dt^2} - \sin\theta \cdot \cos\theta \cdot \frac{c^2}{a^2 \sin^4\theta} = -\frac{g}{a} \sin\theta \quad \text{czyli}$$

$$\frac{d^2\theta}{dt^2} - \frac{c^2}{a^2} \frac{\cos\theta}{\sin^3\theta} = -\frac{g}{a} \sin\theta \quad | dt$$

W celu całkowania tego równania, pomnożymy je przez $d\theta$. Będzie zatem

$$\frac{d^2\theta}{dt^2} \frac{d\theta}{dt} dt - \frac{c^2}{a^2} \frac{\cos\theta}{\sin^3\theta} d\theta = -\frac{g}{a} \sin\theta d\theta$$

Skąd

$$\frac{1}{2} \left(\frac{d\theta}{dt} \right)^2 + \frac{c^2}{2a^2 \sin^2\theta} = \frac{g}{a} \cos\theta + \text{const}$$

Dla drugiego całkowania przeprowadziwszy proste przemiany dostajemy postać:

$$\int \frac{d\theta}{\sqrt{\frac{2g}{a} \cos\theta + \text{const} - \frac{c^2}{a^2 \sin^2\theta}}} = \int dt$$

Po lewej stronie jest całka eliptyczna. Gdy się ją wyliczy, dostaje się:

$$t = f(\theta)$$

Rozważmy chyba jeden specjalny wypadek, gdy ruch jest ściśle stożkowy tj. nitka zawsze & punktem zakresłoi. Hozek kołowy. Wtedy $\theta = \text{const}$, $\frac{d\theta}{dt} = 0$. Z równania różniczkowego dostaje wtedy:

$$g \sin \theta = \frac{c^2}{a^3} \frac{\cos \theta}{\sin^3 \theta}$$

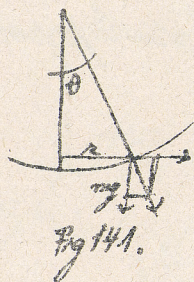
Stąd związek kąta θ ze stałą c .

$$c^2 = g a^3 \frac{\sin^4 \theta}{\cos \theta} = \left(\frac{dy}{dt} \cdot a^2 \sin^2 \theta \right)^2$$

Stąd

$$\left(\frac{dy}{dt} \right)^2 = \frac{g}{a} \frac{1}{\cos \theta}$$

tj. jeśli ruch ma się odbywać przy niezmienionym θ , to amplituda oscylacji kąta φ musi być dobrana według tego równania. Można do tego dojść bezpośrednio z rozważania równowagi sił.



Równowaga wymaga, by siła wypadkowa miała kierunek nitki. Stąd siła odśrodkowa, jaka tu występuje, będzie:

$$\frac{mv^2}{r} = \frac{m \left(a \sin \theta \frac{dy}{dt} \right)^2}{a \sin \theta}$$

Dielać to przez mg dostajemy $\tan \theta$.

$$\tan \theta = \frac{a}{g} \sin \theta \left(\frac{dy}{dt} \right)^2$$

Stąd czas j...

$$\left(\frac{dq}{dt}\right)^2 = \frac{g}{a \cos \theta}$$

identyczne z poprzednim. $\frac{dq}{dt}$ oznacza prędkość kątową. Możemy więc, stąd wyciągnąć bezpośrednio wniosek do okresu wahania T . Jest bowiem

$$\frac{dq}{dt} = \sqrt{\frac{g}{a \cos \theta}} = \frac{2\pi}{T}$$

$$T = 2\pi \sqrt{\frac{a \cos \theta}{g}}$$

wzór, który już przedtem mieliśmy (str 110).

5) Toczenie się walca po równi pochyłej pod wpływem siły ciężkości. Aby walec toczył się po równi pochyłej (nie ślizgał) muszą być powierzchnie obu ciał walca i równi dostatecznie szorstkie. Przy to-

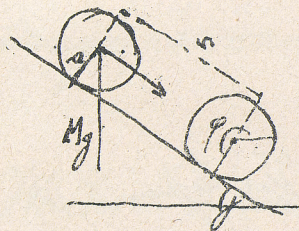


Fig 142.

czeniu się będzie pozycja walca jedno-

znacznie określona przez podanie łuku $s = a\varphi$ odwinie-
tego na równi (a promień walca, φ kąt). To więc będzie
zmienna niezależna, której użyjemy w równaniu Lagran-
ge'a:

$$\frac{d}{dt} \left(\frac{\partial L}{\partial \dot{s}} \right) - \frac{\partial L}{\partial s} = - \frac{\partial U}{\partial s}$$

Energia kinetyczna będzie tu sumą energii kinetycznej ja-

ko walec ma skutkiem ruchu postępowego i energii pochodzącej z ruchu obrotowego walca.

$$L = \frac{M}{2} \left(\frac{ds}{dt} \right)^2 + \frac{K}{2} \left(\frac{d\varphi}{dt} \right)^2 = \left(\frac{ds}{dt} \right)^2 \left[\frac{M}{2} + \frac{K}{2a^2} \right].$$

$$L = \frac{\dot{s}^2}{2} \left[M + \frac{K}{a^2} \right].$$

$$U = -Mgy = -Mg s \sin \varphi.$$

$$\frac{\partial L}{\partial \dot{s}} = \dot{s} \left[M + \frac{K}{a^2} \right]; \quad \frac{\partial L}{\partial s} = 0; \quad \frac{\partial U}{\partial s} = -Mg \sin \varphi. \quad \text{Stąd}$$

$$\dot{s} \left[M + \frac{K}{a^2} \right] = Mg \sin \varphi$$

czyli

$$\frac{d\dot{s}}{dt} = \frac{g \sin \varphi}{1 + \frac{K}{Ma^2}}$$

Jest to równanie różniczkowe pierwszego nam już typu.

Odrzuć wiemy, że ruch będzie jednostajnie przyspieszony. Przyspieszenie atoli: $\frac{g \sin \varphi}{1 + \frac{K}{Ma^2}}$ jest odmiennie niż przy ślizganiu się ciała. Przy ślizganiu się bowiem jest, jak wiemy, przyspieszenie $g \sin \varphi$.

Oczywiście można było dojść do tego rezultatu bez użycia równań Lagrange'a. Można np. tak rozumować: Ruch postępowy i obrotowy postępują od siebie niezależnie. Pierwszy odbywa się tak, jakby wznys-

kie siły były skoncentrowane w środku masy, drugi tak jak gdyby środek był w spoczynku a działały nato miast tylko momenty wt. to doś. to nie wchodzi w rachubę i ta normalna, a wchodzi tylko dła styerna i siła tarcia.

Tak dostaniemy równania różniczkowe: dla ruchu postępowego:

$$M \frac{d^2x}{dt^2} = Mg \sin \gamma - R \quad (R = \text{tarcia})$$

dla ruchu rotacyjnego

$$K \frac{d^2\varphi}{dt^2} = a R \quad (a = \text{promień walca}).$$

Drugie równanie (wobec $s = a\varphi$) można napisać:

$$K \frac{d^2s}{dt^2} = a^2 R$$

Wielkość R nie jest znana a priori. Trzeba ją teoretycznie wyregulować. Tak dostaniemy:

$$(Ma^2 + K) \frac{d^2s}{dt^2} = Mg \sin \gamma \cdot a^2$$

$$\frac{d^2s}{dt^2} = \frac{g \sin \gamma}{1 + \frac{K}{Ma^2}}$$

Siłę R możemy a posteriori obliczyć:

$$R = \frac{K}{a^2} \frac{d^2s}{dt^2} = \frac{K}{a^2} \cdot \frac{g \sin \gamma}{1 + \frac{K}{Ma^2}} = \frac{K g \sin \gamma}{a^2 + \frac{K}{M}} = \frac{M g \sin \gamma}{1 + \frac{Ma^2}{K}}$$

Dla ciał nie idealnie gładkich mamy empiryczne prawo tarcia $R_s = \varepsilon F_n$, gdzie ε oznacza współczynnik tarcia,

zas' F , oznaczona nacisk normalny. Jeżeli siła dociska do powierzchni powierchni ciała względem siebie jest mniejsza niż tarcia, to ruch względny nie nastąpi, oczywiście żaden. Możemy sobie postawić pytanie, czy przy ciążach rzeczywistych nastąpi ślizganie, czy też tocznienie się i kiedy? Aby na to odpowiedzieć trzeba porównać ze sobą R i R_s . Chwila zastanowienia wystarczy, by poznać, że w razie nierówności:

$$R < R_s$$

nie może nastąpić ślizganie się. Ponieważ $R_s = \varepsilon Mg \cos \gamma$, więc w myśl tej nierówności jest:

$$\frac{Mg \sin \gamma}{1 + \frac{Ma^2}{K}} < \varepsilon Mg \cos \gamma$$

$$\tan \gamma < \varepsilon \left[1 + \frac{Ma^2}{K} \right]$$

Dla walca moment bezwładności ze względu na oś jego geometryczną, jak to łatwo obliczyć, wynosi: $K = \frac{Ma^2}{2}$. Łatem

$$\tan \gamma < 3\varepsilon.$$

To jest warunek, aby nastąpiło tocznienie się walca. Położony więc, że tocznienie się nastąpi przy dostatecznie małych γ . Nie bezskuteczności e dążyć się zawsze znaleźć

takie, iż tożsamość mi nastąpi. Zachodzą to bydrze dla

$$R = R_s = \varepsilon Mg \cos \varphi$$

Rachunek cały wtedy się zmieni. W równaniach ruchu

$$M \frac{d^2 s}{dt^2} = Mg \sin \varphi - R$$

$$K \frac{d^2 \varphi}{dt^2} = R_a$$

zmienne s i φ mi są już ze sobą związane, t.j. to zmienne niezależne. Te trzy równania wystarczą do wyprogowania ruchu. Będzie on częściowo postępowy, częściowo obrotowy.

Zasada Hamiltona.

Zasadę tę można wyprorowadzić z równań Lagrange'a. W tych ostatnich wchodzi zmienne ogólne p, q, z, \dots niezależne, które czynić muszą każde równanie:

$$x = f_1(p, q, z, \dots)$$

$$y = f_2(p, q, z, \dots)$$

$$z = f_3(p, q, z, \dots)$$

Robimy założenie, że wartości tych funkcji nie zmieniają się z czasem.

Chcąc więc w ogólnych współrzędnych wyrazić energię systemu:

$$L = \sum m (\dot{x}^2 + \dot{y}^2 + \dot{z}^2)$$

zauważymy, że

$$\begin{aligned} \dot{x}^2 = & a_{11} \dot{p}^2 + a_{22} \dot{q}^2 + a_{33} \dot{r}^2 + \dots \\ & + a_{12} \dot{p} \dot{q} + a_{13} \dot{p} \dot{r} + \dots + a_{23} \dot{q} \dot{r} + \dots \end{aligned}$$

i analogicznie \dot{y}^2 , \dot{z}^2 ; współczynniki a_{11}, a_{22}, \dots są już to zależne od p, q, r, \dots już to wszędy stałe.

Rozważymy obecnie zmianę energii kinetycznej L .

Zmiana taka może pochodzić albo stąd, że przyspieszają się zmienia albo stąd, że współrzędne ulegają zmianie.

Gdy więc zmianę energii rozpatrywać będziemy ze względu np. na współrzędną p to powiemy:

$$\begin{aligned} \frac{dL}{dt} &= \frac{\partial L}{\partial p} \frac{dp}{dt} + \frac{\partial L}{\partial \dot{p}} \frac{d\dot{p}}{dt} \\ &= \frac{\partial L}{\partial p} \frac{dp}{dt} + \frac{d}{dt} \left[\frac{\partial L}{\partial \dot{p}} \frac{dp}{dt} \right] - \frac{d}{dt} \left(\frac{\partial L}{\partial \dot{p}} \right) \cdot \frac{dp}{dt} \\ &= \frac{d}{dt} \left[\frac{\partial L}{\partial \dot{p}} \frac{dp}{dt} \right] - \underbrace{\left[\frac{d}{dt} \left(\frac{\partial L}{\partial \dot{p}} \right) - \frac{\partial L}{\partial p} \right]}_{\frac{\partial L}{\partial p}} \frac{dp}{dt} \end{aligned}$$

Lecz współczynnik przy δp w ostatnim równaniu nie wyraża nic innego jak lewą stronę równania Lagrange'a. Zatem:

$$\delta L = \frac{d}{dt} \left[\frac{\partial L}{\partial \dot{p}} \delta p \right] + \frac{\partial U}{\partial p} \delta p$$

Analogicznie wyrazi się $\delta_2 L, \delta_3 L, \dots$ i stąd zmiana całkowita energii:

$$\delta L = \frac{d}{dt} \left[\frac{\partial L}{\partial \dot{p}} \delta p + \frac{\partial L}{\partial \dot{q}} \delta q + \dots \right] + \underbrace{\frac{\partial U}{\partial p} \delta p + \frac{\partial U}{\partial q} \delta q + \dots}_{\delta U}$$

czyli

$$\delta(L - U) = \frac{d}{dt} \left[\frac{\partial L}{\partial \dot{p}} \delta p + \frac{\partial L}{\partial \dot{q}} \delta q + \dots \right].$$

Uważajmy teraz dwie chwile czasu t_1, t_2 między którymi zmiana powyższa następowała, to

$$\int_{t_1}^{t_2} \delta(L - U) dt = \int_{t_1}^{t_2} \frac{d}{dt} \left[\frac{\partial L}{\partial \dot{p}} \delta p + \frac{\partial L}{\partial \dot{q}} \delta q + \dots \right] dt$$

czyli

$$\int_{t_1}^{t_2} \delta(L - U) dt = \left[\frac{\partial L}{\partial \dot{p}} \delta p + \frac{\partial L}{\partial \dot{q}} \delta q + \dots \right] \Big|_{t_1}^{t_2}$$

Prawa strona tej równości stanie się zerem, jeśli zab.

zimy, że zmiany $\delta p = \delta q = \dots = 0$ dla chwil t_1 i t_2 .
Wtedy

$$\int_{t_1}^{t_2} (L - U) dt = 0$$

i to jest właśnie zasada Hamiltona. Jakże jej znaczenie? Ruch rzeczywisty punktu lub systemu pod wpływem siły w pewnym kierunku działającej można sobie wyobrazić jakoś krzywą przestanną od punktu 1 do 2 dla czasu od t_1 do t_2 . Między



Fig. 143.

punktami 1 i 2, które są stałe, można sobie pomysleć nieskończenie wiele dróg, po których ruch mógłby się w owym czasie ($t_2 - t_1$) odbyć. Wariacja całki dla ruchu rzeczywistego jest równa zero, jeśli od tego ruchu przejdziemy do ruchu nieskończenie mało od niego się różniącego.

Z zasady Hamiltona wnioskujemy natychmiast, że wartość całki dla ruchu rzeczywistego będzie zawsze minimum lub maximum. Rozstrzygając o tem waz-

acze wyższych średów, czy zachodzi minimum czy też maximum. Z reguły jest minimum.

Zasada Hamiltona prowadzi do tej króćcej zasady $L-U=H$,
wtedy :

$$\int_{t_1}^{t_2} H dt = 0$$

H - potencjał kinetyczny

Do zagadnień specjalnych zasada Hamiltona nie jest praktyczna, ale zato odznacza się zwięzłością...

Zastosowanie : 1. Rozważmy na podstawie zasady Hamiltona spadanie ciała.

1
2

Fig. 144.

$$L = \frac{m}{2} \dot{x}^2, \quad U = -mgx$$

Według zasady Hamiltona jest dla ruchu rzec.

$$\int_{t_1}^{t_2} \left(\frac{m}{2} \dot{x}^2 + mgx \right) dt = 0$$

czyli

$$\int_{t_1}^{t_2} (m \dot{x} dx + mgx dx) dt = 0$$

$$\begin{aligned} \text{Lecz } \int_{t_1}^{t_2} \dot{x} dx dt &= \int_{t_1}^{t_2} \dot{x} dx - \int_{t_1}^{t_2} \dot{x} dx dt \quad (\text{każda część zerowa}) \\ &= \int_{t_1}^{t_2} \dot{x} dx dt \end{aligned}$$

Pierwszy składnik lewej strony odpada z tego powodu, że dla

granic podstawienia $\delta x_1 - \delta x_2 = 0$. Wstawiając obliczoną wartość całki wyżej mamy:

$$\int_{t_1}^{t_2} (g - \ddot{x}) \delta x dt = 0$$

Równość ta ma zachodzić dla wszystkich możliwych zmian δ ; to możliwe gdy sam nawias jest równy zero, gdy więc

$$g = \ddot{x}$$

$$\frac{d^2 x}{dt^2} = g$$

Doszlismy więc tak drogą krótką do znanego rezultatu.

2. Na spadanie ciał pod wpływem ciężkości moglibyśmy podać kilka hipotez: a) ciało spada ruchem jednostajnie przyspieszonym (prawo spadania) tj. droga $x = \frac{g t^2}{2}$. Dla pewnego T , gdy punkt spadnie z pozycji

1 do 2 jest $x_2 = \frac{g T^2}{2}$.

Obliczmy wartość całki:

Fig. 145

$$L_1 = \frac{m}{2} \dot{x}^2 = \frac{m g^2 t^2}{2}; \quad U = -m g x = -\frac{m g^2 t^2}{2}$$

$$L_1 - U = m g^2 t^2; \quad \text{stad}$$

$$\int_0^T m g^2 t^2 dt = m g^2 \frac{T^3}{3}$$

b) możemy przypuścić, że ruch odbywa się z prędkością

jednostajną. Wtedy $x = \frac{x_0 t}{T} = \frac{g T}{2} t$; teraz $x = \frac{g T}{2}$.

$$L = \frac{m \dot{x}^2}{2} = \frac{m g^2 T^2}{8}. \quad U = -m g x = -\frac{m g^2 T}{2} t.$$

$$\int_0^T (L - U) dt = \frac{m g^2 T^3}{8} + \frac{m g^2 T^3}{4} = \frac{3}{8} m g^2 T^3.$$

c) tak samo moglibyśmy wogóle zakładać, że $x = f(t)$ przyczem dla $t=0$ jest $x=0$, dla $t=T$ jest $x = \frac{g T^2}{2}$. Za każdym razem przekonalibyśmy się, że wartość całki pod a) jest najmniejszą. Być tak oczywiście powinno, bo ruch pod a) jest rzeczywisty.

Jeśli przyjmiemy zasadę Hamiltona jako daną, to łatwo nadzwyczaj wyprocedować równania Lagrange'a.

Energia kinetyczna wyraża się na ogół jako funkcja prędkości i przeskoków:

$$L = f(\dot{p}, \dot{q}, \dot{r}, \dots, \dot{p}, \dot{q}, \dot{r}, \dots)$$

Potencjał U wyraża się natomiast tylko jako funkcja współrzędnych. Wynika to z definicji potencjału.

$$U = f(p, q, r, \dots).$$

Tworząc wariacje tych funkcji, tego bowiem z gda

zasada Hamiltona:

$$\int_{t_1}^{t_2} \delta(L - U) dt = 0$$

mamy:

$$\delta L = \frac{\partial L}{\partial p} \delta p + \frac{\partial L}{\partial \dot{p}} \delta \dot{p} + \frac{\partial L}{\partial q} \delta q + \dots$$

$$\delta U = \frac{\partial U}{\partial p} \delta p + \frac{\partial U}{\partial \dot{p}} \delta \dot{p} + \dots$$

Wprowadzając to do zasady Hamiltona i pisząc nadzwyczajem całki oznak sumy, który ma nam przypominać, że przeprowadzamy działania względem p, q, z, \dots , dostaniemy:

$$\sum_{p, q, z, \dots} \int_{t_1}^{t_2} \left[\left(\frac{\partial L}{\partial p} - \frac{\partial U}{\partial p} \right) \delta p + \frac{\partial L}{\partial \dot{p}} \delta \dot{p} \right] dt = 0$$

Całkując per partes:

$$\int_{t_1}^{t_2} \frac{\partial L}{\partial p} \delta p dt = \left[p \frac{\partial L}{\partial p} \right]_{t_1}^{t_2} - \int_{t_1}^{t_2} \frac{d}{dt} \left(\frac{\partial L}{\partial \dot{p}} \right) \delta p dt$$

i wstawiając to w sumę, mamy:

$$\sum_{p, q, z, \dots} \int_{t_1}^{t_2} \left[\frac{\partial L}{\partial p} - \frac{\partial U}{\partial p} - \frac{d}{dt} \left(\frac{\partial L}{\partial \dot{p}} \right) \right] \delta p dt + \sum_{p, q, z, \dots} \left[\frac{\partial L}{\partial \dot{p}} \delta p \right]_{t_1}^{t_2} = 0$$

Ostatnia suma znika, bo dla t_1 i t_2 niemożliwość zmiany. To co zostaje, zachodzić może przy dowol-

nych δp tylko w tym razie, gdy nowiad $= 0$. Stawiasz ten zaś przedstawia, właśnie równanie Lagrange'a:

$$\frac{d}{dt} \left(\frac{\partial L}{\partial \dot{p}} \right) - \frac{\partial L}{\partial p} = - \frac{\partial U}{\partial p}$$

$$\frac{d}{dt} \left(\frac{\partial L}{\partial \dot{q}} \right) - \frac{\partial L}{\partial q} = - \frac{\partial U}{\partial q}$$

⋮

⋮

⋮

Zastosowanie zasady Hamiltona w wypadku równowagi. Jeśli zachodzi równowaga, to energia kinetyczna znika i zasada Hamiltona redukuje się do formy:

$$\int_1^2 U dt = 0$$

i wtedy wogóle: $\int U = 0$

ten potencjał jest w tym stanie minimum albo maximum zależnie od znaku potencjału i zmian jakie mogą zająć. To możemy zastosować do równowagi nitek, łańcuchów itp.

Damy jest łańcuch zawieszony końcami w dwóch punktach. Na łańcuch ten działają siły X, Y, Z . Pyta-

my, jaki kształt przyjmie łańcuch. Zakładamy, że łańcuch ten jest jednorodny tj. każda jego część ma tę samą gęstość, dalej że łańcuch ten jest nierozciągliwy.

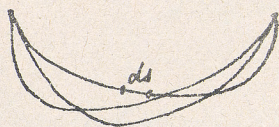


Fig 146.

Jeśli ma być równowaga, to dla każdego elementu ds łańcucha musi zachodzić:

$$\delta U = 0$$

$$\delta U = \frac{\partial U}{\partial x} \delta x + \frac{\partial U}{\partial y} \delta y + \frac{\partial U}{\partial z} \delta z = -(X \delta x + Y \delta y + Z \delta z)$$

i przeto dla całego łańcucha zachodzi też:

$$\int_0^l (X \delta x + Y \delta y + Z \delta z) ds = 0$$

Z warunku zaś nierozciągliwości wynika:

$$\int_0^l ds = \text{const}$$

Zadanie tedy nasze redukuje się do znalezienia max. względnie min. przy pewnym warunku. Stosując metodę Lagrange'a utworzymy wyrażenie.

$$\int_0^l (X \delta x + Y \delta y + Z \delta z) ds + \int \lambda \delta ds = 0$$

Zauważymy: $ds^2 = dx^2 + dy^2 + dz^2$

$$ds \delta ds = dx \delta dx + dy \delta dy + dz \delta dz$$

$$\delta ds = \frac{dx}{ds} \delta dx + \frac{dy}{ds} \delta dy + \frac{dz}{ds} \delta dz$$

$$\int_1^2 \underbrace{\lambda}_{\frac{ds}{ds}} \underbrace{ds}_{ds} = \lambda \frac{dx}{ds} \delta x - \int d\left(\lambda \frac{dx}{ds}\right) \delta x = \lambda \frac{dx}{ds} \delta x - \int \frac{d}{ds} \left(\lambda \frac{dx}{ds}\right) \delta x ds$$

(całkowanie per partes). Wstawiając to do powyższego wyrażenia, dostaniemy:

$$\int_1^2 \left\{ \left[X - \frac{d}{ds} \left(\lambda \frac{dx}{ds} \right) \right] \delta x + \left[Y - \frac{d}{ds} \left(\lambda \frac{dy}{ds} \right) \right] \delta y + \left[Z - \frac{d}{ds} \left(\lambda \frac{dz}{ds} \right) \right] \delta z \right\} ds + \left[\lambda \frac{dx}{ds} \delta x + \lambda \frac{dy}{ds} \delta y + \lambda \frac{dz}{ds} \delta z \right]_1^2 = 0$$

Ostatni składnik znika przy podstawieniu granic, bo łańcuch jest w punktach 1 i 2 przymocowany, zatem $\delta x = \delta y = \delta z = 0$.

Pozostałe wyrażenie zaś może przy dowolności $\delta x, \delta y, \delta z$ tylko wtedy zachodzić gdy spełnione są następujące trzy równania Lagrange'a:

$$X = \frac{d}{ds} \left(\lambda \frac{dx}{ds} \right)$$

$$Y = \frac{d}{ds} \left(\lambda \frac{dy}{ds} \right)$$

$$Z = \frac{d}{ds} \left(\lambda \frac{dz}{ds} \right)$$

Do równań tych można dojść bezpośrednio rozważając równowagę każdego kawałka łańcucha. Na element ds łańcucha, który możemy sobie na chwilę wyobrazić jako wycięty z całości, działają siły (napięcia) u dołu T u góry T' .

Mechanika strk XXXII.

utrzymujące go w równowadze. Osi te napięcia możemy sobie rozłożyć w trzech kierunkach x, y, z .

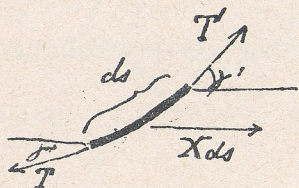


Fig 147.

W kierunku x przypada T z napięcia górnego $T' \cos \alpha = T' \frac{dx}{ds}$, z napięcia T dolnego $-T \cos \alpha = -T \frac{dx}{ds}$, a że na element ów działa jeszcze siła $X ds$ w kierunku

osi x , więc całkowita siła działająca na ów element w kierunku osi x jest:

$$X ds + T' \left(\frac{dx}{ds} \right) - T \left(\frac{dx}{ds} \right) = 0 \quad \text{czyli}$$

$$X + \frac{d}{ds} \left(T \frac{dx}{ds} \right) = 0$$

Analogicznie

$$Y + \frac{d}{ds} \left(T \frac{dy}{ds} \right) = 0$$

$$Z + \frac{d}{ds} \left(T \frac{dz}{ds} \right) = 0$$

Są to te same równania Lagrange'a co wyżej. Widzimy tu zarazem użycie mechanizmu swego czynnika nieokreślonego λ , któryśmy poprzednio wprowadzili. Oznacza on po prostu napięcie łańcucha.

Takie równanie:

$$\int (X \delta x + Y \delta y + Z \delta z) ds = - \int S \delta u ds = 0$$

ma proste znaczenie mechaniczne. Pisząc je w formie

$$\delta(\sum u) = 0$$

widzimy, że oznacza ono, że wariacja sumy potencjałów składowych = 0. Jeśli chodzi o ciężkość $U_k = mgy$ więc

$$U = \sum mgy = g \sum my,$$

to dostajemy $\delta \underbrace{\sum my}_{\eta \cdot \sum m} = \delta[\eta \cdot \sum m] = 0$, tj. środek

masy łańcucha ma leżeć najniżej; wariacja bowiem ma się tylko odnosić do η , a więc owo η ma być maximum lub minimum.

Jeśli siły działające na łańcuch są potencjalne, X, Y, Z ; to możemy wyprowadzić jeszcze jedną relację. Postępując w równaniach Lagrange'a czynnik nieokreślony λ jest zmiennym w zależności od pozycji w łańcuchu. Stąd równania Lagrange'a możemy inaczej tak napisać:

$$\begin{array}{l|l} \frac{d\lambda}{ds} \frac{dx}{ds} + \lambda \frac{d^2x}{ds^2} = X & \frac{dx}{ds} \\ \frac{d\lambda}{ds} \frac{dy}{ds} + \lambda \frac{d^2y}{ds^2} = Y & \frac{dy}{ds} \\ \frac{d\lambda}{ds} \frac{dz}{ds} + \lambda \frac{d^2z}{ds^2} = Z & \frac{dz}{ds} \end{array}$$

Stąd dostajemy:

$$\frac{d\lambda}{ds} \frac{dx^2 + dy^2 + dz^2}{ds^2} + \lambda \left(\frac{dx}{ds} \frac{d^2x}{ds^2} + \frac{dy}{ds} \frac{d^2y}{ds^2} + \frac{dz}{ds} \frac{d^2z}{ds^2} \right) =$$

$$= \frac{X dx + Y dy + Z dz}{ds}$$

Lece oczywiscie: $\frac{dx^2 + dy^2 + dz^2}{ds^2} = 1$; $\frac{dx}{ds} \frac{d^2x}{ds^2} + \frac{dy}{ds} \frac{d^2y}{ds^2} + \frac{dz}{ds} \frac{d^2z}{ds^2} =$

$$= \frac{1}{2} \frac{d}{ds} \left[\left(\frac{dx}{ds} \right)^2 + \left(\frac{dy}{ds} \right)^2 + \left(\frac{dz}{ds} \right)^2 \right] = 0$$
 ; $X = -\frac{\partial U}{\partial x}$, $Y = -\frac{\partial U}{\partial y}$, $Z = -\frac{\partial U}{\partial z}$.

Część więc powyższe wyrażenie przybiera kształt:

$$d\lambda = -dU$$

$$\lambda = -U + \text{const}$$

tj czynnik λ , czyli napięcie jest miarą potencjału, które w danym punkcie istnieje.

Jako szczególny wypadek porozważmy łancuch w polu ciężkości.

$$X=0, Y=-\gamma, Z=0$$

$-\gamma$ oznacza ciężkość 1cm długości, więc

$$\gamma = \rho g \quad (g \text{ przekrój, } \rho \text{ gęstość, } g \text{ przysp.})$$

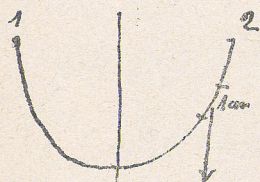


Fig 748.

Równania poprzednie przyjmą kształt:

-251-

$$\frac{d}{ds} \left(\lambda \frac{dx}{ds} \right) = 0$$

$$\frac{d}{ds} \left(\lambda \frac{dy}{ds} \right) = -\gamma$$

$$\frac{d}{ds} \left(\lambda \frac{dz}{ds} \right) = 0$$

Zakładając że ścieżka jest w płaszczyźnie x, y możemy trzecie równanie opuścić. Z dwóch cało pierwszych przez całkowanie dostajemy:

$$\lambda \frac{dx}{ds} = \text{const} = c$$

$$\lambda \frac{dy}{ds} = -\gamma s + b$$

Początek układu jest dowolny. Założymy, że niech się on tam znajduje, gdzie ścieżka jest pozioma tj. $\frac{dy}{ds} = 0$, oraz $s=0$. Dostajemy stąd określenie stałej $b=0$. Łatwo

$$\lambda \frac{dx}{ds} = c$$

$$\lambda \frac{dy}{ds} = -\gamma s$$

$$\frac{dy}{dx} = -\frac{\gamma s}{c}$$

Chcąc to równanie całkować musimy uwzględnić zależność s od x i y . Użyjemy tu metody różniczkowania:

$$\frac{dy}{dx} = -\frac{\gamma}{c} \frac{ds}{dx} = -\frac{\gamma}{c} \cdot \sqrt{1 + \left(\frac{dy}{dx} \right)^2}$$

$$\int \frac{\frac{dy}{dx}}{\sqrt{1 + \left(\frac{dy}{dx}\right)^2}} dx = - \int \frac{y}{c} dx$$

Kładąc $\frac{dy}{dx} = p$, $\frac{d^2y}{dx^2} = \frac{dp}{dx}$ mamy:

$$\begin{aligned} \int \frac{dp}{\sqrt{1+p^2}} &= \log(p + \sqrt{1+p^2}) = \log\left(\frac{dy}{dx} + \sqrt{1 + \left(\frac{dy}{dx}\right)^2}\right) = \\ &= -\frac{y}{c} + \text{const} \end{aligned}$$

$$\frac{dy}{dx} + \sqrt{1 + \left(\frac{dy}{dx}\right)^2} = e^{-\frac{y}{c} + \text{const}} = a e^{-\frac{y}{c}}$$

$$\sqrt{1 + \left(\frac{dy}{dx}\right)^2} = a e^{-\frac{y}{c}} - \frac{dy}{dx}$$

$$1 + \left(\frac{dy}{dx}\right)^2 = a^2 e^{-\frac{2y}{c}} - 2 \frac{dy}{dx} a e^{-\frac{y}{c}} + \left(\frac{dy}{dx}\right)^2$$

$$\frac{dy}{dx} = \frac{a^2 e^{-\frac{2y}{c}} - 1}{2 a e^{-\frac{y}{c}}} = \frac{1}{2} \left\{ a e^{-\frac{y}{c}} - \frac{1}{a} e^{\frac{y}{c}} \right\}$$

$$y = \frac{1}{2} \frac{c}{y} \left\{ -a e^{-\frac{y}{c}} - \frac{1}{a} e^{\frac{y}{c}} \right\} + \text{const}$$

Dla oznaczenia stałych całkowania przypponiemy, że dla $x=0$, $\frac{dy}{dx}=0$ bo wtem miejscu tańcuch jest poziomy. Zachodzi więc jedno równanie:

$$0 = \frac{1}{2} \left\{ a - \frac{1}{a} \right\}$$

skąd $a = 1$. Zatem

$$y = -\frac{c}{2f} (e^{\frac{fx}{c}} + e^{-\frac{fx}{c}}) + \text{Const}$$

Na razie określiliśmy os' y ; os x tak dobraćemy, żeby Const znikało tj. gdzie $x=0$, tam $y = -\frac{c}{f}$. Stąd c jest dowolna. Przyjmując znak $+$ na miejsce $-$, co prosto można tak uzyskać, że na miejsce c wstawimy $-c$ dostajemy równanie linii łuku chowej:

$$y = \frac{c}{2f} (e^{\frac{fx}{c}} + e^{-\frac{fx}{c}})$$

To równanie można inaczej napisać:

$$y = \frac{m}{2} (e^{\frac{x}{m}} + e^{-\frac{x}{m}})$$

lub

$$y = m \cdot \cosh \left(\frac{x}{m} \right)$$

Z tych równań możemy wywnioskować jaki kształt ma krzywa.

Chcąc oznaczyć napięcie λ , względnie $-\lambda$ rekurujemy do równań

$$\lambda \frac{dx}{ds} = c$$

$$\lambda \frac{dy}{ds} = -fs$$

$$\lambda^2 \frac{dx^2 + dy^2}{ds^2} = c^2 + y^2 s^2$$

$$\lambda = \sqrt{c^2 + y^2 s^2}$$

(Znak + bierzemy bo chodzi nam o wartość bezwzględną).

Wielkość owego λ można kresłą wykombinować bezpośrednio. Chodzi nam o napięcie w pewnym miejscu.

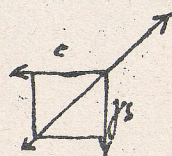
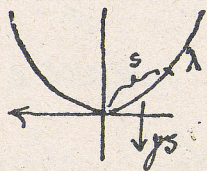


Fig 149.

Łęść łuku s posiada ciężar ys , napięcie zaś w miejscu poziomem w kierunku poziomym wynosi c , to równanie $\lambda \frac{dx}{ds} = c$ przechodzi dla tego miejsca w $\lambda_0 = c$. Ze składowia sił wynika

więc
$$\lambda = \sqrt{c^2 + y^2 s^2}$$

Mieliśmy przedtem równanie :

$$\lambda = -U$$

Ponieważ tu w szczególności $U = \gamma y$, zatem

$$\gamma^2 y^2 = c^2 + y^2 s^2$$

$$s^2 = y^2 - m^2$$

$$s = \sqrt{y^2 - m^2}$$

Jest to własność linii tańcuchowej, mocą której

kwadrat drugiego łuku = różnicy kwadratów pierwszej i stałej m . Można to sprawdzić przez rektyfikację.

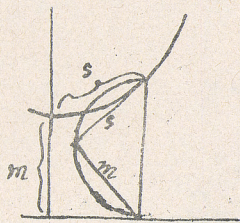


Fig 150.

W związku z tem zagadnieniem, któreśmy tu rozpatrywali są inne problemy. Można by się pytać np. o warunki równowagi, gdy ciężar nie jest równomiernie rozłożony. Miałoby to miejsce, gdyby na karole cm releta przypadał ciężar jednaki. Naturalna przek. je łańcuch na dole musiałby być grubszy niż w innych miejscach. W praktyce jest to wręczewistnione ponieważ przy mostach łańcuchowych, w których ciężar głównie pochodzi od belki a ciężar łuku jest stosunkowo nieznaczny.



Fig 151.

Beżki teraz: $X=0$, $Y = y \frac{dx}{ds}$;

$$\lambda \frac{dy}{ds} = c; \quad \frac{d}{ds} \left(\lambda \frac{dy}{ds} \right) = y \frac{dx}{ds}$$

$$\lambda \frac{dy}{ds} = yx + \alpha$$

$$\frac{dy}{dx} = \frac{y}{c} x + \frac{\alpha}{c}$$

$$y = \frac{c}{2} x^2 + \frac{\alpha}{c} x + \beta$$

jest to równanie paraboli. Łańcuch więc w tym wypadku ułoży się w kształcie paraboli.

Ruch względny.

Dotychczasowe równania ruchu wyprowadziliśmy dla układu nieruchomego z czasem w przestrzeni. Takiem równaniem jest np. równanie d'Alamberta:

$$\sum [m(\frac{d^2x}{dt^2} - X)\delta x + (m\frac{d^2y}{dt^2} - Y)\delta y + (m\frac{d^2z}{dt^2} - Z)\delta z] = 0$$

Zapytamy się obecnie, jakim zmianom ulegną te równania w razie zmienności układu. Widoć nam bowiem, że jest nieścisła, że nie zmieniają się one przy jednostajnej translacji układu. W szczególności rozstrzygniemy pytanie, jakim zmianom ulegną równania ruchu w razie obrotu układu jednostajnego, zakładając, że ϕ rośnie miernie. Kąt ϕ rośnie proporcjonalnie do czasu. Jeśli prędkość kątową naznaczymy: ω ,

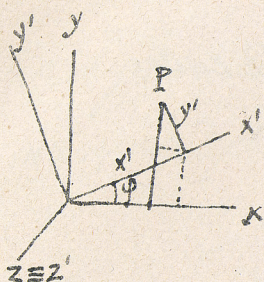


Fig 152.

$$\varphi = \omega t.$$

Wzory transformacyjne są tu:

$$x = x' \cos \varphi - y' \sin \varphi = x' \cos \omega t - y' \sin \omega t$$

$$y = x' \sin \varphi + y' \cos \varphi = x' \sin \omega t + y' \cos \omega t$$

Chcąc tedy otrzymać równanie d'Alemberta dla nowego układu wystarczy zastosować owe wzory transformacyjne w celu wyrażenia zmiennych występujących w równaniu d'Alemberta przez zmienne nowe.

$$\frac{dx}{dt} = \frac{dx'}{dt} \cos \omega t - x' \omega \sin \omega t - \frac{dy'}{dt} \sin \omega t - y' \omega \cos \omega t$$

$$\frac{dy}{dt} = \frac{dx'}{dt} \sin \omega t + x' \omega \cos \omega t + \frac{dy'}{dt} \cos \omega t - y' \omega \sin \omega t$$

$$\frac{d^2x}{dt^2} = \frac{d^2x'}{dt^2} \cos \omega t - 2 \frac{dx'}{dt} \omega \sin \omega t - x' \omega^2 \cos \omega t - \frac{d^2y'}{dt^2} \sin \omega t - 2 \frac{dy'}{dt} \omega \cos \omega t + y' \omega^2 \sin \omega t$$

$$\frac{d^2y}{dt^2} = \frac{d^2x'}{dt^2} \sin \omega t + 2 \frac{dx'}{dt} \omega \cos \omega t - x' \omega^2 \sin \omega t + \frac{d^2y'}{dt^2} \cos \omega t - 2 \frac{dy'}{dt} \omega \sin \omega t - y' \omega^2 \cos \omega t$$

$$\frac{dz}{dt^2} = \frac{dz'}{dt^2}$$

$\delta x, \delta y, \delta z$ wyrażają nam przesunięcia przygotowane

są zgodne z warunkami ruchu geometrycznymi. Nie zależy tedy one od czasu t . Stąd

$$\delta x = \delta x' \cos \omega t - \delta y' \sin \omega t$$

$$\delta y = \delta x' \sin \omega t + \delta y' \cos \omega t$$

$$\delta z = \delta z'$$

Dalej praca przygotowana jest też niezależna od układu. Stąd:

$$X\delta x + Y\delta y + Z\delta z = X'\delta x' + Y'\delta y' + Z'\delta z'.$$

Wszystkie teraz te wartości wstawimy w równanie d'Alemberta. Dostaniemy:

$$\begin{aligned} \sum & \left[\left\{ m \left[\frac{d^2 x'}{dt^2} - x' \omega^2 - 2 \frac{dy'}{dt} \omega \right] - X' \right\} \delta x' \right. \\ & + \left\{ m \left[\frac{d^2 y'}{dt^2} - y' \omega^2 + 2 \frac{dx'}{dt} \omega \right] - Y' \right\} \delta y' \\ & \left. + \left\{ m \frac{d^2 z'}{dt^2} - Z' \right\} \delta z' \right] = 0 \end{aligned}$$

Jeśli bierzemy pod uwagę tylko jeden punkt masy, wtedy suma redukuje się do jednego składnika. Bnie-
war nas $\delta x', \delta y', \delta z'$ oznaczają nam przesunięcia przy-
gotowane, dowolne więc były tylko zgodne z warunkami
ruchu, przeto równanie to może zachodzić, gdy

każdy z nawiasów znika. Dostajemy tak trzy równania ruchu:

$$\frac{d^2x'}{dt^2} = \frac{X'}{m} + x'\omega^2 + 2\omega \frac{dy'}{dt}$$

$$\frac{d^2y'}{dt^2} = \frac{Y'}{m} + y'\omega^2 - 2\omega \frac{dx'}{dt}$$

$$\frac{d^2z'}{dt^2} = \frac{Z'}{m}$$

Łącząc, że masa $m=1$ napiszemy te równania jeszcze prościej:

$$\frac{d^2x'}{dt^2} = X' + x'\omega^2 + 2\omega \frac{dy'}{dt}$$

$$(I). \quad \frac{d^2y'}{dt^2} = Y' + y'\omega^2 - 2\omega \frac{dx'}{dt}$$

$$\frac{d^2z'}{dt^2} = Z'.$$

Równania te są różne od równań ruchu dla wolnego punktu wyprowadzonych dla układu nieruchomego.

W układzie statycznym bowiem:

$$\frac{d^2x}{dt^2} = X$$

$$\frac{d^2y}{dt^2} = Y$$

$$\frac{d^2z}{dt^2} = Z$$

Widzimy więc, że pierwsze składniki po prawej stronie

równań (1) nakrywają się. Jakże jest oznaczenie dalszych składników? Składniki mające ω^2 wyrażają siły składowe jakiegoś siły dodatkowej. Wypadkowa tych sił

$$\omega^2 \sqrt{x'^2 + y'^2} = \frac{\omega^2 r^2}{2} = \frac{v^2}{r}$$

jest po prostu siłą odśrodkową.

Nieco bliżej przy kształt mają składniki zawierające ω . Przedstawiają one znowu oczywiście jakąś siłę dodatkową, powstałą skutkiem obrotu. Siłę tę nazywamy siłą Coriolisa. Wpływ jej jest w różnych przykładach dosyć ciekawy. Gdy przyjmujemy że widzimy tylko układ ruchomy to siła ta proporcjonalna do prędkości ω ma raz kierunek zgodny drugi raz przeciwny do sił składowych.

Rozpatrzmy wpływ tych sił na ruch punktu na powierzchni ziemi. Siłę odśrodkową można połączyć z siłą ciężkości, bo siła ta ma potencjał.

$$U' = \frac{x'^2 + y'^2}{2} \omega^2$$

$$\frac{\partial U'}{\partial x'} = x' \omega^2 \quad \frac{\partial U'}{\partial y'} = y' \omega^2$$

Wprowadzając tedy oznaczenia: $X' + x' \omega^2 = \textcircled{X'}$,

$Y' + y'\omega^2 = \textcircled{Y'}$, mamy:

$$\frac{d^2x'}{dt^2} = \textcircled{X'} + 2\omega \frac{dy'}{dt}$$

$$\frac{d^2y'}{dt^2} = \textcircled{Y'} - 2\omega \frac{dx'}{dt}$$

$$\frac{d^2z'}{dt^2} = \textcircled{Z'}$$

Dobierzemy jeszcze odpowiednio układ współrzędnych.

Na ziemi. Niech osią z będzie oś obrotu ziemi, oś x niech

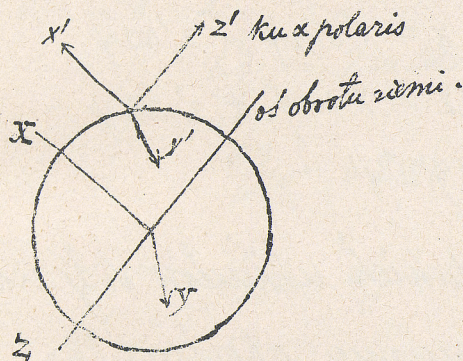


Fig 153.

będzie w płaszczyźnie rysunku, oś $y \perp$ do płaszczyzny rysunku.

Układ ten poruszający się wykonuje wraz z ziemią obrót.

Możemy go przenieść na powierzchnię ziemi. Oś $z' \parallel z$

skierowana będzie do α polaris, $x' \perp z'$, y' oznacza kierunek wschodni. Wyobrażamy sobie teraz że układu stałego nie widzimy i wprowadzamy na miejsce ostat-

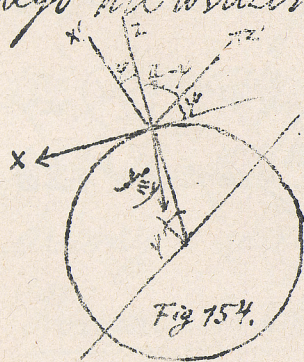


Fig 154.

niego układu jeszcze jeden nowy który oznaczmy sobie $x y z$; niech on ma początek na powierz-

chui ziemi w tem sam zresztą miejscu gdzie poprzedni
pod ψ szerokości geogr. W tym nowym układzie niech
os' $y \equiv y'$, os' z niech będzie pionem, os' x $\perp z$ i $\perp y$.
Os' x zatem będzie leżąca w poziomie i skierowana będzie
na południe, a z poprzednią osią z zamieniąć będzie kąt
 ψ . Wzory transformacyjne tych układów będą:

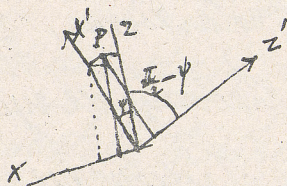


Fig 155

$$x = x' \sin \psi - z' \cos \psi$$

$$z = x' \cos \psi + z' \sin \psi$$

$$y = y'$$

Kutkiem przyjęcia takich układów siły zewnętrzne
odniesione do jednego gramu określą się:

$$(X') = -g \cos \psi$$

$$(Y') = 0$$

$$(Z') = -g \sin \psi$$

Wstawiając to, dostajemy:

$$\begin{aligned} \frac{d^2 x}{dt^2} &= \frac{d^2 x'}{dt^2} \sin \psi - \frac{d^2 z'}{dt^2} \cos \psi = (X') \sin \psi - (Z') \cos \psi + \\ &+ 2\omega \left(\frac{dy'}{dt} \sin \psi \right) = -g \cos \psi \sin \psi + g \cos \psi \sin \psi + 2\omega \frac{dy'}{dt} \sin \psi \end{aligned}$$

Tak dostajemy:

$$\frac{dx}{dt^2} = 2\omega \frac{dy}{dt} \sin \psi$$

$$\frac{dz}{dt^2} = -g + 2\omega \frac{dy}{dt} \cos \psi$$

$$\frac{dy}{dt^2} = -2\omega \frac{dx}{dt}$$

czyli sprowadzając te równania do współrzędnych jednego tylko układu:

$$\frac{dx}{dt^2} = 2\omega \sin \psi \frac{dy}{dt}$$

$$\frac{dy}{dt^2} = -2\omega (\sin \psi \frac{dx}{dt} + \cos \psi \frac{dz}{dt})$$

$$\frac{dz}{dt^2} = -g + 2\omega \cos \psi \frac{dy}{dt}$$

Łą to więc równania różniczkowe ruchu punktu swobodnego poruszającego tylko pod wpływem ciężkości. Łą one całkiem odmienne niż dla ziemi nieruchomej. Całkowanie tych równań da się przeprowadzić ściśle, ale w tym wypadku wystarczy pewne przybliżenie. Zanurzymy w tym celu, że $\omega = \frac{2\pi}{24 \cdot 60 \cdot 60}$ wielkość rzędu 10^{-4} , wielkość mała w porównaniu do g . Łą d będziemy ω^2 odrzucać.

Równania pierwsze i trzecie całkujemy bezpośrednio

Mechanika Ark XXXIV.

$$\frac{dx}{dt} = \alpha + 2\omega \sin \varphi \cdot y$$

$$\frac{dz}{dt} = y - gt + 2\omega \cos \varphi \cdot y \quad \alpha, \gamma \text{ stałe całk.}$$

Wstawiając to do równania drugiego, mamy:

$$\frac{d^2y}{dt^2} = -2\omega(\alpha \sin \varphi + y \cos \varphi - gt \cos \varphi)$$

[ω^2 odrzucone].

$$\frac{dy}{dt} = \beta - 2\omega t(\alpha \sin \varphi + y \cos \varphi) + \omega g t^2 \cos \varphi$$

$$y = y_0 + \beta t - \omega t^2(\alpha \sin \varphi + y \cos \varphi) + \frac{\omega g t^3}{3} \cos \varphi,$$

Kładąc $y_0 = 0$ mamy

$$(a) \quad y = \beta t - \omega t^2(\alpha \sin \varphi + y \cos \varphi) + \frac{\omega g t^3}{3} \cos \varphi.$$

Wstawiając teraz to równanie do dwóch poprzednich, i odrzucając składniki zawierające ω^2 dostaniemy:

$$\frac{dx}{dt} = \alpha + 2\omega \sin \varphi \cdot \beta t$$

$$\frac{dz}{dt} = y - gt + 2\omega \cos \varphi \cdot \beta t.$$

całkując zaś je, dostaniemy:

$$(b) \quad x = \alpha t + \omega t^2 \beta \sin \varphi.$$

$$(c) \quad z = \gamma t - \frac{gt^2}{2} + \omega t^2 \beta \cos \varphi.$$

Tak więc dostaliśmy trzy równania: (a), (b), (c) odniesione do układu wirującego jednostajnie wraz z ziemią.

mia, określające nam ruch punktu materialnego, poruszającego pod wpływem ciężkości. α, β, γ są stałe całkowania, φ szerokość geograficzna. Przez dobór stałych α, β, γ można równania (a)(b)(c) specjalizować:

1. Powiędmy najpierw, że ciała spada bez prędkości początkowej tj. $\alpha = \beta = \gamma = 0$. Równania (a)(b)(c) przyjąłby wtedy na taki:

$$x = 0$$

$$y = \frac{wg t^3}{3} \cos \varphi$$

$$z = - \frac{g t^2}{2}$$

Ciała więc według tych równań zbaczają w czasie swobodnego spadania na wschód i to proporcjonalnie do 3^{ciej} potęgi czasu. Pozostaje to w związku z tem,

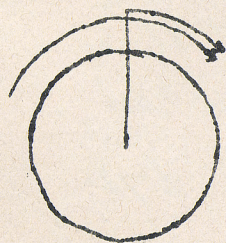


Fig 156.

że prędkość styczna w wyższych warstwach ziemi jest większa niż w niższych. Zboczenia owe dają się stwierdzić doświadczeniem. Próby tego były już za

czasów Newtona, potem fizycy stacy starali się to

uskućtećnić' lcz bea powodzenia, bo przeszkadzały temu prądy powietrza. Najdokładniejsze doświadczenie zrobił Reich we Freibergu w Saksonii z początku 19. wieku. badając swobodne spadoanie ciała w srybie głębokim na 1583 m, $\varphi = 50^{\circ}24'$. Ochylenie wynosiło $\gamma = 284$ cm. Ze wzoru powinno wypaść 275 cm. Błąd zatem 1 mm jest całkiem nieznaczącym.

2. Gdy rozpatrujemy ruch ciała wystrelonego w kierunku poziomym na południe tj. w kierunku x , natenczas α oznaczaję prędkość, z jaką ciało wystreliliśmy, $\beta = \gamma = 0$.

Wtedy

$$x = \alpha t$$

$$y = -\omega t^2 \alpha \sin \varphi + \frac{\omega g t^3}{3} \cos \varphi$$

$$z = -\frac{g t^2}{2}.$$

W wyrażeniu na y występuje teraz jeszcze nowy człon o znaku ujemnym. Oznacza to, że ciało będzie niecorbacać na zachód. Gdybyśmy wystrelili ciało na północ, wtedy $+\alpha$ przejść na $-\alpha$ ciało więc znou zbacać będzie na wschód. Zbożenia te ze względu, że dla $t < 1$ $t^2 > t^3$ są znaczące z początku.

3. Pomyślnij teraz obie ciało wystrzelone na wschód:

$$\beta \neq 0, \quad \alpha = \gamma = 0$$

Wtedy:

$$x = \omega t^2 \beta \sin \gamma$$

$$y = \beta t + \frac{\omega g t^3}{3} \cos \gamma$$

$$z = -\frac{g t^2}{2} + \omega t^2 \beta \cos \gamma$$

Pierwsze równanie wskazuje że ciało zbaczycie nieco na północ. Gdybyśmy znów wystrzelili ciało na zachód to $+\beta$ przeszłoby na $-\beta$; ciało zbaczaloby na południe. Wiadźmy więc, że jakkolwiek bądź wystrzelimy ciało na półkuli północnej (to założenie leży już w doborze szerokości geograficznej γ) to ono zawsze zbaczac' będzie na prawo. Zwróćmy tu uwagę na znaczenie geofizyczne. R.



Fig 157.

wietrze napływające do minimum barometrycznego tworzy wiry, zbaczając na półkuli północnej na prawo. Na półkuli południowej jest odwrotnie. (Dove'sches

Windgesetz). Twierdzono nawet, że to zjawienie uwiadać ma się także w biegu rzek. Baer twierdzi, że rzeka podmy-

wyż. Dlatego więcej pracy brzeg niż lewy. Skądże ten jednak podlega jeszcze dyskusji, bo okazywa się czynnik powodujący to zstąpienie na prawo jest nadzwyczaj słaby.

W wyrażeniu na x wchodzi jeszcze składnik $\omega \sin \varphi$ powodujący zmniejszenie spadania w kierunku pionowym. Wpływ jego jednak jest bardzo nieznaczny.

Ruch wahadła na ziemi obracającej się.

Aby zdać sobie sprawę z ruchu wahadła, gdy uwzględnimy obrót ziemi musimy wziąć formy Sztemberta itp., ale można też z góry przewidzieć, o ile różnic dla wahadła różnić się będą o równan' punktu swobodnego, przez to, że dodamy jeszcze warunki przymusowe, jakim punkt wahadła musi podlegać:

$$\varphi(x, y, z) = 0.$$

W myśl tego równania dla punktu swobodnego (str 263) z uwzględnieniem obrotu ziemi przejdą na następujące równania dla wahadła:

$$\frac{d^2 x}{dt^2} = -2\omega \sin \varphi \frac{dy}{dt} + \lambda \frac{\partial \varphi}{\partial x}$$

$$\frac{dy}{dt} = -2\omega(\sin\psi \frac{dx}{dt} + \cos\psi \frac{dz}{dt}) + \lambda \frac{\partial \varphi}{\partial y}$$

$$\frac{dz}{dt} = -g + 2\omega \cos\psi \frac{dy}{dt} + \lambda \frac{\partial \varphi}{\partial z}$$

Gdzie warunek $\varphi(x,y,z)=0$ będzie oznaczał, że punkt ma
zostawać na powierzchni kuli:

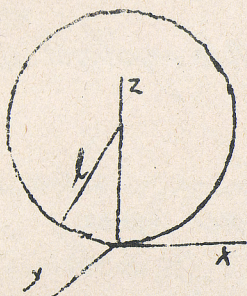


Fig 158.

$$\varphi(x,y,z) = x^2 + y^2 + (z-l)^2 - l^2 = 0$$

Stąd:

$$\frac{\partial \varphi}{\partial x} = 2x$$

$$\frac{\partial \varphi}{\partial y} = 2y$$

$$\frac{\partial \varphi}{\partial z} = 2(z-l).$$

Równania więc wyrażnie wypisane będą:

$$\frac{dx}{dt} \quad | \quad y$$

$$\frac{dx}{dt} = 2\omega \sin\psi \frac{dy}{dt} + \lambda x$$

$$\frac{dy}{dt} \quad | \quad x$$

$$\frac{dy}{dt} = -2\omega \sin\psi \left(\frac{dx}{dt} + \cos\psi \frac{dz}{dt} \right) + \lambda y$$

$$\frac{dz}{dt} \quad | \quad x, y$$

$$\frac{dz}{dt} = -g + 2\omega \cos\psi \frac{dy}{dt} + \lambda(z-l)$$

Mnożąc je odpowiednio przez $\frac{dx}{dt}$, $\frac{dy}{dt}$, $\frac{dz}{dt}$ i dodając
dostaniemy:

$$\frac{1}{2} \frac{d}{dt} \left[\left(\frac{dx}{dt} \right)^2 + \left(\frac{dy}{dt} \right)^2 + \left(\frac{dz}{dt} \right)^2 \right] = -g \frac{dz}{dt}$$

Wzrostanie to zachowane nie prawo zachowania energii:

$$\frac{V^2}{2} = -gz + H$$

H stała const. Załóżmy, że siła Coriolisa zanika w tym wyrażeniu. Można by o tej sile ogólnie powiedzieć, że nie wykonuje ona pracy.

Pomnożmy teraz pierwsze równanie przez y , drugie przez x i odejmijmy drugie od pierwszego:

$$y \frac{dx}{dt} - x \frac{dy}{dt} = 2\omega \sin \psi (y \frac{dy}{dt} + x \frac{dx}{dt}) + \cancel{2\omega x \cos \psi \frac{dx}{dt}}$$

O ile x jest małe w porównaniu do y , to możemy ostatni składnik pominąć, tak że dostaniemy:

$$\frac{d}{dt} (y \frac{dx}{dt} - x \frac{dy}{dt}) = \omega \sin \psi \frac{d}{dt} (x^2 + y^2)$$

$$y \frac{dx}{dt} - x \frac{dy}{dt} = C + \omega (x^2 + y^2) \sin \psi$$

Opuszczając ten w równaniu zachowania energii składnik $(\frac{dx}{dt})^2$ z tego samego powodu, co wyżej, dostajemy dwa równania, wystarczające do opisanie ruchu wahadła:

$$(\alpha) \quad \left(\frac{dx}{dt}\right)^2 + \left(\frac{dy}{dt}\right)^2 = -2gz + H$$

$$(\beta) \quad y \frac{dx}{dt} - x \frac{dy}{dt} = C + \omega(x^2 + y^2) \sin \varphi.$$

W dalszym ciągu wprowadzimy odpowiednie biegunowe:

$$x = r \cos \varphi \quad y = r \sin \varphi$$

a z wyrażuje się przy pomocy równania kuli: jest bowiem

$$x^2 + y^2 + (l-z)^2 = r^2$$

$$x^2 + y^2 - 2lz + l^2 = 0$$

(z znika w porównaniu do innych członów).

Równania (α)(β) uprości się, gdy zwozimy, że

$$\left(\frac{dx}{dt}\right)^2 + \left(\frac{dy}{dt}\right)^2 = \left(\frac{dr}{dt}\right)^2 + r^2 \left(\frac{d\varphi}{dt}\right)^2$$

$$y \frac{dx}{dt} - x \frac{dy}{dt} = -r^2 \frac{d\varphi}{dt}$$

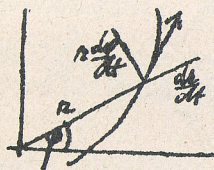


Fig 159.

do postaci:

$$(\alpha') \quad \left(\frac{dr}{dt}\right)^2 + r^2 \left(\frac{d\varphi}{dt}\right)^2 = -\frac{g}{l} r^2 + H$$

$$(\beta') \quad r^2 \frac{d\varphi}{dt} = C - \omega r^2 \sin \varphi$$

Równanie (β') wyrażałoby, gdyby nie było drugiego członu, prawo, że prędkość wycinkowa jest stała. Od tego równania można się uwolnić za pomocą transformacji:

$$\Phi = \varphi + \omega t \sin \varphi \quad (\varphi \text{ szerokość geogr.})$$

$$\frac{d\Phi}{dt} = \frac{d\phi}{dt} + \omega \sin \psi.$$

ψ jest stałe, o ile uwzględnimy wachnięcia o małej prędkości.

Stąd
$$r^2 \frac{d\Phi}{dt} = r^2 \omega \sin \psi = C = \frac{h}{2\pi} \sin \psi$$

czyli
(β'')
$$r^2 \frac{d\Phi}{dt} = C \quad (\text{const}).$$

a więc istotnie w tym nowym układzie prędkość wir-
cinkowa jest stała. Taką relację wyprowadziliśmy już
wyżej, gdyśmy uważali ruch wahałka bez uwzględnie-
nia obrotu ziemskiego.

Wstawmy teraz w wzór transformacyjny pędu
w równanie (α'). Będzie:

$$\begin{aligned} \left(\frac{dr}{dt}\right)^2 + r^2 \left(\frac{d\Phi}{dt}\right)^2 &= H - \frac{g}{2} r^2 + 2\omega r^2 \frac{d\phi}{dt} \sin \psi - \omega^2 r^2 \sin^2 \psi \\ &= H - \frac{g}{2} r^2 + 2\omega C \sin \psi - \omega^2 r^2 \sin^2 \psi \end{aligned}$$

Pomijając człon ostatni z powodu unikomo małego ω^2
i skracając wielkości stałe w jeden wyraz h , dostajemy:

(α'')
$$\left(\frac{dr}{dt}\right)^2 + r^2 \left(\frac{d\Phi}{dt}\right)^2 = h - \frac{g}{2} r^2$$

czyli wobec
$$\frac{d\phi}{dt} = \frac{C}{r^2}$$

$$\left(\frac{dr}{dt}\right)^2 + \frac{C^2}{r^2} = h - \frac{g}{2} r^2$$

Równania (α'') i (β'') są takie same jak równania w spitzrzednych biegunowych wahadła bez uwzględnienia obrotu ziemskiego (Porównaj str 107 (a) i (b)), przy ograniczeniu się oczywiście do małych wychyleń.

Różniczkując (α') dostajemy:

$$2\left(\frac{dr}{dt}\right) \frac{d^2 r}{dt^2} - 2 \frac{c^2}{r^3} \left(\frac{dr}{dt}\right) = \frac{2g}{R} r \left(\frac{dr}{dt}\right) \quad \text{czyli}$$

$$\underbrace{\frac{d^2 r}{dt^2}} - r \left(\frac{d\phi}{dt}\right)^2 = \frac{g}{R} r$$

Wyróżnienie po lewej stronie oznacza przyspieszenie w kierunku promienia wodzącego (str 78). Z prawej strony tegoż równania widzimy, że przyspieszenie to jest proporcjonalne do wychylenia. Siła zatem ma charakter siły sprężystej, i ruch przeto wahadła będzie się odbywał tak, jakby na masę jego działała siła sprężysta. Będzie to zatem ruch harmoniczny. Punkt materialny porusza się będzie na ogół po elipsie. Okres wahania będzie, jak zwykle, $T = 2\pi \sqrt{\frac{R}{g}}$.

Zwróćmy się obecnie znowu do wzoru transfor-

masyjnego :

$$\Phi = \varphi + \omega t \sin \varphi$$

i zapytajmy, co on wyraża. Kąt φ oznacza odchylenie rantu nitki wahadła na płaszczyźnie poziomej od kierunku południowego x . Położmy $\varphi = \text{Const}$ tj. założmy, że wahania odbywają się w płaszczyźnie.

$\omega \sin \varphi$ jest wielkością stałą (φ szerokość geogr.) Równanie tedy powyższe oznacza, że płaszczyzna wahań wiruje z prędkością jednostajną około pionu. Prędkość ta wynosi mianowicie $\omega \sin \varphi$.

Mozna to zademonstrować najlepiej w ten sposób, że się elipsę degeneruje w prostą, co łatwo zrobić; wystarczy bowiem wychylić masę wahadła i puścić ją. Przytwar-

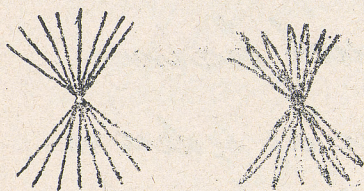


Fig 160

zamy ewentualnie koło do tej masy będzie zakreślał pewną płaszczyznę względnie pewną krzywą na płaszczyźnie poziomej. (Fig 160).

Historycznej wagi takie doświadczenie zrobił Foucault w kopule panteonu w Paryżu jako dowód obrotu ziemi

koło swej osi.

Doświadczenia te należą do trudniejszych z powodu długości czasu, jaki na doświadczenia trzeba użyć, i wpływów zewnętrznych, jak wiatr powietrza, wstrząsanie itp. W szerokości geograf. $\varphi = 50^\circ$ przesaczenia wahania obrotu mniej więcej o 180° tj. $15^\circ - 20^\circ$ na godz.

Z punktu widzenia logicznego a doświadczenia Foucault'a nie wynika bynajmniej, że ziemia się obraca koło swej osi, bo rozumowanie opiera się na tem, że równania mechaniki:

$$\frac{dx}{dt} = \frac{X}{m}$$

$$\frac{dy}{dt} = \frac{Y}{m}$$

$$\frac{dz}{dt} = \frac{Z}{m}$$

są ściśle. Gdyby atoli był Newton równania swe wyprowadził drogą ściśle empiryczną to nigdyby takiego kroku tu być nie dostał. Gdyby się natomiast doświadczenia bardzo ściśle robiło, to doszłoby się do równań z pewnymi stałymi α, β zależnymi od szerokości geograficznej kątów takiego:

$$\frac{dx}{dt} = \frac{X}{m} + \alpha \frac{dy}{dt}$$

$$\frac{dy}{dt} = \frac{Y}{m} - \alpha \frac{dx}{dt} - \beta \frac{dz}{dt}$$

$$\frac{dz}{dt} = \frac{Z}{m} + \beta \frac{dy}{dt}$$

gdzie $\alpha = 2w \sin \varphi$, $\beta = 2w \cos \varphi$. Póki mając równania Newtonowskie suponujemy, że składniki tych równań nie wchodząc w równania Newtona, pochodzą z siły ziemii kóło osi swej. Moglibyśmy atoli nie robiąc wcale tej supozycji, (co by miało najprawdopodobniej miejsce gdybyśmy równania Newtona nie mieli, a mieli tylko równania ostatnie), te ostatnie równania uważać za zasadnicze, a o obrocie ziemi nicbyśmy nie wiedzieli. Może kształt tych równań byłby nieco dziwny, bo nie tak prosty jak równań poprzednich. Z punktu jednak logicznego zjawiska nie muszą się wyrażać najprostszy mi równaniami. Tak więc nie mamy żadnego logicznego dowodu obrotu ziemi kóło osi, a przyjmujemy to dla prostoty.

W fizyce i w ogóle w naukach przyjmuje się chętnie hipotezy te, które są proste. Dawniej mówiono, że czyni się to dlatego, bo prawa przyrody są proste. Nie da się to jednak dowieść. Mach tedy powiada, że dlatego przyjmujemy hipotezy proste, bo jest nam przez to najwygodniej rachować (nominalizm). Jest w tem zawartości poniekąd supozycja, że prawa istniejące w przyrodzie wcale nie są proste. Prawdopodobnie rzeczywistość jest prośodka. Szukamy najprostszych form, bo umysł ludzki je najłatwiej obejmuje. W innych naukach jednak nie ma tak praw prostych. Np. chemia jest to lekajkon praw, które atoli nie są ani bardzo ścisłe ani bardzo proste. Że w fizyce dadzą się takie prawa proste wyznukać, to musi polegać na jakiejś obiektywnej wartości.

Newton doszedł do swoich równań na podstawie obserwacji astronomicznych. Keplera. Możliwe, że do nich dopęł ten drogę logiczną, gdyby się miało równania dla ruchu punktu swobodnego na ziemi i to przez odnośną transformację. Powiedzi-

Koby się wtedy, że równania tak otrzymane odnoszą się do układów zmiennego. Przyjąć to byłoby bardzo hipotetyczne lecz uzasadnione byłoby właśnie prostotą wyrażen.

Kwestye tu poruszone naprowadzają nas na zasadę względności. Równania Newtonowskie odniesione do jakiegobądź układu niesamieniąją się, gdy na miejsce dawnego układu wprowadzimy nowy poruszający się ruchem jednostajnym prostoliniowym względem pierwszego. Wtedy bowiem jest:

$$x = x' + at$$

$$\frac{d^2x}{dt^2} = \frac{d^2x'}{dt'^2} = X$$

$$y = y' + pt$$

$$\frac{d^2y}{dt^2} = \frac{d^2y'}{dt'^2} = Y$$

$$z = z' + yt$$

$$\frac{d^2z}{dt^2} = \frac{d^2z'}{dt'^2} = Z$$

Zjawiska tedy odbywają się niezależnie względem ruchu jednostajnego prostoliniowego. Nie można tego jednak jak widzieliśmy skazać do ruchów obrotowych. Tu bowiem już zachodzi zmienny. Ta zasada względności znana już od czasów Newtona została uogólniona

i doszło się tak do rewizji pojęcia „czasu”.

Od kilkunastu lat starano się na polu elektrodynamiki i optyki określić ruch ziemi względem eteru, który uważano za stały. Według dawnej elektrodynamiki (M. Hertz) ruch względem eteru powinien się dać wykazać. Natomiast doświadczenia Michelsona bardzo precyzyjne wykazały, że orientacja ziemi nie wpływa wcale na przebieg zjawisk świetlnych i elektromagnetycznych w eterze. Przebieg zatem tych zjawisk odbywa się tak samo dla obserwatora w spoczynku jakoteż w ruchu prostoliniowym jednostajnym. Aż wywnioskowano, że kształt równań obejmujących ruch jest niezależny od ruchu układu prostoliniowego. Mniej więcej 7 lat od czasu Einsteina przyjęto tę zasadę w całej fizyce. Przyczyniło się do tego ta okoliczność, że fakty dawne przedstawiają się według tej teorii prościej. Ale ten wysypki zjawiska ruchu przedstawiają się według tej zasady całkiem odmiennie niż w fizyce dawnej.

Zasadniczą tu aczkolwiek jest względność czasu. Dawniej

Mechanika Art. XXXVI.

przyjmowano wspólny czas; w reformowanej zasadzie przyjmuje się indywidualny czas dla różnych systemów. Można tylko określić różnicę czasu dostrzeganego w jednym punkcie od czasu dostrzeganego w innym, jeśli znamy odległości i ruchy względny tych punktów.

Zasady względności nie będziemy tutaj rozważać, bo zajęłyby nam to dwa czas. Wspomniemy tylko, że według tej zasady jest np. czas dla stojącego człowieka inny niż dla poruszającego się. Praktycznie nie jest to dostrzegalne, bo wpływ ruchu na zmianę czasu jest ogromnie mały przy prędkościach nie zbyt wielkich. To też dla zwykłej mechaniki zasada względności ma tylko teoretyczne znaczenie, warte atoli stać, że okazuje, że prawa Newtona są tylko przybliżeniem.

Tak więc dawniej uważano masę m za całkiem niezmienną, nie zależną ani od ruchu ani od sił. Nowej mechanice masa jest zmienna zależna od ruchu i zmienna zależnie od sił odpowiednio do tego, czy te przemieszczenia są w kierunku promienia wodzącego na nie działającego. Mamy tak dwa określenia masy:

Jeśli do masy m możemy przyczepić siły działające w kierunku stycznym to masę określamy jako longitudinalną.

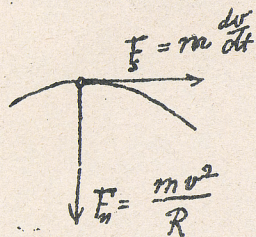


Fig 161.

$$m_l = \frac{F_t}{\frac{dv}{dt}}$$

Jeśli natomiast siły można przyczepić w kierunku promienia krzywizny, to masę taką nazywamy transversalną:

$$m_n = \frac{F_n}{\frac{v^2}{R}}$$

W dawnej mechanice zakładano:

$$m_l = m_n = m$$

W nowej natomiast kładkie się:

$$m_l = \frac{m}{\left(1 - \frac{v^2}{c^2}\right)^3} ; \quad m_n = \frac{m}{\sqrt{1 - \frac{v^2}{c^2}}}$$

gdzie v oznacza prędkość poruszającego się ciała, c prędkość światła. Przy małych v jest to poprawka znikoma. Zakładając np $v = 100 \text{ km/s}$, $c = 300\,000 \text{ km/s}$ mamy z rozwinięcia:

$$m_n = m \left[1 + \frac{v^2}{2c^2} + \dots \right]$$

jako popraszek a obrot drugiego: $\frac{1}{2} \left(\frac{v}{c} \right)^2 = \frac{1}{2} \left(\frac{1}{3000} \right)^2$ tj wiel-
kość rzędu 10^{-7} . Ale np. przy promieniach katodowych,
których prędkość β zbliża się do c różnica jest już dostrze-
galna. Można dla tych promieni w szczególności stwier-
dzić wzór na m . Umieszcza się w tym celu promienie
katodowe w polu magnetycznem i mierzą się krzywiznę
drogi. F znane, gdy znamy natężenie pola magnetyczne-
go i prądu. Stąd oznacza się stosunek $\frac{e}{m}$, gdzie e
oznacza nabój cząstki m . Stąd wynika zmienność
 m . Pierwszego natomiast wzoru na m nie udało się
dotychczas stwierdzić. (Doświadczenia Kaufmanna, Rü-
chserera i Sletky).

Wobec tych faktów zmienia się oczywiście cała mecha-
nika: np. prawo składowania sił nie jest ściśle ważne;
jest tylko przybliżeniem. Dochodzi się wogół do wyników
bardzo dziwnych; nawet prędkości nie wolno składować w pra-
dopodobie. Okazuje się, jeśli się składowa prędkości, to nigdy
nie można otrzymać na wypadkową większej prędkości

niz prędkość światła. Rozważania te wchodzi już do zakresu teorii elektromagnetycznej.

Praktyczne zagadnienia mechaniki mogą pozostać w dotychczasowej formie.

Tak wyzerpaliliśmy materię mechaniki punktu i mechaniki ciał sztywnych. Przejrzeliśmy zaś w dalszym ciągu do mechaniki ciał sprężystych.

Mechanika ciał sprężystych.

Rozważanie ciał sprężystych stanowi dalszy ciąg stopniowych przybliżeń. Powiedzieliśmy na samym początku, że gdy obserwujemy ciało niebieskie kolosalnie odległe, to będzie ono dla nas punktem. Pod uwagę bierzemy tu tylko ruch środka masy; ruchy obrotowe nie mają najmniejszego nań wpływu. Jeśli interesuje nas ten ruch obrotowy, to należy to już do zakresu mechaniki ciał sztywnych. Jeśli zaś bierzemy pod uwagę deforma-

macie ciała, to rozważania te stanowią treść mechaniki ciał sprężystych.

Trzy te stopnie przybliżenia stosują się np. do opisu ruchu ziemi. Ziemię będziemy uważać za punkt, gdy chodzić nam będzie o jej ruch około słońca, za ciało sztywne, gdy zważamy jej ruch obrotowy około osi, zaś za ciało sprężyste, gdy uwzględnimy przepływy i wplywy masy, zjawiska geologiczne takie jak np. że Norwegia od czasów stopienia lodów skutkiem ubytku stamtąd wielkiej ilości masy podniosła się o 300 m itp. Wogóle ziemia posiada sprężystość taką jak stal.

Ciała wogóle możemy podzielić na dwie klasy: na ciecze i ciała sprężyste:

Ciecz jest to ciało, które nawet pod działaniem choćby najmniejszej siły stykowej do powierzchni jest wprowadzone w ruch. Aby w cieczy istniała równowaga muszą siły być normalne do powierzchni cieczy.

Ciała sprężyste wytrzymują siłę stykową, jeśli ona nie jest zbyt duża, nie nabywają ruchu i utrzymują

miją stan równowagi.

Napięcie (nateżenie, prężność, ciśnienie). Wyobraźmy sobie wewnątrz ciała jakibądź przekrój. Nazywamy napięciem taką siłę, jaką trzeba przyłożyć na każdej jednostce przekroju, aby ciało zostało w równowadze. Przykład: Obciążmy nitkę konczarkową ciężarkiem P . Co tu będzie napięciem? Wyobraźmy sobie, że nitkę przecinamy. Skutkiem tego górna jej część skurczyłaby się. Aby to nie nastąpiło, trzeba w tym przekroju przyłożyć pewną siłę = napięcie. Jeśli nitka jest bardzo cienka i lekka, to napięcie stanowi tu



Fig 162.

Siła P .

Wydłużenie. Można by się spytać, jaki wpływ ma siła na zmianę długości ciała, wydłużenie.

Hipotetycznie można powiedzieć, że długość ciała zależy od siły F :

$$l = f(P)$$

Funkcję tę uwarujemy za cięgła (naturalna

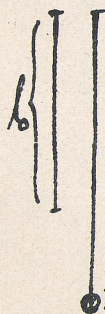


Fig 163.

non facit saltus) i możemy tedy, stosując rozwinięcie Maclaurina napisać:

$$l = f(0) + P \left(\frac{\partial f}{\partial P} \right)_0 + \frac{P^2}{2} \left(\frac{\partial^2 f}{\partial P^2} \right)_0 + \dots$$

Ograniczając się do wyliczeń małych i odcinając składniki dalsze, dostajemy:

$$l = f(0) + P \left(\frac{\partial f}{\partial P} \right)_0$$

Stąd $f(0)$ wyznaczymy z warunku, że dla $P=0$ jest $l=l_0$. Stąd:

$$l = l_0 + P \left(\frac{\partial f}{\partial P} \right)_0$$

Co do czynnika $\left(\frac{\partial f}{\partial P} \right)_0$ postawimy pewne hipotezy, a mianowicie:

$$\left(\frac{\partial f}{\partial P} \right)_0 = \frac{l_0}{2E}$$

przez co chcemy powiedzieć, że wydłużenie przy jednakowych siłach jest proporcjonalne do długości a odwrotnie proporcjonalnie do przekroju. E oznacza współczynnik tzw. moduł Younga. Stąd dostajemy:

$$\frac{l-l_0}{l_0} = \frac{P}{2E}$$

Jest to zasadnicze prawo teorii sprężystości, wypro-
wiedzione przez Hooke'a 1676: *ut tensio sic vis*.
Prawo to jest ważne dla odkształceń bardzo małych,
mówimy, że stosuje się ono w granicach sprężysto-
ści. Powiedzenie takie jest ogromnie niedokładne, bo
granic takich właściwie nie ma.

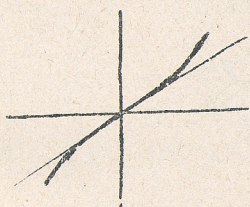


Fig 164.

Graficznie prawo Hooke'a przedstawi
się mniej więcej tak jak wskazuje fig
164, przyciem bezwzględna wartość mo-
dulu wydłużeń i skróceń jest taka sama.
Różnica zachodzi tylko co do znaku.

Teorię sprężystości starano się poprawić przez uwzględ-
nienie wyższych potęg szeregu Maclaurina, ale nie
wyskazało na tej drodze lepszego. Teoria poprzestająca na
pierwszym członie daje pierwsze przybliżenie, ale jest ona
tu jeszcze najlepsza.

Moduł E określa się według wzoru jako $\frac{kg}{mm^2}$. Dla
stali jest np. $E = 20000 \frac{kg}{mm^2}$. kcm. Drut stalowy o prze-
kroju $q = 1 mm^2$ obciążony 20000 kg wydłuży się o pierwot-

na swą długość. De facto możliwe jest wydłużenie drutu stalowego: $\frac{l'-l}{l} = \frac{200}{20000} = 1\%$ i przerwanie jeszcze nie nastąpi. Moduł E ma zastosowanie techniczne. Dla celów fizyki określa go się w systemie (cgs). Aby z określenia technicznego przejść do (cgs), trzeba oczywiście wielkość techniczną modułu pomnożyć przez: $10^3 \cdot 980 \cdot 10^2 \sim 10^8$.

Dostanie się wtedy na E stosunek: $\frac{\text{dyn}}{\text{cm}^2}$.

Jako moduł $E = 7000$, ciężar $1900 \frac{\text{kg}}{\text{cm}^3}$.

Dotąd rozważaliśmy wydłużenie jakiegoś drutu taki, jakoby napięcie w każdym przekroju było jednakowe. W ogólności tak jednak nie jest. Aby więc móc rozważać ten wypadek, gdy napięcie nie jest jednostajne, dążymy do praw elementarnych. Dla elementów rozmiarów stosowne są prawa, jak gdy napięcie jest jednostajne. Tak więc przez prawa elementarne dojdziemy do zjawiska ogólnego, które uważać będziemy za złożone ze zjawisk elementarnych.

Uważajmy w drucie, który poddamy wydłu-

zenie, element dx . Po wykształceniu element ten wynosić będzie: $(x' + u') - (x + u)$. Stąd:

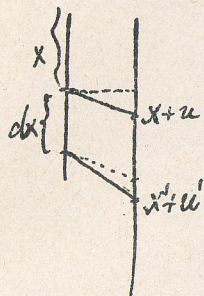


Fig 165.

$$\frac{(x' + u') - (x + u) - dx}{dx} = \frac{(x' - x) - dx + (u' - u)}{dx} = \frac{du}{dx}$$

gdzie wychylenie punktów:

$$u = f(x).$$

Stosując prawo Hooke'a mamy:

$$\frac{du}{dx} = \frac{F}{AE} = \frac{f}{E}$$

jeśli przez oznaczymy napięcie jednostkowe tj. przypadające na jednostkę powierzchni przekroju.

Tęś możemy już to prawo różniczkowe stosować nawet do wypadków, gdy napięcie f nie jest dla wszystkich elementów jednakowe.

Kiedy, gdy napięcie owo jest jednakowe dla wszystkich elementów, to wracamy do dawnego prawa. Mamy wtedy:

$$u = \frac{f}{E} \cdot x + \text{Const}$$

$$u_{x=l} - u_{x=l_0} = \frac{f}{E} l.$$

Urzeczywistnienie napięcia niejednakowego napotyka-

my choćby w wypadku, gdy uwzględnimy sam ciężar nitki. Napięcie wzrasta proporcjonalnie do masy:

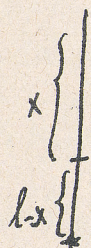


Fig 166

$$f = g\rho(l-x)$$

$$\frac{du}{dx} = \frac{f}{E} = \frac{g\rho(l-x)}{E}$$

$$u = \frac{g\rho}{E} \left(lx - \frac{x^2}{2} \right)$$

Wydłużenie końcowe: $u = \frac{g\rho}{E} \frac{l^2}{2}$ tj.

$$\frac{l-l_0}{l_0} = \frac{g\rho l_0}{2E}$$

Zatem wydłużenie jest takie jak gdybyśmy pobawę masy przyrzepili przy końcu.

Podobnie można ten wypadek niejednostajnego napięcia uxrzeczywistnić, wyobrażając sobie, że drut wisi. Siła odśrodkowa spełniać tu będzie funkcję napięcia.

Zauważyć tu trzeba dla ścisłości, że nie powinno się pisać właściwie: $l-x$ na oznaczenie kawałka nitki branego pod uwagę bo l się wydłuża samo. Wielkość jednak wydłużenia jest wyższego rzędu w porównaniu do l tak, że możemy je opuścić.

Deformacje kostki elementarnej.

a) Sprężystość objętościowa. Pomysłmy sobie osnuta sprężystego wycięta kostkę o długości boków a i wyobraźmy sobie siły ciągnące na nią wywierane np. w kierunku osi x . Będą to siły X_x .

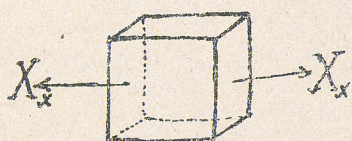


Fig 167

Siły X_x (normalne do ścian kostki) powodują wydłużenie kostki. Rocentowe takie wydłużenie (na jednostkę długości)

wynosi w myśl prawa Hooke'a:

$$\frac{a' - a}{a} = \frac{X_x}{E}$$

(X_x siła działająca na jednostkę powierzchni). Równocześnie z wydłużeniem kostki w jednym kierunku następuje skurczenie w innych kierunkach. Skurczenie to jest mniejsze. Wprowadzając czynnik Poissona μ wyrazimy je w każdym z dwu pozostałych kierunków:

$$a - \mu(a' - a) = a(1 - \mu \frac{X_x}{E})$$

Pod wpływem siły X_x kostka elementarna zmienia swoją objętość $Vol_0 = a^3$ na Vol' .

$$Vol' = a(1 + \frac{X_x}{E}) a(1 - \mu \frac{X_x}{E}) a(1 - \mu \frac{X_x}{E})$$

$$= a^3 [1 + (1 - 2\mu) \frac{X_x}{E} + \cancel{(\frac{X_x}{E})^2}]$$

Opuszczając składniki od $(\frac{X_x}{E})^2$ porządku jako wielkości wyższego rzędu dostajemy:

$$Vol' = Vol_0 [1 + (1 - 2\mu) \frac{X_x}{E}]$$

czyli

$$\frac{Vol' - Vol_0}{Vol_0} = (1 - 2\mu) \frac{X_x}{E}$$

Dla $\mu < \frac{1}{2}$ objętość się powiększa. Wskucie μ jest zawsze $< \frac{1}{2}$; dla kauczuku, żelatyny μ ma prawie wartość $\frac{1}{2}$.

Ogólnie czem większa sztywność postaciowa tem μ jest mniejsze. Zbadać to można drogą Wertheima. Czyn-

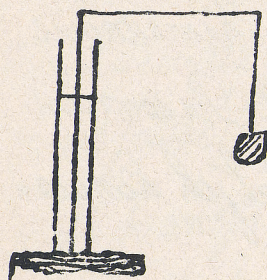


Fig 168

nik μ znajduje się tu przez pomiary obniżenia cieczy zawartej w rurce, w której wydmuchamy drut za pomocą odpowiedniego systemu dźwigniowego. Tak znalazł Wertheim wartość $\mu = \frac{1}{3}$. Wskucie

wartości tego czynnika, μ zawarte są w granicach 0.1...0.5.

Na tych podstawach zbudowano całą teorię sprężystości. Pochodzą od Hooke'a, teorię ogólną wypracowali Navier i Poisson (1820). Punktem ich wyjścia było pojęcie molekuli, drobin. Podstawę tę potem wyeliminowano z teorii. Według Naviera i Poissona $\mu = \frac{1}{4}$, natomiast według $\mu = \frac{1}{3}$. Sprzecznosc tę rozstrzygnięto w ten sposób, że μ jest indywidualne, zależne od natury odkształcanego ciała.

W teorii Poissona i Naviera było założenie, że siły międzydrobinowe są centralne. Byłoby to wtedy słuszne, gdyby molekuly miały kształt kul. Nie można atoli tego przesądzić i założenie to jako za ciałne trzeba z teorii usunąć. Tak samo trzeba postąpić z założeniem Naviera i Poissona, że molekuly są stałe. Mogą one bowiem poruszać się.

Obecnie opieramy się przy wyprowadzeniu teorii sprężystości na następujących danych doświadczalnych:

1° Okręcenie jest proporcjonalne do siły P .

2° Jeśli odkształcenie jest skutkiem kilku sił równo

ciężkości, to jest ono superpozycja odkształceń sił poszczególnych.

Zasada superpozycji odkształceń jest hipotetyczna. Tymczasem ona w razie wydłużenia w tym samym kierunku skierowanego z prawa Hooke'a, i naodwrot prawo Hooke'a wynika z niej jako szczególny przypadek. Możemy bowiem tak rozumieć, jeśli prawo Hooke'a jest wane, to drut obciążony np. jednym kilogramem wydłuży się o ε , skutkiem zaś obciążenia 2 kilogramami wydłuży się o 2ε . Ale przyjmując zasadę składowania sił, mamy już co iśso zasadę składowania odkształceń; istotnie to powoduje, że ciążo połączonym kawałkiem z 2 kilogramów wydłuży się o ε , ma w całości wydłużyć się o 2ε .

Naodwrot przyjmijmy teraz, że wydłużenie nie następuje według prawa Hooke'a lecz według innego prawa np.

$$\frac{du}{dx} = \frac{p}{E} + ap^2$$

$$\frac{du'}{dx} = \frac{p'}{E} + ap'^2$$

Superpozycja tych odkształceń daje:

$$\frac{d(u+u')}{dx} = \frac{p+p'}{E} + a(p^2+p'^2)$$

To jednak nie da się nakreślić tak jak wyżej wypowiedziane prawo superpozycji.

Prawo superpozycji jest ogólniejszą zasadą niż prawo Hooke'a, gdyż stosuje się do deformacji różnych rodzajów.

Wyżej wyprowadziliśmy wzór na deformację objętościową kostki elementarnej o boku a pod wpływem siły normalnej X_x działającej w kierunku osi x . Niech teraz na tę kostkę działają jeszcze inne siły normalne Y_y, Z_z , odkształcające ją, przy czem jednak kostka ma pozostać w równowadze. Skutkiem tego ostatniego warunku wszystkie wspomniane siły muszą być równe co do wielkości bezwzględnej, $= p$. Pod wpływem jednej z nich odkształcenie kostki przedstawia się:

$$\frac{Vol' - a^3}{a^3} = \frac{p}{E} (1 - 2\nu)$$

Pod wpływem zaś wszystkich trzech na mocy prawa superpozycji deformacja objętościowa kostki przedstawia się oczywiście:

$$\frac{a'^3 - a^3}{a^3} = \frac{3p}{E} (1 - 2\nu)$$

Wprowadzając moduł objętościowy (Tolumenmodul):

$$K = \frac{E}{3(1-2\mu)}$$

możemy odkształcenie objętościowe kostki wyrazić:

$$\frac{a'^3 - a^3}{a^3} = \frac{p}{K}$$

Analogiczny wzór mamy w hydrodynamice na zmianę gęstości cieczy pod wpływem ciśnienia:

$$\rho = \rho_0 [1 + p\delta].$$

Różnica polega w tem, że przy odkształceniu objętościowym kostki mówiliśmy o ciągnięciu, teraz mówimy o ciśnieniu; powoduje to zmianę znaku tj: $p\delta = -\frac{p}{K}$

$$\rho = \rho_0 \left[1 - \frac{p}{K} \right]$$

gdzie ścisłość $\delta = \frac{1}{K}$. Pomiar jak widzieliśmy, E jest wielkością 4^{go} rzędu, gdy bierzemy pod uwagę stosunek $\frac{H_g}{mm}$, lub 6^{go} rzędu, gdy użyczymy stosunek $\frac{H_g}{cm^2}$, i ponieważ sprężyność K jest tego samego rzędu, więc ścisłość ciał stałych jest bardzo mała, rzędu 10^{-6} . Ścisłość cieczy jest nieco większa $\delta \sim 10^{-5}$.

Pod wpływem rozważanych dotąd odkształceń zmienia się tylko objętość kostki, kształt nie. Stąd też pochodzi nazwa deformacja objętościowa, a sprężystość przy niej występującą nazywamy objętościową.

b) Sprężystość postaciowa. Weźmy teraz pod uwagę siły, które działają w kierunkach stycznych do ścian kostki elementarnej. Będą to siły np. X_y, Y_x . Jeśli ma być równowaga, to trzeba założyć,

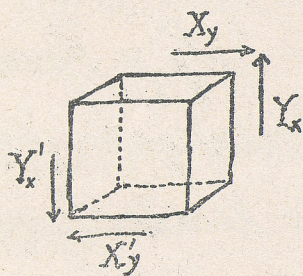


Fig 169.

że siły te są równe i nadto, że dołączone są siły X_y, Y_x równe sobie i przeciwnym, przenoszące moment wytworzony przez siły X_y, Y_x .

Mamy więc tutaj system sił, równych co do bezwzględnej wartości, $= p$. Jaki skutek tego systemu sił?

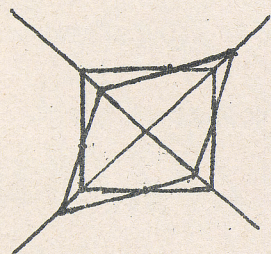


Fig 170.

Nastąpi wydłużenie kostki, jak to wskazuje przekrój kostki Fig 170, w kierunku jednej przekątnej, skrócenie zaś w kierunku drugiej. Ponieważ przy takim odkształceniu zmieniają się

Wtedy, żeby te boki można było charakteryzować to określając je.
 Rozważając deformację postaciową można doprowadzić
 do deformacji objętościowej. Wystarczy w tym



Fig 171.

celu wykreślić na uwzględnionym przekroju nowy kwadrat opisany na poprzednim o bokach prostopadłych do przekątnej poprzedniego i siły p skierowane do boków poprzedniego kwadratu

to porożkładać normalnie do boków kwadratu wprowadzonego. Napięcia sił σ będących wynosić będzie oczywiście $\frac{p}{2}$. Można je teraz będzie składać w sposób inny: równoległe co dwie razem.

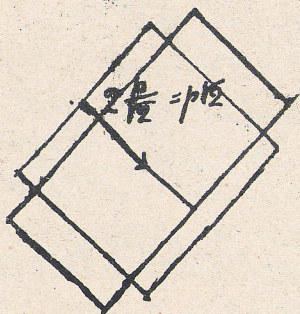


Fig 172

Można więc będzie powiedzieć, że na boki tego nowego kwadratu działają będą siły normalne $2 \frac{p}{2} = p\sqrt{2}$. Jeśli bok kostki pierwotnej oznaczymy a , to bok

wprowadzonego kwadratu wynosić będzie oczywiście $a\sqrt{2}$.

W tym przypadku zatem na jednostkę wynosić będzie:

$$\frac{p\sqrt{2}}{a\sqrt{2}} = \frac{p}{a}$$

Kwadrat nowy zdeformuje się w sposób podany na rysunku, tj. jedne boki wydłużą się, inne skrócą.

Skutkiem siły przyciągającej wydłużenie będzie $\frac{p}{E}$, skrócenie zaś $\mu \frac{p}{E}$. Wartości zatem odkształcenie skutkiem siły przyciągającej będzie:

$$\varepsilon = \frac{p}{E} + \mu \frac{p}{E} = \frac{p}{E} (1 + \mu).$$

Takie same będzie oczywiście odkształcenie skutkiem siły ściskającej.

Łącząc boki zdeformowanego kwadratu przedstawiają przekątne nowego pierwotnego przekroju kółki odkształconej przez siłę p . Odkształcone te przekątne wynosić

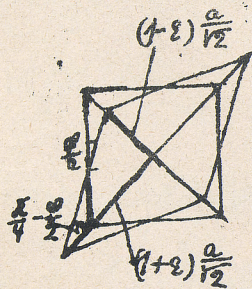


Fig 173.

będzie: $(1 - \varepsilon) \frac{a}{\sqrt{2}}$

$$(1 + \varepsilon) \frac{a}{\sqrt{2}}$$

Wracając tedy do odkształcenia posadziowego, powiemy:

$$\lg \left(\frac{\frac{a}{\sqrt{2}}}{\frac{a}{\sqrt{2}}} \right) = \frac{(1 - \varepsilon) \frac{a}{\sqrt{2}}}{(1 + \varepsilon) \frac{a}{\sqrt{2}}} = \frac{1 - \varepsilon}{1 + \varepsilon}$$

$$\lg\left(\frac{\sqrt{1+\varepsilon}}{1} - \frac{\varphi}{2}\right) = \frac{\lg \frac{\sqrt{1+\varepsilon}}{1} - \lg \frac{\varphi}{2}}{1 + \lg \frac{\sqrt{1+\varepsilon}}{1} \lg \frac{\varphi}{2}} = \frac{1 - \lg \frac{\varphi}{2}}{1 + \lg \frac{\varphi}{2}} = \frac{1-\varepsilon}{1+\varepsilon}. \text{ Stąd}$$

$$\lg \frac{\varphi}{2} = \varepsilon$$

Ponieważ kąs φ oznaczają wartości ogromnie małe, bo wogóle odkształcenia tylko bardzo małe rozważamy, przeto możemy pisać:

$$\frac{\varphi}{2} = \varepsilon$$

$$\varphi = 2\varepsilon$$

czyli

$$\varphi = \frac{2(1+\mu)}{E} \cdot p$$

Wprowadzając kąs symbol T jako moduł skręcenia, (Torsionsmodul)

$$T = \frac{E}{2(1+\mu)}$$

możemy odkształcenie postaciowe kostki elementarnej wyrazić

$$\varphi = \frac{p}{T}$$

Zestawiając wzory na wydłużenie, odkształcenie objętościowe, odkształcenie postaciowe, widzimy stałe:

$$\text{Odkształcenie} \sim \frac{p}{E}, \frac{p}{K}, \frac{p}{T}.$$

Przy odkształceniu postaci objętość kostki zostanie niezmieniona. Widać to bez rachunku. Efekt bowiem przy nieściśnięciu matem ścieciu się kostki będzie ten, że ściany boczne nachyła się, podstawy zaś zostaną niezmienione. Górna



Fig 174.

tylko podstawa przesunie się równolegle do swej pierwotnej pozycji. Wysokość deformowanej kostki będzie taka sama.

Dotychczas rozważaliśmy odkształcenie kostki elementarnej przy założeniu równowagi i równości sił. Ograniczenie to jednak łatwo usunąć i wszystkie wogóle wypadki można zredukować do tutaj rozważanych.

Zakładając więc, że siły ciągnące X_x, Y_y, Z_z są różne, że więc skutkiem nich kostka nie będzie już dalej zostawać w równowadze, dostaniemy na odkształcenie objętości w kierunku x wzór:

$$\varepsilon_x = \frac{X_x}{E} - \mu \frac{Y_y}{E} - \mu \frac{Z_z}{E}.$$

Istotnie bowiem w kierunku x nastąpi wyobrzeźnienie kostki skutkiem siły X_x , skurczenie zaś skutkiem dwa

sił prozodotych Y, Z . Podobnie wyznaczmy odkształcenia $\varepsilon_y, \varepsilon_z$. Tak więc dostaniemy na odkształcenie objętościowe kostki następujące ogólne wzory:

$$\varepsilon_x = \frac{X}{E} - \frac{\mu}{E} (Y + Z)$$

$$\varepsilon_y = \frac{Y}{E} - \frac{\mu}{E} (Z + X)$$

$$\varepsilon_z = \frac{Z}{E} - \frac{\mu}{E} (X + Y)$$

Kąty kostki nie ulegną, oczywiście pod wpływem sił X, Y, Z żadnym zmianom.

Odpowiednio uogólniając, dla dowolnej kostki przy odłączeniu warunków równowagi. Możemy przytem założyć, że istnieje jakies siły zewnętrzne, działające na elementy objętościowe wnętrza ciała np. grawitacja. Siły takie powodują tylko ruch postępowy. Jeśli poróżamy zatem możliwość ruchów obrotowych kostki, koto prowadzący od jako osi to otrzymamy równania ruchu:

$$\rho dx dy dz \left(Y \frac{dx}{2} - X \frac{dy}{2} \right) + Y_z' dy dz dx - X_y' dx dy dz = K_z \frac{d\varphi}{dt},$$

gdzie pierwszy człon pochodzi od sił zewnętrznych, działających

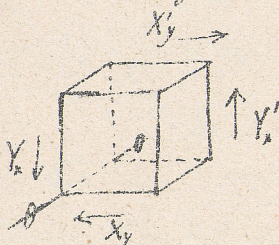


Fig 175.

jących a natężeniem XYZ na jednostkę masy i przykre-
pionych w środku kostki, drugi i trzeci człon pochodzi
z natężeń stykowych działających na powierzchnie kost-
ki, a K_2 oznacza moment bezwładności kostki elemen-
tarnej tj wielkość przodu $dx dy dz$.

Jeśli $\frac{d^2 x}{dt^2}$ ma być wielkością skończoną tj ściśle ruch
wzbudzony ma być skończeniem prędkości to wobec tego, że
pierwszy człon równania jest wielkością 4^{go} rzędu, a K_2
jest wielkością 5^{go} rzędu, możemy te oba człony wobec
wielkości niższych rzędów pominąć tak, że dzieląc
całe równanie przez $dx dy dz$ dochodzimy do równości

$$Y_x' = X_y$$

warnej ściśle w przypadku granicznym lin $dx dy dz = 0$.
Analogicznie mamy:

$$Y_x = X_y \text{ itd.}$$

Tj dochodzimy do wniosku, że nawet w ogólnym wypadku
wystarczy tylko trzy różne gatunki sił stykowych ści-
hających kostkę uwzględnić, innymi słowy, że siły pod-
go przekroju kostki elementarnej należy uważać za
równe (z pominięciem miejsc. małych różnic) co do bez-
względnej wartości (Fig 176). Mając to łatwo już mo-
żemy przejść do wzorów ogólnych na ścinanie kostki.

Stąd one:

$$\varphi = \frac{Y_z}{T} = \frac{Z_y}{T}$$

$$\psi = \frac{Z_x}{T} = \frac{X_z}{T}$$

$$\chi = \frac{X_y}{T} = \frac{Y_x}{T}$$

Objętość kostki przyznaczeniu odkształceń postaciowych bardzo małych jest niezmieniona.

Deformacje ciała dowolnego kształtu.

Każde ciało możemy sobie stworzyć z elementów w kształcie kostek. Jeśli ciało doznaje odkształceń to każda



Fig 177

kostka elementarna doznaje również odkształceń. Z tych odkształceń elementarnych składamy odkształcenie całego ciała. Jeśli każda z kostek elementarnych ciała doznaje odkształceń takiego sa-

mego to odkształcenie ciała nazywamy jednorodnym; ogólniejszy jest wypadek, gdy na każdą kostkę doznaje takiego samego odkształcenia. Mamy wtedy do czynienia z odkształceniem niejednorodnym.

Aby odróżnić pewne z ogólnego stanowiska traktować, zauważymy, że odkształcenie niejednorodne

da się zredukować do jednorodnego. Abyż własność tego powiedzenia wykażać, wystarczy udowodnić, że deformacje w nieskończenie małej przestrzeni można uważać w pierwszym przybliżeniu za jednorodną.

Uwazajmy w tym celu punkt xyz i jego punkt sąsiedni $x+\xi, y+\eta, z+\zeta$. Po deformacji pozycja pierwszego punktu będzie określona przez współrzędne:

xyz — $x+\Delta x$
 $y+\Delta y$
 $z+\Delta z$

$$x+\Delta x, y+\Delta y, z+\Delta z$$

$x+\xi$
 $y+\eta$
 $z+\zeta$ — $x+\xi+\Delta x$
 $y+\eta+\Delta y$
 $z+\zeta+\Delta z$

zas' drugiego przez:

$$x+\xi+\Delta x+\Delta \xi$$

$$y+\eta+\Delta y+\Delta \eta$$

$$z+\zeta+\Delta z+\Delta \zeta$$

Fig 178.

gdzie ξ, η, ζ są funkcjami pewnymi zmiennych x, y, z .

Stosując rozwinięcie na szereg Taylora możemy napisać:

$$x+\xi+\Delta x+\Delta \xi = x+\xi + \Delta x + \frac{\partial \xi}{\partial x} \Delta x + \frac{\partial \xi}{\partial y} \Delta y + \frac{\partial \xi}{\partial z} \Delta z$$

$$y+\eta+\Delta y+\Delta \eta = y+\eta + \Delta y + \frac{\partial \eta}{\partial x} \Delta x + \frac{\partial \eta}{\partial y} \Delta y + \frac{\partial \eta}{\partial z} \Delta z$$

$$z+\zeta+\Delta z+\Delta \zeta = z+\zeta + \Delta z + \frac{\partial \zeta}{\partial x} \Delta x + \frac{\partial \zeta}{\partial y} \Delta y + \frac{\partial \zeta}{\partial z} \Delta z$$

Składniki wyższych rzędów opuszczamy.

Lewe strony są w dalszym ciągu odpowiednio:

$$\begin{aligned} &= x + \xi + \left[\Delta x \left[1 + \frac{\partial \xi}{\partial x} \right] + \Delta y \frac{\partial \xi}{\partial y} + \Delta z \frac{\partial \xi}{\partial z} \right] \\ &= y + \eta + \left[\Delta x \frac{\partial \eta}{\partial x} + \Delta y \left[1 + \frac{\partial \eta}{\partial y} \right] + \Delta z \frac{\partial \eta}{\partial z} \right] \\ &= z + \zeta + \left[\Delta x \frac{\partial \zeta}{\partial x} + \Delta y \frac{\partial \zeta}{\partial y} + \Delta z \left[1 + \frac{\partial \zeta}{\partial z} \right] \right] \end{aligned}$$

Przy deformacjach chodzi nam tylko o wzajemne położenie punktów. Zmiany wzajemnych położen skreślone są ostatnimi członami określonymi. Są to wyrażenia liniowe; wnioskujemy stąd, że deformacje są jednorodne.

Z deformacji tych jednorodnych w nieskończenie małych obszarach składamy teraz deformacje całkowite ciała, które w ogólnym wypadku będzie niejednorodna.

W myśl tej uwagi rozpatrywać nam wystarczy tylko deformacje jednorodne, bo w każdej chwili możemy z nich przejść do niejednorodnych.

Czem się charakteryzuje analitycznie odkształcenie jednorodne? Punkt $x y z$ przyjmij po odkształ-

cenie porzycy: $x+dx$, $y+dy$, $z+dz$. Odkształcenia
przytem występujące, znaczący się wyżej str. 289:
 dx , naznaczymy tu $d\xi$, $d\eta$, $d\zeta$. Jeśli odkształce-
nie ma być jednorodne, to muszą częściowe podob-
ne wydłużenia części elementarnych być wielkościami
statemi. Gdyby bowiem one miały w uważanej przestrze-
ni wartości zmienne, to świadczyłoby to, że wydłużenia
są nierównomiernie w uważanym kierunku; zatem odkształ-
cenie nie byłoby jednorodne. Mamy stąd następujący
system równań różniczkowych częściowych:

$$\left. \begin{array}{lll} \frac{\partial \xi}{\partial x} = a_1 & \frac{\partial \xi}{\partial y} = a_2 & \frac{\partial \xi}{\partial z} = a_3 \\ \frac{\partial \eta}{\partial x} = b_1 & \frac{\partial \eta}{\partial y} = b_2 & \frac{\partial \eta}{\partial z} = b_3 \\ \frac{\partial \zeta}{\partial x} = c_1 & \frac{\partial \zeta}{\partial y} = c_2 & \frac{\partial \zeta}{\partial z} = c_3 \end{array} \right\} (a)$$

System ten można bezpośrednio całkować. Mamy:

$$\xi = a_0 + a_1 x + a_2 y + a_3 z$$

$$\eta = b_0 + b_1 x + b_2 y + b_3 z$$

$$\zeta = c_0 + c_1 x + c_2 y + c_3 z,$$

głównie ξ, η, ζ oznaczają przesunięcia punktów, a, b, c stałe całkowania. Dobierając odpowiednio początek układu tak żeby stałe całkowania znikły, mamy rozwiązanie systemu równań różniczkowych w formie:

$$\begin{aligned}\xi &= a_1 x + a_2 y + a_3 z \\ \eta &= b_1 x + b_2 y + b_3 z \\ \zeta &= c_1 x + c_2 y + c_3 z.\end{aligned}$$

czyli wobec tego, że $\xi = x' - x$, $\eta = y' - y$, $\zeta = z' - z$, mamy na współrzędne punktu po odkształceniu następujące wartości:

$$\left. \begin{aligned}x' &= x + \xi = (1 + a_1)x + a_2 y + a_3 z \\ y' &= y + \eta = b_1 x + (1 + b_2)y + b_3 z \\ z' &= z + \zeta = c_1 x + c_2 y + (1 + c_3)z\end{aligned} \right\} (b)$$

Współrzędne więc punktu po odkształceniu wyrażają się liniowo przez współrzędne punktu przed odkształceniem. Stąd wniosek geometryczny, że proste w uwarzaniu ciała przechodzą po deformacji znowu w proste, płaskie i znowu w płaskie; zmieniają one tylko kąt nachylenia.

Kula przejdzie w ogólność na elipsoidę. Stopień tworów geometrycznego będzie zachowany.

Zapytamy teraz jaki rodzaj skrócenia przedstawiają te równania.

Rozwojmy, co się dzieje z punktami na osiach x, y, z .

Gdy założymy $x=0, y=0, z=0$, to $x'=0, y'=0, z'=0$.

Gdy założymy: $y=0, z=0$, to weźmiemy pod uwagę punkty osi x . Dostajemy na ich współrzędne po deformacji wartości:

$$x' = (1+a_1)x$$

$$y' = b_1 x$$

$$z' = c_1 x$$

Równowina te powiada, że każdy z punktów pierwotnie na osi x doznał 1° przesunięcia w kierunku osi x 2° odchylił się ku osi y oraz osi z , a b_1, c_1 podają tg kątów mierzonych owe odchylenie.

Gdy założymy $x=0, z=0$, to weźmiemy pod uwagę punkty osi y . Dostajemy na ich współrzędne po deformacji wartości:

$$x' = a_2 y$$

$$y' = (1+b_2)y$$

$$z = c_2 y$$

Równania te powiadają, że każdy z punktów krzywej pierwotnie na osi y doznał 1° przesunięcia w kierunku osi y 2° odchylił się ku osi x oraz osi z , zaś a_2, c_2 podają, by kątów mierzących owe odchylenie. Jeśli odet-

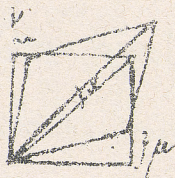


Fig 178

niemy na osiach x i y boki kwadratu, będącego przekrojem kostki, to boki te w myśl poprzednich wywodów nachyła się po deformacji o kąty μ i ν do osi x i y ;

i o pewne kąty do osi z , czego nie bierzemy pod uwagę, bo chodzi nam o przekrój w jednej płaszczyźnie. Widzimy już stąd odrazu że równania owe przedstawiają deformację ścinania (skrętu). W szczególności, gdybyśmy założyli $\mu = \nu$, mielibyśmy wypadek poprzednio rozważony (Fig 99), gdzie kąt skręcenia wynosił $\frac{\pi}{2}$. Tutaj atoli z założenia ogólnego, że μ i ν nachyleni osi po deformacji do osi pierwotnych są różne, mamy też wniosek ogólny, że te kąty nachyleni μ i ν są różne.

Zauważymy tu jeszcze że przekształcenie uogólnionego kwadratu można prościej wydedukować z obrotu pionowego o kąt jaki łatwo wyrozumować sobie $\chi = \frac{\mu - \nu}{2}$.

Równania (b) przedstawić możemy jeszcze toroidalnie w innej formie:

$$\begin{aligned} x' &= x(1+a_1) + \frac{b_1+a_2}{2}y + \frac{a_3+c_1}{2}z + \frac{a_3-c_1}{2}z - \frac{b_1-a_2}{2}y \\ y' &= y(1+b_2) + \frac{c_2+b_3}{2}x + \frac{b_1+a_2}{2}x + \frac{b_1-a_2}{2}x - \frac{c_2-b_3}{2}z \\ z' &= z(1+c_3) + \frac{a_3+c_1}{2}x + \frac{c_2+b_3}{2}y + \frac{c_2-b_3}{2}y - \frac{a_3-b_1}{2}x \end{aligned}$$

czyli wprowadzając skrócenia:

$$\begin{aligned} \alpha &= \frac{a_1-b_2}{2}, \quad \beta = \frac{a_3-c_1}{2}, \quad \gamma = \frac{b_1-a_2}{2} \\ \varphi &= c_2+b_3, \quad \psi = a_3+c_1, \quad \chi = b_1+a_2 \end{aligned}$$

w formie:

$$\left. \begin{aligned} x' &= x(1+a_1) + \frac{\chi}{2}y + \frac{\psi}{2}z + \beta z - \gamma y \\ y' &= y(1+b_2) + \frac{\varphi}{2}x + \frac{\chi}{2}x + \gamma x - \alpha z \\ z' &= z(1+c_3) + \frac{\psi}{2}x + \frac{\varphi}{2}y + \alpha y - \beta x \end{aligned} \right\} (c)$$

Wskazaliśmy (c) możemy już w łatwości odróżnić trzy

ciągnięciu, z których pierwsza pochodzi z wydłużenia występujących wskutek deformacji; druga ze zmiany kątów; trzecia z obrotu - to przedstawia ona precyzyjnie przesunięcia wywołane obrotem nieskończenie małym spotykane już w mechanice ciał sztywnych.

Jakie siły powodują owe deformacje? Obroty nie są bez pośrednim skutkiem sił sprężystych; siły sprężyste powstają skutkiem deformacji względnych, a więc tylko skutkiem składników pierwszych. Npitarczy więc oddzielnie rozpatrzeć siły powodujące składniki pierwsze i wtóre.

Wydłużenia powodują, jak wiemy siły: X, Y, Z ; jest bowiem:

$$\left. \begin{aligned} a_1 &= \frac{X}{E} - \mu \frac{Y+Z}{E} \\ b_2 &= \frac{Y}{E} - \mu \frac{X+Z}{E} \\ c_3 &= \frac{Z}{E} - \mu \frac{X+Y}{E} \end{aligned} \right\} (d)$$

Skrócenia powodują znowu, jak wiemy, siły: X, Y, X, Z, Y, Z ; jest bowiem:

$$\left. \begin{aligned} \varphi &= \frac{Y}{T} = \frac{Z_1}{T} \\ \psi &= \frac{Z}{T} = \frac{X_2}{T} \\ \chi &= \frac{X}{T} = \frac{Y_2}{T} \end{aligned} \right\} (e)$$

Z treści równań (2) i (3) możemy wyrazić przewod-
kości pozostałe. Po wykonaniu stosownych eliminacji dosta-
jemy np.

$$X_x = \frac{E(1-\mu)}{(1+\mu)(1-2\mu)} a_1 + \frac{E\mu}{(1+\mu)(1-2\mu)} (b_2 + c_3)$$

czyli

$$X_x = \frac{E}{1+\mu} a_1 + \frac{E\mu}{(1+\mu)(1-2\mu)} (a_1 + b_2 + c_3)$$

czyli przypominając sobie relację $T = \frac{E}{2(1+\mu)}$ i znając:

$$\frac{E\mu}{(1+\mu)(1-2\mu)} = L; \quad a_1 + b_2 + c_3 = \Delta. \quad \text{Tak, dochodzimy}$$

do następujących wzorów:

$$X_x = 2Ta_1 + L\Delta$$

$$Y_y = 2Tb_2 + L\Delta$$

$$Z_z = 2Tc_3 + L\Delta.$$

Co się tyczy zaś napięć ścinających, to będzie:

$$X_y = Y_x = T\alpha = T(a_2 + b_1)$$

$$Y_z = Z_y = T\varphi = T(b_3 + c_2)$$

$$Z_x = X_z = T\psi = T(c_1 + a_3).$$

Przepisując to jeszcze raz wyrażenie dostajemy wzory:

na siły zmieniające objętość ciała:

$$\left. \begin{aligned} X_x &= 2T \frac{\partial f}{\partial x} + L \left(\frac{\partial \gamma}{\partial x} + \frac{\partial \gamma}{\partial y} + \frac{\partial \xi}{\partial z} \right) \\ Y_y &= 2T \frac{\partial \gamma}{\partial y} + L \left(\frac{\partial f}{\partial x} + \frac{\partial \gamma}{\partial y} + \frac{\partial \xi}{\partial z} \right) \\ Z_z &= 2T \frac{\partial \xi}{\partial z} + L \left(\frac{\partial f}{\partial x} + \frac{\partial \gamma}{\partial y} + \frac{\partial \xi}{\partial z} \right) \end{aligned} \right\} (f)$$

na siły kinujące:

$$\left. \begin{aligned} X_y &= Y_x = T \left(\frac{\partial f}{\partial y} + \frac{\partial \gamma}{\partial x} \right) \\ Y_z &= Z_y = T \left(\frac{\partial \gamma}{\partial y} + \frac{\partial \xi}{\partial z} \right) \\ Z_x &= X_z = T \left(\frac{\partial \xi}{\partial x} + \frac{\partial \gamma}{\partial z} \right) \end{aligned} \right\} (g)$$

Są to więc napięcia sprężyste wewnątrz ciała, w dowolny sposób odkształconego. Jeżeli mamy:

$$\xi = \xi_1(xyz)$$

$$\eta = \xi_2(xyz)$$

$$\zeta = \xi_3(xyz)$$

to ze wzorów tych możemy już siły obliczyć.

Weźmy teraz pod uwagę kostkę elementarną, wewnątrz ciała i przyjmijmy ogólny wypadek, że ona nie zostaje w równowadze; że jest więc w ruchu. Z tego założenia wynika, że siły $X'_x, X'_x, \dots, X'_y, X'_y, \dots$ są na ogół różne.

Jakie siły mogą działać na taką kostkę elementarną, dajmy na to, w kierunku x i jakiego udzieli jej przyspieszenia wypadkowego? Siła wyciągająca wypadkowa w tym kierunku będzie:

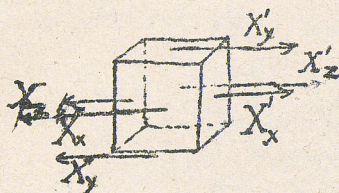


Fig 179.

$$(X'_x - X_x) dy dz$$

gdzie $dy dz$ jest przekrojem. Wypadkowe siły działające będą:

$$(X'_y - X_y) dx dz ; (X'_z - X_z) dx dy .$$

Może jeszcze działać jakaś siła zewnętrzna np. ciężkość.

Będzie ona:

$$X_g dx dy dz$$

gdzie oznaczamy gęstość ciała razy $dx dy dz$ objętość kostki elementarnej. Znacząc przyspieszenie wypadkowe w tym kierunku $\frac{\partial^2}{\partial t^2}$ i składowując wszystkie owe siły poprzednie, mamy równość:

$$\frac{\partial^2}{\partial t^2} \rho dx dy dz = X_g dx dy dz + (X'_x - X_x) dy dz + (X'_y - X_y) dx dz + (X'_z - X_z) dx dy .$$

czyli

$$\frac{\partial^2 \varphi}{\partial t^2} \rho \, dx \, dy \, dz = X \rho \, dx \, dy \, dz + \frac{\partial X_x}{\partial x} \, dx \, dy \, dz + \\ + \frac{\partial X_y}{\partial y} \, dx \, dy \, dz + \frac{\partial X_z}{\partial z} \, dx \, dy \, dz$$

Powodując się już teraz analogią wypisujemy wartościujące trzy równania dynamiczne:

$$\left. \begin{aligned} \frac{\partial^2 \varphi}{\partial t^2} &= X + \frac{1}{\rho} \left(\frac{\partial X_x}{\partial x} + \frac{\partial X_y}{\partial y} + \frac{\partial X_z}{\partial z} \right) \\ \frac{\partial^2 \eta}{\partial t^2} &= Y + \frac{1}{\rho} \left(\frac{\partial Y_x}{\partial x} + \frac{\partial Y_y}{\partial y} + \frac{\partial Y_z}{\partial z} \right) \\ \frac{\partial^2 \zeta}{\partial t^2} &= Z + \frac{1}{\rho} \left(\frac{\partial Z_x}{\partial x} + \frac{\partial Z_y}{\partial y} + \frac{\partial Z_z}{\partial z} \right) \end{aligned} \right\} (h)$$

Równania te rozpadają się widocznie na dwie części: na część Newtonowską i dodatek pochodzący od sił odkształcających.

Wrazie spoczynku (równowagi), przyspieszenia i siły wewnętrzne anikują i równania wtedy owe redukują się do formy:

$$\left. \begin{aligned} 0 &= \frac{\partial X_x}{\partial x} + \frac{\partial X_y}{\partial y} + \frac{\partial X_z}{\partial z} \\ 0 &= \frac{\partial Y_x}{\partial x} + \frac{\partial Y_y}{\partial y} + \frac{\partial Y_z}{\partial z} \\ 0 &= \frac{\partial Z_x}{\partial x} + \frac{\partial Z_y}{\partial y} + \frac{\partial Z_z}{\partial z} \end{aligned} \right\} (i)$$

ty zostaje tylko dodatek pochodzący od sił sprężystych.

Jeszcze jednak należy inny system sił odróżnić: odnośnie do powierzchni ciała. Niech więc powierzchnia ma w danym punkcie nachylenie xyz . Do

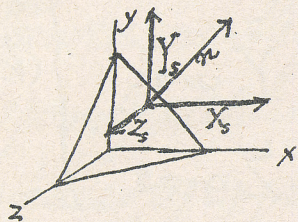


Fig 180.

tej powierzchni mogą być przypisane jakies siły. Składowe sił w kierunkach trzech osi będą: X_s, Y_s, Z_s .

Jestli przez Δ oznaczymy powierzchnię trójkąta o wierzchołkach w punktach przecięcia się płaszczyzny stycznej do uwarowanej powierzchni, zaś $\Delta_x, \Delta_y, \Delta_z$ jego rzuty na płaszczyzny normalne do osi x, y, z , to w warunkach równowagi wszystkich sił działających w kierunku osi x wypiszemy równość:

$$X_s \cdot \Delta - X_x \Delta_x - Y_y \Delta_y - Z_z \Delta_z = 0 \quad \text{--- (j)}$$

skąd

$$X_s = X_x \frac{\Delta_x}{\Delta} + Y_y \frac{\Delta_y}{\Delta} + Z_z \frac{\Delta_z}{\Delta}$$

Niech n oznacza kierunek normalnej w uwarowanym punk-

cie, to $\frac{\Delta_x}{\Delta} = \cos nx$, $\frac{\Delta_y}{\Delta} = \cos ny$, $\frac{\Delta_z}{\Delta} = \cos nz$. Stąd możemy napisać równanie pierwzce i dwa następne, kierując się analogią w następującej formie:

$$\left. \begin{aligned} X_s &= X_x \cos nx + X_y \cos ny + X_z \cos nz \\ Y_s &= Y_x \cos nx + Y_y \cos ny + Y_z \cos nz \\ Z_s &= Z_x \cos nx + Z_y \cos ny + Z_z \cos nz \end{aligned} \right\} (k)$$

Jest to system sił działających na powierzchnię jak bryła zorientowaną. Lecz wyrażenia te uolwodnione są na razie tylko dla równowagi. Wrazie ruchu zaś siły X_s , X_x , X_y , X_z w(j) nie równoważyłyby się, tylko wypadkowa ich równałaby się iloczynowi masy i przyspieszenia:

tyż trzeba by napisać:

$$X_s \Delta - X_x \Delta_x - X_y \Delta_y - X_z \Delta_z = \frac{\partial^2}{\partial t^2} \text{Vol} = \frac{\partial^2}{\partial t^2} dx dy dz$$

lecz ponieważ vol jest wielkością nieskończenie małą 3^{go} rzędu, zatem prawa strona równania znika. Przez to zaś mamy uolwodnione że system sił działających (k)

na powierzchni uwarowanego ciała jest też w nacie ruchu swobodny. Mamy tak już cały aparat matematyczny dla badania sił sprężystych, ale jest aż cztery systemy równań: (f), (g), (h), (k) w każdym po trzy równania:

Pierwsze więc trzy równania (f) określają siły ciągnące przy pomocy odkształceń ξ_1, ξ_2, ξ_3 , modułu sprężenia T i liczby L wyrażającej się przez moduł Younga E i współczynnik Poissona μ ; drugie trzy (g) określają siły ścinające przy pomocy modułu skręcenia T i odkształceń ξ_1, ξ_2, ξ_3 ; trzecie trzy (h) tzw. równania dynamiczne ruchu określają przyspieszenia w zależności od sił zewnętrznych i naprężeń sprężystych; czwarte trzy (k) określają siły przyłożone na powierzchni ciał w zależności od sił ciągnących i cosinusów kątów nachylenia.

Teraz zostaje tylko zastanowienie tych równań. Jest to sprawa ogromnie ciekawa i to już w wypadku najprostszego, gdy budowa ciała jest izotropowa, bo już w tym razie mamy do czynienia z 12 równaniami. Wobec zaś, że badamy deformację kryształów, to sprawa jest jeszcze

Mechanika Ark. XL I.

zawilona.

Tutaj ograniczymy się do statyki, a więc stale zakładając brzościenny, że przyspieszenia $\frac{\partial^2 \Phi}{\partial t^2}$, $\frac{\partial^2 \Phi}{\partial t^2}$... znikają. Będziemy więc stale mieć przed oczyma takie systemy równań:

$$(1) \quad \begin{aligned} \frac{\partial X}{\partial x} + \frac{\partial Y}{\partial y} + \frac{\partial Z}{\partial z} &= 0 \\ \frac{\partial X}{\partial x} + \frac{\partial Y}{\partial y} + \frac{\partial Z}{\partial z} &= 0 \\ \frac{\partial X}{\partial x} + \frac{\partial Y}{\partial y} + \frac{\partial Z}{\partial z} &= 0 \end{aligned}$$

$$(2) \quad \begin{aligned} X_s &= X_x \cos nx + X_y \cos ny + X_z \cos nz \\ Y_s &= Y_x \cos nx + Y_y \cos ny + Y_z \cos nz \\ Z_s &= Z_x \cos nx + Z_y \cos ny + Z_z \cos nz \end{aligned}$$

$$(3) \quad \begin{aligned} X &= 2T \frac{\partial \Phi}{\partial x} + L \left(\frac{\partial^2 \Phi}{\partial x^2} + \frac{\partial^2 \Phi}{\partial y^2} + \frac{\partial^2 \Phi}{\partial z^2} \right) \\ Y &= 2T \frac{\partial \Phi}{\partial y} + L \left(\frac{\partial^2 \Phi}{\partial x^2} + \frac{\partial^2 \Phi}{\partial y^2} + \frac{\partial^2 \Phi}{\partial z^2} \right) \\ Z &= 2T \frac{\partial \Phi}{\partial z} + L \left(\frac{\partial^2 \Phi}{\partial x^2} + \frac{\partial^2 \Phi}{\partial y^2} + \frac{\partial^2 \Phi}{\partial z^2} \right) \end{aligned}$$

$$(4) \quad \begin{aligned} X_y &= T \left(\frac{\partial^2 \Phi}{\partial y^2} + \frac{\partial^2 \Phi}{\partial x^2} \right) \\ Y_x &= T \left(\frac{\partial^2 \Phi}{\partial x^2} + \frac{\partial^2 \Phi}{\partial y^2} \right) \\ Z_x &= T \left(\frac{\partial^2 \Phi}{\partial x^2} + \frac{\partial^2 \Phi}{\partial z^2} \right) \end{aligned}$$

Do rozwiązania poszczególnych zagadnień Statyki sprężystości wystarczy ogólne twierdzenie Kirchhoffa, które tu bez dowodu przyjmujemy: Jeśli są dane siły działające na powierzchnie: X_s, Y_s, Z_s i siły działające na wewnętrzne ciała X, Y, Z , to jest tylko jeden system przesunięć ξ, η, ζ , który owe równania (I) spełnia. Jest to twierdzenie wygodne o tyle, że jeśli potem znajdziemy jakim bądź sposobem jakieś rozwiązanie równań (I), to będziemy wiedzieli, że jest to rozwiązanie jedyne.

Zarazem postępujemy tak: Przyjmujemy hipotetycznie jakieś funkcje ξ, η, ζ , następnie podstawiamy je do równań (I) i sprawdzamy, czy są spełnione.

Bliziej metody tę rozpatrzemy na przykładach.

1. Hertzott ciała nie zmienia się, deformacja polega tylko na jednostajnem skróceniu się.



Fig. 1

Odczytać będziemy, że zachodzić tu będą następujące warunki:

$$x' = x(1 + \kappa)$$

$$y' = y(1 + \kappa)$$

$$z' = z(1 + \kappa)$$

stąd

$$\begin{aligned} \xi &= \kappa x & \frac{\partial \xi}{\partial x} &= \kappa \\ \eta &= \kappa y & \frac{\partial \eta}{\partial y} &= \kappa \\ \zeta &= \kappa z & \frac{\partial \zeta}{\partial z} &= \kappa \end{aligned}$$

Wstawiając to w (3)(l), mamy:

$$X_x = (2T + 3L)\kappa = Y_y = Z_z = p$$

z (4)(l) zaś dostajemy:

$$X_y = Y_z = Z_x = 0$$

Równowia dynamiczne (l) (b) są spełnione, bo oczywiście

$$\frac{\partial X_x}{\partial x} = \frac{\partial X_y}{\partial y} = \frac{\partial X_z}{\partial z} = 0 \quad \text{itd.}$$

Wstawiając powyższe wyrażenia do (2)(l), mamy:

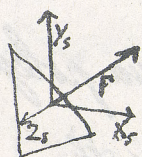


Fig 182.

$$X_s = p \cos \alpha$$

$$Y_s = p \cos \gamma$$

$$Z_s = p \cos \alpha$$

Inaczej to, że na element powierzchni działają siły X_s, Y_s, Z_s które równają się ~~normalnej~~ siły wypadkowej

Formalnej do powierzchni i w uwzględnieniu pękania. Łatwo deformacja polegająca na jednostajnym skurczeniu się powstanie wtedy, jeśli nie działają żadne, sty wewnątrz przez ciążę na cych normalnie, przyczem te ostatnie muszą być jednakowe (ciągnięcie hydrostatyczne). Aby nastąpiło skurczenie, czy powiększenie objętości, to zależy od znaku czynnika κ . Niech $\theta = 3\kappa$,

$$\kappa = \frac{p}{2T + 3L}, \quad \theta = \frac{3p}{2T + 3L}$$

Nobis $T = \frac{E}{2(1+\mu)}, \quad L = \frac{E\mu}{(1+\mu)(1-2\mu)}$ jest:

$$\theta = \frac{3p}{\frac{E}{1+\mu} \left\{ 1 + \frac{3\mu}{1-2\mu} \right\}} = \frac{p}{\frac{E}{3(1-2\mu)}} = \frac{p}{\kappa}.$$

Jest to wzór, który już wyżej (str. 296) wyprowadziliśmy na odkształcenie objętościowe kostki.

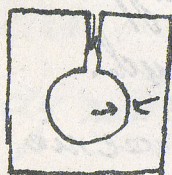


Fig 183

Odkształcenie niejednorodne natomiast nastąpi np. gdy pompa Cailleteta rozciągnie ciecz w naczyniu zamkniętym a zewnątrz będzie panować ciśnienie inne.

Wielkość odkształcenia zależy oczywiście od różnicy ciśnień.

nia, jakie panuje wewnątrz i zewnątrz.

W prosty sposób da się rozwiązać specjalny wypadek takiego odkształcenia niejednorodnego mianowicie zagadnienie jak zdeformuje się walec wydrapany, na którego powierzchni wy-

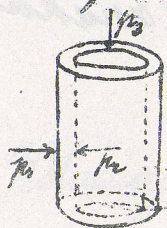


Fig 104.

warte są ciśnienia p_1, p_2, p_3 .

η, ξ dadeć się wyprawić jako przesunięcia promienia wodzącego.

Nie trudno też rozwiązać deformację kuli wewnątrz pustej. Przesunięcia mogą się tu odbywać tylko w kierunku promienia kuli.

$$\xi = \varphi(r) \frac{r}{2}$$

$$\eta = \varphi(r) \frac{r}{2}$$

$$\xi = \varphi(r) \frac{r}{2}$$

2. Ze wzorów ogólnych (1) można odnaleźć wypadki specjalne, z których doszliśmy do wzorów ogólnych.

Zakładając: $\xi = ax$, a równocześnie na skutek nie

$$\eta = -\mu^2 xy, \quad \xi = -\mu^2 xz$$

gdzie a oznacza odkształcenie, zaś μ wielkość przesunięcia, dostaniemy z (3) (1):

$$X_x = 2T_2 + L\varepsilon(1-2\mu)$$

$$Y_y = -2T_2 + L\varepsilon(1-2\mu)$$

$$Z_z = -2T_2 + L\varepsilon(1-2\mu)$$

Łączy łącznie X_y, Y_z, Z_x znikają. Równania (1), (2) są spełnione.

Wobec $T = \frac{E}{2(1+\mu)}, L = \frac{E\mu}{(1+\mu)(1-2\mu)}$, będzie

$$X_x = \varepsilon \left\{ \frac{2E}{2(1+\mu)} + \frac{(1-2\mu)E\mu}{(1+\mu)(1-2\mu)} \right\}$$

$$X_x = \varepsilon E.$$

Odpowiednio $Y_y = Z_z = 0$.

Łączy wzory te same co stosowały się do pojedynczej kostki. Tutaj są one uogólnione do ciała o dowolnym kształcie.

Analogiczne rozwiązania można przeprowadzić dla sił ścinających. Znowu się dostanie wzory na odkształcenie ciała o dowolnym kształcie podobne jak dla kostki. Wystarczy zatrzeć na przekroju wartości

$$\xi = \alpha y, \eta = 0, \zeta = 0$$

3. Przejdziemy teraz do zagadnień trudniejszych. Rozważymy przedewszystkiem skrzyni walca.

Niech więc walec prosty o podstawie kołowej zdeformuje się w ten sposób, że górna jego podstawa skrzy się o pewien kąt bardzo mały φ , dolna zaś zostanie niemieszana. Odkształcenie to będzie

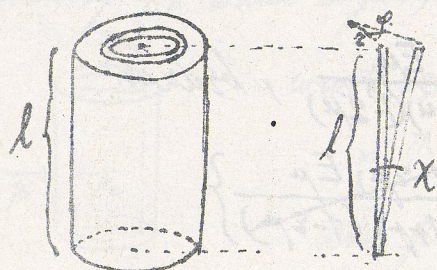


Fig 185.

już niżejnorodne.

Zagadnienie to można traktować albo w sposób metodyczny tak jak wyżej kar naczyliśmy albo bezpośrednio. Spróbujmy najpierw bezpośrednio. Uważajmy w tym celu

wyjęte włókno x walca. Deformację, jakiej ono dozna można sądzić powodu skrzywienia bardzo małego za ścinanie. Wyrazimy ją tedy:

$$\chi = \frac{r\varphi}{l}$$

$X_j = T_k = T \frac{r\varphi}{l}$ (siła działająca na jednostkę powierzchni włókna). Na przekrój kątem włókna z de dy działać będzie siła:

$$z \, dr \, dy \cdot T \frac{r\varphi}{l}$$

A całkowita siła na przekrój (poprzeczny) walca będzie:

$$\int z \, dr \, dy \cdot T \frac{r\varphi}{l}$$

Moment tedy całkowity wywołujący skręcenie walca będzie:

$$M = \int r^2 d\epsilon d\varphi T \frac{r\varphi}{l}$$

$$M = \frac{T\varphi}{l} \int_0^{2\pi} \int_0^a r^3 dr d\varphi = \frac{T\varphi}{l} \cdot \frac{a^4}{4} \cdot 2\pi.$$

$$M = \frac{\pi a^4 \varphi}{2l} \cdot T$$

Teraz zaś zastosujmy metodę. Trzeba więc uczynić pewne hipotezy co do ξ, η, ζ .

Bezpośrednio widzimy że odchylenie

$$z = \varphi \frac{r^2}{l}$$

Co do η założymy że $\eta = 0$;

$$\xi = R \cdot z \cdot \sin(2x) = z \cdot x$$

$$\eta = -R \cdot z \cdot \cos(2x) = -z \cdot x$$

Zasadnicze więc założenie będzie następujące:

$$\xi = \frac{\varphi}{l} x y z$$

$$\eta = 0$$

$$\zeta = -\frac{\varphi}{l} x y$$

czyli mierzac $\frac{\varphi}{l} = c$ mamy:

$$\xi = c y z, \quad \eta = 0, \quad \zeta = -c x y$$

$$\frac{\partial \mathcal{L}}{\partial x} = 0, \quad \frac{\partial \mathcal{L}}{\partial y} = cz, \quad \frac{\partial \mathcal{L}}{\partial z} = cy$$

$$\frac{\partial \eta}{\partial x} = \frac{\partial \eta}{\partial y} = \frac{\partial \eta}{\partial z} = 0$$

$$\frac{\partial \mathcal{L}}{\partial x} = -cy, \quad \frac{\partial \mathcal{L}}{\partial y} = -cx, \quad \frac{\partial \mathcal{L}}{\partial z} = 0$$

Stąd:

$$X_x = Y_y = Z_z = 0$$

tyż niema sił wydłużających.

$$X_y = Tcz, \quad Y_z = -Tcx, \quad Z_x = 0$$

Prosta jest jeszcze stwierdzić czy system ten sił jest możliwy. W tym celu wstawiamy wartości wypracowane na siły do równań dynamicznych (1) (2). Łatwo się przekonać można, że są one spełnione.

Zwracając się do równań (2) (3) dostaniemy wyrażenia na siły na pobocznicy walca racjonalne:

$$X_s = Tcz \cos ny = Tcz \cos \frac{\pi}{2} = 0$$

$$Y_s = Tcz \cos \frac{n\pi}{2} - Tcx \cos \frac{n\pi}{2} = 0$$

$$Z_s = -Tcx \cos(ny) = 0$$

Zatem na pobocznicy walca nie działają siły.

sily. Na przekrój natomiast działają następujące:

$$X_s = Tcr \cos 0 = Tcr.$$

$$Y_s = 0$$

$$Z_s = -Tcr.$$

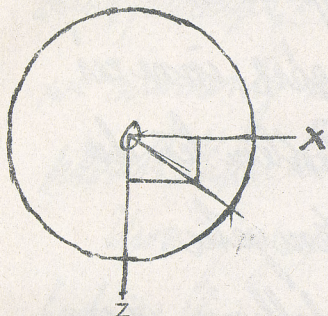


Fig 287

Kierunek siły wypadkowej będzie określony przez: $\frac{Z_s}{X_s} = -\frac{x}{z}$ tj. siła wypadkowa będzie normalnie skierowana do promienia wodzącego. Wskazać jej będzie:

$$F = \sqrt{X_s^2 + Z_s^2} = Tcr$$

Wypadkowa wszystkich tych sił stycznych jest zero, ale moment wypadkowy nie jest zerem; będzie on

$$M = \int Tcr^2 \cdot 2\pi r \cdot dr = \frac{\pi a^2 \eta}{2l} \cdot T$$

Ostateczny zatem rezultat jest ten sam, co wyżej bez pośrednio analizowany.

Powysze rozważania są ważne tylko dla walca kołowego. Gdyby walec miał przekrój inny niż kołowy, to już nie możemy twierdzić, że $\eta=0$.

Dokładną teorię sprężystości dla ciał przemieszczających podług Saint Venant. Dochodzi on do ciekawych rezultatów; przewidyje się, że przemy deformują się w ten sposób, że jedne partie np. koskowane podnoszą się w górę, inne zaś obniżają się. Problem ten da się rozwiązać ogólnie przy pomocy teorii potencjału.

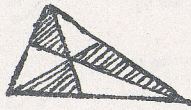
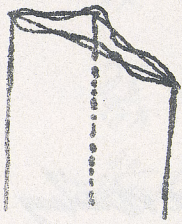


Fig 188.

Kazuje się, że przemy deformują się w ten sposób, że jedne partie np. koskowane podnoszą się w górę, inne zaś obniżają się. Problem ten da się rozwiązać ogólnie przy pomocy teorii potencjału.

4. Przebieg belki. Wyobraźmy sobie belkę o jednakowym wzdłuż przekroju. Do końców belki przyrzepmy momenty M , któreby ją skrzy-

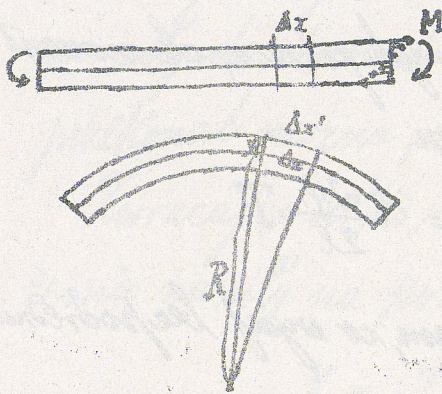


Fig 189.

cały*) belka przyjmie kształt łuku a deformacja której ulegnie będzie niejednorodna. Górne partie belki są wygięte, dolne zaś skurczą się. W pośredku zaś między temi partjami

znajdzie się warstwa neutralna (środkowa), która nie dozna ani skurczenia ani wydłużenia.

*) m. koło osi prostopadłej do długości.

Ażeby w belce istniała równowaga, widoczne jest, że i w każdym jej przekroju musi być moment jednaki tylko przeciwnie skierowany niż na końcu. Łatwo to sobie uprzytomnić, gdy tylko wyobrażamy sobie w każdym z przekrojów belkę przeciętą. Z tego, że wszystkie przekroje mają jednako-
we momenty wynika, że belka zdeformowana przyjmie kształt łuku koła.

Uważajmy teraz element belki Δx . Po deformacji będzie dlań zachodzić proporcja:

$$\Delta x' : \Delta x = R+y : R$$

$$\frac{\Delta x' - \Delta x}{\Delta x} = \frac{y}{R}$$

Lecz $\frac{\Delta x' - \Delta x}{\Delta x}$ przedstawia wydłużenie procentowe włókna:

$$\frac{\Delta x' - \Delta x}{\Delta x} = \frac{X_x}{E}$$

Stąd:
$$X_x = E \frac{y}{R}$$

jest to siła ciągnąca dla każdego z włókien. Siły takie są rozmieszczone w całym przekroju. Wypadkowa ich jest zatem

$$\sum E \frac{y}{R} q$$

jeśli teraz q oznaczymy element przekroju. Lecz ponieważ

nie ma innych sił zewnętrznych postępujących (za tylko momenty), bo w przeciwnym razie nie byłoby równowagi, zatem suma sił wynosi, a stąd wynika, że

$$\sum y_i = 0$$

Stąd dochodzimy do wniosku, że włókno neutralne przechodzi przez środek masy.

Moment zewnętrzny, który przyłączamy do końca belki, jest dany. Musi on być równy momentowi każdego przekroju. Znacząc go literą M dostajemy:

$$M = \sum \frac{E}{R} y_i^2 = \frac{E}{R} \sum y_i^2 = \frac{E}{R} \Theta$$

jeśli przez Θ oznaczymy moment bezwładności przekroju względem osi przechodzącej przez włókno neutralne). Stąd

$$R = \frac{E \Theta}{M}$$

$$\frac{1}{R} = \frac{M}{E \Theta}$$

Stąd belka będzie tem więcej wygięta im większy będzie moment siły, a im mniejszy będzie moment bezwładności przekroju. Tem mniej się zaś belka wygnie przy danym momencie M im moment Θ jest większy. $E \Theta$ jest zatem

miarę silywności czyli wytrzymałości na wygięcie. Wyciąga się z tych rozważań praktyczne wnioski i buduje

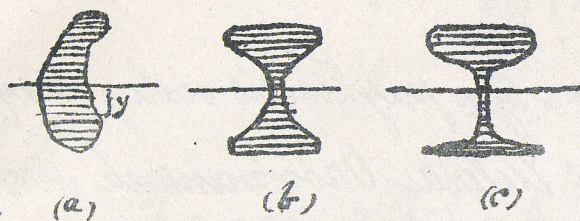


Fig 190.

sie trawerzy, szyny kolejowe w kształcie mniej więcej jak pod (b) i (c), tak aby moment bezwładności

był możliwie duży, a nie tak jak pod (a). Fig 190.

Podobnie jest w kościach zwierząt; największa masa nagromadzona jest na obwodzie.

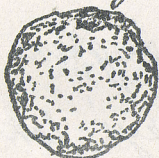


Fig 191

Przy wygięciu w różnych kierunkach będą momenty bezwładności różne, a stąd będą też różne przekrzywienia.

Uważajmy belkę o przekroju prostokąta o bokach b i c .

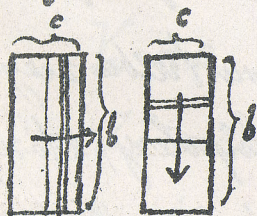


Fig 192.

$$\frac{1}{R_1} : \frac{1}{R_2} = \frac{1}{\rho_1} : \frac{1}{\rho_2}$$

$$I_1 = 2 \int_{-\frac{b}{2}}^{\frac{b}{2}} z^2 dz = 2 \frac{b c^3}{12} = b c \frac{c^2}{12}$$

$$I_2 = 2 \int_0^c y^2 dy = 2 \frac{c b^3}{12} = b c \frac{b^2}{12}$$

stąd

$$\frac{1}{R_1} : \frac{1}{R_2} = b^2 : c^2$$

Jej wytrzymałość belki o przekroju prostokątnym jest wprost proporcjonalna do kwadratu boku w kierunku którego nastąpiło wygięcie.

Dotychczas postępowaliśmy w tym przykładzie według dawnej teorii J. Bernoulliego i Eulera. Orownościach sprężystości nie było mowy. Według Saint Venanta teoria ta okazała się niedokładna. Zastanowienie uczynione tutaj, że cała deformacja odbywa się tylko w płaszczyźnie jednej jest niezasadnione. Deformacja następuje tu też w kierunku poprzecznym w ten mianowicie sposób, że górne włókna muszą się skurczyć dolne zaś rozszerzyć tak że



Fig 193.

przekroje przed i po deformacji będą mniej więcej wyglądać jak wskazuje Fig 193.

Zwróćmy się więc do ogólnej teorii. Znowu trzeba zacząć podobnie jak przy skrajnie walca pewne hipotety, które potem trzeba uzasadnić. Tutaj wprowadzając ułamek w sposób taki, jaki przedstawia Fig

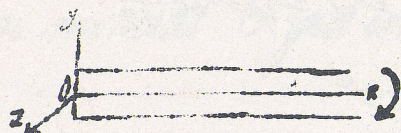


Fig 194.

na 194 uczynimy następujące

przyjęcia:

$$\xi = -\frac{\gamma x}{R}$$

$$\eta = \frac{1}{2R} (x^2 + \mu y^2 - \mu z^2)$$

$$\zeta = \frac{\mu}{R} yz$$

Stąd

$$\frac{\partial \xi}{\partial x} = -\frac{\gamma}{R}, \quad \frac{\partial \xi}{\partial y} = 0, \quad \frac{\partial \xi}{\partial z} = 0$$

$$\frac{\partial \eta}{\partial x} = \frac{x}{R}, \quad \frac{\partial \eta}{\partial y} = \frac{\mu y}{R}, \quad \frac{\partial \eta}{\partial z} = -\frac{\mu z}{R}$$

$$\frac{\partial \zeta}{\partial x} = 0, \quad \frac{\partial \zeta}{\partial y} = \frac{\mu z}{R}, \quad \frac{\partial \zeta}{\partial z} = \frac{\mu y}{R}$$

Obliczając według wzorów (1) siły, mamy:

$$X_x = -2T \frac{\gamma}{R} - L \frac{\gamma}{R} (1 - 2\mu) = -\frac{E\gamma}{R}$$

$$Y_y = 2T \frac{\mu y}{R} - L \frac{\gamma}{R} (1 - 2\mu) = 0$$

$$Z_z = 0$$

$$X_y = T \left(-\frac{\gamma}{R} + \frac{\gamma}{R} \right) = 0$$

$$Y_z = 0$$

$$Z_x = 0$$

Oskarżając się zatem, że żadne siły inne nie działają prócz rozciągających w kierunku x . Jest to wniosek, któryśmy przed-

Mechanika Ark XLIII.

tem bezpośrednio otrzymali (str 331). system ten się spełnia oczywiście równania dynamiczne (11k), bo $\frac{\partial X_k}{\partial x} = 0$.

Co do się na powierzchni drążących, to wdeiny ten, że nie trzeba ich przyczepiać. Jedyne więc te występujące siły są przyczepione do przekroju. Tak rozwiązaliśmy w rozrywach sposób owej deformacji. Zostaje jeszcze pytanie jaki kształt przyjmie belka.

Wobec $\frac{\partial \eta}{\partial x} = \frac{1}{R}$ jest $\frac{\partial^2 \eta}{\partial x^2} = \frac{1}{R}$.

Jeż wozu na krzywiznę:

$$\frac{1}{R} = \frac{\frac{dy}{dx}}{[1 + (\frac{dy}{dx})^2]^{\frac{3}{2}}}$$

opuszczając $(\frac{dy}{dx})^2$ jako wielkość nieskończenie małą wobec 1, mamy

$$\frac{dy}{dx^2} = \frac{1}{R} = \frac{\partial^2 \eta}{\partial x^2}$$

skrzywienie belki w płaszczyźnie xy.

Wobec $\frac{\partial \eta}{\partial z} = -\frac{\mu}{R}$ jest $\frac{\partial^2 \eta}{\partial z^2} = -\frac{\mu}{R}$.

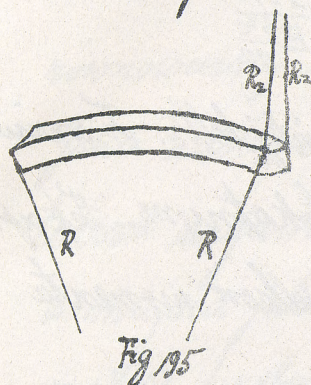
Zatem krzywizna w płaszczyźnie yz jest:

$$\frac{1}{R_2} = \frac{\mu}{R}$$

$$R_2 = \frac{R}{\mu}$$

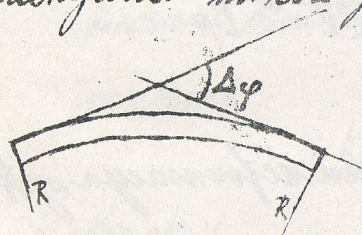
Wzór ten ostatni można wyznaczyć do oznaczenia xproni-

Ka Poissona μ . Uskutecznimy to w ten sposób że zmierzymy



promienie krzywizny R i R_2 . Pomia-
ry takie można wykonać różnemi
sposobami. Jeden up. kaprow-
ca prątków Newtona pochodzą od
Mallocka, który podał teorię
starego lewca dla różnych ciast.

Moznaby się jeszcze za pomocą pręty wygięcia belki o zmianę
nachylenia końcowego: $\Delta\varphi$. Jeśli drugą belkę oznaczy-

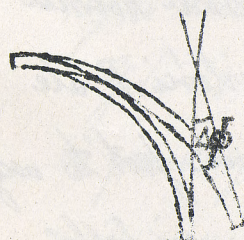


my przez a to : $a = R \Delta\varphi$.

Wobec wzoru: $\frac{1}{R} = \frac{M}{E\Theta}$ jest

$$\Delta\varphi = \frac{a}{R} = \frac{Ma}{E\Theta} = \frac{Ma}{E \frac{b^3 c}{12}}$$

Ten sam wzór można uogólnić do
belki i prętów skrzywionych już z początku. Skrzywiona już
linia belki można rozłożyć na elemen-
ty, z których każdy można uwozić za bel-
kę pręt. Sumując skrzywienia końco-
we elementarne powstanie skutkiem el-
astycznego wygięcia takiej belki, dostajemy



skręcenie wypadkowe:

$$\Delta\Phi = \sum \Delta\varphi = \frac{M}{E I_{\frac{c}{12}}} \sum a = \frac{M l}{E I_{\frac{c}{12}}}$$

jeśli pręci l naznaczymy całą długość wygiętej belki. To warunek jest zatem dla sprężyny o przekroju prostokątnym. Tak np.

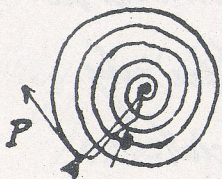


Fig 198.

dla sprężyny zegarka wielkość momentu będzie: $M = p P$.

Przy skręceniu o kąt $\Delta\varphi$ wystąpi zaś według wzoru moment:

$$M = \Delta\varphi \cdot \frac{E b^3 c}{12 l} = P p$$

Tak więc doszliśmy do teorii sprężyny.

5. Teraz przejdziemy do przykładu, gdzie deformacja wykazuje nie pręci moment lecz siłę postępową np. belka lewym końcem wmurowana w ścianę, na prawy zaś działa siła P .

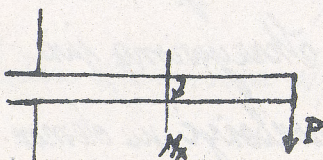


Fig 199.

By była równowaga musi siła P przeciwdziałać siła inna równa co do bezwzględnej wartości P ale przeciwnie skierowana. Jest to oczywiście.

nie tę pręci wmurowaniu belki w ścianę. Lecz te obie siły $P \downarrow$ i $P \uparrow$ tworzą parę sił, i za-

tem, aby istniała równowaga musi istnieć moment

$$M_0 = Pl$$

równowagący działanie pary sił.

Jaka nastąpi deformacja? Od czasu Bernouilliego i Eulera argumentuje się tak: Wyobraźmy sobie belkę w miejscu jakimś przeciętą. Aby odkryty kawał nie odkształcał się, trzeba przyćwiczyć moment:

$$M_x = P(l-x)$$

i praca tego siły postępuje $P\delta$.

Zwracać będziemy tylko na deformacje spowodowane momentami:

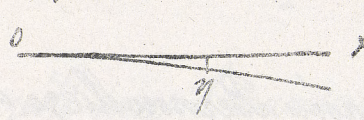
$$M_x = \frac{E\Theta}{R_x} = P(l-x).$$

O siłach postępowych*) zamilcza się, bo gdyby się chciało je uwzględnić to byłoby to znaczną komplikacją. Wpływ ich rozstrząsa jest niernacalny. Siłę atoli biorąc trzeba by to uzasadnić.

Gdy się bierze pod uwagę grubsze belki, to pokazuje się, że przekroje belek po deformacji nie są płaskie. Tu jednak zajmujemy się tylko belkami cienkimi, tak że na to nie będziemy zwracać uwagi.

*) Siły postępowe T_x , które muszą powstać w przekrojach,

Zapytamy się teraz o kształt belki po deformacji. Przy-


 wienna w punkcie x będzie :

$$\frac{1}{R_x} = \frac{\frac{d^2\eta}{dx^2}}{\left[1 + \left(\frac{d\eta}{dx}\right)^2\right]^{\frac{3}{2}}}$$

Fig 200

Pomijając $\left(\frac{d\eta}{dx}\right)^2$ jako wielkość znikomą małą wobec 1, mamy

$$\frac{1}{R_x} = \frac{d^2\eta}{dx^2}$$

oraz

$$E \odot \frac{d^2\eta}{dx^2} = P(l-x).$$

Całkując to ostatnie równanie, mamy:

$$E \odot \frac{d\eta}{dx} = P\left(lx - \frac{x^2}{2}\right) + \alpha$$

$$E \odot \eta = P\left(\frac{lx^2}{2} - \frac{x^3}{6}\right) + \alpha x + \beta.$$

α, β stałe całkowania oznaczymy z warunków prostkowych. W przekroju początkowym wychylenie $\eta = 0$, oraz nachylenie osi $\frac{d\eta}{dx} = 0$, bo belka jest wmurowana. Stąd wynika, że

$$\alpha = 0, \quad \beta = 0;$$

a więc:

$$E \odot \eta = P\left(\frac{lx^2}{2} - \frac{x^3}{6}\right)$$

jest to równanie zdeformowanej belki. Równanie to jest 3^{go} stopnia. Wychylenie belki końcowe będzie:

$$\eta = \frac{Pl^3}{3EO} = \frac{4Pl^3}{E\pi^2 \epsilon}$$

Jeżeli wychylenie belki o przekroju prostokątnym jest proporcjonalne do 3^{iej} potęgi długości.

Nachylenie zaś końcowe:

$$\left(\frac{dy}{dx}\right)_x = \frac{Pl^2}{2EO}$$

Jeżeli nachylenie wzrasta z kwadratem długości.

6. Jeżeli belka jest podparta przy obu końcach, a siła P działa w środku, to deformację jej zredukujemy

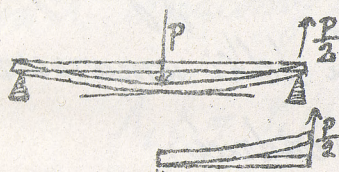


Fig 201

do deformacji belki wmurowanej jednym końcem w ścianę. Wychylenie bowiem i nachylenie w środku możemy uwaraić za równe zero,

końcowe zaś wychylenie można uwaraić za wywołane siłą $\frac{P}{2}$. stosując wzory poprzednie i wstawiając za l wartość $\frac{l}{2}$, za P zaś $\frac{P}{2}$, mamy:

$$\eta_{\frac{l}{2}} = \frac{2E\left(\frac{l}{2}\right)^3}{EEO} = \frac{Pl^3}{4EEO}$$

Strzałka więc zgięcia, tak bowiem nazywamy wychylenie η , będzie w tym razie 16 razy mniejsze niż strzałka belki wmurowanej jednym końcem.

Podobnie jak to zagadnienie da się też zredukować do zagadnienia, gdy belka jest oboma końcami wmurowana w ściany, a w środku wywartą jest na nią, nacisk P . Wy-

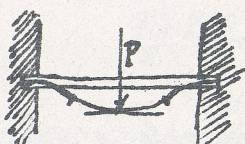


Fig 202

starczy belkę podzielić sobie na 4 części i wziąć jedną pod uwagę; deformacja tej czwartej części będzie stanowił analogon do belki wmurowanej jednym

końcem w ścianę. Wychylenie środka belki wmurowanej oboma końcami będzie, jak łatwo widzieć:

$$\eta_{\frac{1}{2}} = 2 \frac{2P(\frac{l}{4})^3}{E b^3 c} = \frac{P l^3}{16 E b^3 c}.$$

Jest to już 64 część wychylenia belki jednym końcem wmurowanej.

7. W dotychczasowych rozważaniach deformacji belki dwoma końcami podpartej lub utwierdzonej sprawa była ułatwiona spowodu symetrii. Jak jednak postąpić

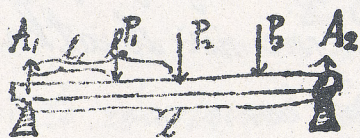


Fig 203

w ogólnym wypadku gdy na belkę podpartą działa kilka sił jak będzie różniła się

nych? System sił P_1, P_2, P_3 ... równowagę siły podparcia A_1, A_2 . Będzie mianowicie:

$$A_1 + A_2 = P_1 + P_2 + P_3 + \dots$$

Muszą się nadto równoważyć momenty. Chcąc to powi-
dzenie nasze zapisać matematycznie, obróćmy os' ob-
rotu np w 0, odległości zaś zaczepienia sił P_1, P_2 ...
od A_1 oznaczymy l_1, l_2, \dots , długość zaś całej belki l . Będzie:

$$A_2 l = P_1 (l - l_1) + P_2 (l - l_2) + P_3 (l - l_3) + \dots$$

Kombinując te dwa równania możemy obliczyć siły A_1
i A_2 .

Weźmy u tym celu przykład, iż jedna tylko siła P za-
czepia w dowolnym punkcie belki. Będzie:

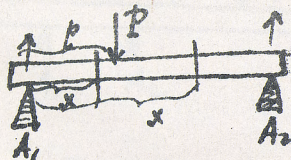


Fig 204.

$$\begin{array}{l|l} A_1 + A_2 = P & A_2 = \frac{P x}{l} \\ A_2 l = P x & A_1 = P \left(1 - \frac{x}{l}\right) \end{array}$$

Znamy tak już siły, jaka bę-
dzie deformacja? Wybierzmy sobie belkę w jakimś punk-
cie x odciętą. Jakie momenty trzeba przyczepić, aby się belka

nie odłamata? Będą one

$$M_x = A_1 x \quad \text{lub} \quad M_x = A_1 x - P(x-p)$$

zależni od tego, który punkt bierzemy pod uwagę, czy po lewej czy po prawej stronie siły P . W każdym razie ważne będzie wyrażenie:

$$M_x = E \Theta \frac{d^2 \eta}{dx^2}$$

W pierwszym razie dostajemy stąd:

$$E \Theta \eta = A_1 \frac{x^3}{6} + \alpha x + \beta$$

w drugim:

$$E \Theta \eta = A_1 \frac{x^3}{6} - P \frac{x^3}{6} + P_p \frac{x^2}{2} + \alpha' x + \beta'$$

Oba te wyrażenia nie są od siebie niezależne, albowiem dla $x=p$ musi być: $\eta = \eta'$, $\frac{d\eta}{dx} = \frac{d\eta'}{dx}$.

$$\frac{d\eta}{dx} E \Theta = \frac{A_1 x^2}{2} + \alpha \quad ; \quad \frac{d\eta'}{dx} E \Theta = \frac{A_1 x^2}{2} - \frac{P x^2}{2} + P_p x + \alpha'$$

Kładąc więc $x=p$, dostaniemy:

$$\alpha = -\frac{P p^2}{2} + P_p^2 + \alpha'$$

$$\alpha' = \alpha - \frac{P p^2}{2}$$

Iż α' wyraża się przez α . Podobnie dojdziemy do

wniošku, że β wywrze się przez β i α . Tak więc liczba 4 stałych całkowania redukuje się do 2, bo pozostałe dwie wyznaczą się przez poprzednie. Teraz ostatecznie dadzą się wyznaczyć z warunków początkowych. Nie będziemy już w to szczegółowo wchodzić.

Zagadnienie to jest oczywiście ogólniejsze i należy do zagadnienia poprzedniego, gdy na belkę podpartą na końcach działa siła zaczeplająca w środku jako wypadek szczególny. Jest ono ważne dla techników. (Meloboki: z mowowe, konstrukcyjne graficzne).

Ogólniejsze znowu od tu rozpatzonego zagadnienia jest następujące: znaleźć deformację belki w różnych punktach dowolnie podpartej na kilku równie w różnych dowolnych punktach działają siły. Siły A_0, A_1, A_2, \dots jakie wywierają

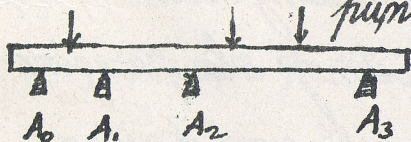


Fig 205

je podpory nie są znane a priori, bo koliera one od reakcji. Postępuje się w sposób analogiczny jak poprzed. Wskazuje się, że siły muszą być równe, momenty tak samo. Ale

to jeszcze nie wystarczy. Oblicza się krzywiznę i znajduje się warunki określone. Dodaje się tu znów warunek, że w miejscach podparcia wychylenia muszą być = 0. Zagadnienie to jest ważne dla trawers.

Zauważymy tu jeszcze, że odgrazienie na skrajowanie

$$\frac{1}{R} = \frac{M}{EI}$$

jakiegośmy niejednokrotnie używali w poprzednich przykładach jest tylko przybliżone. O ile bowiem mielibyśmy belkę bardzo grubą i bardzo krótką, to wtedy nastąpi wkręcanie się w sobie.

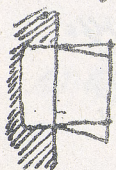


Fig 206

8. Wygicie belki skutkiem siły działającej w kierunku długości belki. Z doświadczenia możemy wiedzieć, że

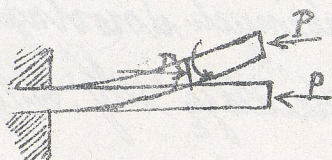


Fig 207

choć nie istnieje siła przegina-
jąca tylko siła naciskająca
w kierunku długości belki, bel-
ka jednym końcem wmurowa-

na w ścianę z początku się skurczy nieco, a gdy nacisk
jest zmniejszony belka się wygnie. Chodzi o to, by to

ująć w formie matematycznej. Wyobraźmy sobie o tym celu belkę odciętą w jakimś miejscu. By była równowaga, trzeba przecięć w tym miejscu siłę poprzeczną, równą sile P i moment, równy istniejącemu już. Jeśli wychylenie końcowe naznaczymy η , zaś w punkcie x literą η_x , to moment wspomniany będzie:

$$M_x = P(\eta - \eta_x)$$

Krzywiznę wyrazimy tedy:

$$\frac{1}{R_x} = \frac{M_x}{E\Theta} = \frac{P(\eta - \eta_x)}{E\Theta}$$

Wobec $\frac{1}{R_x} = \frac{\frac{d^2\eta}{dx^2}}{\left[1 + \left(\frac{d\eta}{dx}\right)^2\right]^{3/2}} \sim \frac{d^2\eta}{dx^2}$ w razie $\frac{d\eta}{dx} \rightarrow 0$

mamy: $\frac{d^2\eta}{dx^2} = \frac{P}{E\Theta} (\eta - \eta_x)$

Kładąc $\eta - \eta_x = y$, mamy

$$\frac{d^2y}{dx^2} = - \frac{P}{E\Theta} y$$

Tak dostaliśmy równanie różniczkowe określające kształt belki po deformacji. Jest to amary typ równania, spotykany przy wahadle wogóle ruchu drgającym. Rozwią-



zamię tedy jego będzie:

$$y = a \sin(\alpha x + \varepsilon) \quad , \quad \alpha = \sqrt{\frac{P}{E\theta}}$$

$$y = a \sin(\varepsilon + x \sqrt{\frac{P}{E\theta}})$$

stałe całkowania a i ε .

$$\eta = \eta_0 - a \sin(\varepsilon + x \sqrt{\frac{P}{E\theta}})$$

Dla wyznaczenia stałych całkowania, zwracając się do warunków początkowych powiemy:

Dla $x=0$, ma być $\eta=0$, $\frac{d\eta}{dx}=0$; stąd

$$0 = \eta_0 - a \sin \varepsilon$$

oraz wobec $\frac{d\eta}{dx} = -a \sqrt{\frac{P}{E\theta}} \cos(\varepsilon + x \sqrt{\frac{P}{E\theta}})$

$$0 = -a \sqrt{\frac{P}{E\theta}} \cos \varepsilon$$

Stąd wynika, że a musi być $\neq 0$, $\cos \varepsilon = 0$, $\varepsilon = \frac{\pi}{2}$,
zatem $a = \eta_0$; dostajemy więc:

$$\eta = a \left(1 - \sin\left(\frac{\pi}{2} + x \sqrt{\frac{P}{E\theta}}\right) \right)$$

czyli wrócić

$$\eta = a \left(1 - \cos x \sqrt{\frac{P}{E\theta}} \right)$$

gdzie tylko amplituda a zostaje jednak nieokreślona.
Pomijając to możemy zdać sobie sprawę z kształtu belki.

Dla $x=0$, jest $\eta=0$; dla $x=l$ jest $\eta=a$.

$$\cos l \sqrt{\frac{P}{E\Theta}} = 0$$

$$l \sqrt{\frac{P}{E\Theta}} = \frac{\pi}{2}$$

$$P = \frac{E\Theta\pi^2}{4l^2}.$$

Cosinusoida przedstawi kształt belki w pierwszej jej ćwiertci. Będzie on więc taki, jak wskazuje ryc. 208. Krzywą od 0 do l . Będzie to więc część cosinusoidy.

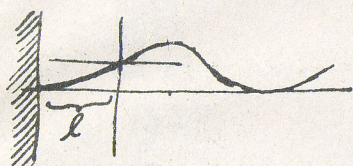


Fig 208

Ostatnie równanie daje nam ciekawy rezultat; podaje ono bowiem siłę przy jakiej deformacja wspomniana belki nastąpi. Natomiast wychylenie końca belki a nie jest wcale określone. Rzecz ta wyjaśnia się z warunków fizycznych. Jak długo siła jest mniejsza od wartości granicznej, to nie wystarczy ona do wytworzenia cosinusoidy; belka kurczy się według prawa Younga. Gdy natoli siła wzrośnie do tej wartości, przestanie się kurczyć; gdy zaś siła wzrośnie jeszcze cokolwiek ponad wartość granic-

na wygięcie staje się niekończącym wielkie i w praktyce ra-
bępuje złamanie belki.

Zarazcież można powyższemu rachunkowi to, że zaka-
damy, iż $\frac{dy}{dx}$ jest znikomo małe; gdy się tego ogranicze-
nia nie wprowadza dostaje się f. eliptyczna. Jest bowiem tak:

$$\frac{1}{R} = \frac{P}{E\Theta} (\eta_1 - \eta)$$

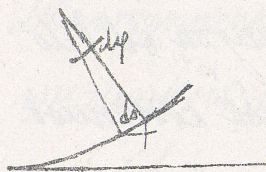


Fig 208.

$$\frac{1}{R} = \frac{dy}{ds}$$

$$\frac{dy}{ds} = \frac{P}{E\Theta} (\eta_1 - \eta)$$

$$\frac{d^2y}{ds^2} = -\frac{P}{E\Theta} \frac{d\eta}{ds} = -\frac{P}{E\Theta} \sin\varphi.$$

Znowa mamy równanie takie samo jak dla wahadła. Dla
małych φ wracamy do poprzedniego wypadku przybliżonego.

Przy rozworzeniu powyższego przykładu mieliśmy po-
raz pierwszy do czynienia z niestatością równowagi. Mo-
żliwa jest deformacja taka, iż belka tylko się skurczy, a
nie wygnie; gdy atoli siła przejdzie granicę równowaga
taka jest niestata. W tych więc razach trzeba rozważyć
czy mamy do czynienia z równowagą statą czy niestatą.

Mozna podać masę przykładowo tego rodzaju: Gdy zginamy

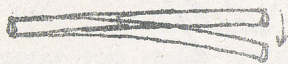


Fig 209

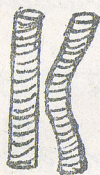


Fig 210

rurę (np. żelazo), to może ona zachować swój kształt kołowy, atoli stać się jest równowaga, gdy się sprężymy. Gdy skrzyćamy wałek kauczukowy, to możliwa jest rzecz, iż zachowa on kształt prosty, stać się jednak jest równowaga, gdy wałek taki się skrzywi.

Przeobrażania nad statokiem równowagi (Bryan) są bardzo trudne. Nie będziemy w to tutaj wchodzić. Wspomniemy tu jeszcze, nawiązując rzecz do naszego przykładu, iż z kwestyą statoku zgadza się deformacja belki na którą działa siła w kierunku jej osi tylko w jednej ćwiartce. Nie można więc kreślić sinusoidy w do-

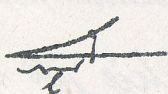
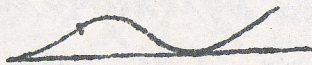


Fig 211.



wolnej śluzi, ćwiartek i mówić, że to przedstawia kształt zdeformowania

belki. Gdy się ma do czynienia z deformacją belki w murwanej oboma końcami w ścianę, które zbliżają

się do siebie powodują deformację owe, to zgodnie ze stałością równowagi belka przyjmie kształt

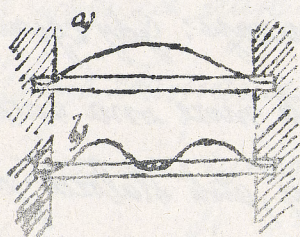


Fig 212.

Fig 212 a). Przyjęta belka Fig 212 b) nie ma już równowagi stałej.

W związku z temi rozważaniami pozosta-

je problem geofizyki powstawania gór fałdowych skutkiem kurczenia się skorupy ziemskiej.



Fig 213.

Pozornie jest sprzeczność, bo wiadoby się, że ukształtowanie takie miałyby równowagę niestabilną.

Treba jednak zauważyć, że warunki tutaj są odmiennie. Jest to w związku z ciążą, według której góry zachowują się tak jakby to były bryły lodu pływające na wodzie. Gdy sobie tak rzecz wyobrażamy, to do naszych ciał nie docierają się będzie przez cieśnienie hydrostatyczne. Kiedy istotnie wykonujemy rachunki dochodzimy do wniosków, że ukształtowanie takie jak na Fig. 213 ma równowagę stałą. Doświadczalnie to można stwierdzić skurczając warstwę żelatyny pływającej

na powierzchni styku.

9. Jaka będzie deformacja belki, gdy wywieraci będziemy na nią nacisk w sposób ciągły tj. jeśli na każdy cm przypadac będą siły P_x . Rozważać będziemy tak samo

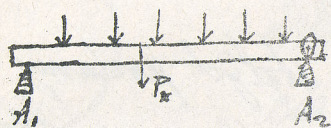


Fig 214.

jak w przykładzie 7. Będziemy więc, że muszą się równoważyć siły i momenty, że więc

$$A_1 + A_2 = \sum P_x$$

$$M_x = A_1 x - \sum P_x d\xi (x - \xi)$$

czyli zastępując sumę przez całkę:

$$M_x = A_1 x - \int_0^x P_x (x - \xi) d\xi$$

ty. wobec $M_x = \frac{E\theta}{R_x} = E\theta \frac{d^2y}{dx^2}$

$$M_x = E\theta \frac{d^2y}{dx^2} = A_1 x - \int_0^x P_x (x - \xi) d\xi$$

Stąd

$$\frac{dM_x}{dx} = A_1 - \cancel{\frac{P_x(x)}{x}} \int_0^x d\xi - \int_0^x P_x d\xi$$

$$\frac{d^2M_x}{dx^2} = -P_x$$

czyli

$$E\theta \frac{d^2y}{dx^2} = -P_x$$

Jeśli w szczególności założymy $P_x = \text{const}$, co właściwie

wiustrione będzie np. w tym razie, gdy na belkę o jednako-
wym wzdłuż przekroju działą ciężkość, to

$$EO \frac{d^4 y}{dx^4} = -959$$

$$\frac{d^4 y}{dx^4} = - \frac{959}{EO}$$

$$y = -\alpha + \beta x + \gamma x^2 + \delta x^3 - \frac{959}{EO} \frac{x^4}{4!}$$



Fig 215

Dla określenia stałych połączmy
np. warunki początkowe, że dla
 $x=0, x=l$ musi być $y=0, \frac{dy}{dx}=0$.

Dostaniemy tak 4 równania; to wystarczy już do wy-
znaczenia krzywej. Krzywa ta jest 4^{to} stopnia.

Gdybyśmy rozważali deformację płyty sprezystej;
na którą działają siły w kierunku osi $y: Y_z$, dostalibyś-
my na jej kształt równanie:

$$\left(\frac{\partial^2}{\partial x^2} + \frac{\partial^2}{\partial z^2}\right)\left(\frac{\partial^2 y}{\partial x^2} + \frac{\partial^2 y}{\partial z^2}\right) = A Y_z$$

$$\frac{\partial^2 y}{\partial x^4} + 2 \frac{\partial^2 y}{\partial x^2 \partial z^2} + \frac{\partial^2 y}{\partial z^4} = A Y_z$$

Jest to analogon do zagadnienia poprzedniego.
Gdyby rozmięszczenie siły nie było tutaj zależne od osi z , to

to równanie redukowałyby się na poprzednie. Wskazywa-
napotykanym miarą to równanie. Kształt błon zależy
od różnic różniczkowych 2^{go} rzędu.

Immy jeszcze przykład ciekawy rozwiązany w sławnej
rozprawie teoretycznej Hertza dotyczącej deformacji wy-
wołanej przez ściśnięcie dwóm kół. Kształt się

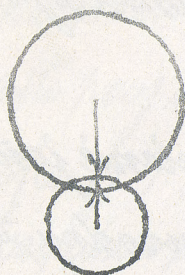


Fig. 216.

przejmując, a promień płaszczyzny zbieżno-
cia będzie

$$R \sim \sqrt{r_1 r_2}$$

Jeszcze jeden szczegół podnieśliśmy tutaj:
Teoria sprężystości nazywa się miarą
techniczną nauką o wytrzymałości Festigkeitslehre. Zwę-
żek między temi rzeczami jest dość luźny. Najwa-
żniem w tej nauce uwarunek o teorii sprężystości, ale nie
polega się na tem i bierze się wytrzymałość 4-10 razy
większą.

Problem wytrzymałości jest dotychczas nierozwiązany.
Wp. sądownie przetwarzanie belki nastąpi wtedy, gdy siła ciągną-
ca przekroczy pewną granicę. Byłoby to o tyle słuszne

s iłby istniały wyłączenie siły ciągnące belkę podłużnie, ale nie w wypadkach gdzie współistnieją, różne inne siły. Inna hipoteza, że miarodajną dla wytrzymałości jest największe naprężenie ciągnące w danym punkcie jest niewystarczająca.

Tosano odnosi się do ciśnienia. O ile ciśnienie jest ze wszystkich stron jednakowe a materiał jednorodny, to nie nastąpi w nim pęknięcie ani złamanie.

Inne kryterium wytrzymałości podał Concelet, Saint-Venant, Grashof opierające się na porównaniu największego wydłużenia. Jeśli mianowicie wydłużenie przekroczy pewną wartość maksymalną, to wtedy następuje przerwanie. Lecz natrafia się tu znowu na trudności. Łatwiej od Maxwella bo już od Cressona Coulomba postawiono inną hipotezę powiadającą, że przerwa przegłodzi: złamanie zależy od dwóch napięć istniejących w danym punkcie maksymalnego i minimalnego. Oboje powiadać się. Złamanie nastąpi wtedy, jeśli różnica napięć największych i najmniejszych w danym punkcie przekroczy pewną

granice. Doświadczenia w tym względzie czynił Hg. Stwierdził on, że przerwanie słupa stęrnym następuje pod równomiernem ciśnieniem hydrostatycznym przy tem samem obciążeniu jak na powietrzu wolnem. Willmans czyniąc próby nad przerwaniem drutów aluminiowych stwierdził, że przerwanie ich na wolnem powietrzu następuje przy obciążeniu $13.6 \frac{\text{kg}}{\text{mm}^2}$, zaś przy ciśnieniu 700 atmosfer tj. $7 \frac{\text{kg}}{\text{mm}^2}$ przy obciążeniu $13.8 \frac{\text{kg}}{\text{mm}^2}$. Zatem nie bezwzględna wartość siły Y, tylko obciążenie tj. różnica siły ciągnącej w kierunku Y i siły poprzecznej (ciśnienia hydrostatycznego) była miarodajną dla złamania.

Deformacja wogóle według Karmanna może się odbywać w dwa sposoby: albo ziarnka cięta, doznają przesunięcia, albo zostają przekształcone. Teoria ta zbliża się najwięcej do teorii Coulomba powiadającej, że złamanie następuje wtedy, gdy największa amiana kątów przestąpi pewną miarę maksymalną lub gdy ścinanie przestąpi pewne maximum. Obecnie wspomniemy, że również Mohr podał kryterjum wytrzymałości

nie mające stoli wyznosi nad poprzedniem. Nazywać teorię sprężystości nauką wytrzymałości jest, jak już z tego wrystkiego wynika, niewłaściwem, bo nie mamy jeszcze dotąd podstaw dla określenia wytrzymałości.

Literatura teoryi sprężystości: Föppl: Technische Mechanik I. III. V, Journeux, Neumann, Love (klasyczne).

KONIEC.

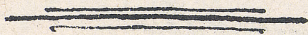
= Spis rzeczy =

	Str.
Wstęp. Historyczne uwagi. Przegląd mechaniki	1-5
Rachunek wektorowy	6-29
Kinematyka punktu	29-41
<u>Dynamika punktu</u>	41-111
Zasady mechaniczne	41-47
Ruch prostoliniowy str. 47, Dynamika punktu swobodnego: 50. Dynamika punktu nieswobodnego 85	
Zasada d'Alemberta	89
<u>Mechanika systemu punktów</u>	111-132
Zasada zachowania energii mech: 117. Ruch środka masy 120, Zasada zachowania momentów wyć 122	
<u>Mechanika ciał sztywnych</u>	132-219
Równania ruchu ciał sztywnych 136, Rozważania syntetyczne 140, Rozważania równań ruchu 147, Obliczenie środka masy i momentu bezwładności 159, Twierdzenie Steinera 159, Elipsoida bezwładności 162, Momenty dwiadczyjne 174, Strona mechaniczna ruchu obrotowego	

II.

str 179, Równania Eulera str 183, Ruch krzywka	str. 200.
Równania Lagrange'a	219
Zasada Hamiltona	237
Ruch względny	256
<u>Mechanika ciał sprężystych</u>	283-358.

Deformacje kostki elementarnej str 291. Deformacje
ciała słowd nego kostatku 304, 12 równań str 314, 316,
318, statyki str 320. Zastosowania teoryi 321-358.



Wydawnictwo Kłtka matematyczno-fizycznego w Łwowie.

		Na całkow. niest.	
Prof. W. Sierpińskiego.	Teoria liczb niewymiernych	160K	2 K
	Teoria nieskończonych szeregów i ciągów	220.	270.
	Teoria liczb zespolonych	040.	050.
	Teoria arytmetyczna kwadratów	080.	080.
	Teoria liczb	5.	650.
	Teoria mnogości	280.	320.
	Wstęp do teorii funkcji	070.	080.
	Analiza wyrska	540.	630.
Prof. Smoluchowskiego	Rachunek sumacyjny	160.	190.
	Zastosowanie teorii mnogości do Analizy	430.	5.
	Elektryczność i magnetyzm	8.	10.
	Nowe teorie elektryczności	6.	750.
	Teoria kinetyczna gazu	5.	7.
	Termodynamika	8.	10.
	Mechanika	630.	9.

